

ГОСУДАРСТВЕННЫЙ КОМИТЕТ СССР ПО ГИДРОМЕТЕОРОЛОГИИ
И КОНТРОЛЮ ПРИРОДНОЙ СРЕДЫ

СРЕДНЕАЗИАТСКИЙ РЕГИОНАЛЬНЫЙ НАУЧНО-ИССЛЕДОВАТЕЛЬСКИЙ
ГИДРОМЕТЕОРОЛОГИЧЕСКИЙ ИНСТИТУТ им. В. А. БУГАЕВА

РЕСУРСЫ ПОВЕРХНОСТНЫХ ВОД СССР

КАТАЛОГ ЛЕДНИКОВ СССР

ТОМ 14

СРЕДНЯЯ АЗИЯ

ВЫПУСК 3

Амударья

Часть 8

БАССЕИН р. МУКСУ



ЛЕНИНГРАД

ГИДРОМЕТОИЗДАТ 1979

ГОСУДАРСТВЕННЫЙ КОМИТЕТ СССР ПО ГИДРОМЕТЕОРОЛОГИИ
И КОНТРОЛЮ ПРИРОДНОЙ СРЕДЫ

СРЕДНЕАЗИАТСКИЙ РЕГИОНАЛЬНЫЙ НАУЧНО-ИССЛЕДОВАТЕЛЬСКИЙ
ГИДРОМЕТЕОРОЛОГИЧЕСКИЙ ИНСТИТУТ им. В. А. БУГАЕВА

РЕСУРСЫ ПОВЕРХНОСТНЫХ ВОД СССР

КАТАЛОГ ЛЕДНИКОВ СССР

ТОМ 14

СРЕДНЯЯ АЗИЯ

ВЫПУСК 3

Амударья

Часть 8

БАССЕЙН р. МУКСУ

А. С. ЩЕТИННИКОВ, Л. Д. ПОДКОПАЕВА



ЛЕНИНГРАД

ГИДРОМЕТОИЗДАТ 1979

Каталог ледников бассейна р. Муксу просмотрен и отредактирован в отделе гляциологии Института географии АН СССР. Каталог рекомендован к печати секцией гляциологии Межведомственного геофизического комитета при Президиуме АН СССР.

Ответственный редактор
О. Н. ВИНОГРАДОВ

Редакторы
Г. И. КОНОВАЛОВА, П. Н. ОГАНОВСКИЙ

В Каталоге дается краткая характеристика географического положения, климатических условий, морфологии и режима ледников бассейна р. Муксу. Приводятся основные сведения о ледниках, схемы расположения ледников, сведения об экспедиционных исследованиях.

Рассчитан на гляциологов, гидрологов, географов и других специалистов, занимающихся изучением природных ресурсов Средней Азии.

ПРЕДИСЛОВИЕ

Каталог ледников бассейна р. Муксу является частью многотомного издания «Каталог ледников СССР», который в свою очередь в качестве самостоятельного раздела входит в справочное издание «Ресурсы поверхностных вод СССР». Деление Каталога ледников СССР на тома, выпуски и части приводится ниже.

Настоящий Каталог содержит сведения о ледниках бассейна р. Муксу без системы ледника Федченко, оледенение которой рассмотрено в части 8А вып. 3 т. 14 (табл. V/№ 45). Ледники системы ледника Федченко имеют нумерацию 1—100. Для удобства ведения ледниковой части Государственного водного кадастра по бассейну р. Муксу в целом ледники настоящего Каталога пронумерованы с № 101 и далее. Итоговые данные об оледенении системы ледника Федченко приведены в табл. I перед основными сведениями о ледниках бассейна р. Муксу.

Каталог состоит из схем расположения ледников, пяти основных таблиц и дополнительного материала, которым предшествует краткая характеристика географического положения, рельефа, климатических условий, морфологии и режима ледников.

На схемах показаны все ледники бассейна размерами 0,1 км² и более, основные сведения о которых приведены в табл. I, а также ледники размерами менее 0,1 км² (цифры, заключенные в круглые скобки). Последние имеют собственную нумерацию, которая совпадает с нумерацией ледников в табл. 21, помещенной в разделе «Дополнительные материалы». Нумерация ледников произведена по часовой стрелке и сохраняется во всех таблицах и на иллюстрациях.

Основные таблицы каталога составлены в соответствии с «Руководством по составлению Каталога ледников СССР» и пронумерованы римскими цифрами, а все таблицы, помещенные в тексте и в разделе «Дополнительные материалы», имеют сквозную нумерацию арабскими цифрами.

Таблица I — Основные сведения о ледниках — содержит сведения о морфологическом типе, экспозиции, размерах (наибольшая длина и площадь), высотах низшей и высшей точек, фирновой линии, площади ablации и объеме каждого ледника размером 0,1 км² и более.

В графе 2 приведено название ледника, взятое с карты или из литературных источников. Большинство ледников не имеет названий, в этих

случаях в графе 2 проставлен номер ледника, под которым он показан на схеме расположения.

В графе 3 приводится название реки, вытекающей из ледника. В тех случаях, когда ледник является притоком другого ледника или когда сток с него происходит под расположенный ниже ледник, графа 2 оставлена незаполненной.

Морфологический тип ледника (графа 4) определен по аэрофотоснимкам и картам в соответствии с морфологической классификацией «Руководства по составлению Каталога ледников СССР».

Общая экспозиция ледников (графа 5) приведена по 8 румбам, обозначенным начальными буквами их русских названий: С, СВ, В, ЮВ, Ю, ЮЗ, З, СЗ. В тех случаях, когда изменения экспозиции сверху вниз по длине ледника превышают 45°, в графе 5 приведены все характеристики последовательно меняющейся экспозиции, при этом все второстепенные экспозиции заключены в скобки. Экспозиция, приведенная без скобок, является «преобладающей» экспозицией ледника и принята за общую в таблицах, помещенных в тексте и в разделе «Дополнительные материалы».

Длина ледников (графы 6, 7) при картометрических работах измерялась дважды циркулем с постоянным раствором, равным 1 или 2 мм в зависимости от размеров ледников. При расхождении результатов измерения на величину, превышающую двухпроцентную допустимую ошибку, производилось дополнительное контрольное измерение. В табл. I даны значения абсолютных и относительных ошибок определения длины ледников.

Таблица 1
Ошибки определения длины ледников

Вид ошибки	Длина ледников, км				
	0,5	1,0	2,0	5,0	10,0
Абсолютная, км	0,1	0,1	0,1	0,1	0,1
Относительная, %	20	10	5	2	1

Площадь ледников (графы 8, 9) измерялась при помощи палетки с квадратом 1 мм² также дважды. Расхождения между первым и повторными измерениями не превышают допустимую ошибку 2%. В табл. I площади ледников приво-

дятся с точностью до $0,1 \text{ км}^2$, т. с. в измеренные величины введена ошибка округления тем большая, чем меньше площадь ледника (рис. 1). Только при площади ледников более $2,0 \text{ км}^2$ максимальные ошибки округления становятся равными или меньше ошибок измерения 2%.

Выделение на картах площади льда, закры-

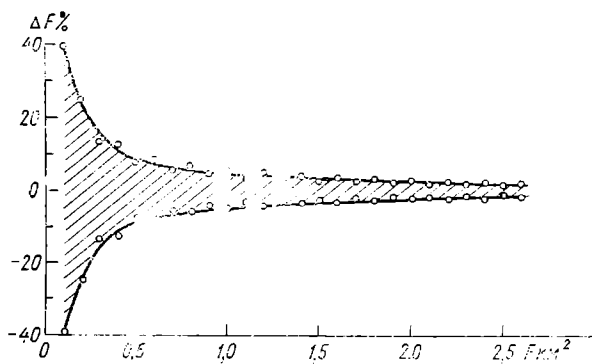


Рис. 1. Зависимость максимальной ошибки округления площади до $0,1 \text{ км}^2$ $\Delta F\%$ от площади ледника $F \text{ км}^2$.

того мореной (графы 8, 9), производилось визуально по аэрофотоснимкам, причем учитывалась только та часть льда, которая имеет явные признаки движения и морфологически связана с ледником. Тем самым из площади ледника исключена площадь мертвого льда, закрытого мощным чехлом морены.

Высотные отметки ледников (графы 10—12) взяты с крупномасштабных карт с точностью до 10 м. Если на карте имелась подписанная отметка высшей точки ледника, она внесена в соответствующую графу табл. I с принятой точностью.

Сведения о фирновой линии приведены в графах 13—14. Высота фирмовой линии определена способом Куровского, по которому она в среднем многолетнем принимается равной средней взвешенной высоте ледника, т. е.

$$H_{\text{фирн}} = \frac{\sum H_i f_i}{\sum f_i},$$

где H_i — средняя высота интервала (зоны), f_i — площадь льда в зоне, $\sum f_i$ — площадь ледника. По мнению А. Н. Кренке и Л. Н. Шантыковой¹, способ Куровского дает наилучшее приближение к средней многолетней высоте границы питания по сравнению с другими косвенными способами. Как видно из формулы, для определения высоты фирмовой линии требуются данные о распределении площади ледника по высоте. Они были получены для каждого ледника размером $0,1 \text{ км}^2$ и более по 100-метровым высотным интервалам. Распределение по высоте площади ледников отдельных притоков и всего бассейна р. Муксу (без системы ледника Федченко) получено по 200-метровым зонам путем суммирования площадей групп ледников в каждой зоне (см. табл. 26).

Площадь области аблации (графы 15, 16) оп-

ределялась по найденной высоте фирмовой линии. При этом площадь зоны, в которой находится фирмовая линия, делилась на две части, нижняя из которых, заключенная между нижней горизонталью зоны и фирмовой линией, отнесена к площади области аблации. Эта площадь приведена с точностью до $0,1 \text{ км}^2$, т. е. ошибки округления, как это видно из рис. 1, для малых градаций площадей весьма существенны. Поэтому для малых ледников определять ледниковый коэффициент по данным графы 15 не рекомендуется.

У ледников размерами $0,1 \text{ км}^2$ в графах 15 и 16 ставится прочерк, так как площадь области аблации этих ледников меньше рекомендуемой «Руководством по составлению Каталога ледников СССР» точности приведения площади ($0,1 \text{ км}^2$).

Непосредственные измерения мощности ледников не производились, поэтому объем льда (графа 17) вычислен по известной формуле Н. В. Ерасова

$$V = 0,027 F^{1.5},$$

где F — площадь ледника. Автор этой формулы сомневался в правомочности применения ее для расчетов объемов ледников Памира, однако исследование различных расчетных способов определения мощности ледников, выполненное Л. И. Лихачевой и др.¹, показало, что формула дает средние по сравнению с другими способами значения объемов ледников. Формула Н. В. Ерасова принята для определения объема ледников при ведении Государственного водного кадастра.

В графике 18 даются ссылки на последующие основные таблицы, если в них имеются сведения о ледниках, и на иллюстрации. Ссылки приведены в виде дроби, в числителе которой указан номер таблицы, а в знаменателе — порядковые номера, под которыми приведены сведения о леднике.

После каждой группы ледников, выделенных по их принадлежности к определенному речному бассейну, приведены суммарные величины площади ледников, площади области аблации и объемов льда. К суммарной площади ледников добавлена площадь ледников размерами менее $0,1 \text{ км}^2$.

Таблица I сопровождается пояснениями к ней, содержащими дополнительные сведения о леднике. В таких случаях в графике 1 табл. I над номером ледника, к которому относится пояснение, ставится звездочка (*).

В табл. V представлен аннотированный список опубликованных работ, содержащих сведения о ледниках района. В текстовой части каталога ссылки на литературные источники, перечисленные в табл. V, приведены в виде дроби, в знаменателе которой стоит номер источника по этой таблице (например, табл. V/№ 1).

Изучение ледников бассейна р. Муксу начато в конце прошлого столетия. В 1876 г. участниками Алайской экспедиции Л. Костенко и топографом Жилиным были открыты верховья р. Муксу.

¹ Кренке А. Н. Гляциологические проблемы на 4-м Всесоюзном гидрологическом съезде.— «Материалы гляциол. исслед. Хроника, обсуждения», 1974, вып. 23, с. 18—21.

В 1878 г. В. Ф. Ошанин открыл хр. Петра Первого и ледник Федченко. В 1883 г. участниками экспедиции капитана Путята горным инженером Д. Л. Ивановым и топографом Бендерским произведена съемка маршрута по бассейну р. Балындкик.

В июле—августе 1897 г. нижнюю часть долины р. Муксу описал ботаник В. И. Липский, проникший сюда через бассейн р. Обихингоу. В верховьях нижних левых притоков р. Муксу Липским открыты ледники Кызылсу (№ 825), Кошкуль (№ 821), Ошанина (№ 816), названный так в честь первооткрывателя хр. Петра Первого В. Ф. Ошанина, Борак (№ 815). В 1899 г. В. И. Липским далее к востоку от устья р. Муксу были открыты ледники Шагазы (№ 807), Сугран (№ 783), Бырс (№ 772), а также установлено наличие ледников в верховьях рек Кашмук, Ирган, Иргет и Хадырша.

В 1904 г. ледники, открытые В. И. Липским в 1897 г., посетил Л. С. Эдельштейн и дал некоторым из них новые названия (ледник Кызылсу был переименован в Боуральмас, Кошкуль — в Бурикурмес), обосновав это тем, что Липский неправильно опознал вершины водораздельных гребней, местные названия которых были присвоены ледникам. В отношении этого Липский писал: «Данное мной название Борольмаз теперь стали переделывать в Бурибармаз и т. д. Я вполне соглашусь с переделывателями, если... они и Париж переделают в Пари, Лиссабон в Лишбоа и Рим в Рома» (табл. V/№29, с. 704).

С 1904 г. оледенение бассейна р. Муксу изучал Н. Л. Корженевский. Во время поездок 1904, 1910, 1914, 1924 и 1926 гг. им были открыты и описаны ледники северного склона хр. Петра Первого в бассейнах рек Аюджилга, Карасель, Гармо, Хышет, Ирган и Хадырша, у некоторых ледников были установлены метки, по которым определялись колебания ледников.

В 1907 г. несколько ледников отмечено Н. В. Поггенполем в верховьях р. Каинды и по левому склону долины р. Балындкик.

В 1913 г. в нижнем течении р. Муксу работала экспедиция немецко-австрийского альпийского клуба под руководством В. Риккмер-Риккмерса, которая повторила маршруты В. И. Липского и обследовала ледники Кызылсу (№ 825), Кошкуль (№ 821), Ошанина (№ 816), Ташлык (№ 805), Ирган (№ 804) и Сугран (№ 783). Максимум материала по геологии и метеорологии собран на последнем леднике, который был снят фототеодолитной съемкой. Была составлена первая карта района. Вместе с тем экспедицией была внесена путаница в названия ледников. Так, ледник Кошкуль (№ 821) получил название Товарбек, ледник Ошанина (№ 816) переименован в Сельды, ледником Ошанина назван небольшой ледник Борак в соседней долине, а леднику Сугран было дано имя Брюкнера. Эти названия позднее вошли в каталоги ледников Н. Л. Корженевского (табл. V/№ 20, 21). Приоритет первооткрывателя ледников В. И. Липского был незаслуженно забыт, а путаница в названиях сохранилась и в более поздних работах. Составители каталога сочли необходи-

мым сохранить названия, данные ледникам В. И. Липским.

В 1914—1916 гг. в бассейне р. Муксу работали геологические экспедиции под руководством Д. И. Мушкетова, Г. Б. Леонова и Д. В. Никитина. Последний описал верховья р. Сауксай и дал сведения о ледниках Чакманташ, Кузгун и Белеули.

Судя по работе Н. Л. Корженевского «Муксу и ее ледники», обобщающей итоги исследования ледников к 1927 г., в бассейне было известно только 38 ледников. Сложилось неверное мнение о том, что южный склон Заалайского хребта и бассейн р. Балындкик, почти не посещавшиеся, не имеют значительного оледенения.

В конце 20-х — начале 30-х годов оледенение района изучалось многочисленными комплексными экспедициями. В 1928 г. работала советско-германская Памирская экспедиция АН СССР и Германского общества содействия развитию науки во главе с Н. П. Горбуновым и Д. И. Щербаковым. В ее составе была группа немецких ученых во главе с В. Риккмер-Риккмерсом. Основным итогом экспедиции стала первая крупномасштабная карта бассейна р. Муксу, полученная фотопотографической съемкой, выполненной Р. Финстервальдером и Г. Бирзаком.

В 1929 г. под руководством Н. В. Крыленко в районе работала комплексная экспедиция Геолого-разведывательного управления и Общества proletарского туризма и экскурсий (ОПТЭ). Было выполнено описание долины р. Сауксая, составлена карта оледенения, исследованы ледники Вали, Дзержинского, Малый Саукдара, Большой Саукдара и Зулумарт.

В 1931 г. отряды Таджикско-Памирской экспедиции исследовали северный склон хр. Петра Первого в среднем и нижнем течении р. Муксу. Результатом экспедиции была крупномасштабная карта этого района. Таджикской комплексной экспедицией 1932 г. впервые описан и снят на карту ледник Фортамбек со всеми притоками, а также ледники Шагазы, Ташлык, Ирган, Бырс, Шини-Бини и частично Сугран. Экспедиция 1933 г. под руководством Н. В. Крыленко и А. В. Москвина завершила работы 1932 г., нанеся на карту фирновые области крупнейших ледников северного склона хр. Петра Первого — Сугран, Фортамбек, Мушкетова (Карасель).

Таким образом, в результате памирских экспедиций 1928—1933 гг. была получена крупномасштабная карта всего бассейна р. Муксу. В более поздние годы в районе работали альпинистские экспедиции: в 1936 г. в районе пика Дзержинского на Заалайском хребте, в 1939 и 1947 гг. на ледниках Шини-Бини и Сугран на северном склоне хр. Петра Первого. В период проведения МГГ в 1957—1959 гг. основное внимание уделялось леднику Федченко.

Наиболее полные сведения об оледенении бассейна р. Муксу до составления настоящего каталога содержались в монографии Р. Д. Забирова «Оледенение Памира», изданной в 1955 г. (табл. V/№ 10). В каталоге ледников, приложен-

ном к монографии, учтено 177 ледников. Общая площадь оледенения составила 2935,41 км² (с ледниками системы ледника Федченко). В районе, рассматриваемом в настоящем каталоге, Р. Д. Забировым учтено 175 ледников общей площадью 1510,91 км². При подсчете числа ледников Р. Д. Забиров учитывал ледники длиной более 1,5 км. Площадь остальных ледниковых образований и картографически учтенных фирновых полей вошла в суммарную площадь оледенения отдельных речных бассейнов или склонов хребтов.

При составлении данного каталога для уточнения изображений ледников на картах использовались данные аэрофотосъемки 1966 г. При этом применялся глазомерно-визуальный способ, который заключается в камеральном дешифрировании не-трансформированного аэрофотоснимка с помощью

стереоскопа и визуальном переносе отдешифрированного контура ледника на карту.

К сожалению, составители настоящего каталога не располагали данными аэрофотосъемки крайних западных частей Заалайского хребта и хр. Петра Первого в пределах района. Поэтому в сентябре 1973 г. ледники № 101—140, 802—829 были осмотрены с вертолета, а изображение на карте ледников № 770—801 исправлено по материалам аэрофотосъемки 1974 г. В целом можно считать, что каталог содержит сведения о ледниках бассейна р. Муксу (без системы ледника Федченко) по состоянию на 1966 г.

В технической обработке материалов принимали участие сотрудники лаборатории ледников САРНИГМИ Н. С. Басин, Л. И. Лихачева, Д. В. Усманова.

ДЕЛЕНИЕ КАТАЛОГА ЛЕДНИКОВ СССР НА ТОМА, ВЫПУСКИ И ЧАСТИ

Подразделение Каталога ледников СССР на тома и выпуски полностью соответствует подразделению на тома и выпуски справочного издания «Ресурсы поверхностных вод СССР» (рис. 2). Как известно, этот справочник состоит из 20 томов, характеризующих в целом всю территорию Совет-

лог ледников СССР составляется лишь на районы, охватываемые томами 1, 3, 8, 9, 13—17, 19, 20 этого издания.

В связи с неравномерностью распределения оледенения по территории в пределах выделенных томов и отдельных выпусков предусматривается из-

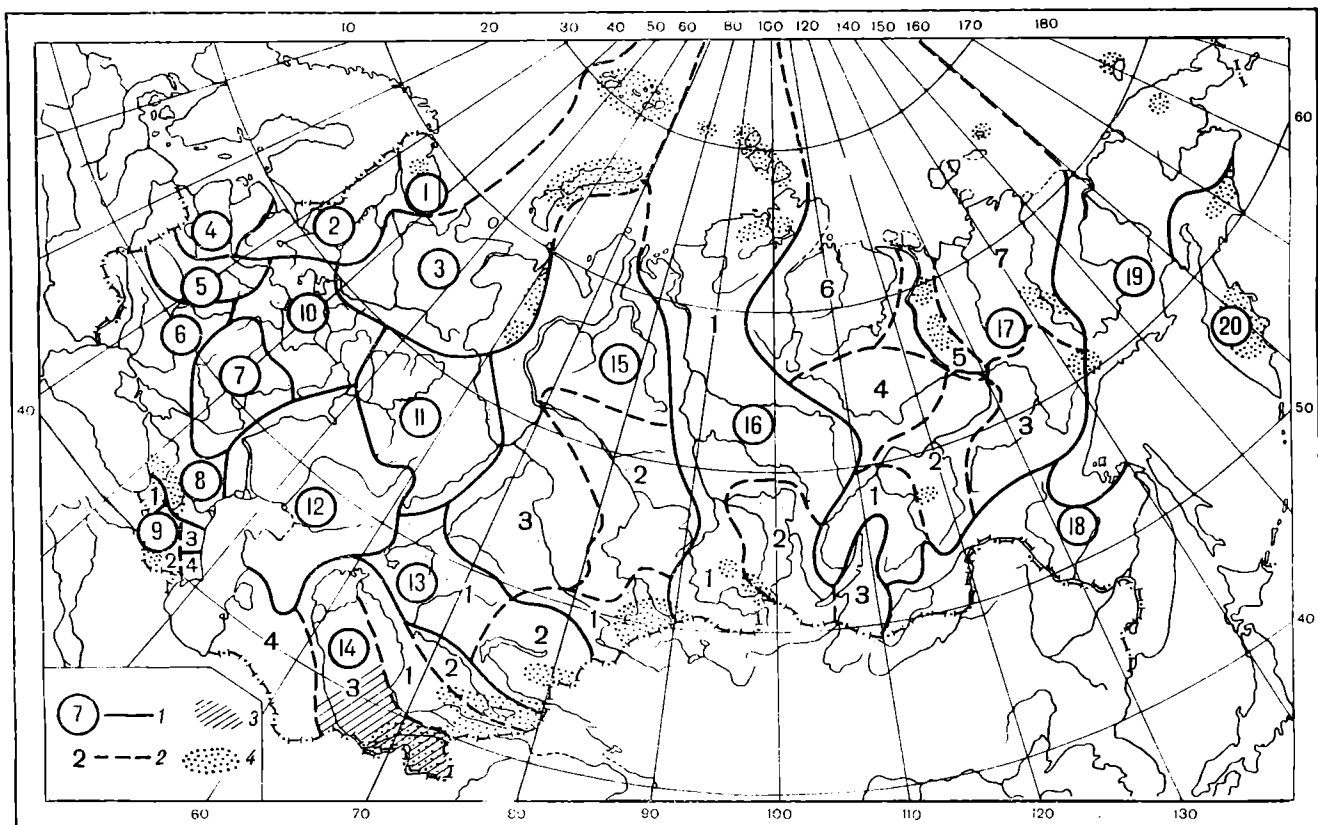


Рис. 2. Схема деления территории СССР на тома и выпуски Каталога ледников.

1 — номер тома и границы отнесеной к нему территории, 2 — номер выпуска и границы отнесеной к нему территории, 3 — территория, сведения о которой включены в том 14, вып. 3 — Амударья, 4 — районы современного оледенения.

ского Союза. В основу разделения справочника на тома положен принцип принадлежности территории к крупным речным бассейнам.

Поскольку области современного оледенения находятся не в каждом из 20 районов — томов издания «Ресурсы поверхностных вод СССР», Ката-

дание нескольких частей Каталога ледников СССР (см. список). Так, например, вып. 3 (Амударья) тома 14 (Средняя Азия), разделенный на 20 частей, включает в себя часть 8 — Бассейн реки Муксу (рис. 3).

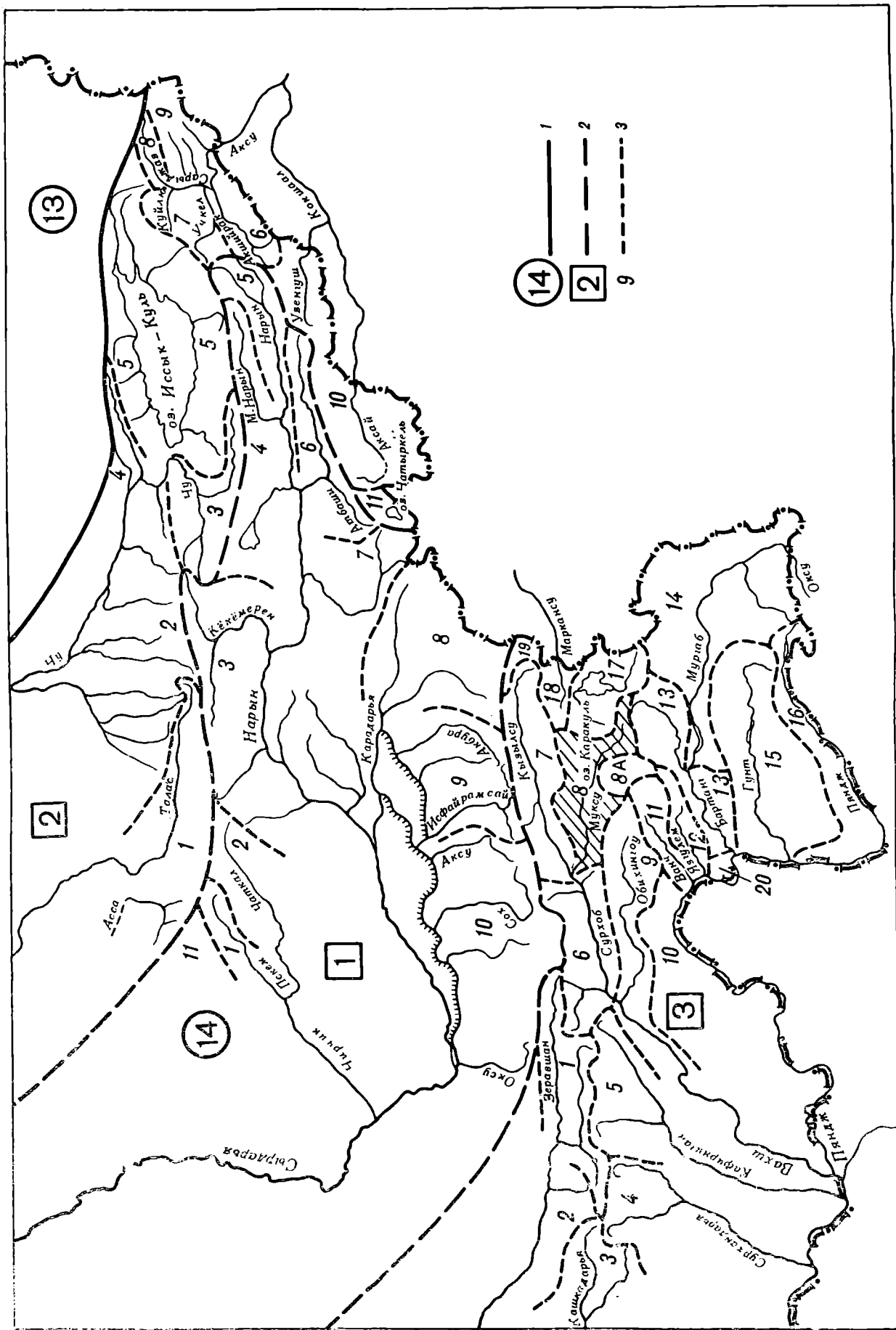


Рис. 3. Схема деления на выпуски и части тома 14 — Средняя Азия — Каталога ледников СССР.
 1 — номер тома и границы отнесенной к нему территории, 2 — номер выпуска и границы отнесенной к нему территории, 3 — номер части и границы отнесенной к ней территории
 (штриховой выделена территория, отнесенная к части 8, вып. 3, т. 14).

СПИСОК ТОМОВ, ВЫПУСКОВ И ЧАСТЕЙ КАТАЛОГА ЛЕДНИКОВ СССР

Том 1. КОЛЬСКИЙ ПОЛУОСТРОВ

Часть 1. Хибинские горы (издано в 1966 г.)

Том 3. СЕВЕРНЫЙ КРАЙ

Часть 1. Земля Франца-Иосифа (издано в 1965 г.)

Часть 2. Новая Земля (издано в 1978 г.)

Часть 3. Урал (издано в 1966 г.)

Том 8. СЕВЕРНЫЙ КАВКАЗ

Часть 1. Бассейны рек Белой, Лабы, Урупа (издано в 1967 г.)

Часть 2. Бассейны рек Большого Зеленчука, Малого Зеленчука (издано в 1967 г.)

Часть 3. Бассейн р. Теберды (издано в 1967 г.)

Часть 4. Бассейн верховьев р. Кубани (издано в 1967 г.)

Часть 5. Бассейны рек Малки, Баксана (издано в 1970 г.)

Часть 6. Бассейн р. Чегема (издано в 1973 г.)

Часть 7. Бассейн р. Черека (издано в 1973 г.)

Часть 8. Бассейн р. Уруха (издано в 1976 г.)

Часть 9. Бассейн р. Ардона (издано в 1976 г.)

Часть 10. Бассейны рек Фиагдона, Гизельдона (издано в 1977 г.)

Часть 11. Бассейн верховьев р. Тerek (издано в 1977 г.)

Часть 12. Бассейны правых притоков р. Сунжи (издано в 1977 г.)

Том. 9. ЗАКАВКАЗЬЕ И ДАГЕСТАН

Выпуск 1. Западное Закавказье

Часть 1. Бассейн р. Мзымыты (издано в 1977 г.)

Часть 2. Бассейн р. Бзыбы (издано в 1975 г.)

Часть 3. Бассейн р. Келасури (издано в 1975 г.)

Часть 4. Бассейн р. Кодори (издано в 1975 г.)

Часть 5. Бассейн р. Ингури (издано в 1975 г.)

Часть 6. Бассейны рек Хоби, Рioni (издано в 1975 г.)

Часть 7. Бассейны левых притоков р. Куры (издано в 1975 г.)

Выпуск 2. Армения

Часть 1. Бассейн р. Аракса (издано в 1978 г.)

Выпуск 3. Дагестан

Часть 1. Бассейн р. Сулака (издано в 1975 г.)

Часть 2. Бассейн р. Самура (издано в 1975 г.)

Выпуск 4. Восточное Закавказье

Часть 1. Бассейн р. Кусарчая (издано в 1975 г.)

Том 13. ЦЕНТРАЛЬНЫЙ И ЮЖНЫЙ КАЗАХСТАН

Выпуск 2. Бассейн оз. Балхаш

Часть 1. Бассейны левых притоков р. Или от устья р. Курты до устья р. Тургени (издано в 1967 г.)

Часть 2. Бассейн р. Чилика (издано в 1968 г.)

Часть 3. Бассейны рек Чарына, Текеса (издано в 1969 г.)

Часть 4. Бассейны рек Хоргоса, Усека (издано в 1975 г.)

Часть 5. Бассейн р. Карагата

Часть 6. Бассейны рек Биена, Аксу, Лепсы (издано в 1970 г.)

Часть 7. Бассейны рек Тентека, Ргайты (издано в 1969 г.)

Том 14. СРЕДНЯЯ АЗИЯ

Выпуск 1. Сырдарья

Часть 1. Бассейн р. Пскема (издано в 1968 г.)

Часть 2. Бассейны р. Чаткала (издано в 1970 г.)

Часть 3. Бассейны правых притоков р. Нарына ниже устья р. Кёкмерена (издано в 1978 г.)

Часть 4. Бассейны правых притоков р. Нарына от устья р. Кёкмерена до устья р. Малого Нарына (издано в 1973 г.)

Часть 5. Бассейны правых и левых притоков верховьев р. Нарына (издано в 1977 г.)

Часть 6. Бассейн р. Атбashi (издано в 1974 г.)

Часть 7. Бассейны левых притоков р. Нарына от устья р. Атбashi до устья р. Карадары (издано в 1977 г.)

Часть 8. Бассейн р. Карадары

Часть 9. Бассейны левых притоков р. Сырдарьи от устья р. Карадары до устья р. Аксу (издано в 1974 г.)

Часть 10. Бассейны левых притоков р. Сырдарьи от устья р. Аксу и ниже (издано в 1974 г.)

Часть 11. Бассейн р. Арыси (издано в 1976 г.)

Выпуск 2. Киргизия

Часть 1. Бассейны рек Ассы, Таласа (издано в 1968 г.)

Часть 2. Бассейны левых притоков р. Чу ниже устья р. Коморчека (издано в 1973 г.)

Часть 3. Бассейн верховьев р. Чу (издано в 1971 г.)

Часть 4. Бассейны правых притоков р. Чу ниже Боамского ущелья (издано в 1969 г.)

Часть 5. Реки бассейна оз. Иссык-Куль (издано в 1976 г.)

Часть 6. Бассейн р. Акшийрака (издано в 1970 г.)

Часть 7. Бассейны правых притоков р. Сарыджаза между устьями рек Акшийрака и Куйлю (издано в 1969 г.)

Часть 8. Бассейн верховьев р. Сарыджаза от устья р. Куйлю и выше (издано в 1977 г.)

Часть 9. Бассейны левых притоков р. Сарыджаза (реки Иныльчек, Каинды, Куюкап) (издано в 1978 г.)

Часть 10. Бассейн р. Кокшала (издано в 1971 г.)

Часть 11. Реки бассейна оз. Чатыркель (издано в 1971 г.)

Выпуск 3. Амударья

Часть 1. Бассейн верховьев р. Зеравшана от устья р. Фандары

Часть 2. Бассейн р. Зеравшана ниже устья р. Фандары

Часть 3. Бассейн р. Каракадары (издано в 1969 г.)

Часть 4. Бассейн р. Сурхандары (издано в 1969 г.)

Часть 5. Бассейн р. Кафирниганы

Часть 6. Бассейн р. Сурхоба между устьями рек Обихингоу и Муксу (издано в 1971 г.)

Часть 7. Бассейн р. Кызылсу (издано в 1976 г.)

Часть 8. Бассейн р. Муксу

Часть 8А. Система ледника Федченко (бассейн р. Муксу) (издано в 1968 г.)

Часть 9. Бассейн р. Обихингоу (издано в 1978 г.)

Часть 10. Бассейны правых притоков р. Пянджа от устья р. Вахча до устья р. Ванча

Часть 11. Бассейн р. Ванча

Часть 12. Бассейн р. Язгулема

Часть 13. Бассейн р. Бартанга (издано в 1978 г.)

Часть 14. Бассейн р. Мургаба

Часть 15. Бассейн р. Гунта

Часть 16. Бассейн верховьев р. Пянджа выше устья р. Гунта

Часть 17. Реки бассейна оз. Каракуль (издано в 1975 г.)

Часть 18. Бассейн верховьев р. Маркансу (издано в 1975 г.)

Часть 19. Бассейн р. Восточной Кызылсу

Часть 20. Бассейны правых притоков р. Пянджа между устьями рек Язгулема, Бартанга и Гунта

Том 15. АЛТАЙ И ЗАПАДНАЯ СИБИРЬ

Выпуск 1. Горный Алтай и Верхний Иртыш

Часть 1. Бассейны левых притоков р. Иртыша (издано в 1969 г.)

Часть 2. Бассейн р. Кабы (издано в 1969 г.)

Часть 3. Бассейны рек Курчума, Бухтармы, Ульбы, Убы (издано в 1969 г.)

Часть 4. Бассейн верховьев р. Катуни (издано в 1978 г.)

Часть 5. Бассейн р. Аргута (издано в 1977 г.)

Часть 6. Бассейн р. Чун (издано в 1974 г.)

Часть 7. Бассейн р. Бии

Часть 8. Бассейны рек Моген-Бурен, Каргы (издано в 1978 г.)

Выпуск 2. Верхняя и Средняя Обь

Часть 1. Бассейны рек Томи и Чулымы (Кузнецкий Алатау)

Том 16. АНГАРО-ЕНИСЕЙСКИЙ РАЙОН

Выпуск 1. Енисей

Часть 1. Северная Земля

Часть 2. Бассейн р. Таймыры (горы Бырранга)

Часть 3. Бассейны рек Казыра, Кана (издано в 1973 г.)

Часть 4. Бассейн р. Кемчика (издано в 1973 г.)

Часть 5. Бассейн верховьев р. Енисея выше устья р. Кемчика (издано в 1973 г.)

Часть 6. Горы Пutorана

Часть 7. Остров Ушакова

Выпуск 2. Ангара

Часть 1. Бассейн верховьев рек Оки, Уды (издано в 1973 г.)

Том. 17. ЛЕНО-ИНДИГИРСКИЙ РАЙОН

Выпуск 2. Средняя Лена

Часть 1. Бассейны рек Чары и Витима (хребет Кодар) (издано в 1972 г.)

Выпуск 3. Алдан

Часть 1. Бассейн р. Юдомы (горы Сунтар-Хаята) (издано в 1977 г.)

Выпуск 5. Нижняя Лена

Часть 1. Хараулахские горы

Часть 2. Хребет Орулган (издано в 1972 г.)

Выпуск 7. Яна, Индигирка

Часть 1. Острова Де-Лонга

Часть 2. Бассейны притоков Средней Индигирки (хребет Черского)

Часть 3. Бассейны левых притоков верховьев р. Индигирки (горы Сунтар-Хаята) (издано в 1977 г.)

Часть 4. Бассейн р. Адычи (хребет Черского)

Том 19. СЕВЕРО-ВОСТОК

Часть 1. Остров Врангеля

Часть 2. Бассейн р. Анадыри (хребет Пекульней)

Часть 3. Бассейн р. Дельку (горы Сунтар-Хаята) (издано в 1977 г.)

Часть 4. Бассейн р. Колымы (хребет Черского)

Том. 20. КАМЧАТКА

Часть 1. Корякский хребет

Часть 2. Бассейны рек западного побережья Камчатки (издано в 1968 г.)

Часть 3. Бассейн р. Камчатки (издано в 1968 г.)

Часть 4. Бассейны рек восточного побережья Камчатки (издано в 1968 г.)

СПИСОК ПРИНЯТЫХ СОКРАЩЕНИЙ

Учреждения и организации

- АН СССР — Академия наук СССР
 АН ТаджССР — Академия наук Таджикской ССР
 АН УзССР — Академия наук Узбекской ССР
 ВГО — Всесоюзное географическое общество
 Географиз — Государственное издательство географической литературы
 Геолком — Геологический комитет
 Гидрометео — Научно-техническое гидрометеорологическое издательство
 Госхимтехиздат — Государственное химико-техническое издательство
 ГУГК — Главное управление геодезии и картографии при Совете Министров СССР
 ОГИЗ — Объединенное государственное издательство
 ОПТЭ — Общество пролетарского туризма и экскурсий
 РГО — Русское географическое общество
 САГУ — Среднеазиатский государственный университет им. В. И. Ленина
 СамГУ — Самаркандский государственный университет им. Алишера Навои
 САРНИГМИ — Среднеазиатский региональный научно-исследовательский гидрометеорологический институт
 Средазмет — Среднеазиатский метеорологический институт
 ТаджГУ — Таджикский государственный университет
 ТГО — Ташкентская геофизическая обсерватория
 ТКЭ — Таджикская комплексная экспедиция
 ТПЭ — Таджикско-Памирская экспедиция

Пункты наблюдений

- гп — гидрологический пост
 мст — метеорологическая станция
 ос — суммарный осадкометр
 сп — снегомерный пункт

Морфологические типы ледников

- асимм. дол. — асимметричный долинный
 вис. — висячий
 вис. дол. — висячий долинный
 вис. кар. — висячий каровый
 дол. — долинный
 кар. — каровый
 кар.-вис. — карово-висячий
 кар.-дол. — карово-долинный
 кул. — кулуаров
 прискл. — прислоновый
 склон. — склоновый
 сл. дол. — сложный долинный

Прочие

- ДСО — добровольное спортивное общество, кн.— книга
 МПГ — Международный полярный год, п.— пункт, СПб — Санкт-Петербург, пер.— перевал, хр.— хребет, оз.— озеро, р.— река, пр. р.— приток реки

КРАТКАЯ ХАРАКТЕРИСТИКА ГЕОГРАФИЧЕСКОГО ПОЛОЖЕНИЯ, КЛИМАТИЧЕСКИХ УСЛОВИЙ, МОРФОЛОГИИ И РЕЖИМА ЛЕДНИКОВ

Бассейн р. Муксу расположен среди горных поднятий Северо-Западного Памира, в пределах которого находятся высочайшие вершины СССР. Занимая площадь 7070 км², бассейн представляет систему хребтов, расчлененных глубокими речными долинами. Здесь расположен наиболее мощный центр оледенения Средней Азии, который включает крупнейший на территории нашей страны горный ледник Федченко.

Собственно р. Муксу начинается после того, как р. Сельдара, питаемая талыми водами с ледника Федченко, сливается с р. Сауксай у Алтынмазара, предварительно приняв слева воды р. Малого Танымаса, а справа — рек Балындкик и Каинды. Вместе с р. Кызылсу Западной Муксу образует р. Сурхоб, которая после слияния с р. Обихингую принимает название Вахш. В свою очередь р. Вахш, сливаясь с р. Пянджем, дает начало величайшей среднеазиатской р. Амударье, несущей свои воды в Аральское море.

Бассейн р. Муксу ориентирован в общем с юго-востока на северо-запад и отличается сложной орографией. На севере его обрамляет Заалайский хребет, который имеет широтное простиранье и служит границей с бассейном р. Кызылсу Западной. По характеру рельефа Заалайский хребет в пределах бассейна р. Муксу делится на два участка — западный, от устья р. Муксу до пер. Терсагар, и восточный, от пер. Терсагар до стыка Заалайского хребта с хр. Зулумарт в районе пика Ленина. Протяженность западного участка больше восточного, по высоты гребня на них существенно различны: максимальная отметка первого 5630 м, средняя¹ 4940 м, в то время как у второго соответственно 7130 (пик Ленина) и 5500 м. На обоих участках южный склон хребта сильно расчленен, верховья долин заканчиваются широкими цирками, заполненными ледниками.

В верховьях р. Сауксай, в районе пика Ленина, от Заалайского хребта на юг отчленяется хр. Зулумарт, который образует водораздел между реками бассейна р. Муксу и бессточного оз. Каракуль, а на крайнем юге — бассейна р. Бартанга. Здесь хр. Зулумарт принимает черты восточнопамирского типа рельефа. Его высоты на севере превосходят 6000 м, к югу гребень хребта снижается, но средняя высота всего хребта от пика Ленина до

пер. Тахта-Корум равна 5500 м. На запад от хр. Зулумарт отчленяется система отрогов северо-западного направления, наиболее крупный из которых — хр. Белеули — имеет два ответвления — хребты Саукдара и Каинды, служащие водоразделами притоков р. Сауксай. Южнее в том же северо-западном направлении от хр. Зулумарт отчленяется безымянный хребет, образующий водораздел между реками Зулумарт и Балындкик. Максимальные высоты указанных хребтов не превышают 6000 м, средние отметки их гребня достаточно высоки и не снижаются ниже 5000 м. Северо-восточные склоны хребтов Белеули и Саукдара почти на всем протяжении вдоль осевой линии покрыты фирновыми полями, которые питают крупные долинные ледники.

На юге граница бассейна р. Муксу проходит по хр. Северный Танымас, вытянутому в широтном направлении. Он проходит от пер. Тахта-Корум до среднего течения ледника Федченко. Северный склон, обращенный в сторону р. Муксу, сильно осложнен отрогами, среди которых наиболее крупные Балындкик и Кызкурган. Средние высоты этих хребтов превышают 5000 м, но наивысшие точки не достигают 6000 м. Хребет Кызкурган направлен строго на север и обрамляет бассейн ледника Федченко. Восточнее параллельно ему протянулся хр. Балындкик. Склоны обоих хребтов расчленены глубокими ложбинами, в верховьях которых лежат крупные долинные ледники.

Южнее хр. Северный Танымас расположен небольшой по длине хр. Арад, служащий водоразделом между притоками р. Танымаса, текущего на юг, и бассейном ледника Наливкина. Далее граница бассейна р. Муксу проходит по горной дуге, образованной хребтами Высокая Стена и Язгулемским. При незначительной протяженности они обладают в среднем большими высотами (соответственно 5890 и 6000 м). Наивысшей точкой Язгулемского хребта является пик Революции (6970 м). На западе Язгулемский хребет примыкает к хр. Академии Наук, основному звену в узле оледенения Северо-Западного Памира. Благодаря огромным высотам и меридиональному простирианию, этот хребет служит орографическим барьером на пути воздушных масс западного переноса. Восточный склон хр. Академии Наук занят фирновыми областями ледника Федченко и его притоков.

От хр. Академии Наук на запад отчленяются его отроги — хребты Ванчский и Дарвазский, ко-

¹ Средние высоты хребтов определены из набора высот точек, снятых с карты через 0,5 км.

торые вместе с западной оконечностью Язгулемского хребта обрамляют бассейны рек Язгулема и Ванча, представляющие орографические ловушки для влагопосных воздушных масс. Их тыльные части заняты переметными с ледником Федченко ледниками Язгулемским, Абдукагор, Медвежьим и РГО. Линия ледораздела здесь проходит по наиболее высоким точкам приводораздельных пространств, от которых ледовые потоки стекают как на запад, в долины Язгулема и Ванча, так и на восток, в ледник Федченко. Перевальные участки образуют бреши в хр. Академии Наук: их отметки уменьшаются до 5000 м и даже ниже, в то время как средняя высота южной части хребта равна 5430 м. Поэтому воздушные массы, проходят через бассейны рек Ванча и Язгулема, попадают и в фирновую область ледника Федченко.

В северной части хр. Академии Наук служит водоразделом между бассейном р. Обихингоу и нижним левым притоком ледника Федченко ледником Бивачным. Западный склон хребта занят дендритовым ледником Гармо, отметки гребня повсеместно превышают 6000 м, а вся северная часть хребта имеет среднюю высоту 6080 м.

В районе пика Коммунизма, высочайшей вершины СССР (7480 м), от хр. Академии Наук на запад отчленяется хр. Петра Первого, который играет важную роль в оледенении описываемого района. Его водораздельный гребень представляет мощное поднятие с рядом вершин, превышающих 6000 м. В западном направлении отметки гребня постепенно снижаются, достигая в устье р. Муксу 5000 м и ниже. Но средняя высота хребта достаточно большая (5400 м). Его северный склон занят большими ледниками долинного, сложного долинного и дендритового типов. Для осевой части хребта характерно наличие выровненных пространств, на которых скапливаются массы снега, пытающие ледники.

Бассейн собственно р. Муксу и ее главных притоков расположен в области преобладающего развития палеозойских, сильно метаморфизованных сланцев. Развитие сланцевой свиты является причиной образования своеобразного рельефа. В основных долинах прослеживается два его морфологических типа: первый принадлежит верхним частям долин, которые представляют широкие плоские троги с отвесными крутыми, часто асимметричными склонами, второй — нижним частям долин, которые имеют вид хорошо выработанных ущелий, глубоко врезанных в дно плоских трогов. В средней и нижней частях долины р. Муксу развиты террасы.

Большая часть описываемого района имеет облик западнопамирского типа рельефа, развивающегося по водоэрозионному циклу. Для него характерны глубоко врезанные днища рек, крутые склоны хребтов с очень большими относительными превышениями. В юго-восточном углу района распространен восточнопамирский тип рельефа, развитие которого идет по аккумулятивно-ледниковому циклу. Особенно это заметно в верховьях р. Баяндик и на южном склоне хр. Зулумарт.

В рельефе северного склона хр. Петра Первого хорошо выражено несколько ярусов (табл. V/№ 47).

Первый ярус — самая верхняя часть гребня — характеризуется отсутствием верхнего денудационного уровня вершин. Гребневая линия неровная, но обладает сравнительно небольшим перепадом высот, крутизна склонов вершин невелика. Характерны массивность форм основных вершин и отсутствие альпийских форм рельефа. Второй ярус — огромные выровненные участки, поднятые на большую высоту. Классическим примером этого типа ярусов является Памирское фирновое плато (№ 737), расположенное на высотах более 6000 м (рис. 4). Третий — ярус склонов — характеризуется громадными относительными высотами и приступкой склонов, которые совершенно прямолинейны. Четвертым ярусом являются нижние части долин ледников, образовавшихся в период, когда процессы денудации были слабее процесса поднятия. Пятый ярус — пойма р. Муксу, представляющая современный местный базис эрозии.

КЛИМАТИЧЕСКИЕ УСЛОВИЯ

По климатической классификации М. И. Будыко и А. А. Григорьева, бассейн р. Муксу принадлежит к переднеазиатской (средиземноморской) области и представляет ее пятый пояс — пояс сухого климата с умеренно теплым летом и умеренно холодной зимой.

Климатические условия¹ бассейна р. Муксу формируются в результате взаимодействия ряда факторов, обусловленных его географическим положением, устройством поверхности и связанными с ними циркуляцией атмосферы и солнечной радиацией. Атмосферные процессы характеризуются общностью с остальной территорией Средней Азии. Основное количество осадков приносится южными циклонами, холодными западными и северо-западными холодными вторжениями, при этом горные сооружения Северо-Западного Памира оказывают большое влияние на синоптические процессы, усложняя и модифицируя их. На наветренных склонах хребтов благодаря вынужденному подъему воздушных масс и связанному с этим орографическому обострению фронтов выпадает большое количество осадков. Сложность рельефа и большая амплитуда высот приводят к формированию своеобразных местных типов климата. Высокогорная часть описываемого района располагается в области вечного мороза.

Осадки. Распределение осадков определяется циклонической деятельностью и характером подстилающей поверхности. Основное количество осадков приносится южнокаспийскими, мургабскими и верхнеамударинскими циклонами, а также массами холодного воздуха, продвигающегося с запада и северо-запада. Достигая фронтальной поверхности гор, воздушные массы, поднимаясь вверх, охлаждаются, тем самым создается дополнительный эффект для образования облачности и осадков. В зависимости от характера подстилающей поверхности (направления хребтов и склонов относительно приходящих воздушных масс, их крутизны и высоты, а также степени расщепленности)

¹ Приводится по работам (табл. V/№ 4, 46) и Справочнику по климату СССР.

происходит неравномерное распределение осадков даже в пределах одного речного бассейна. Глубокие котловины и узкие долины среди гор получают очень мало осадков. Так, на мст Алтынмазар (2780 м), расположенной на дне долины р. Муксу ниже ледника Федченко, выпадает в год в среднем всего 147 мм осадков. Западная часть Северо-За-

В целом по бассейну осадки увеличиваются с высотой, причем их рост установлен инструментально (по суммарным осадкометрам) до высоты 4300 м (см. табл. 18).

Снежный покров. В бассейне р. Муксу в зависимости от абсолютной высоты места формирование снежного покрова происходит в различное

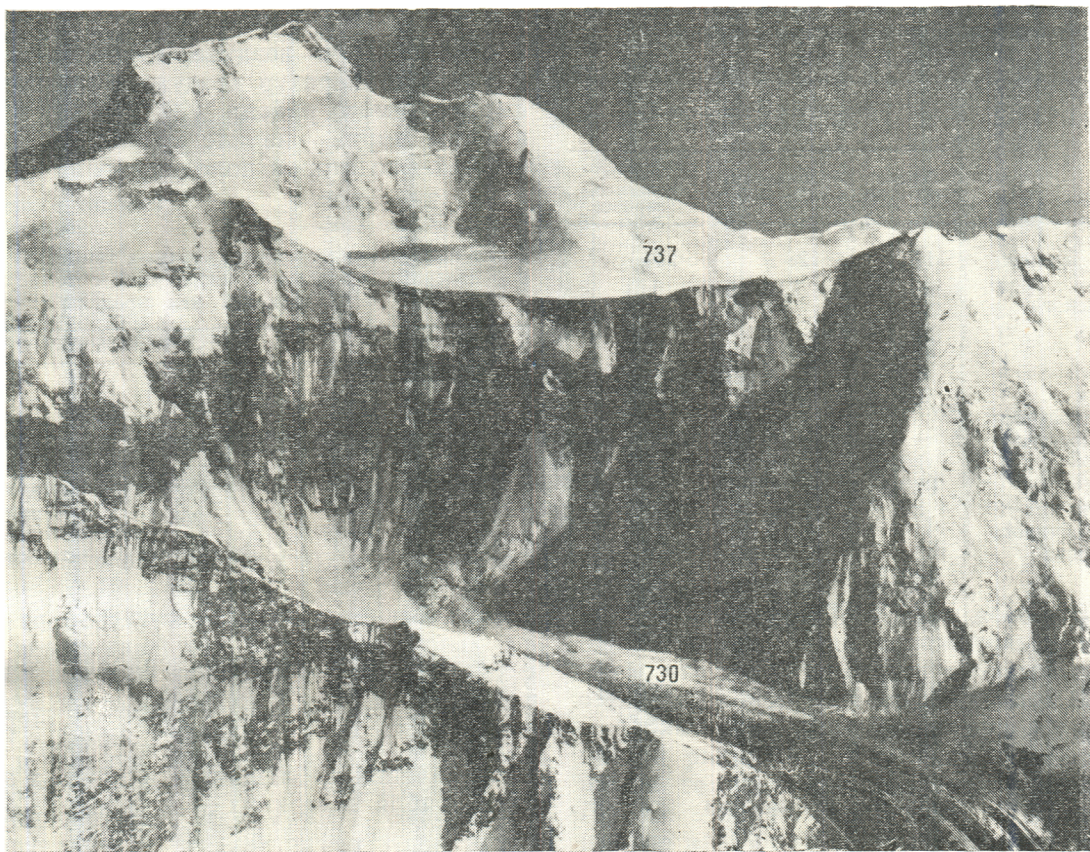


Рис. 4. Характер оледенения северного склона хр. Петра Первого. Внизу — среднее течение ледника Вальтера (№ 730). Видна верхняя часть Памирского фирнового плато (№ 737). На заднем плане пик Коммунизма. *Фото Г. В. Калинина.*

падного Памира, наветренная по отношению к общему переносу воздушных масс, характеризуется более высоким увлажнением. На леднике Федченко средняя годовая сумма осадков составляет уже 1192 мм.

время. В нижних частях долины до высоты 3000 м он появляется в среднем в первой декаде ноября, но устойчивый снежный покров образуется только в первой декаде декабря, так как первые осенние снегопады перемежаются оттепелями, во время ко-

Среднее количество осадков, приведенное к показаниям осадкометра, мм

Метеостанция и период наблюдений, годы	I	II	III	IV	V	VI	VII	VIII	IX	X	XI	XII	Год
Ляхш, 1961—1964	27	37	39	65	47	28	13	8	2	9	32	27	334
Алтынмазар, 1932—1965	14	16	22	19	16	16	6	5	1	5	11	16	147
Ледник Федченко, 1933—1964	113	132	162	135	116	74	42	21	20	89	146	142	1192

Во внутригодовом распределении осадков выделяется зимне-весенний максимум (табл. 2). В холодный период года (октябрь—апрель) выпадает до 70% годовой суммы осадков. Самыми сухими месяцами являются июль и август.

торых снег сходит полностью. Разрушение и сход снежного покрова происходит в конце марта и в конце второй декады апреля. В отдельные годы отклонения дат появления и образования устойчивого снежного покрова от средней составляет ± 25 —

—30 дней (табл. 3). В среднем за 1932—1965 гг. продолжительность залегания устойчивого снежного покрова на мст Алтынмазар (2780 м) равна 128 дням.

В гляциальной области бассейна снегопады возможны круглый год. На мст Ледник Федченко

Таблица 3
Даты появления и схода снежного покрова, образования и разрушения устойчивого снежного покрова в бассейне р. Муксу

Дата	Метеостанция и период наблюдений, годы		
	Ляжш, 1961—1965	Алтынмазар, 1932—1965	Ледник Федченко, 1933—1965
Число дней со снежным покровом	117	128	294
Появления снежного покрова			
средняя	25/XI	8/XI	17/IX
самая ранняя	6/XI	7/X	—*
самая поздняя	1/I	8/XII	7/X
Образования устойчивого снежного покрова			
средняя	1/XII	4/XII	13/X
самая ранняя	15/XI	1/XI	—
самая поздняя	1/I	10/I	14/XI
Разрушения устойчивого снежного покрова			
средняя	27/III	28/III	20/VII
самая ранняя	7/III	7/I	20/VI
самая поздняя	11/IV	20/IV	—
Схода снежного покрова			
средняя	27/III	18/IV	13/VIII
самая ранняя	7/III	20/III	23/VI
самая поздняя	13/IV	29/V	—

* Снежный покров возможен круглый год,

(4170 м) в среднем за 1933—1965 гг. даты появления и схода снежного покрова приурочены к концу второй декады сентября и началу второй декады августа, а продолжительность периода с устойчивым снежным покровом равна 294 дням.

В долине р. Муксу высота снежного покрова до отметок 3000 м в течение зимы незначительна и не превышает в конце февраля — начале марта в среднем 3 см. На мст Алтынмазар за рассматриваемый период наибольшая за зиму средняя декадная высота снега колебалась в очень широких пределах (от 2 до 70 см). С увеличением высоты местности высота снега растет. Так, на мст Ледник Федченко средняя декадная высота снежного покрова равна 139 см, а наибольшая за зиму в 1933—1965 гг. колебалась от 55 до 251 см. Если рост высоты снежного покрова в нижних зонах в течение зимы отмечается до первой декады марта, после чего он быстро сходит, то в верхних зонах накопление снега происходит до второй декады мая.

Плотность снежного покрова увеличивается с высотой места и к концу периода снегозалегания. На мст Алтынмазар (2780 м) наибольшая за зиму на последний день декады при наибольшей средней декадной высоте снега его плотность равна 0,23 г/см³, на мст Ледник Федченко (4170 м) — 0,33 г/см³. Для этих станций максимальные величи-

ны плотности снега на последний день декады отмечены при сходе снежного покрова (0,28 и 0,45 г/см³).

Максимум водности снежного покрова совпадает во времени с максимумом высоты снега. Средние из наибольших за зиму запасов воды в снежном покрове в это время на метеостанциях Алтынмазар и Ледник Федченко различаются более чем в 10 раз (53 и 566 мм).

Температура воздуха. Установление положительных температур воздуха в нижних зонах рассматриваемого района (2000—3000 м) отмечается в конце марта — начале апреля, на высотах более 4000 м — во второй половине июня (табл. 4). Про-

Таблица 4
Даты наступления средних суточных температур выше и ниже определенных пределов и число дней с температурой, превышающей эти пределы

Метеостанция и период наблюдений, годы	Температура, °C						
	-15	-10	-5	0	5	10	15
Алтынмазар, 1932—1962							
	4/II	5/III	3/IV	19/IV	24/V	28/IX	8/VII
	29/XI	327	263	214	14/X	126	23/VIII
Ледник Федченко, 1933—1960	25/II	4/IV	2/V	17/VI			
	10/XII	3/XI	9/X	16/IX			
	287	212	159	90			

должительность теплого периода уменьшается от 214 дней на мст Алтынмазар (2780 м) до 90 дней на мст Ледник Федченко (4170 м). Переход температуры воздуха через 0°С в сторону отрицательных значений наблюдается в нижних зонах в начале ноября, в верхних — в середине сентября. Таким образом, аблационный период в гляциальной области бассейна р. Муксу практически ограничивается тремя летними месяцами (июнем—августом). В среднем за 1933—1960 гг. сумма положительных температур на мст Ледник Федченко равна всего 263°С (табл. 5).

Таблица 5
Суммы средних суточных температур воздуха ниже -15, -10, -5, 0°C и выше 0, 5, 10, 15°C

Станция и период наблюдений (годы)	Сумма температур, °C							
	отрицательных				положительных			
	-15	-10	-5	0	0	5	10	15
Алтынмазар 1932—1962								
	—385	—890	—1015	2250	2150	1745	735	
Ледник Федченко, 1933—1960	—1287	—2224	—2617	—2771	263			

Безморозный период на высоте 2000 м ограничивается маев—сентябрем, на высоте 2780 м — июнем—августом. Выше заморозки могут наблюдаться в любой летний месяц. Самым теплым месяцем является август, самым холодным по средним и экстремальным температурам — январь (табл. 6).

Таблица 6

Средние и экстремальные температуры воздуха, °С

Температура	I	II	III	IV	V	VI	VII	VIII	IX	X	XI	XII	Год
мст Ляхш, 1961—1965 гг.													
Средняя месячная и годовая минимальная	-9,7	-7,1	-0,4	7,3	12,1	16,2	19,3	19,6	15,6	8,8	-0,1	-7,0	6,3
Абсолютная минимальная	-13,8	-11,3	-4,9	2,4	6,1	8,8	12,2	11,3	7,2	2,1	-4,6	-10,8	0,6
Средняя из абсолютных минимумов максимальная	-24	-25	-18	-5	1	3	6	3	0	-6	-18	-20	-25
Абсолютная максимальная	-22	-20	-15	-2	2	5	7	7	2	-3	-13	-17	-23
Средняя из абсолютных максимумов	-4,4	-2,0	5,4	12,8	19,3	23,8	27,8	27,5	23,5	16,3	7,0	-1,8	10,3
	4	6	22	23	30	30	34	33	30	26	15	5	34
	2	4	14	20	25	29	32	32	29	22	14	3	32
мст Алтынмазар, 1932—1962 гг.													
Средняя месячная и годовая минимальная	-10,8	-8,2	-3,4	3,7	9,3	12,2	15,9	15,9	11,7	4,7	-2,8	-8,3	3,3
Абсолютная минимальная	-16,0	-13,8	-8,0	-1,3	3,4	5,6	8,4	7,7	3,3	-1,9	-6,5	-12,0	-2,6
Средняя из абсолютных минимумов максимальная	-31	-32	-28	-15	-7	-6	-1	0	-4	-14	-26	-29	-32
Абсолютная максимальная	-25	-22	-18	-8	-2	1	3	2	-1	-8	-14	-21	-26
Средняя из абсолютных максимумов	-5,7	-2,5	2,3	9,3	15,5	18,5	22,2	22,1	18,4	11,1	2,4	-3,5	9,2
	7	8	17	22	29	31	31	32	27	24	15	7	32
	0	2	9	17	22	23	27	26	23	17	9	2	28
мст Ледник Федченко, 1933—1960 гг.													
Средняя месячная и годовая минимальная	-17,1	-16,0	-13,0	-7,7	-3,4	-0,1	3,6	3,7	0,2	-6,3	-11,7	-15,5	-6,9
Абсолютная минимальная	-19,5	-18,1	-15,3	-10,9	-6,5	-3,6	-0,1	-0,1	-3,8	-9,1	-14,2	-17,4	-9,9
Средняя из абсолютных минимумов максимальная	-38	-38	-36	-27	-19	-13	-8	-9	-16	-27	-28	-36	-38
Абсолютная максимальная	-26	-25	-23	-18	-13	-9	-5	-4	-8	-16	-20	-24	-27
Средняя из абсолютных максимумов	-14,8	-13,6	-10,3	-4,8	-0,3	3,3	7,7	8,4	4,7	-2,7	-9,4	-13,3	-3,8
	-3	-1	2	7	13	16	20	15	14	9	3	-1	20
	-9	-8	-4	1	5	7	12	13	9	3	-4	-8	13

Средняя температура воздуха в теплый период года имеет синхронный ход во всех высотных зонах, что обусловлено общностью синоптических процессов для всего бассейна. Судя по наблюдениям на мст Ледник Федченко (4170 м), в холодный период в верхних высотных зонах средняя месячная температура от месяца к месяцу мало изменчива. Абсолютные минимумы температуры здесь отрицательны в течение всего года. Даже в летние месяцы средняя минимальная температура воздуха опускается ниже 0°С, а средние из абсолютных минимумов составляют от -9 до -4°С. Абсолютная максимальная температура здесь положительна в феврале—ноябре. Ниже, на

мст Алтынмазар (2780 м), и абсолютные максимумы, и средние из них положительны в течение всей зимы, что свидетельствует о частой повторяемости оттепелей в нижней части долины р. Муксу.

Облачность. Уменьша приход суммарной солнечной радиации, облачность способствует понижению температуры поверхности почвы и воздуха. По Ю. Адему¹, увеличение облачного покрова в июле на 1 балл (без выпадения осадков) снижает на широте бассейна р. Муксу температуру средней тропосферы на 1,5°С, а температуру поверхности почвы на 3,5°С.

Средняя месячная и годовая облачность в бассейне р. Муксу увеличивается с высотой (табл. 7).

Таблица 7

Средняя месячная и годовая общая и нижняя облачность, баллы

Облачность	I	II	III	IV	V	VI	VII	VIII	IX	X	XI	XII	Год
Алтынмазар, 1936—1965 гг.													
Общая	6,9	7,3	7,4	6,9	6,2	5,0	4,0	3,2	2,7	4,2	5,8	6,7	5,5
Нижняя	3,0	3,4	3,5	3,3	3,6	3,6	3,0	2,5	1,9	2,3	2,8	3,4	3,0
Ледник Федченко, 1936—1965 гг.													
Общая	7,5	8,0	7,9	7,7	6,8	5,6	4,1	3,3	3,2	5,1	6,6	7,4	6,1
Нижняя	4,8	5,6	5,3	5,0	4,7	4,5	3,6	2,8	2,5	3,7	4,8	5,0	4,4

Поэтому район ледника Федченко в течение всего года отличается значительной облачностью. Максимум общей и нижней облачности здесь находится на зимне-весенние месяцы (декабрь—май), в течение которых число ясных дней по общей облачности не превышает четырех, а по нижней — десяти (табл. 8). Наиболее облачным является фев-

раль, в течение которого за рассматриваемый период отмечено в среднем 10,3 пасмурных дня по

¹ Адем Ю. Использование термодинамики при изучении климатических изменений.— В кн.: Физическая и динамическая климатология. Труды симпозиума по физической и динамической климатологии. ВМО/МАМФА. Ленинград, август 1971.— Л.: Гидрометеоиздат, 1974, с. 372—403.

Таблица 8

Число ясных и пасмурных дней по общей и нижней облачности

Дни	Облачность	I	II	III	IV	V	VI	VII	VIII	IX	X	XI	XII	Год
мст Ляхш, 1961—1965 гг.														
Ясные	Общая	3,4	3,6	3,8	3,1	5,1	7,2	15,3	17,9	17,6	14,0	7,6	4,5	103
	Нижняя	15,4	10,7	11,8	10,9	11,4	15,0	18,6	20,7	21,0	14,5	14,2	12,6	177
Пасмурные	Общая	14,9	13,4	16,3	16,0	11,4	6,0	2,0	2,4	1,4	6,5	9,1	14,6	115
	Нижняя	3,5	4,2	5,5	6,6	4,8	1,4	1,4	0,6	0,6	1,0	3,4	4,4	37
мст Алтынмазар, 1936—1965 гг.														
Ясные	Общая	4,1	2,9	2,5	3,5	4,2	6,0	10,4	13,4	15,3	11,1	6,5	4,3	84
	Нижняя	16,3	12,0	13,0	13,4	11,4	9,6	12,9	16,2	18,3	18,7	15,5	13,4	171
Пасмурные	Общая	14,9	15,6	16,8	14,4	11,2	6,2	3,7	2,7	2,3	5,8	10,7	13,9	118
	Нижняя	3,8	3,6	4,2	3,0	2,8	1,8	1,6	1,0	0,8	1,7	3,0	4,5	32
мст Ледник Федченко, 1936—1965 гг.														
Ясные	Общая	3,4	1,9	2,3	2,5	3,7	6,0	11,0	13,7	14,8	9,7	5,4	3,8	78
	Нижняя	9,9	6,6	8,3	8,8	8,8	8,4	12,4	15,2	17,1	13,7	10,8	9,5	130
Пасмурные	Общая	18,5	19,0	20,0	18,0	14,2	8,7	5,0	2,9	3,6	9,6	14,9	17,5	152
	Нижняя	9,3	10,3	9,7	7,2	6,3	4,8	3,3	2,0	2,2	6,3	9,2	10,0	81

нижней облачности и 19 дней по общей. С марта число пасмурных дней как по общей облачности, так и по нижней начинает уменьшаться и достигает минимума в августе, который, как отмечалось выше, является самым теплым месяцем в году. В целом за год на мст Ледник Федченко 152 дня бывают пасмурными по общей облачности и 81 — по нижней. С уменьшением абсолютной высоты число пасмурных дней в году сокращается и особенно резко по нижней облачности.

Повторяемость ясного, полусинего и пасмурного состояния неба по общей и нижней облачности приведена в табл. 19.

Влажность воздуха. Средняя месячная относительная влажность воздуха в период абляции намного меньше, чем зимой. Минимума она достигает в сентябре, в интервале высот 2000—4170 м составляя 34—47% (см. табл. 20). На мст Ледник Федченко (4170 м) в зимне-весенние месяцы относительная влажность воздуха изменяется в очень узких пределах, амплитуда ее колебаний равна всего 5%. Ниже, на мст Алтынмазар, эта амплитуда увеличивается до 15%.

Относительная влажность воздуха при общем снижение содержания водяного пара с высотой ме-

ста увеличивается, что, возможно, объясняется влиянием самого ледника Федченко, большую часть года закрытого сезонным снегом, который на мст Алтынмазар стаивает в марте—апреле.

Если в течение зимы разность относительной влажности на этих станциях равна 8—9%, то к концу весны и началу лета она увеличивается до 19%. На мст Ледник Федченко средняя летняя (за июнь—август) относительная влажность на 17% больше, чем на станции Алтынмазар.

Ветер. Орография бассейна р. Муксу оказывает существенное воздействие на режим ветра. В глубоких долинах проявляется местная циркуляция, а на перевалах и в верхних зонах горных хребтов преобладают ветры свободной атмосферы. Совершенно своеобразный ветровой режим отмечается на леднике Федченко. В верховьях и на большей части ледника преобладает стоковый ветер. В районе мст Ледник Федченко наблюдается ветер с пер. Кашалаяк, а в самой нижней части ледника хорошо выражена горно-долинная циркуляция.

Средние годовые скорости, судя по наблюдениям на метеостанциях Алтынмазар (2780 м) и Ледник Федченко (4170 м), возрастают с абсолютной высотой (табл. 9). Если на первой станции сред-

Таблица 9

Средняя месячная и годовая скорость ветра, м/с

Метеостанция и период наблюдений, годы	Высота флюгера, м	I	II	III	IV	V	VI	VII	VIII	IX	X	XI	XII	Год
Алтынмазар, 1936—1963	11	1,0	1,5	2,2	3,2	3,8	3,8	4,1	4,2	3,6	2,4	1,6	1,1	2,7
Ледник Федченко, 1936—1962	12	7,1	7,4	7,2	6,6	5,7	4,8	4,0	4,0	4,8	5,9	7,4	7,1	6,0

ние месячные скорости ветра возрастают к лету, достигая максимума (4,2 м/с) в июле, то на второй станции отмечается обратная картина: в зимне-весенний период скорости ветра гораздо выше, чем летом. Летние скорости ветра на мст Ледник Федченко почти равны скоростям на мст Алтынма-

зар. Наибольшие средние месячные скорости ветра на мст Ледник Федченко имеют место в феврале и ноябре (7,4 м/с), наименьшие — в июле и августе (4,0 м/с).

Судя по карте повторяемости направлений и средних месячных скоростей ветра, приводимой

в работе (табл. V/№ 4), преобладающее юго-западное направление ветра характерно и для метеостанций Ирхт и Каракуль, расположенных в смежных с бассейном р. Муксу бассейнах рек Мургаба и оз. Каракуль. Однако такое совпадение может быть случайным и обусловлено местной циркуляцией на двух последних станциях, по-

Поэтому площадь гипотетического среднего ледника бассейна равна всего 2,1 км².

Размеры ледников. В районе, рассматриваемом в настоящем каталоге, имеется 904 ледника общей площадью 1270,8 км². Из них 175 обладают размерами менее 0,1 км² каждый и имеют общую площадь 9,8 км². Основные сведения об этих ледниках

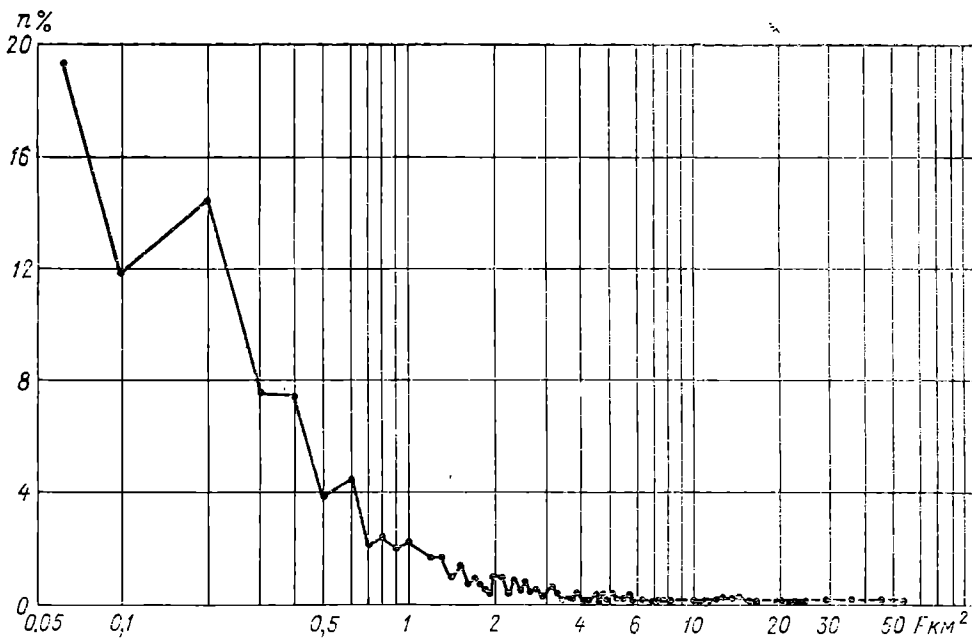


Рис. 5. Распределение числа ледников $n\%$ по размерам площади.

этому данным наблюдений за ветром на мст Ледник Федченко не могут быть экстраполированы на всю гляциальную зону бассейна р. Муксу.

ОБЩАЯ ХАРАКТЕРИСТИКА ОЛЕДЕНЕНИЯ

Рельеф и климатические условия бассейна р. Муксу исключительно благоприятны для существования развитого оледенения. Горные хребты здесь, как отмечалось выше, достигают максимальных отметок на территории СССР. Не менее четверти бассейна находится в области вечного мороза, на нижней границе которой, расположенной на высоте 5000 м, осадки, по данным О. А. Дроздова (табл. V/№ 9), достигают 2000 мм в год. В связи с этим число ледников, их размеры и суммарная площадь оледенения являются самыми значительными среди других речных бассейнов Памира. Коэффициент оледенения бассейна р. Муксу равен 0,29.

Всего в бассейне р. Муксу вместе с оледенением системы ледника Федченко (табл. V/№ 45) насчитывается 1004 ледника общей площадью 2094,9 км². Оледенение бассейна характеризуется чрезвычайно широким диапазоном размеров ледников. Наряду с тем, что в бассейне расположен крупнейший на территории СССР ледник Федченко, площадь только ствола и фирновой мульды которого равна 156,0 км² (табл. V/№ 45), здесь имеется и большое число малых и средних ледников.

приведены в табл. 21. Они, так же как и сведения о ледниках системы ледника Федченко, не рассматриваются.

Среди остальных 729 ледников района, обладающих размерами 0,1 км² и более, преобладают малые ледники, площадью до 2,0 км² каждый. Они составляют 82,7 % числа всех ледников, но занимают только четвертую часть всей площади оледенения (табл. 10). При градации площади ледников

Таблица 10
Распределение ледников по размерам

Градации площади, км ²	Количество		Площадь	
	всего	% общего числа ледников	км ²	% общей площади оледенения
0,1—0,5	403	55,3	99,7	7,9
0,6—1,0	116	15,9	88,3	7,0
1,1—1,5	57	7,8	71,7	5,7
1,6—2,0	27	3,7	48,6	3,9
2,1—3,0	41	5,7	99,4	7,9
3,1—5,0	33	4,5	129,2	10,2
5,1—10,0	23	3,2	153,4	12,2
10,1—20,0	18	2,5	248,5	19,7
20,1—50,0	10	1,4	269,2	21,3
>50,0	1	0,1	53,0	4,2
Итого	729	100,0	1261,0	100,0

по интервалам 0,1 км² наиболее многочисленны ледники размером 0,2 км² (рис. 5).

Средние ледники (размером от 2,1 до 10,0 км²)

Таблица 11
Наибольшие ледники района

Название, номер ледника	Бассейн реки	Морфологический тип	Наибольшая длина, км	Площадь, км ²
Большой Саукдара, № 282	Сауксай	сл. дол.	20,6	53,0
Сугран, № 783	Сугран	»	22,0	47,1
Фортамбек, № 724	Фортамбек	»	27,2	36,4
Северный Зулумарт, № 307	Сауксай	»	11,6	29,1
Кузгун, № 233	Кузгунтеке	»	14,7	25,0
Малый Саукдара, № 274	Сауксай	»	14,3	23,5
Северный Кызкурган, № 649	Кызкурган	»	10,5	22,9
Кызылсу, № 144	Кызылсу	»	13,3	22,5
№ 651	Кызкурган	»	10,7	21,7
Памирское фирновое плато, № 737	Фортамбек	вис. дол.	8,3	20,9
Вальтера, № 730	»	сл. дол.	12,3	20,1
Дзержинского, № 265	Сауксай	»	14,9	19,0
Джайлякумсай, № 592	Джайлякумсай	»	7,6	17,2
Мушкетова (Карасель), № 710	Карасель	»	14,0	17,1
Шини-Бини, № 776	Сугран	»	10,3	16,4
Москвина, № 731	Фортамбек	»	9,2	16,4
Ошанина (Музгазы), № 816	Музгазы	»	10,7	15,6

Таблица 12
Распределение ледников по основным речным бассейнам

Бассейн реки	Номера ледниковых по табл. I	Ледники размерами				Всего	
		<0,1 км ²		0,1 км ² и более		количество	площадь, км ²
		количество	площадь, км ²	количество	площадь, км ²		
Правые притоки р. Муксус	101—179	12	0,7	79	126,7	91	127,4
Сауксай	180—407	52	2,7	228	417,2	280	419,9
Каинды	408—443	28	1,6	36	21,5	64	23,1
Балындкик	445—676	66	3,9	232	362,4	298	366,3
Притоки р. Сельдара	444, 677—682	3	0,2	7	2,6	10	2,8
Левые притоки р. Муксус	683—829	14	0,7	147	330,6	161	331,3
Район оледенения в целом	101—829	175	9,8	729	1261,0	904	1270,8

алайского и Зулумарт (пик Ленина, 7130 м). Здесь располагается мощный узел оледенения, к которому в пределах бассейна р. Сауксай относятся ледники Вали (№ 257), Малый Саукдара (№ 274) и Большой Саукдара (№ 282). Они имеют преобладающую южную ориентацию. Языки этих ледников благодаря обширным фирновым областям, залегающим на огромных высотах в зоне вечного мороза, опускаются непосредственно в пойму р. Сауксай, перегораживая (ледники Вали и Малый Саукдара) или заполняя ее (ледник Большой Саукдара) (рис. 6—9).

В левобережной части р. Сауксай на северо-западном склоне хр. Зулумарт и северо-восточном склоне хр. Саукдара размеры ледников меньше, но и здесь имеется крупный ледник Северный Зулумарт (№ 307) — 29,1 км² (рис. 10).

Далее на запад и юг, в бассейнах рек Белеули и Каинды, притоков рек Сауксай и Сельдара, а также в верховьях р. Балындкик размеры ледников существенно уменьшаются. Здесь, несмотря на значительные высоты хребтов (более 5000 м), начинают проявляться экспозиционные различия склонов. Так, почти отсутствуют ледники на юго-западных склонах хребтов Белеули и Каинды, на склоне той же экспозиции безымянного хребта в междуречье Зулумарта и Балындкика, в то время как на северо-восточных склонах этих хребтов залегает множество ледников. В верховьях р. Балындкик рельеф имеет черты, присущие восточно-памирскому типу, но к западу от пер. Тахта-Корум усиливается расчлененность хребтов и в этом же направлении увеличиваются размеры ледников. Много развитых ледников долинного и сложного

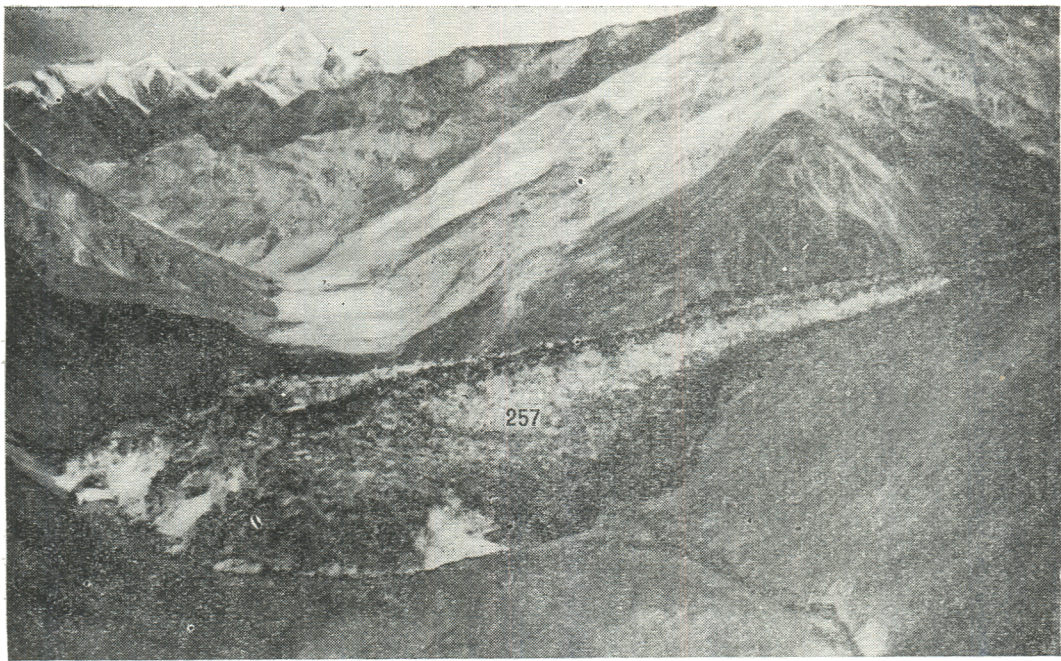


Рис. 6. Ледник Вали (№ 257) перекрывает долину р. Сауксай (вид вниз по долине).
Фото В. А. Рудакова и Л. В. Десинова.

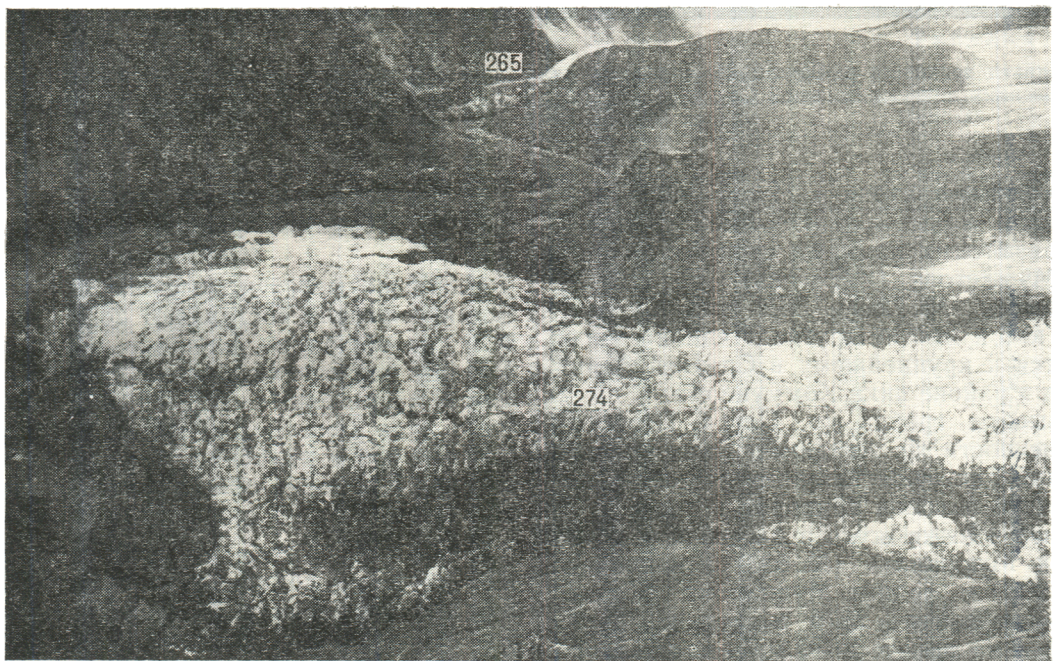


Рис. 7. Язык ледника Малый Саукдара (№ 274). На заднем плане выдвинувшийся в долину р. Сауксай язык ледника Дзержинского (№ 265). Фото В. А. Рудакова и Л. В. Десинова.

долинного типа имеется на северном склоне хр. Северный Танымас, западном и восточном склонах хр. Балындкик, восточном склоне хр. Кызкурган. Наибольшим ледником этой части района является Северный Кызкурган (№ 649) — 22,9 км².

Ледники северного склона хр. Петра Первого и северной оконечности хр. Академии Наук питают

липинский, карово-долинный, каровый, висячий каровый, карово-висячий, висячий, кулуаров, присклоновый. Кроме того, имеются ледники склонового типа, впервые выделенные Г. М. Варнаковой и О. В. Рототаевой (см. Каталог ледников СССР. Том 14. Вып. 3. Часть 6. Бассейн р. Сурхоб между устьями рек Обихингоу и Муксу).

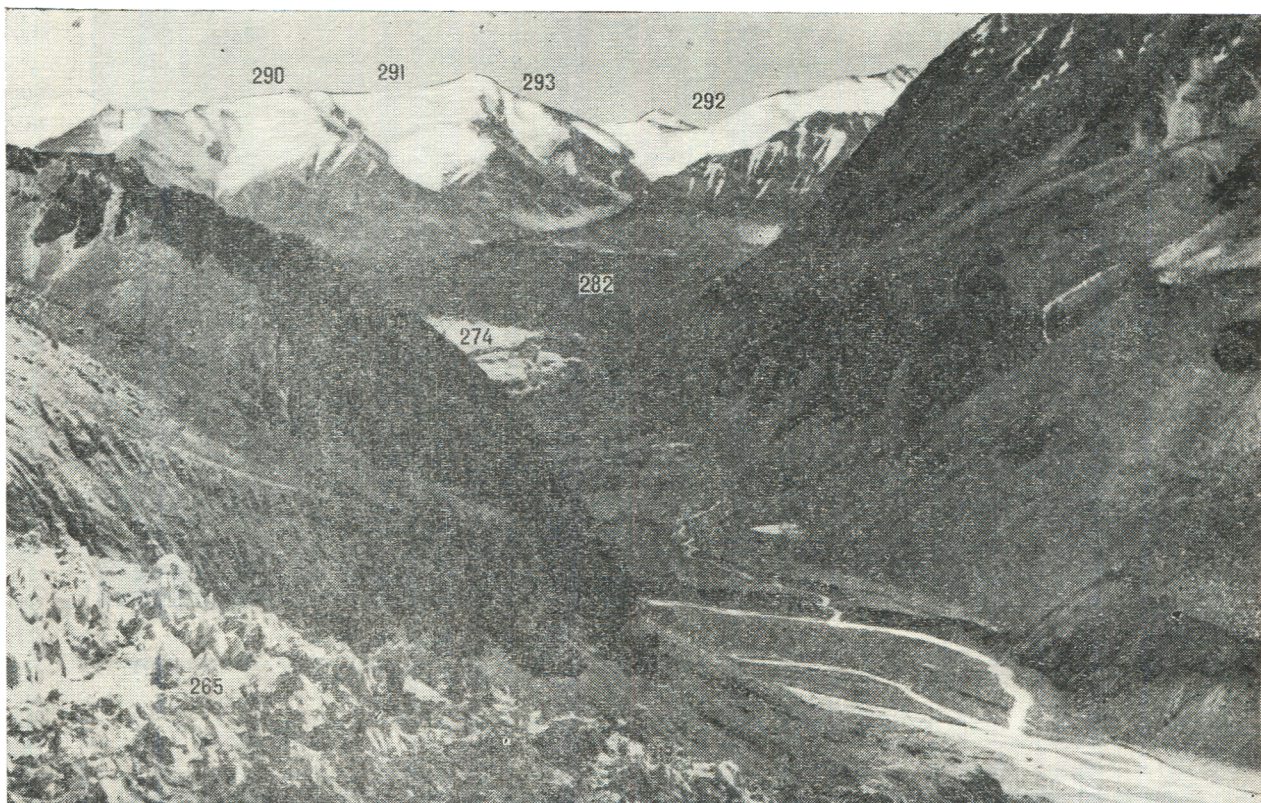


Рис. 8. Ледники верховьев р. Саясай. На переднем плане поверхность языка ледника Дзержинского (№ 265), на заднем — язык ледника Большой Саукдара (№ 282). В нижней его части слева — язык ледника Малый Саукдара (№ 274). Фото Л. В. Десикова.

многочисленные левые притоки р. Муксу. Здесь, наряду с множеством малых ледников, имеются крупные с хорошо развитыми языками сложные долинные глетчеры Мушкетова (Карасель) (№ 710) — 17,1 км², Фортамбек (№ 724) — 36,4 км², Сугран (№ 783) — 47,1 км² и многие другие. Ледники этих склонов относятся к крупнейшему в Средней Азии узлу оледенения в районе пика Коммунизма.

Огромные высоты гребня хр. Петра Первого и северной оконечности хр. Академии Наук вместе с общей выгодной для существования ледников северной ориентацией склонов приводят к тому, что ледники опускаются ниже всего в бассейне р. Муксу. Так, ледник Музджилга (№ 683) заканчивается на высоте 2880 м, ледник Мушкетова (Карасель) (№ 710) — на высоте 2870 м, ледник Фортамбек (№ 724) — на высоте 2850 м, ледник Бырс (№ 772) — на высоте 2820 м.

Морфологические типы ледников. Согласно морфологической классификации «Руководства по составлению Каталога ледников СССР», в районе выделено 11 типов ледников: сложный долинный, долинный, асимметричный долинный, висячий до-

липинский, карово-долинный, каровый, висячий каровый, карово-висячий, висячий, кулуаров, присклоновый. Кроме того, имеются ледники склонового типа, впервые выделенные Г. М. Варнаковой и О. В. Рототаевой (см. Каталог ледников СССР. Том 14. Вып. 3. Часть 6. Бассейн р. Сурхоб между устьями рек Обихингоу и Муксу).

Наиболее многочисленными являются висячие ледники, которые составляют 28,1% числа всех ледников, но общая их площадь равна только 4,4% площади оледенения района, поэтому и средний размер их невелик — всего 0,27 км². Ледники висячего типа (висячие, кулуаров и склоновые) составляют почти половину числа всех ледников района (44,2%), но их общая площадь не превышает 10% общей площади оледенения (табл. 13).

Наибольшую площадь среди всех типов занимают сложные долинные глетчеры (53,3% общей площади оледенения). Ледники верховьев долин — сложные долинные, долинные, асимметричные долинные, висячие долинные, а также карово-долинные, незначительно уступая по количеству ледникам висячего типа (42,7%), занимают 88,7% площади оледенения района.

Ледников, приуроченных к карям (каровые, висячие каровые и карово-висячие), в районе всего



Рис. 9. Поверхность ледника Большой Саукдара (№ 282). Фото В. И. Рацека.

Таблица 13

Распределение ледников по морфологическим типам

Тип ледника	Количество		Площадь	
	всего	% общего числа ледников	км ²	% общей площади оледенения района
Сложный долинный	60	8,2	671,5	53,3
Долинный	94	12,9	265,6	21,2
Асимметричный долинный	5	0,7	8,0	0,6
Висячий долинный	74	10,2	96,7	7,7
Карово-долинный	78	10,7	74,6	5,9
Каровый	57	7,8	23,1	1,8
Висячий каровый	8	1,1	3,0	0,2
Карово-висячий	25	3,4	13,0	1,0
Висячий	205	28,1	55,8	4,4
Кулуаров	92	12,7	19,8	1,6
Присклоновый	6	0,8	3,0	0,2
Склоновый	25	3,4	26,9	2,1
Итого	729	100,0	1261,0	100,0

90, что составляет 13,3% числа всех ледников. Площадь, занимаемая ими, также мала — всего 3% площади оледенения района.

Распределение ледников по морфологическим типам в бассейнах частных притоков, выделенных в табл. I, приводится в табл. 23.

Относительное распределение площади ледни-

ков по высоте. Для всех морфологических типов ледников района построены осредненные кривые относительного распределения площади по высоте, для чего применена методика Альмана, согласно которой высотный диапазон каждого ледника делился на десять равных частей и по распределению площади по высоте определялась ее доля в каждом



Рис. 10. Оледенение верховьев р. Сауксай. На переднем плане язык ледника Большой Саукдара (№ 282), на заднем — ледник Северный Зулумарт (№ 307). Фото В. И. Рапека.

высотном интервале¹. Средняя для всех ледников конкретного морфологического типа доля площади интервалов (от 1 до 10) в процентах общей площади ледника приведена на оси ординат рис. 11.

Как видно, относительное распределение площади ледников по высоте у различных морфологических типов не является одинаковым. У сложных долинных ледников максимум площади (в среднем 16% площади ледника) приходится на пятый интервал. До этого интервала площадь постепенно нарастает, а после него так же постепенно уменьшается. Максимальные площади льда у сложных долинных ледников наблюдаются обычно в местах впадения притоков или сопряжения составных частей.

У долинных ледников в четвертом—шестом интервалах площадь ледника почти одинакова. Примерно такой же вид имеет кривая распределения площади карово-долинных ледников. У ледников других типов (висячих долинных, асимметричных долинных, каровых, карово-висячих, висячих каровых, висячих и кулуаров) максимум площади льда сдвигается в верхние интервалы, на шестой—седьмой или восьмой. Этот сдвиг особенно заметен

у висячих ледников и ледников кулуаров. Последние имеют относительно пологие и широкие фирновые мульды и узкие, длинные, низко спускающиеся языки.

Максимальные площади льда на интервал у ледников почти всех типов составляют 12—13% площади ледника, минимальные площади чаще всего имеют место в первом интервале и составляют 5—8%.

На рис. 12 приведены относительные распределения по высоте площади крупнейших ледников района. Форма кривой распределения каждого ледника обусловлена морфологическими особенностями строения вмещающего ложа и характером сопряжения притоков и составных частей. Максимальные площади льда обычно отмечаются в средних интервалах (пятом—шестом), но имеются и отклонения, когда наибольшая площадь расположена в нижней или верхней части: так, у ледника Мушкетова (Карасель) — в третьем интервале (рис. 12 л), а у ледника Дзержинского — даже в восьмом (рис. 12 з). У ледников с узкими длинными выводными языками площадь льда в нижних трех интервалах обычно невелика и не превышает 10% площади в каждом.

Свообразно распределение площади льда на

¹ Расчеты выполнены на ЭВМ «Минск-2».

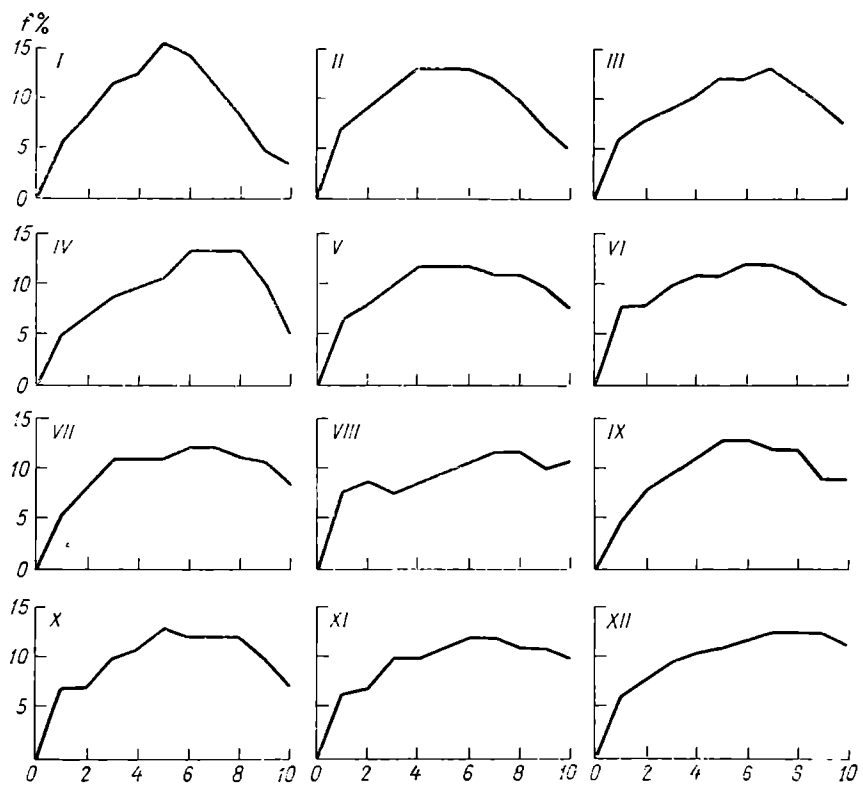


Рис. 11. Среднее относительное распределение площади ледников $f\%$ различных морфологических типов по 10 высотным интервалам.

Тип ледника: I — сложный долинный, II — долинный, III — висячий долинный, IV — асимметричный долинный, V — карово-долинный, VI — каровый, VII — карово-висячий, VIII — висячий каровый, IX — склоновый, X — присклоновый, XI — висячий, XII — кулааров.

Памирском фирновом плато (№ 737), отнесенном к ледникам висячего долинного типа. В четвертом и пятом интервалах (рис. 12 к) сосредоточено 73% площади ледника, в нижних (первом—третьем) — всего 4%. В средних интервалах (четвертом — шестом) представлено 85% площади ледника, что свидетельствует о действительно платообразном характере его поверхности. Средний взвешенный по площади уклон Памирского фирнового плато равен 22° . Занимая широкую троговую долину, поднятую тектоническими движениями на высоту 6000 м и более, этот ледник стекает с пика Коммунизма на запад, в сторону ледника Фортамбек (рис. 4, 13). Когда-то Памирское фирновое плато было притоком последнего, но затем отчленилось. Нижний конец ледника повисает на краю отвесной скальной стены. Расход массы Памирского фирнового плато осуществляется обвалами по всему фронту нижней части ледника Фортамбек. Наиболее часто они происходят с ледопада Трамплинного (рис. 14), ниже которого на теле ледника Фортамбек формируется возрожденный ледник, обладающий всеми атрибутами нормального глетчера — фирмовой областью, фирмовой линией и самостоятельным языком (рис. 15). По степени загрязненности последний существенно отличается от смежных участков ледника Фортамбек, почти сплошь закрытых моренами.

Экспозиция ледников. Распределение площади оледенения по экспозициям зависит прежде всего

от экспозиции склонов хребтов. На склонах северной и северо-восточной ориентаций ледники находятся в наиболее благоприятных условиях существования. Указанные ориентации склонов характерны для большинства хребтов, формирующих рельеф бассейна р. Муксу. В связи с этим ледники, ориентированные на север и северо-восток, занимают 41,6% площади оледенения района. Вместе с ледниками северо-западного румба они составляют 57,1% оледенения.

Довольно значительна площадь ледников южной экспозиции. Несмотря на то, что их в бассейне меньше, чем ледников других экспозиций, их суммарная площадь больше, чем площадь ледников отдельно восточной, юго-восточной или юго-западной ориентации (табл. 14).

Таблица 14
Распределение ледников по экспозициям

Экспозиция	Количество		Площадь	
	всего	% общего числа ледников	км ²	% общей площади оледенения
С	106	14,5	242,3	19,2
СВ	178	24,4	282,9	22,4
В	77	10,6	120,8	9,6
ЮВ	61	8,4	54,3	4,3
Ю	36	5,0	165,3	13,1
ЮЗ	73	10,0	94,4	7,5
З	60	8,2	104,8	8,4
СЗ	138	18,9	196,2	15,5
Итого	729	100,0	1261,0	100,0

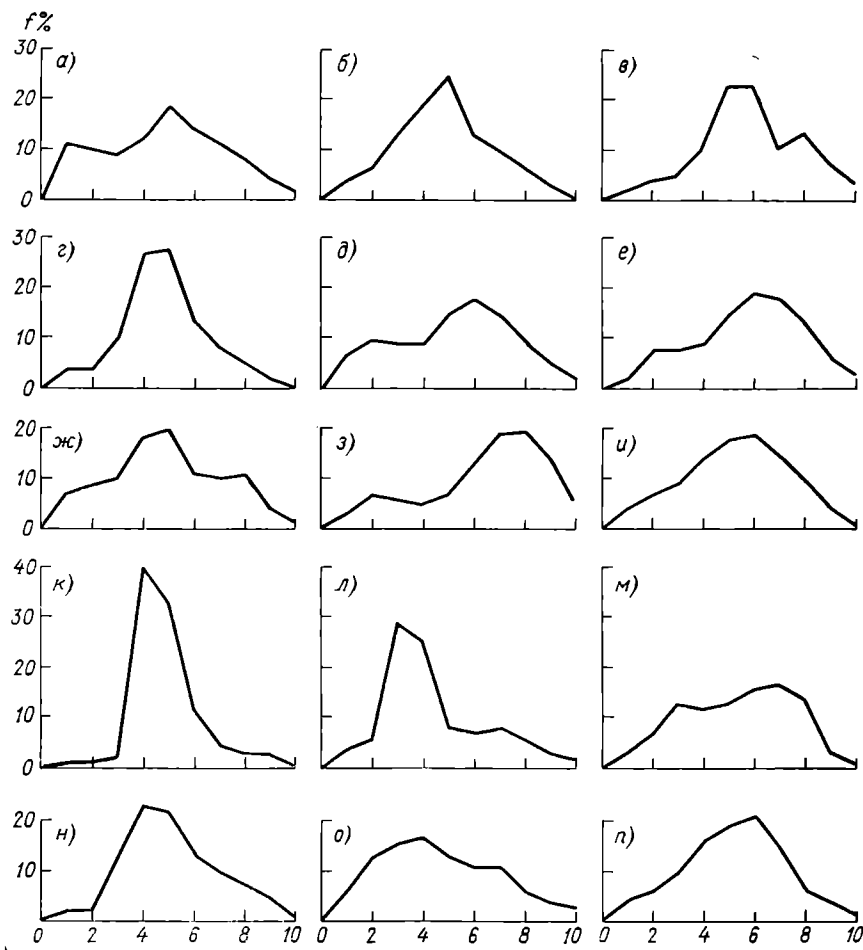


Рис. 12. Относительное распределение площади крупнейших ледников f района по 10 высотным интервалам.

Ледник: а — Большой Саукдара (№ 282), б — Сугран (№ 783), в — Фортамбек (№ 724), г — Северный Зулумарт (№ 307), д — Кызгун (№ 233), е — Малый Саукдара (№ 274), ж — Северный Кызылурган (№ 649), з — Кызылсу (№ 144), и — № 651, к — Памирское фириковое плато (№ 737), л — Вальтера (№ 730), м — Дзержинского (№ 265), н — Джанлякумсай (№ 592), о — Мушкетова (Карасель) (№ 710), п — Шинни-Бини (№ 776).

Безразличными к экспозиции склона являются ледники Заалайского хребта. Несмотря на южную экспозицию склона в пределах района, он несет значительное число крупных ледников благодаря очень большим абсолютным отметкам гребня, достигающим 7000 м и более. В то же время склон этой же экспозиции хр. Каинды, обладающий меньшими высотами, оледенения не имеет. Ограниченнное оледенение несут юго-западные склоны хр. Саукдара в пределах бассейна р. Белеули, хр. Белеули в бассейне р. Каинды и безымянного хребта в междуречье Зулумарта и Баяндикника.

Преобладающей ориентацией ледников района является северо-северо-восточная (9°). Определена она как направление вектора $f_{\text{пр}}$, равного сумме площадей оледенения по восьми румбам:

$$f_{\text{пр}} = f_c + f_{\text{св}} + f_b + f_{\text{юв}} + f_{\text{юз}} + f_z + f_{\text{сз}}.$$

Коэффициент ориентации, определяемый отношением площади преобладающей ориентации $f_{\text{пр}}$ к общей площади оледенения, равен 0,26. Столь низкая его величина говорит о значительной вариантиности экспозиций ледников.

Распределение числа и площади ледников по

экспозициям в бассейнах частных притоков, выделенных в табл. I, приводится в табл. 24.

Высотное положение ледников. Современное оледенение рассматриваемого района расположено в исключительно большом диапазоне высот — от 2820 до 7300 м. Наиболее низко опускаются ледники северного склона хр. Петра Первого и северной оконечности хр. Академии Наук. Здесь концы ледников Шагазы (№ 807), Быры (№ 772), Фортамбек (№ 724), Мушкетова (Карасель) (№ 710) и Музджилга (№ 683) опускаются ниже 3000 м. Однако площадь ледников ниже этой отметки равна всего $0,75 \text{ км}^2$, т. е. менее 1% общей площади оледенения района. Наибольших значений средний вертикальный диапазон оледенения достигает в водосборах левых притоков р. Муксу, стекающих с этих хребтов. Здесь он превышает 2000 м. В водосборах правых притоков р. Муксу этот диапазон меньше (1450 м), как за счет меньших высот Заалайского хребта в его западной части, так и из-за невыгодной южной ориентации его склона, обращенного к бассейну. Несколько меньше, чем в водосборах левых притоков р. Муксу, средний диапазон оледенения в бассейне р. Сауксай



Рис. 13. Западная часть Памирского фирнового плато (№ 737). Трещины оконтуривают ледопад Трамплинный. На заднем плане левая ветвь ледника Фортамбек (№ 724) ледник Турамыс. *Фото Г. В. Калинина.*

(1700 м). При движении в глубь бассейна р. Муксу в водосборах рек Каинды и Балындкиик он уменьшается соответственно до 820 и 1030 м.

Сокращение высотного диапазона в верховьях бассейна обусловлено усилением эффекта массивности гор, выражаящемся в уменьшении количества осадков на одних и тех же высотах вследствие экранированности верховьев бассейна меридионально расположенным хребтами Академии Наук, Кызкурган и Балындкиик. Следствием этого является уменьшение размеров ледников, что особенно заметно на рис. 25. При движении в глубь бассейна с запада на восток повышается также и средняя отметка нижней границы ледников от 3680 (левые притоки р. Муксу) и 3960 (правые притоки) до 4500 м в бассейне р. Балындкиик. В этом направлении возрастают и минимальные отметки концов ледников (см. табл. 25).

Сдвиг оледенения в верхние зоны отмечается и при движении с запада на восток вдоль хребтов. Так, на южном склоне Заалайского хребта в его западной части до пер. Терсагар нижняя граница ледников опускается до 3200 м, а средняя отметка концов ледников равна 3960 м. В восточной части хребта (от пер. Терсагар до верховьев р. Сауксай) эти отметки увеличиваются соответственно до 3980 и 4270 м (см. табл. 25). На северном склоне хр. Петра Первого и северной оконечности хр. Академии Наук отметки нижней границы и средней высоты концов ледников увеличиваются соответственно от 2820 до 3870 м и от 3260 до 4470 м.

Несмотря на низкие отметки концов ледников, площадь льда в высотном поясе 2820—4000 м составляет всего 5% площади оледенения района. Выше 6000 м расположено только 3,7%. Таким образом, основная площадь оледенения сосредоточена в двухкилометровом диапазоне высот (4000—6000 м), но и здесь оледенение по высоте распределено неравномерно. Максимум площади ледников (63%) находится в высотном интервале 4600—5400 м, при этом максимум площади на 200-метровый интервал приходится на зону 4800—5000 м (18%). В целом по бассейну более половины площади оледенения (53,9%) находится ниже 5000 м, остальная часть площади расположена на высотах до 7300 м.

Распределение площади ледников по высоте в бассейнах притоков, выделенных в табл. I, приводится в табл. 26.

Фирновая линия. Высота фирновой линии на отдельных ледниках района изменяется в чрезвычайно широких пределах. Однако в пространственном ее распределении отмечаются те же закономерности, которые установлены выше для высотных диапазонов оледенения и нижних границ ледников. Высота фирновой линии повышается при движении в глубь бассейна, достигая максимальных отметок в верховьях рек Зулумарт и Балындкиик. Если на южном склоне Заалайского хребта в его западной части (до пер. Терсагар) она находится в среднем на высоте 4770 м, то в восточной части этого хребта она повышается в среднем до



Рис. 14. Ледопад Трамплинный — сброс с Памирского фирнового плато. *Фото Г. В. Калинина.*

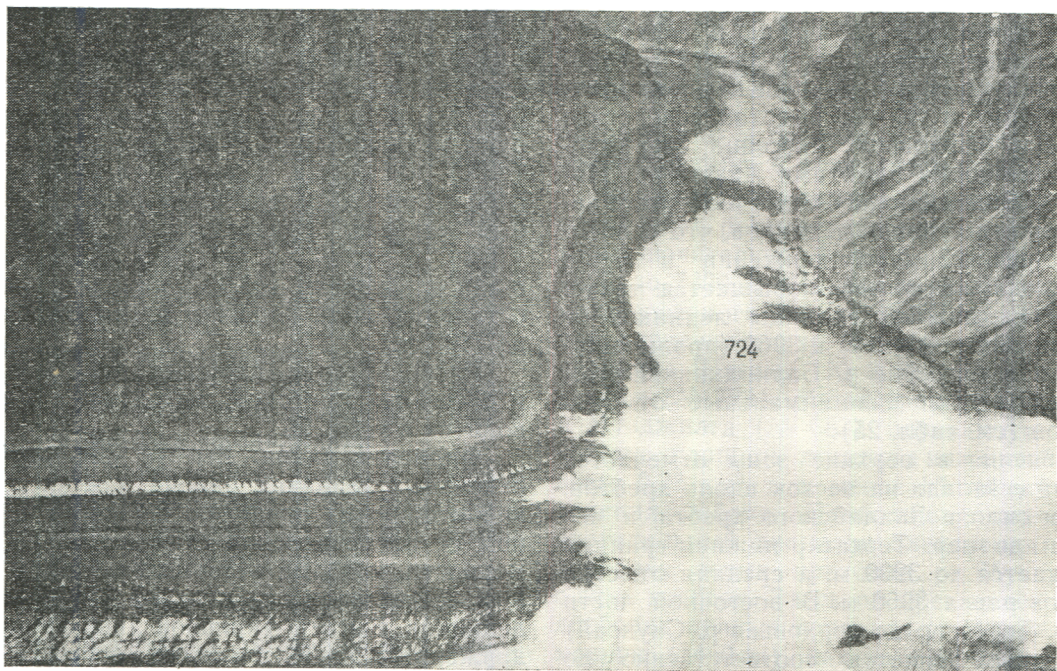


Рис. 15. Средняя часть ледника Фортамбек (№ 724). В правом нижнем углу возрожденный ледник за счет обвалов с ледопада Трамплинного. *Фото В. А. Рудакова и Л. В. Десинова.*

высоты 5260 м, а минимальные ее значения возрастают на 600 м (с 3920 до 4520 м). На северных склонах хребтов Петра Первого и Академии Наук это повышение не столь значительно: минимальные высоты фирновой линии увеличиваются с 3650 до 3740 м, а средние с 4700 до 4840 м. Это и понятно, так как ледники северных склонов находятся в более выгодных условиях существования.

Внутри бассейна на склонах различной экспозиции одного и того же хребта минимальные значения высоты фирновой линии существенно отличаются. Так, на северо-восточных склонах хребтов Саукдара и Белеули фирновая линия находится соответственно на 510 и 300 м ниже, чем на юго-западных; на западном склоне хр. Баляндкик она на 410 м выше, чем на восточном. Но средняя высота фирновой линии на противоположных склонах этих хребтов различается не намного: на хр. Саукдара — на 100 м, на хр. Белеули — на 120 м, на хр. Баляндкик — всего на 40 м. Наибольшие различия в средней высоте фирновой линии отмечаются на безымянном хребте в междуречье Зулумарта и Баляндкика (230 м).

В среднем по всему рассматриваемому району (исключая ледники системы ледника Федченко) высота фирновой линии равна 4950 м.

Высотное положение фирновой линии в бассейнах притоков приведено в табл. 25 в дополнительных материалах.

Моренный покров. Сплошной мореный покров имеется на 58 ледниках района. Общая площадь льда, закрытого мореной, равна 48,9 км², что составляет 3,9% площади оледенения.

Морены характерны только для ледников долинного типа (сложных долинных, долинных, асимметричных и висячих долинных и карово-долинных). На ледниках остальных типов часто имеются участки несплошных морен, сквозь которые «просвечивает» лед, но учет их площади затруднен из-за размытости контуров. Сплошной мореный покров наиболее распространен на сложных долинных ледниках (табл. 15).

Таблица 15

Моренный покров на ледниках различных морфологических типов

Морфологический тип ледника	Количество ледников с моренным чехлом		Площадь морен	
	всего	% общего числа ледников с моренным чехлом	км ²	% общей площади морен
Сложный долинный	29	50,0	35,9	73,5
Долинный	20	34,5	11,4	23,3
Асимметричный долинный	1	1,7	0,2	0,4
Висячий долинный	4	6,9	0,7	1,4
Карово-долинный	4	6,9	0,7	1,4
Итого	58	100,0	48,9	100,0

Объемы льда ледников. Объемы льда ледников, основные сведения о которых приводятся в табл. 1, вычислены по формуле Н. В. Ерасова (см. Предисловие). Суммарный объем льда ледников бассей-

на р. Муксу вместе с оледенением системы ледника Федченко равен 248,285 км³, причем 57% этого объема заключен в ледниках системы Федченко. Понятно, что приводимые в графе 17 табл. I. объемы льда каждого ледника определены с ошибками, однако их суммарный объем следует считать правдоподобным. Распределение объемов льда лед-

Таблица 16
Распределение объема льда ледников по крупным речным бассейнам

Бассейн реки	Объем льда ледников	
	км ³	% общего объема льда ледников района
Правые притоки р. Муксу	8,0913	7,8
Сауксай	37,4355	36,0
Каинды	0,5836	0,6
Баляндкик	23,8226	22,9
Правый и левые притоки р. Сельдары ниже ледника Федченко	0,0639	0,1
Левые притоки р. Муксу	33,9261	32,6
Итого	103,9230	100,0

ников по крупным речным бассейнам показано в табл. 16, а по бассейнам частных притоков, выделенных в табл. I, — в табл. 27.

Положительная и отрицательная разность оледенения, ледниковые коэффициенты. Наибольшую положительную и отрицательную разность оледенения имеют ледники левых притоков р. Муксу, стекающие с северных склонов хребтов Петра Первого и Академии Наук. Здесь средний диапазон оледенения равен почти 2,5 км, соответственно разности оледенения превышают 1 км (табл. 17). На-

Таблица 17
Средние значения положительной и отрицательной разности оледенения и ледниковых коэффициентов в частных речных бассейнах района

Бассейн реки	Разность оледенения, м		Коэффициент	
	положительная	отрицательная	высотный	ледниковый
Правые притоки р. Муксу	650	800	0,81	1,19
Сауксай	900	800	1,20	1,05
Каинды	400	420	0,95	1,07
Правый и левые притоки р. Сельдары ниже ледника Федченко	420	580	0,72	1,07
Баляндкик	560	470	1,19	1,00
Левые притоки р. Муксу	1260	1050	1,20	0,92
В среднем по району	860	760	1,13	1,01

именьшими значениями положительной и отрицательной разности оледенения обладают ледники бассейна р. Каинды, где средний диапазон не превышает 1 км. В целом для ледников района, основные сведения о которых приведены в табл. I, поло-

жительная разность оледенения больше отрицательной. Это соотношение характерно для всех крупных притоков, кроме бассейна р. Каинды и правых притоков р. Муксу, где оно обратное. Средний высотный коэффициент, равный отношению положительной разности оледенения к отрицательной, в бассейнах крупных притоков изменяется

хорошо освещенном солнцем склоне Заалайского хребта. Большие по сравнению с языками пологие фирновые области позволяют им существовать в неблагоприятных условиях.

Величина ледникового коэффициента у отдельных ледников изменяется от 0,51 до 2,09, при этом почти две трети ледников (64%) обладают ледниками коэффициентами в пределах 0,91—1,20, а средний коэффициент для всех ледников равен 1,01.

Распределение числа и площади ледников, приходящихся на различные значения ледникового коэффициента, показано на рис. 16.

Режим ледников. Режим ледников бассейна р. Муксу, за исключением оледенения системы ледника Федченко, изучен очень слабо. В основном производились наблюдения за колебаниями ледников северного склона хр. Петра Первого.

С 1904 по 1926 г. за изменением конца ледника Мушкетова (Карасель) (№ 710) вел наблюдения Н. Л. Корженевский, который сделал попытку связать периоды отступания и наступления ледника с колебаниями климата на Памире. Оказалось, что за это время ледник Мушкетова пережил период отступания с 1904 по 1910 г. В это время на мст Хорог отмечено резкое снижение количества осадков и повышение годовой температуры воздуха. С 1910 по 1914 г. ледник наступал, его конец далеко продвинул вниз по долине, а в 1913 г. мст Хорог показывала сильное увеличение осадков и резкое понижение температуры. С 1914 г. ледник находился в состоянии медленного отступания (табл. V/№ 19). До 1964 г. ледник отступил на 1140 м, т. е. его сокращение шло со скоростью 27 м в год в 1926—1930 гг. и 29 м в год в 1931—1964 гг. С 1967 г. съемка ледника Мушкетова производилась ежегодно гидрографической партией УГМС Тадж. ССР. С 1967 по 1973 г. ледник наступает в среднем по 20 м в год.

Ледник Музджилга (№ 683) с 1933 по 1964 г. отступил на 50 м (табл. V/№ 30).

Сведения о колебаниях ледников Мушкетова и Музджилга за отдельные годы приведены в табл. 28.

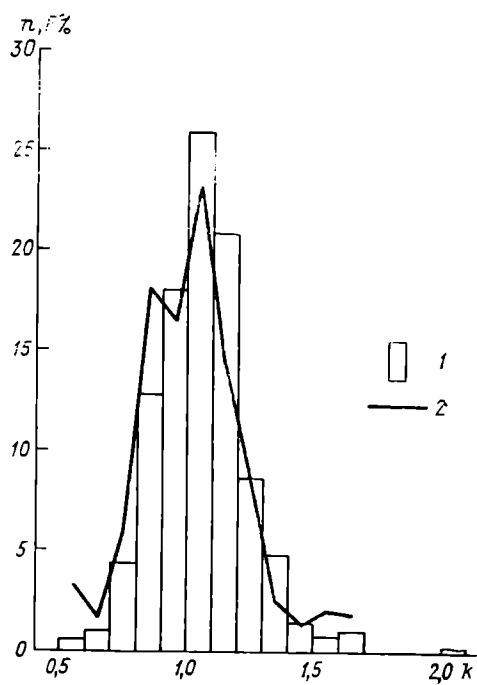


Рис. 16. Распределение числа ледников n (1) и их площади $F\%$ (2) по величине ледникового коэффициента k .

ется от 0,72 до 1,20 (средние значения получены взвешиванием по площади ледников). Ледниковый коэффициент изменяется от 0,92 до 1,19. Среднему значению высотного коэффициента у ледников правых притоков р. Муксу (0,81) соответствует максимальное значение ледникового коэффициента (1,19). Эти ледники расположены на южном, хо-

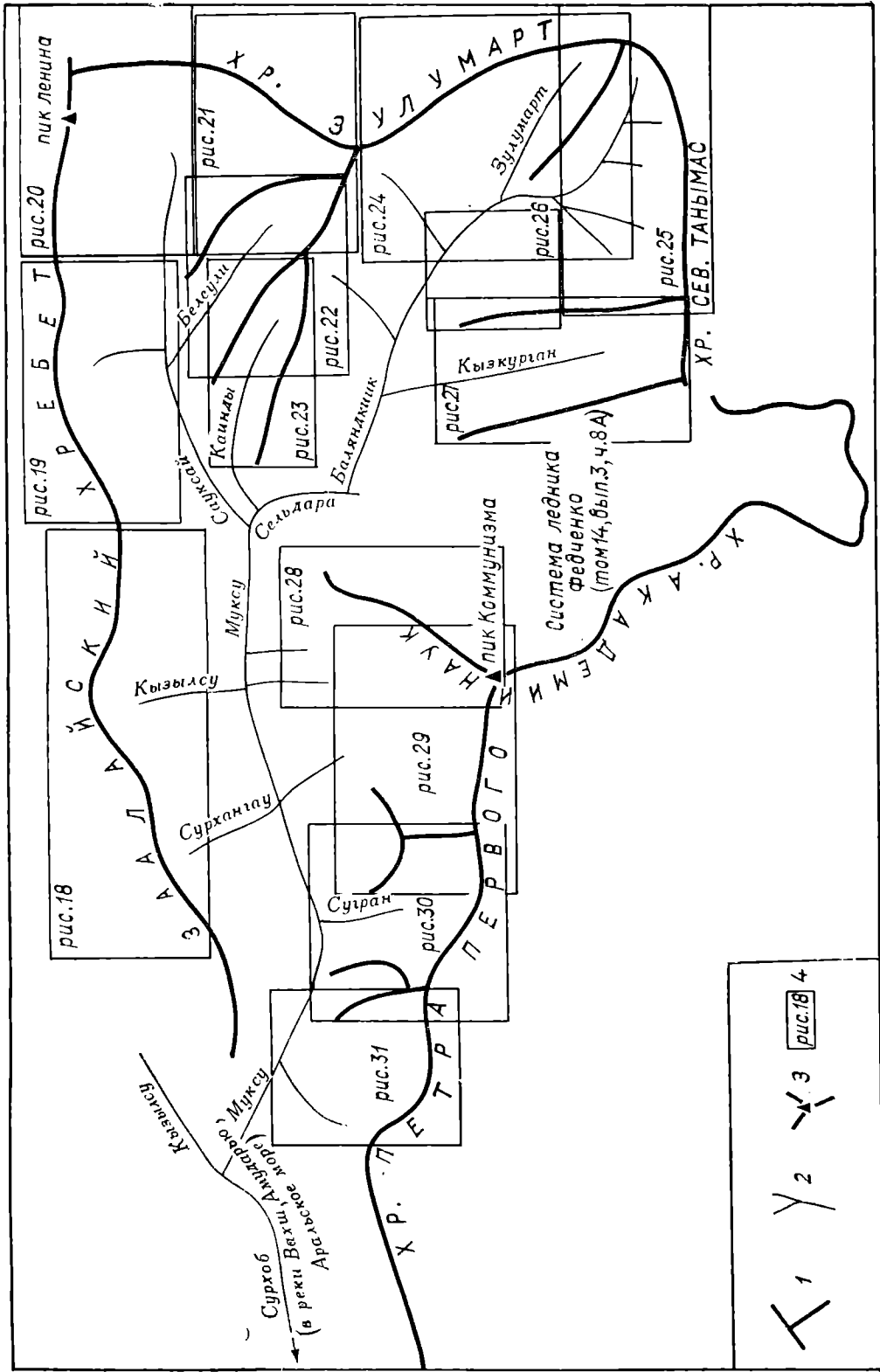


Рис. 17. Общая схема расположения бассейнов, в пределах которых размещаются ледники, показанные на рис. 18—31.
1 — хребет, 2 — река, 3 — главная вершина, 4 — граница рисунка и его номер.

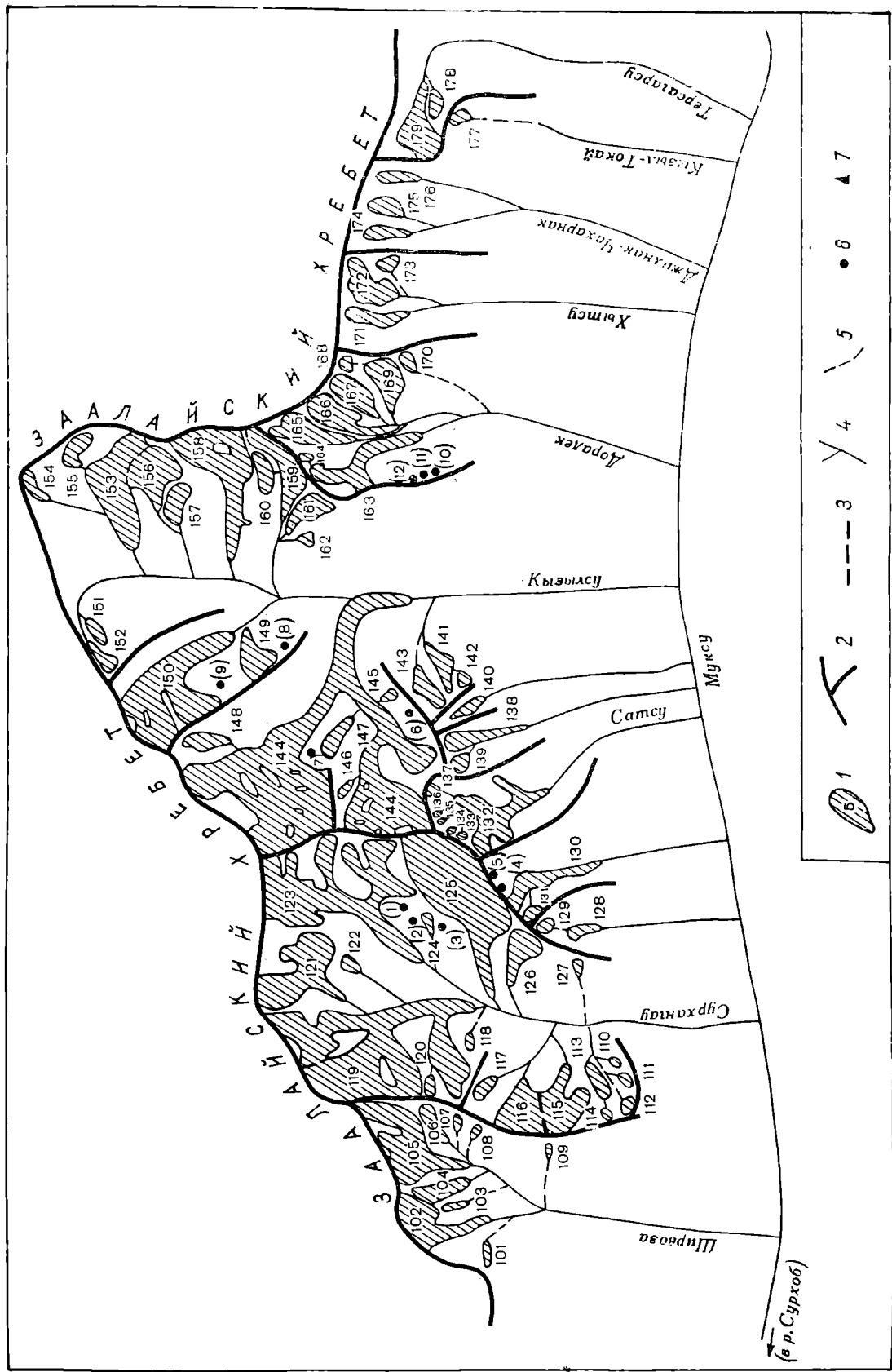


Рис. 18. Схема расположения ледниковых в бассейнах рек, стекающих с южного склона Златайского хребта к западу от пер. Терсагар.
 1 — ледник и его порядковый номер по табл. I, 2 — водораздел, 3 — водораздел, 4 — ледораздел, 5 — река, 6 — ледниковый сток, 7 — главная вершина.
 мер по табл. 21, 7 — главная вершина.

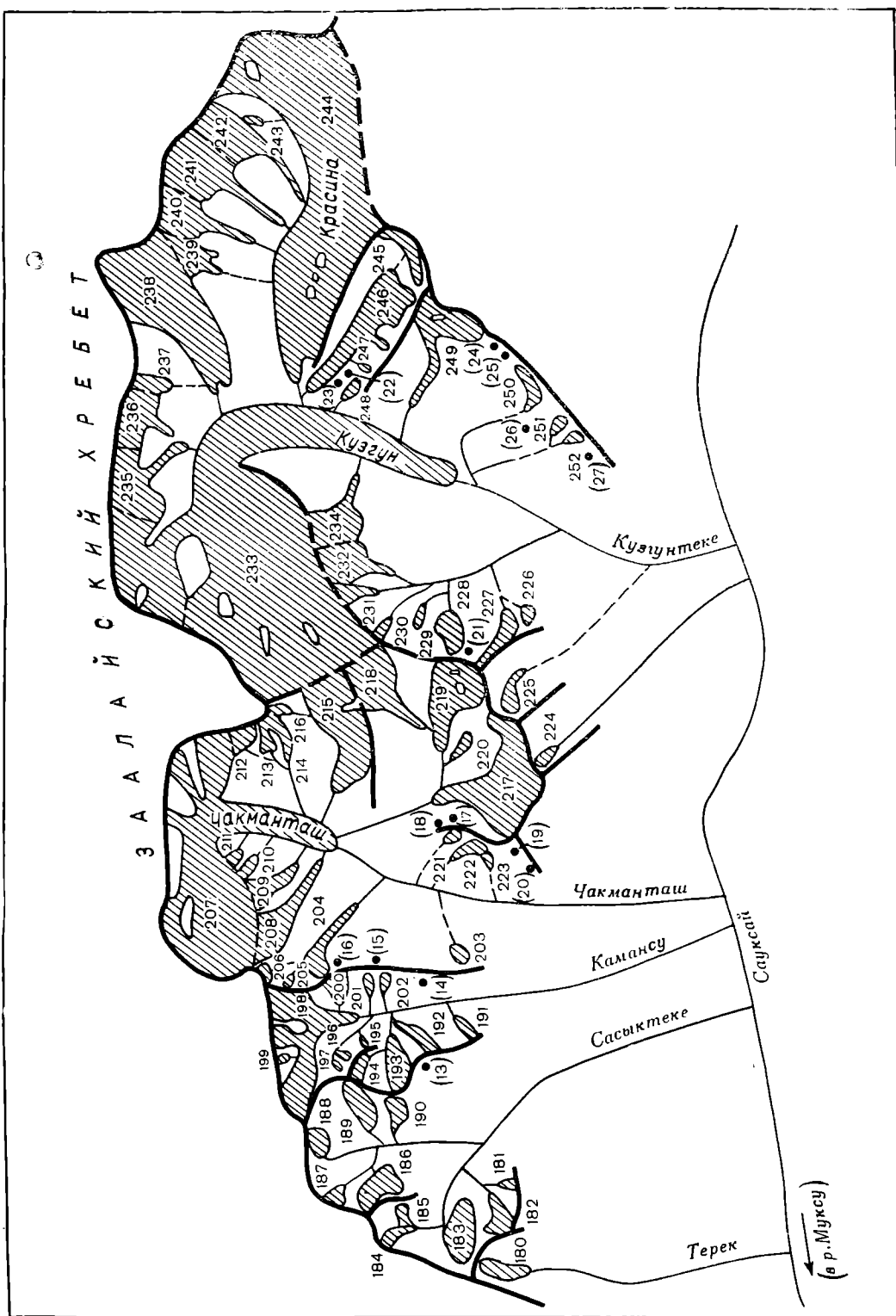


Рис. 19. Схема расположения ледников в бассейнах рек Тerek, Сасыктеке, Камансу, Чакманташ и Кузгунтеке.
Усл. обозначения см. на рис. 18.

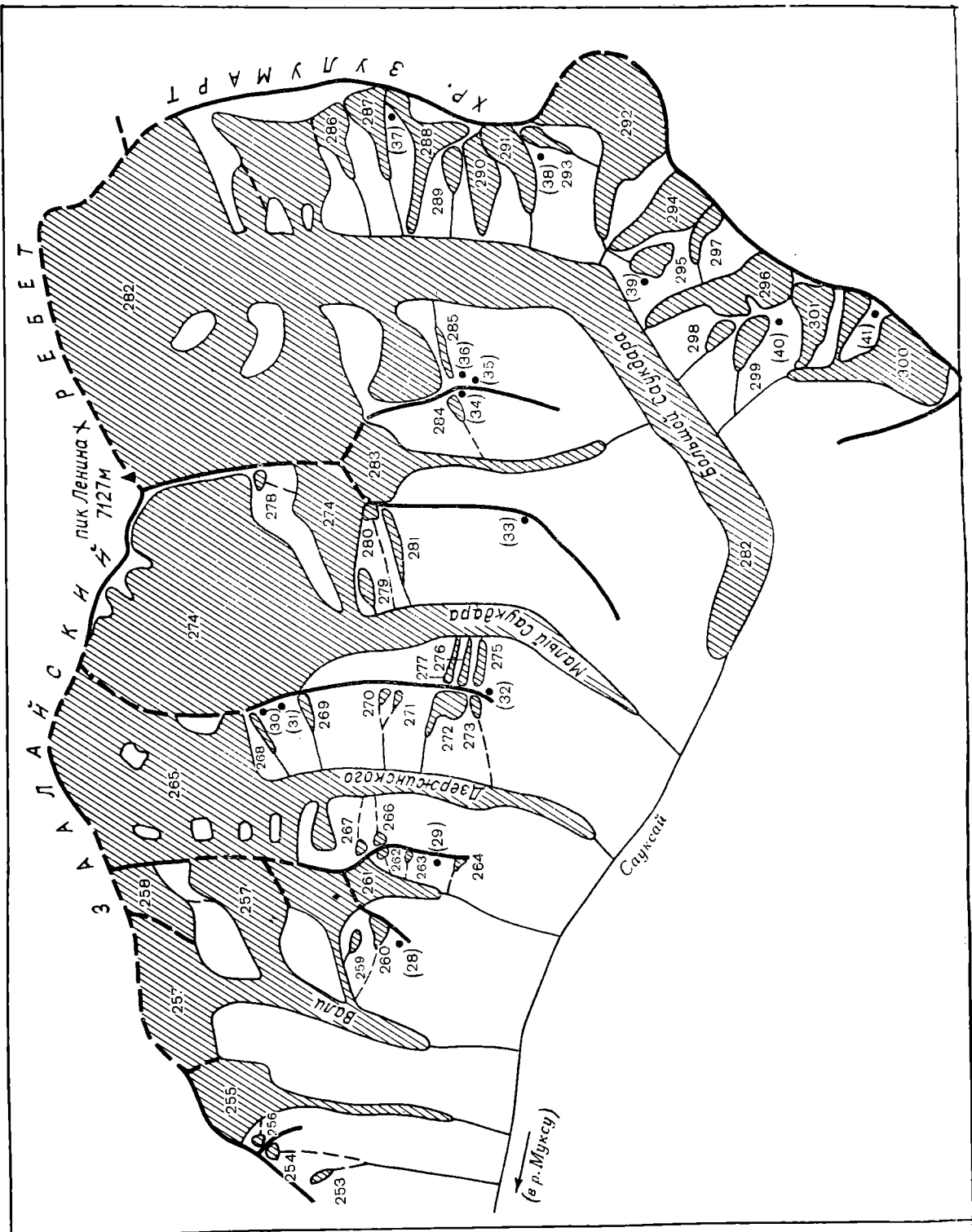


Рис. 20. Схема расположения ледников на южном склоне Заалайского хребта в бассейне верховьев р. Сауксай.
Усл. обозначения см. на рис. 18.



Рис. 21. Схема расположения ледников в бассейнах левых притоков р. Саукзай.
Усл. обозначения см. на рис. 18.

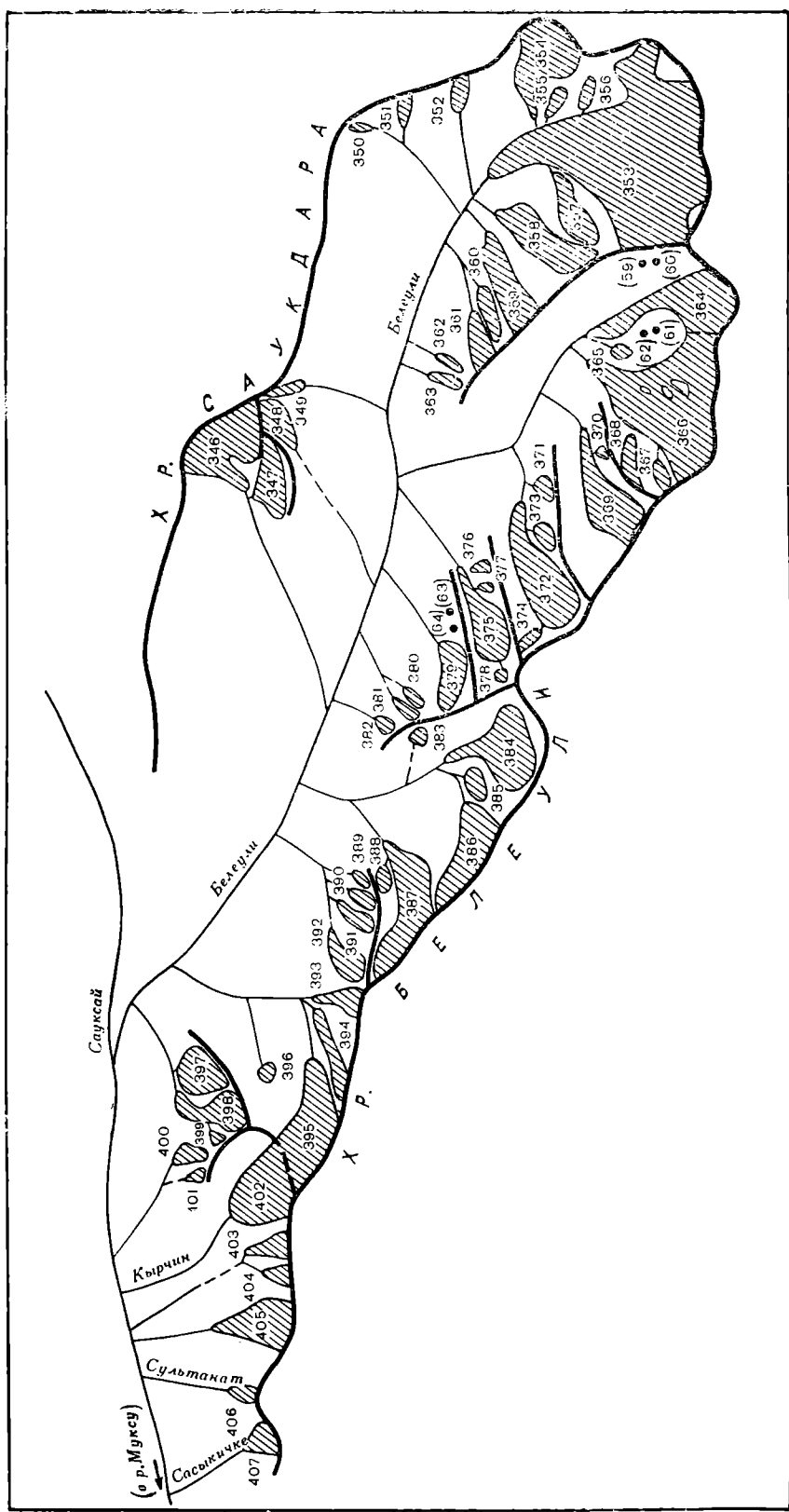


Рис. 22. Схема расположения ледников в бассейнах р. Белууи и левых притоков р. Сауксай.

Усл. обозначения см. на рис. 18.

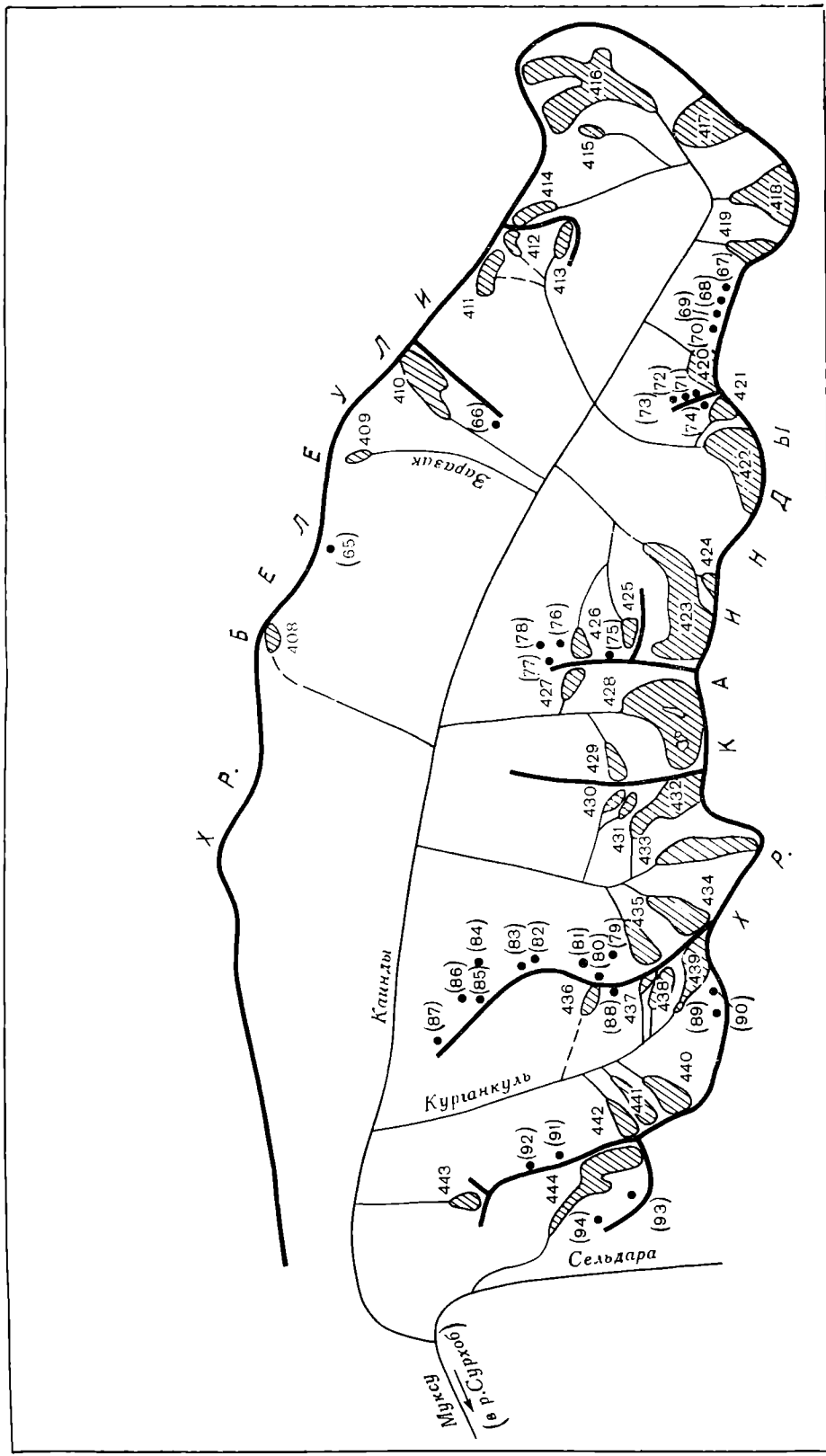


Рис. 23. Схема расположения ледниковых в бассейнах рек Кайнады и правого безымянного притока р. Сельдара.
Усл. обозначения см. на рис. 18.



Рис. 24. Схема расположения ледников в бассейнах правых притоков р. Балындиник.

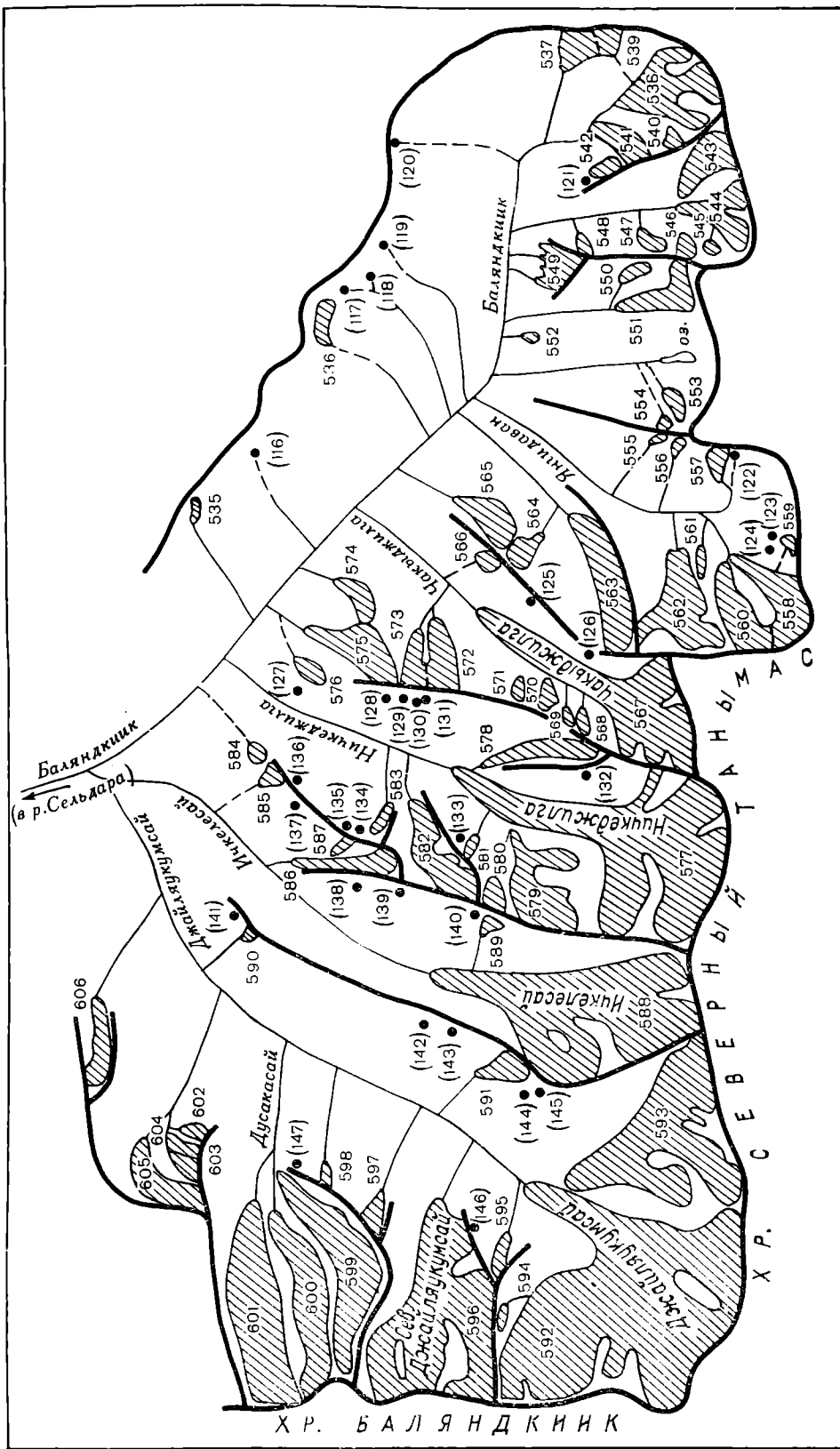


Рис. 25. Схема расположения ледников в верховых р. Балындиник.
Усл. обозначения см. на рис. 18.

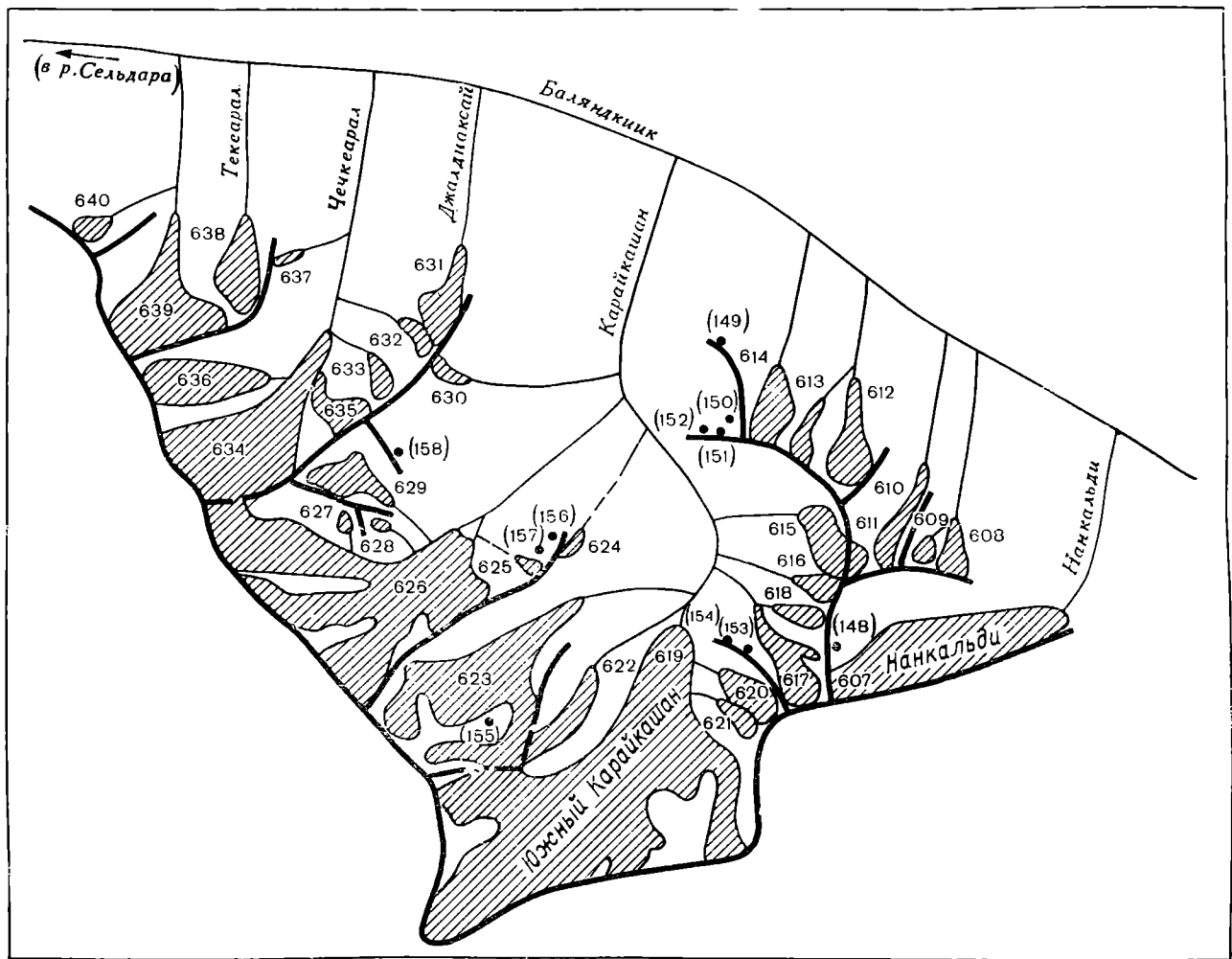


Рис. 26. Схема расположения ледников в бассейнах левых притоков р. Балядкин.
Усл. обозначения см. на рис. 18.

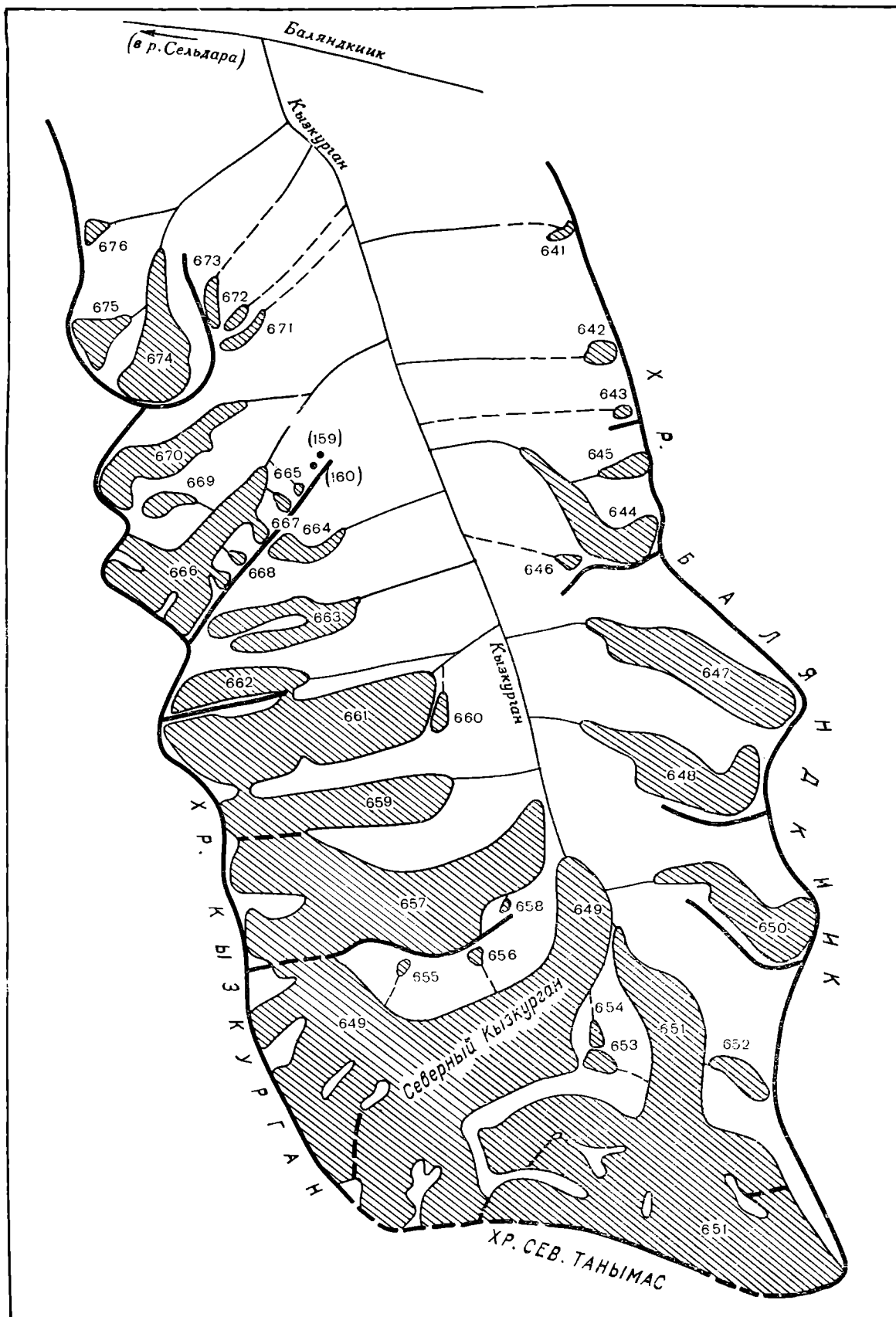


Рис. 27. Схема расположения ледников в бассейне р. Кызкурган.
Усл. обозначения см. на рис. 18.

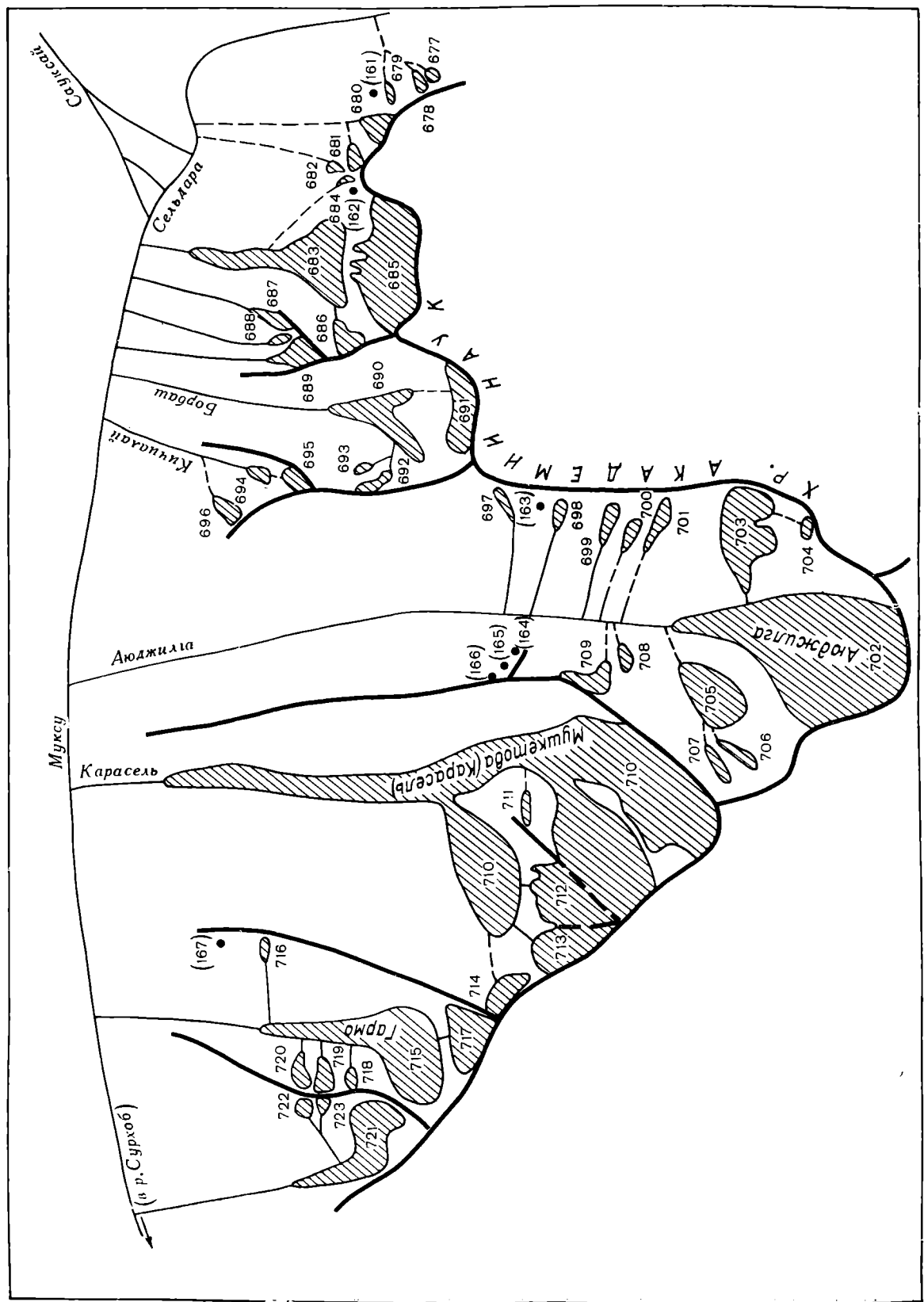


Рис. 28. Схема расположения ледников в бассейнах левых притоков рек Сельдара и Муску.

Усл. обозначения см. на рис. 18.

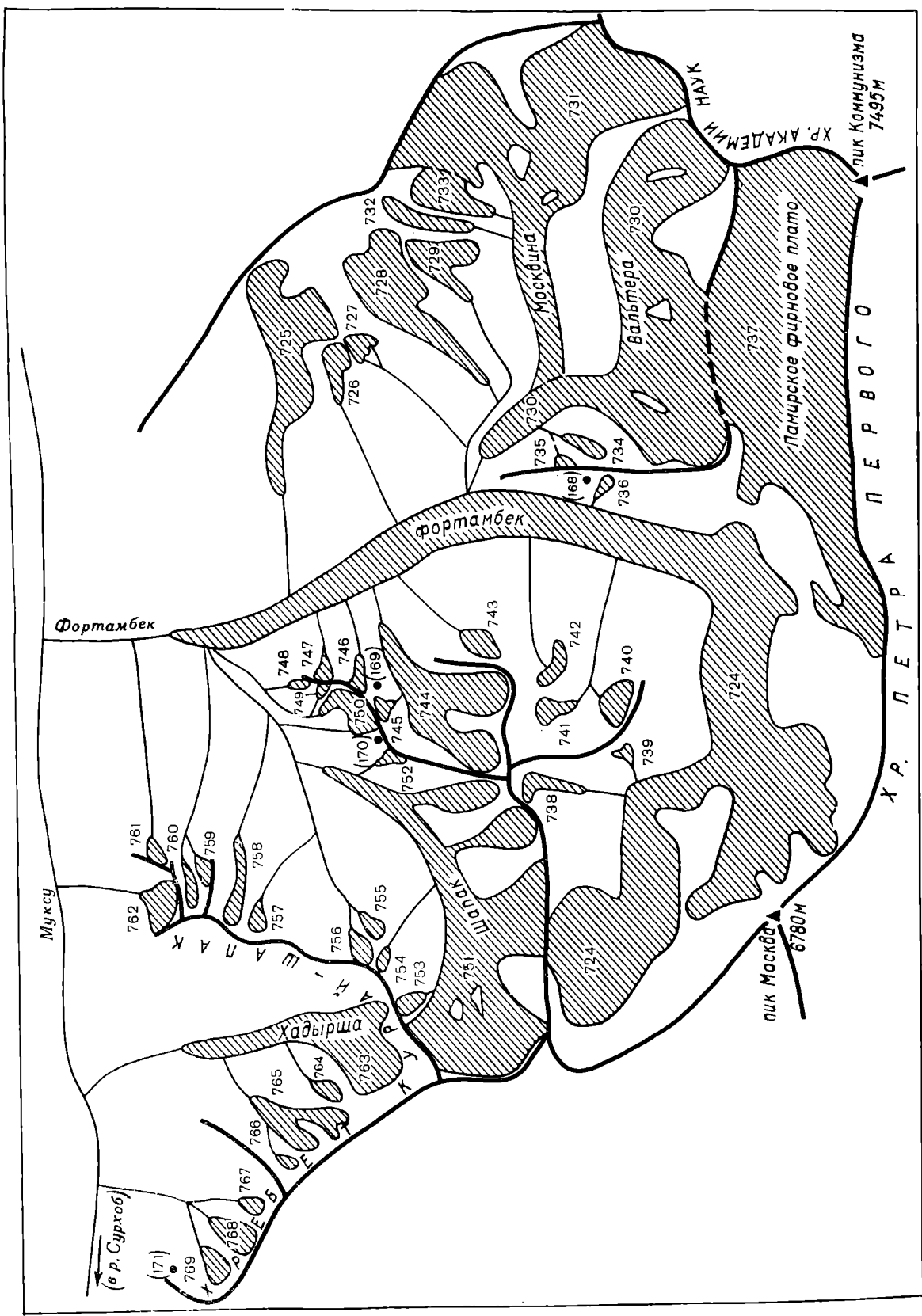


Рис. 29. Схема расположения ледников в бассейнах левых притоков р. Мускы.

Усл. обозначения см. на рис. 18.

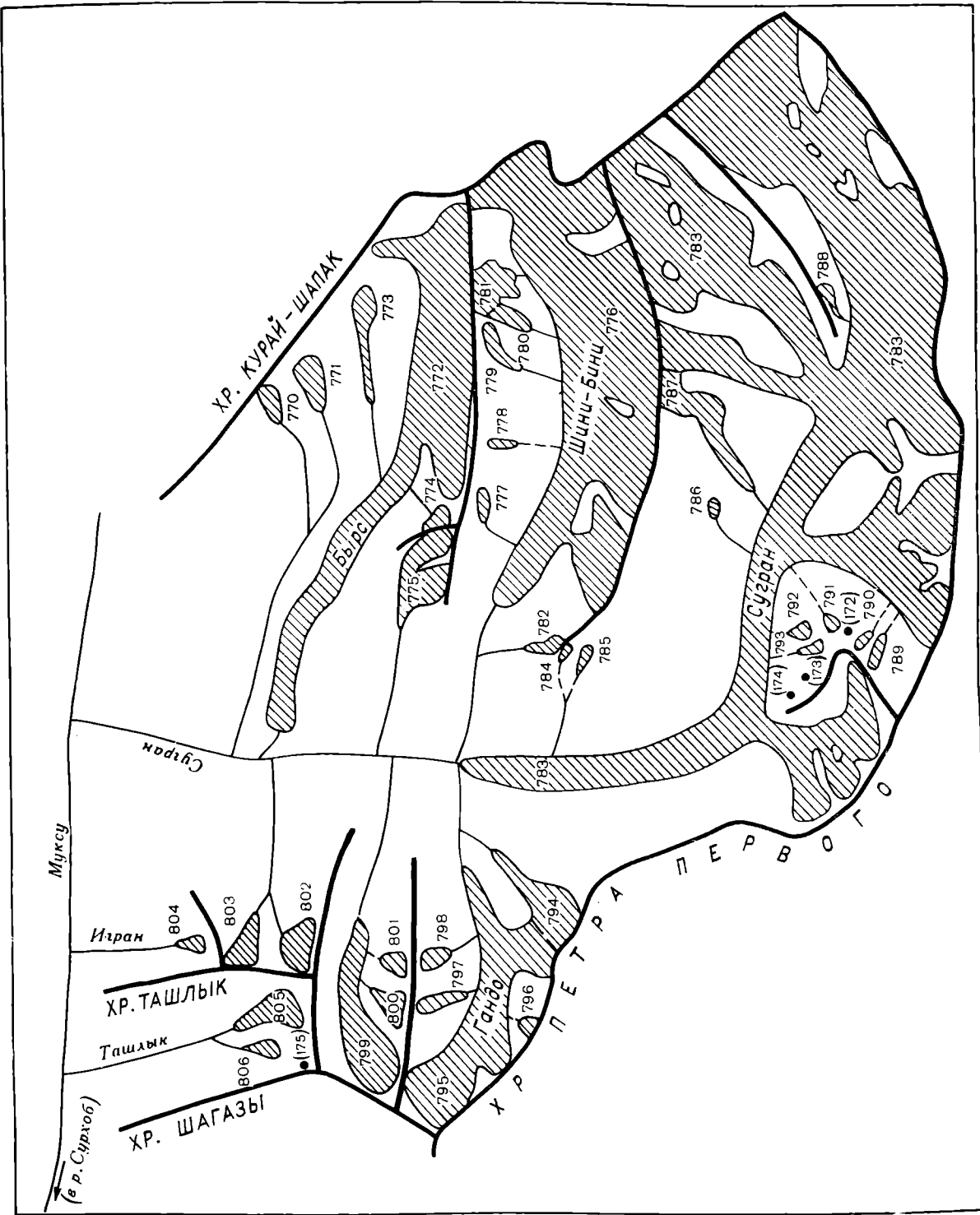


Рис. 30. Схема расположения ледниковых в бассейнах рек Сутран, Ирган и Ташлык.
Усл. обозначения см. на рис. 18.

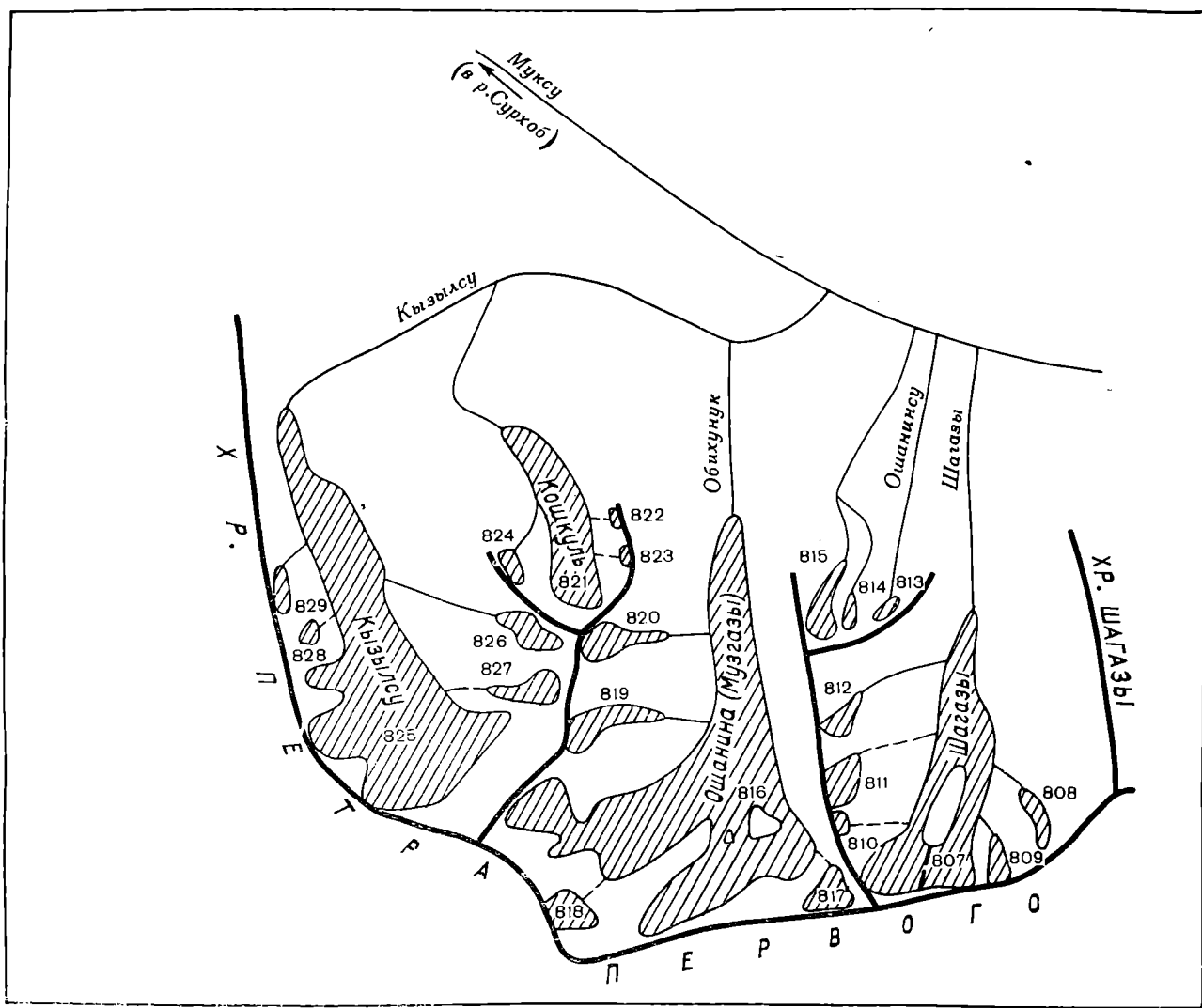


Рис. 31. Схема расположения ледников в бассейнах нижних левых притоков р. Муксу.
Усл. обозначения см. на рис. 18.

ОСНОВНЫЕ ТАБЛИЦЫ
КАТАЛОГА ЛЕДНИКОВ

ОСНОВНЫЕ СВЕДЕНИЯ

№ по схеме	Название	Название реки, вытекающей из ледника	Морфологический тип	Общая экспозиция	Наибольшая длина, км		Площадь, км ²	
					всего ледника	в том числе открытой части	всего ледника	в том числе открытой части
1	2	3	4	5	6	7	8	9

1—100 Ледники системы ледника Федченко. Их площадь, по данным В. Ф. Суслова (табл. V/№ 45), равна 824,1 км², в том
 1) площадь собственно ледника Федченко со всеми его притоками первого, второго и третьего порядка равна 651,7 км²,
 2) площадь всех ледников (включая бассейн ледника Малый Танымас), не связанных непосредственно со льдом
 76,1 км², общий объем льда в ледниках системы ледника Федченко равен 144,362 км³.

Бассейн р. Ширваза (реки Муксу, Сурхоб, Южный склон)

101	№ 101	пр. р. Ширваза	вис. дол	В	1,2	1,2	0,3	0,3
102	№ 102	пр. р. Ширваза	дол.	Ю	5,9	5,9	4,1	4,1
103	№ 103	пр. р. Ширваза	кул.	ЮВ	1,3	1,3	0,4	0,4
104	№ 104	пр. р. Ширваза	вис. дол	ЮВ	2,5	2,5	0,8	0,8
105	№ 105	Ширваза	сл. дол.	Ю	5,3	5,3	4,3	4,3
106	№ 106	пр. р. Ширваза	кар.-дол.	ЮЗ	1,8	1,8	0,6	0,6
107	№ 107	пр. р. Ширваза	кар.	3	0,7	0,7	0,2	0,2
108	№ 108	пр. р. Ширваза	кар.	3	0,5	0,5	0,1	0,1
109	№ 109	пр. р. Ширваза	вис.	3	0,6	0,6	0,1	0,1
9 ледников							10,9	10,9

Бассейн р. Сурхангау (реки Муксу, Сурхоб, Южный склон)

110	№ 110	пр. р. Сурхангау	вис.	СВ	0,5	0,5	0,1	0,1
111	№ 111	пр. р. Сурхангау	вис.	СВ	0,8	0,8	0,3	0,3
112	№ 112	пр. р. Сурхангау	вис.	СВ	0,9	0,9	0,3	0,3
113	№ 113	пр. р. Сурхангау	дол.	СВ	2,2	2,2	0,8	0,8
114	№ 114		вис.	СВ	0,6	0,6	0,1	0,1
115	№ 115	пр. р. Сурхангау	склон.	В	2,5	2,5	1,8	1,8
116	№ 116	пр. р. Сурхангау	склон.	В	2,3	2,3	2,3	2,3
117	№ 117	пр. р. Сурхангау	кар.-дол.	ЮВ	1,8	1,8	0,9	0,9
118	№ 118	пр. р. Сурхангау	кар.	В	0,8	0,8	0,3	0,3
119	№ 119	пр. р. Сурхангау	сл. дол.	ЮВ	7,6	7,6	11,0	11,0
120	№ 120		вис.	В	0,9	0,9	0,3	0,3
121	№ 121		сл. дол.	ЮЗ	1,9	1,9	4,0	4,0
122	№ 122		кар.	ЮЗ	1,0	1,0	0,5	0,5
123	Сурхан- гау	Сурхангау	сл. дол.	ЮЗ	7,2	7,2	8,8	8,8
124	№ 124	пр. р. Сурхангау	кар.	3	0,9	0,9	0,2	0,2
125	№ 125	пр. р. Сурхангау	дол.	ЮЗ, (3)	6,8	4,0	6,7	6,0
126	№ 126	пр. р. Сурхангау	кар.-дол.	СЗ	2,5	2,5	1,2	1,2
127	№ 127	пр. р. Сурхангау	кар.	3	0,7	0,7	0,2	0,2
18 ледников							39,8	39,1

Кроме того, в бассейне р. Сурхангау имеется 3 ледника размерами менее 0,1 км² каждый, общей площадью 0,2 км².
 Итого 21 ледник.

Бассейны правых безымянных притоков р. Муксу между устьями рек Сурхангау и Сатсу (реки Муксу, Сурхоб, Вахш, Южный склон)

128	№ 128	пр. р. Муксу	кар.-дол.	Ю	1,4	1,4	0,5	0,5
129	№ 129	пр. р. Муксу	вис.	Ю	0,5	0,5	0,3	0,3
130	№ 130	пр. р. Муксу	дол.	ЮВ	4,1	3,0	1,6	1,4
131	№ 131		вис.	В	0,7	0,7	0,3	0,3

4 ледника

Кроме того, в бассейнах правых безымянных притоков р. Муксу между устьями рек Сурхангау и Сатсу имеется 2 ледника
 Итого 6 ледников

Бассейн р. Сатсу (реки Муксу, Сурхоб, Вахш, Амударья, Южный склон)

132	Сатсу	Сатсу	сл. дол.	ЮВ	4,4	4,4	2,9	2,9
133	№ 133		вис.	В	0,3	0,3	0,1	0,1
134	№ 134		вис.	ЮВ	0,6	0,6	0,1	0,1
135	№ 135		вис.	ЮВ	0,7	0,7	0,2	0,2
136	№ 136		вис.	ЮВ	0,5	0,5	0,2	0,2
137	№ 137		вис.	Ю	0,7	0,7	0,2	0,2

6 ледников

ТАБЛИЦА I

О ЛЕДНИКАХ

Высота, м			Фирновая линия		Площадь области аблации, км ²		Ссылки на последующие таблицы (илюстрации)	
низшей точки конца ледника	низшей точки открытой части ледника	высшей точки ледника	высота, м	способ определения и дата	общая	в том числе открытой части	Объем льда, км ³	№ таблиц и иллюстраций
10	11	12	13	14	15	16	17	порядковые № сведений в таблицах

числе

собственно ледника Федченко, равна 172,4 км² (в этой группе 51 ледник). Общая площадь льда, покрытого мореной, равна

Вахш, Амударья, Аральское море)

Заалайского хребта

3700	3700	4250	3920	Кур.	0,2	0,2	0,0044	
3650	3650	5300	4610	Кур.	2,1	2,1	0,2242	
4420	4420	5200	4830	Кур.	0,2	0,2	0,0068	
4100	4100	5200	4730	Кур.	0,4	0,4	0,0193	
4080	4080	5440	4860	Кур.	2,2	2,2	0,2408	
4500	4500	5300	5050	Кур.	0,3	0,3	0,0125	
4500	4500	4850	4700	Кур.	0,1	0,1	0,0024	
4500	4500	4840	4700	Кур.	—	—	0,0009	
4700	4700	5100	4870	Кур.	—	—	0,0009	
					5,5	5,5	0,5122	

Вахш, Амударья, Аральское море)

Заалайского хребта

3980	3980	4200	4070	Кур.	—	—	0,0009	
4200	4200	5000	4590	Кур.	0,1	0,1	0,0044	
4750	4750	5250	5040	Кур.	0,2	0,2	0,0044	
3930	3930	4400	4210	Кур.	0,4	0,4	0,0193	
4600	4600	5000	4820	Кур.	—	—	0,0009	
4070	4070	5100	4580	Кур.	0,9	0,9	0,0652	
4180	4180	5100	4610	Кур.	1,1	1,1	0,0942	рис. 33
4240	4240	5000	4640	Кур.	0,4	0,4	0,0231	
4450	4450	4900	4690	Кур.	0,1	0,1	0,0044	
3760	3760	5540	4730	Кур.	5,3	5,3	0,9850	рис. 34
4720	4720	5300	5040	Кур.	0,1	0,1	0,0044	
4360	4360	5300	4860	Кур.	1,7	1,7	0,2160	
4600	4600	4850	4720	Кур.	0,2	0,2	0,0095	
4040	4040	5640	4890	Кур.	4,3	4,3	0,7048	рис. 34
4300	4300	4650	4510	Кур.	0,1	0,1	0,0024	
3600	4030	5500	4850	Кур.	2,2	1,5	0,4682	
3800	3800	5250	4520	Кур.	0,7	0,7	0,0355	
4780	4780	5200	5020	Кур.	0,1	0,1	0,0024	
					17,9	17,2	2,6450	

Амударья, Аральское море)

Заалайского хребта

3950	3950	4500	4200	Кур.	0,2	0,2	0,0095	
5150	5150	5540	5310	Кур.	0,1	0,1	0,0044	
3480	3740	4900	4220	Кур.	0,7	0,5	0,0546	
4500	4500	5000	4810	Кур.	0,1	0,1	0,0044	
					1,1	0,9	0,0729	

размерами менее 0,1 км² каждый, общей площадью 0,1 км²

Аральское море)

Заалайского хребта

4000	4000	5270	4630	Кур.	1,3	1,3	0,1333	
5200	5200	5500	5390	Кур.	—	—	0,0009	
5400	5400	5640	5530	Кур.	—	—	0,0009	
5500	5500	5850	5740	Кур.	0,1	0,1	0,0024	
5300	5300	5700	5560	Кур.	0,1	0,1	0,0024	
5350	5350	5800	5610	Кур.	0,1	0,1	0,0024	
					1,6	1,6	0,1423	

№ по схеме	Название	Название реки, вытекающей из ледника	Морфологический тип	Общая экспозиция	Наибольшая длина, км		Площадь, км²	
					всего ледника	в том числе открытой части	всего ледника	в том числе открытой части
1	2	3	4	5	6	7	8	9

**Бассейны правых безымянных притоков р. Муксу между
Южный склон**

138	№ 138	пр. р. Муксу	дол.	ЮВ	3,9	1,8	1,5	0,9
139	№ 139		вис.	В	0,9	0,9	0,4	0,4
140	№ 140	пр. р. Муксу	кар.-дол.	ЮВ	1,8	1,8	0,6	0,6
3 ледника							2,5	1,9

**Бассейн р. Кызылсу (реки Муксу, Сурхоб, Вахш, Амударья,
Южный склон)**

141	№ 141	пр. р. Кызылсу	кар.-дол.	СВ	3,2	3,2	1,1	1,1
142	№ 142		вис.	СВ	1,1	1,1	0,4	0,4
143	№ 143	пр. р. Кызылсу	кар.-дол.	СВ	2,5	2,5	1,1	1,0
144*	Кызылсу	пр. р. Кызылсу	сл. дол.	В, (ЮВ, Ю)	13,3	9,3	22,5	19,1
145	№ 145		вис.	СЗ	0,9	0,9	0,4	0,4
146	№ 146		кул.	ЮВ	0,6	0,6	0,1	0,1
147	№ 147		вис. дол.	ЮВ	2,9	2,9	1,1	1,1
148	№ 148		дол.	Ю	1,6	1,6	0,5	0,5
149	№ 149	пр. р. Кызылсу	кар.-вис.	В	1,9	1,9	1,7	1,7
150	Малый Кызылсу	пр. р. Кызылсу	сл. дол.	ЮВ	5,5	5,4	5,8	4,8
151	№ 151	Кызылсу	кар.	СВ	2,0	2,0	0,9	0,9
152	№ 152	Кызылсу	кар.	СВ	1,7	1,7	0,8	0,8
153	№ 153	пр. р. Кызылсу	дол.	ЮЗ	3,4	3,4	2,9	2,9
154	№ 154		вис. дол.	ЮВ	1,2	1,2	0,3	0,3
155	№ 155		кар.-дол.	СЗ, (З, Ю)	1,8	1,8	0,6	0,6
156	№ 156	пр. р. Кызылсу	дол.	З	2,7	2,7	2,5	2,5
157	№ 157	пр. р. Кызылсу	кар.-вис.	З	1,3	1,3	0,5	0,5
158	№ 158	пр. р. Кызылсу	дол.	З	6,5	6,5	5,4	5,4
159	№ 159	пр. р. Кызылсу	дол.	ЮЗ, (З)	4,4	4,4	2,0	2,0
160	№ 160		вис.	Ю	0,9	0,9	0,9	0,9
161	№ 161	пр. р. Кызылсу	кар.-дол.	СЗ	2,0	2,0	0,8	0,8
162	№ 162	пр. р. Кызылсу	вис.	С	0,6	0,6	0,2	0,2
22 ледника							52,5	48,0

Кроме того, в бассейне р. Кызылсу имеется 4 ледника размерами менее 0,1 км² каждый, общей площадью 0,2 км²
Итого 26 ледников

52,7

**Бассейн р. Дорадек (реки Муксу, Сурхоб, Вахш, Амударья,
Южный склон)**

163	№ 163	Дорадек	дол.	(Ю), ЮВ	4,5	3,0	2,0	1,8
164	№ 164		вис.	ЮВ	0,4	0,4	0,1	0,1
165	№ 165		вис. дол.	Ю	2,7	2,7	1,1	1,1
166	№ 166	пр. р. Дорадек	кар.-дол.	ЮЗ, (Ю)	2,8	2,8	1,4	1,3
167	№ 167		кар.-дол.	ЮЗ	1,9	1,9	1,0	1,0
168	№ 168		вис.	Ю	0,4	0,4	0,2	0,2
169	№ 169		кар.-дол.	З	2,1	2,1	1,4	1,4
170	№ 170	пр. р. Дорадек	вис.	ЮЗ	0,6	0,6	0,2	0,2
8 ледников							7,4	7,1

Кроме того в бассейне р. Дорадек имеется 3 ледника размерами менее 0,1 км² каждый, общей площадью 0,2 км²
Итого 11 ледников.

7,6

**Бассейн р. Хытсу (реки Муксу, Сурхоб, Вахш, Амударья,
Южный склон)**

171	№ 171	Хытсу	дол.	Ю	2,3	2,3	0,7	0,7
172	№ 172	Хытсу	вис. дол.	ЮЗ	1,7	1,7	1,0	1,0
173	№ 173	пр. р. Хытсу	вис.	ЮВ	1,0	1,0	0,3	0,3
3 ледника							2,0	2,0

**Бассейн р. Джилинак-Чахарнак (реки Муксу, Сурхоб, Вахш,
Южный склон)**

174	№ 174	Джилинак-Чахарнак	дол.	Ю	1,7	1,7	0,5	0,5
175	№ 175	пр. р. Джилинак-Чахарнак	вис.	ЮЗ	1,0	1,0	0,5	0,5
176	№ 176	пр. р. Джилинак-Чахарнак	дол.	Ю	1,6	1,0	0,6	0,4
3 ледника							1,6	1,4

Высота, м			Фирновая линия		Площадь области аблации, км ²		Ссылки на последующие таблицы (илюстрации) № таблиц и иллюстраций	
нижней точки конца ледника	нижней точки открытой части ледника	высшей точки ледника	высота, м	способ определения и дата	общая	в том числе открытой части		
10	11	12	13	14	15	16	17	18

устьями рек Сатсу и Кызылсу (реки Муксу, Сурхоб, Вахш, Амударья, Аральское море)

Заалайского хребта

3650	4320	5100	4440	Кур.	0,8	0,2	0,0496	
5000	5000	5500	5210	Кур.	0,2	0,2	0,0068	
4420	4420	5140	4730	Кур.	0,3	0,3	0,0125	

Аральское море)

Заалайского хребта

3600	3600	5300	4410	Кур.	0,5	0,5	0,0311	
4800	4800	5350	5120	Кур.	0,2	0,2	0,0068	
3960	3960	5280	4360	Кур.	0,6	0,5	0,0311	
3200	3560	5830	4750	Кур.	9,0	5,6	2,8816	
3900	3900	4900	4520	Кур.	0,2	0,2	0,0068	
5000	5000	5500	5270	Кур.	—	—	0,0009	
4100	4100	5500	4950	Кур.	0,5	0,5	0,0311	
4780	4780	5490	5090	Кур.	0,3	0,3	0,0095	
4080	4080	5120	4630	Кур.	0,8	0,8	0,0598	
4120	4140	5400	4730	Кур.	2,6	1,6	0,3771	
4600	4600	5200	4870	Кур.	0,4	0,4	0,0231	
4680	4680	5000	4860	Кур.	0,4	0,4	0,0193	
4320	4320	4850	4630	Кур.	1,4	1,4	0,1333	
4600	4600	4900	4730	Кур.	0,2	0,2	0,0044	
4660	4660	5070	4810	Кур.	0,3	0,3	0,0125	
4580	4580	5370	4990	Кур.	1,3	1,3	0,1067	
4500	4500	4800	4610	Кур.	0,3	0,3	0,0095	
4090	4090	5520	4880	Кур.	2,4	2,4	0,3388	
4250	4250	5400	4830	Кур.	0,9	0,9	0,0764	
4900	4900	5450	5250	Кур.	0,4	0,4	0,0231	
4210	4210	5300	4690	Кур.	0,4	0,4	0,0193	
4260	4260	4800	4540	Кур.	0,1	0,1	0,0024	

Аральское море)

Заалайского хребта

4330	4380	5140	4720	Кур.	1,0	0,8	0,0764	
5050	5050	5140	5100	Кур.	—	—	0,0009	
4500	4500	5350	4890	Кур.	0,6	0,6	0,0311	
4410	4440	5500	4930	Кур.	0,7	0,6	0,0447	
4440	4410	5540	4940	Кур.	0,5	0,5	0,0270	
5250	5250	5420	5360	Кур.	0,1	0,1	0,0024	
4500	4500	5400	4880	Кур.	0,7	0,7	0,0447	
4750	4750	5150	4940	Кур.	0,1	0,1	0,0024	

Аральское море)

Заалайского хребта

4460	4460	5100	4700	Кур.	0,4	0,4	0,0158	
4760	4760	5400	5020	Кур.	0,5	0,5	0,0270	
5100	5100	5360	5210	Кур.	0,1	0,1	0,0044	

Амударья, Аральское море)

Заалайского хребта

4760	4760	4900	4840	Кур.	0,3	0,3	0,0095	
4780	4780	5200	4990	Кур.	0,2	0,2	0,0095	
4740	4830	5000	4860	Кур.	0,3	0,1	0,0125	

№ по схеме	Название	Название реки, вытекающей из ледника	Морфологический тип	Общая экспозиция	Наибольшая длина, км		Площадь, км ²	
					всего ледника	в том числе открытой части	всего ледника	в том числе открытой части
1	2	3	4	5	6	7	8	9

**Бассейн р. Кызыл-Токай (реки Муксу, Сурхоб, Вахш,
Южный склон)**

177	№ 177	Кызыл Токай	вис.	Ю	0,7	0,7	0,3	0,3
Бассейн р. Терсагарсу (реки Муксу, Сурхоб, Вахш, Амударья, Южный склон)								
178	№ 178	Терсагарсу	прискл. дол.	СВ (СВ), В	1,0 3,9	1,0 3,6	0,6 2,7	0,6 2,5
179	Зеленского	Терсагарсу					3,3	3,1

**Бассейн р. Терек (реки Сауксай, Муксу, Сурхоб, Вахш,
Южный склон)**

180	№ 180	Терек	дол.	Ю	2,1	2,1	0,8	0,7
Бассейн р. Сасыктеке (реки Сауксай, Муксу, Сурхоб, Вахш, Южный склон)								
181	№ 181	пр. р. Сасыктеке	вис.	C	0,9	0,9	0,3	0,3
182	№ 182	пр. р. Сасыктеке	кар.-дол.	СВ	2,3	2,3	0,8	0,8
183	№ 183	Сасыктеке	кар.-дол.	СВ	1,5	1,5	2,5	2,5
184	№ 184	пр. р. Сасыктеке	кар.-вис.	ЮВ, (Ю)	1,5	1,5	0,4	0,4
185	№ 185	пр. р. Сасыктеке	кар.-вис.	3, (ЮЗ)	1,1	1,1	0,3	0,3
186	№ 186	пр. р. Сасыктеке	кар.-дол.	В	2,0	2,0	2,1	2,1
187*	№ 187	пр. р. Сасыктеке	вис.	ЮВ	1,2	1,2	0,4	0,4
188*	№ 188	пр. р. Сасыктеке	кар.-вис.	3	1,5	1,5	0,6	0,6
189	№ 189	пр. р. Сасыктеке	асимм. дол.	C3	1,2	1,2	2,3	2,3
190	№ 190	пр. р. Сасыктеке	кар.-вис.	C3	1,9	1,9	1,0	1,0
10 ледников							10,7	10,7

Кроме того, в бассейне р. Сасыктеке имеется 1 ледник
10,8

**Бассейн р. Камансу (реки Сауксай, Муксу, Сурхоб, Вахш,
Южный склон)**

191	№ 191	пр. р. Камансу	вис. кар.	СВ	1,3	1,3	0,3	0,3
192	№ 192	пр. р. Камансу	кар.-вис.	СВ	2,0	2,0	0,7	0,7
193	№ 193	пр. р. Камансу	кар.-дол.	СВ	2,6	2,6	1,4	1,4
194	№ 194		вис.	B, (ЮВ)	1,3	1,3	0,4	0,4
195	№ 195	пр. р. Камансу	вис.	B	0,4	0,4	0,1	0,1
196	№ 196	пр. р. Камансу	кар.	СВ	0,8	0,8	0,1	0,1
197	№ 197	пр. р. Камансу	кар.	СВ	0,5	0,5	0,1	0,1
198	№ 198	Камансу	сл. дол.	(B, ЮВ), Ю	5,7	5,7	5,2	5,2
199	№ 199		вис.	Ю	0,3	0,3	0,1	0,1
200	№ 200		кар.	(ЮЗ), 3	1,6	1,6	0,8	0,8
201	№ 201	пр. р. Камансу	кар.	3	0,8	0,8	0,2	0,2
202	№ 202	пр. р. Камансу	кар.	3	0,8	0,8	0,2	0,2
12 ледников							9,7	9,6

Кроме того, в бассейне р. Камансу имеется 1 ледник площадью 0,1 км²

Итого 13 ледников

**Бассейн р. Чакманташ (реки Сауксай, Муксу, Сурхоб, Вахш,
Южный склон)**

203	№ 203	пр. р. Чакманташ	вис.	СВ	1,2	1,2	0,6	0,6
204	№ 204	пр. р. Чакманташ	дол.	(B), ЮВ	3,3	3,0	1,2	1,1
205	№ 205		вис.	ЮВ	0,4	0,4	0,1	0,1
206	№ 206		вис.	Ю	0,5	0,5	0,6	0,6
207*	Чакман- таш	Чакманташ	сл. дол.	(B), Ю	9,8	9,8	14,3	13,7
208	№ 208		вис. дол.	ЮВ	3,6	3,6	2,1	2,0
209	№ 209		вис. дол.	ЮВ	1,9	1,9	0,6	0,6
210	№ 210		вис.	ЮВ	1,2	1,2	0,5	0,5
211	№ 211		вис.	B	0,9	0,9	0,3	0,3
212	№ 212		вис.	ЮЗ	0,6	0,6	0,6	0,6
213	№ 213		кар.	3	1,3	1,3	0,4	0,4
214	№ 214		кар.-дол.	ЮЗ, (3)	1,6	1,6	0,6	0,6
215	№ 215		дол.	3	3,8	3,8	3,2	3,2

Высота, м			Фирновая линия		Площадь области аблации, км ²		Ссылки на последующие таблицы (иллюстрации) № таблиц и иллюстраций	
нижней точки конца ледника	нижней точки открытой части ледника	высшей точки ледника	высота, м	способ определения и дата	общая	в том числе открытой части		
10	11	12	13	14	15	16	17	18

Амударья, Аральское море)

Заалайского хребта

4900		4900		5240		5100		Кур.		0,2		0,2		0,0044	
------	--	------	--	------	--	------	--	------	--	-----	--	-----	--	--------	--

Аральское море)

Заалайского хребта

4400		4400		4900		4680		Кур.		0,3		0,3		0,0125	
4350		4420		5480		4820		Кур.		1,5		1,3		0,1198	

Амударья, Аральское море)

Заалайского хребта

4500		4500		5200		4840		Кур.		0,4		0,3		0,0193	
------	--	------	--	------	--	------	--	------	--	-----	--	-----	--	--------	--

Амударья, Аральское море)

Заалайского хребта

4400		4400		5000		4750		Кур.		0,1		0,1		0,0044	
4100		4100		5100		4590		Кур.		0,4		0,4		0,0193	
4100		4100		5140		4580		Кур.		1,2		1,2		0,1067	
4400		4400		5060		4750		Кур.		0,2		0,2		0,0068	
4320		4320		4950		4650		Кур.		0,2		0,2		0,0044	
4320		4320		5200		4700		Кур.		1,0		1,0		0,0822	
4480		4480		5100		4730		Кур.		0,2		0,2		0,0068	
4600		4600		5300		4840		Кур.		0,3		0,3		0,0125	
4340		4340		5290		4770		Кур.		1,2		1,2		0,0942	
4450		4450		5330		4850		Кур.		0,5		0,5		0,0270	
										5,3		5,3		0,3643	

площадью 0,06 км²**Амударья, Аральское море)**

Заалайского хребта

4260		4260		4800		4520		Кур.		0,1		0,1		0,0044	
4140		4140		5280		4630		Кур.		0,4		0,4		0,0158	
4160		4160		5330		4760		Кур.		0,7		0,7		0,0447	
4750		4750		5240		5010		Кур.		0,2		0,2		0,0068	
4800		4800		5020		4950		Кур.		—		—		0,0009	
4600		4800		4960		4760		Кур.		—		—		0,0009	
4800		4600		5000		4900		Кур.		—		—		0,0009	
4280		4280		5680		4960		Кур.		2,7		2,6		0,3294	
4900		4900		5000		4950		Кур.		—		—		0,0009	
4800		4800		5360		5010		Кур.		0,4		0,4		0,0193	
4600		4600		4880		4720		Кур.		0,1		0,1		0,0024	
4520		4520		4900		4730		Кур.		0,1		0,1		0,0024	
										4,7		4,6		0,4288	

Амударья, Аральское море)

Заалайского хребта

4160		4160		4700		4410		Кур.		0,3		0,3		0,0125	
4100		4280		5300		4690		Кур.		0,6		0,5		0,0355	
5320		5320		5450		5380		Кур.		—		—		0,0009	
5300		5300		5700		5450		Кур.		0,3		0,3		0,0125	
4000		4020		5710		4780		Кур.		6,3		5,7		1,4601	
4200		4200		5700		5200		Кур.		0,8		0,7		0,0822	
4420		4420		5440		5070		Кур.		0,3		0,3		0,0125	
4650		4650		5440		5020		Кур.		0,3		0,3		0,0095	
4800		4800		5400		5120		Кур.		0,1		0,1		0,0044	
5150		5150		5700		5410		Кур.		0,3		0,3		0,0125	
4850		4850		5600		5110		Кур.		0,3		0,3		0,0068	
4650		4650		5700		5240		Кур.		0,2		0,2		0,0125	
4280		4280		5800		4910		Кур.		1,6		1,6		0,1546	

№ по схеме	Название	Название реки, вытекающей из ледника	Морфологический тип	Общая экспозиция	Наибольшая длина, км		Площадь, км ²	
					всего ледника	в том числе открытой части	всего ледника	в том числе открытой части
1	2	3	4	5	6	7	8	9
216	№ 216		вис.	ЮЗ	0,6	0,6	0,1	0,1
217	№ 217		сл. дол.	С, (С3)	5,7	5,7	6,5	6,4
218	№ 218		вис. дол.	ЮЗ	2,5	2,5	1,6	1,6
219	№ 219		дол.	(С3), 3	3,2	3,2	2,0	2,0
220	№ 220		вис.	С3	1,2	1,2	0,3	0,3
221	№ 221	пр. р. Чакманташ	вис.	С3	0,5	0,5	0,1	0,1
222	№ 222	пр. р. Чакманташ	кул.	С3	1,2	1,2	0,2	0,2
223	№ 223	пр. р. Чакманташ	вис.	3	0,5	0,5	0,1	0,1
21 ледник							36,0	35,1
Кроме того, в бассейне р. Чакманташ имеется 6 ледников размерами менее 0,1 км ² каждый, общей площадью 0,2 км ²								
Итого 27 ледников								

224	1	№ 224	1	Бассейн правого безымянного притока р. Сауксай между Южный склон				
				кар.	ЮВ	1,3	1,3	0,4
Бассейн р. Кузгунтеке (реки Сауксай, Муксу, Сурхоб, Вахш, Южный склон)								
225		№ 225	пр. р. Кузгунтеке	вис. дол.	В, (ЮВ)	2,3	1,8	0,8
226		№ 226	пр. р. Кузгунтеке	вис.	СВ	0,6	0,6	0,2
227		№ 227	пр. р. Кузгунтеке	дол.	ЮВ, (В)	2,1	2,1	0,6
228		№ 228	пр. р. Кузгунтеке	вис.	СВ	1,5	1,5	0,8
229		№ 229	пр. р. Кузгунтеке	кар.-дол.	ЮВ	1,3	1,3	0,2
230		№ 230	пр. р. Кузгунтеке	кул.	3	1,0	1,0	0,2
231		№ 231	пр. р. Кузгунтеке	вис. дол.	Ю	1,0	1,0	0,2
232		№ 232	пр. р. Кузгунтеке	вис. дол.	Ю	1,9	1,9	1,0
233*		Кузгун	Кузгунтеке	сл. дол.	(СВ), Ю	14,7	14,0	25,0
234		№ 234		дол.	ЮВ	2,1	1,6	1,7
235		№ 235		вис. дол.	ЮВ	2,8	2,8	2,0
236		№ 236		вис. дол.	ЮЗ	1,9	1,9	1,3
237		№ 237		вис.	Ю	0,9	0,9	0,2
238		№ 238		сл. дол.	ЮЗ	4,0	4,0	4,9
239		№ 239		вис.	ЮЗ	1,5	1,5	0,6
240		№ 240		вис. дол.	ЮЗ	2,5	2,5	1,3
241		№ 241		вис. дол.	ЮЗ	3,2	3,2	2,3
242		№ 242		вис. дол.	ЮЗ	2,5	2,5	1,1
243		№ 243		вис.	Ю	0,5	0,5	0,1
244*		Красина		дол	3	10,0	9,0	14,0
245		№ 245		вис.	3	0,4	0,4	0,5
246		№ 246		дол.	С3	5,0	4,6	2,5
247		№ 247		вис.	СВ	0,5	0,5	0,1
248		№ 248		вис.	С3	1,0	1,0	0,3
249		№ 249		вис. дол.	(С3, 3), С3	3,8	2,0	1,7
250		№ 250	пр. р. Кузгунтеке	вис. дол.	ЮЗ, (3)	1,8	1,8	0,5
251		№ 251	пр. р. Кузгунтеке	вис.	С3	0,8	0,8	0,3
252		№ 252	пр. р. Кузгунтеке	вис.	С	0,8	0,8	0,2
28 ледников							64,8	60,5
Кроме того, в бассейне р. Кузгунтеке имеется 7 ледников размерами менее 0,1 км ² каждый, общей площадью 0,3 км ²								
Итого 35 ледников								

253	№ 253	пр. р. Сауксай	дол.	ЮВ	0,9	0,9	0,2	0,2
254	№ 254	пр. р. Сауксай	вис.	ЮЗ	0,4	0,4	0,1	0,1
255	№ 255	пр. р. Сауксай	вис. дол.	ЮЗ	5,5	5,5	3,8	3,8
256	№ 256		вис.	СВ	0,3	0,3	0,1	0,1
257*	Вали	пр. р. Сауксай	сл. дол.	(Ю), ЮЗ	7,6	7,6	11,9	11,5
258	№ 258		вис.	ЮВ	1,2	1,2	2,4	2,4
259	№ 259		вис.	С3	0,6	0,6	0,1	0,1
260	№ 260		вис.	3	1,0	1,0	0,5	0,5
261*	№ 261	пр. р. Сауксай	дол.	ЮЗ	2,3	2,0	1,1	1,0
262	№ 262		вис.	ЮЗ	0,3	0,3	0,1	0,1
263	№ 263		вис.	С3	0,4	0,4	0,1	0,1
264	№ 264	пр. р. Сауксай	вис.	С3	0,3	0,3	0,1	0,1
265*	Дзержинского	пр. р. Сауксай	сл. дол.	Ю	14,9	14,9	19,0	19,0

Высота, м			Фирновая линия		Площадь области аблации, км ²		Ссылки на последующие таблицы (иллюстрации)	
низшей точки конца ледника	низшей точки открытой части ледника	высшей точки ледника	высота, м	способ определения и дата	общая	в том числе открытой части	Объем льда, км ³	№ таблиц и иллюстраций
10	11	12	13	14	15	16	17	порядковые № сведений в таблицах
5500	5500	5850	5690	Кур.	—	—	0,0009	
4290	4290	5800	4990	Кур.	3,0	2,9	0,4474	
4660	4660	5910	5420	Кур.	0,7	0,7	0,0546	
4550	4550	5860	5130	Кур.	1,0	1,0	0,0764	рис. 35
4440	4440	5100	4790	Кур.	0,1	0,1	0,0044	рис. 35, 36
4700	4700	4900	4800	Кур.	—	—	0,0009	
4600	4600	5300	4970	Кур.	0,1	0,1	0,0024	
4850	4850	5200	5020	Кур.	—	—	0,0009	
					16,3	15,4	2,4044	
								18

Устьями рек Чакманташ и Кузгунтеке (реки Сауксай, Муксу, Сурхоб, Вахш, Амударья, Аральское море)

Заалайского хребта

4850	4850	5300	5090	Кур.	0,2	0,2	0,0068	—
------	------	------	------	------	-----	-----	--------	---

Амударья, Аральское море)

Заалайского хребта

4600	4700	5400	5020	Кур.	0,4	0,3	0,0193	
4560	4560	4840	4690	Кур.	0,1	0,1	0,0024	
4630	4630	5500	4930	Кур.	0,4	0,4	0,0125	
4600	4600	5500	4930	Кур.	0,4	0,4	0,0193	
4590	4590	5000	4750	Кур.	0,1	0,1	0,0024	
5000	5000	5500	5230	Кур.	0,1	0,1	0,0024	
4780	4780	5400	5180	Кур.	0,1	0,1	0,0024	
4660	4660	5800	5240	Кур.	0,5	0,5	0,0270	
3980	4020	5910	4900	Кур.	11,1	9,1	3,3750	
4080	4220	5910	4930	Кур.	0,9	0,7	0,0707	IV/20; V/11, 20, 21, 25, 26, 36, 51
4500	4500	5270	5010	Кур.	0,8	0,8	0,0764	IV/20; V/11, 25, 26
4640	4640	5350	5000	Кур.	0,7	0,7	0,0400	IV/20; V/11, 25, 26
5050	5050	5350	5250	Кур.	0,1	0,1	0,0024	IV/20; V/11, 25, 26
4420	4420	5750	4780	Кур.	2,4	2,4	0,2929	IV/20; V/11, 25, 26
5000	5000	5850	5470	Кур.	0,3	0,3	0,0125	IV/20; V/11, 25, 26
4800	4800	5940	5450	Кур.	0,6	0,6	0,0400	IV/20; V/11, 25, 26
4920	4920	5940	5400	Кур.	1,2	1,2	0,0942	IV/20; V/11, 25, 26
5040	5040	5990	5630	Кур.	0,5	0,5	0,0311	IV/20; V/11, 25, 26
5600	5600	5800	5700	Кур.	—	—	0,0009	IV/20; V/11, 25, 26
4400	4520	6710	5450	Кур.	6,9	5,5	1,4143	IV/20; V/11, 21, 25, 26
5900	5900	6340	6100	Кур.	0,2	0,2	0,0095	IV/20; V/11, 25, 26
4400	4450	5600	4910	Кур.	1,1	0,9	0,1067	IV/20; V/11, 25, 26
4900	4900	5300	5150	Кур.	—	—	0,0009	
4700	4700	5270	5030	Кур.	0,2	0,2	0,0044	
4280	4740	6050	5330	Кур.	0,7	0,3	0,0598	
4700	4700	5850	5300	Кур.	0,3	0,3	0,0095	
4600	4600	5100	4850	Кур.	0,1	0,1	0,0044	
4600	4600	5000	4810	Кур.	0,1	0,1	0,0024	
					30,3	26,0	5,7357	

Муксу, Сурхоб, Вахш, Амударья, Аральское море)

Зулумарт, северный склон хр. Белеули, северо-восточный склон хр. Сауждара

4700	4700	5300	5030	Кур.	0,1	0,1	0,0024	
5700	5700	5920	5790	Кур.	—	—	0,0009	
4070	4070	6340	5470	Кур.	1,4	1,4	0,2000	
5700	5700	5920	5820	Кур.	—	—	0,0009	
4000	4000	6710	5490	Кур.	4,9	4,5	1,1084	V/21
5600	5600	6710	6190	Кур.	1,2	1,2	0,1004	IV/20; V/11, 21, 25, 26; рис. 6
4900	4900	5400	5150	Кур.	—	—	0,0009	
4850	4850	5700	5350	Кур.	0,2	0,2	0,0095	
4900	5040	6100	5550	Кур.	0,6	0,5	0,0311	
5650	5650	5900	5790	Кур.	—	—	0,0009	
5220	5220	5400	5310	Кур.	—	—	0,0009	
5000	5000	5240	5120	Кур.	—	—	0,0009	
4130	4130	6710	5390	Кур.	8,9	8,9	2,2361	IV/20, 24; V/5, 11, 25, 26, 51; рис. 8, 37

№ по схеме	Название	Название реки, вытекающей из ледника	Морфологический тип	Общая экспозиция	Наибольшая длина, км		Площадь, км ²	
					всего ледника	в том числе открытой части	всего ледника	в том числе открытой части
1	2	3	4	5	6	7	8	9
266	№ 266		вис.	ЮВ	0,5	0,5	0,2	0,2
267	№ 267		вис.	СВ	0,3	0,3	0,1	0,1
268	№ 268		кул.	ЮЗ	1,2	1,2	0,1	0,1
269	№ 269		кул.	ЮЗ	1,0	1,0	0,2	0,2
270	№ 270		вис.	С3	0,4	0,4	0,1	0,1
271	№ 271		кул.	С3	0,7	0,7	0,1	0,1
272	№ 272		вис.	С3	1,8	1,8	0,9	0,9
273	№ 273		вис.	ЮЗ	0,6	0,6	0,1	0,1
274*	Малый Саукдара	пр. р. Сауксай	сл. дол.	Ю, (ЮЗ)	14,3	14,3	23,5	22,6
275	№ 275		кул.	В	1,6	1,6	0,2	0,2
276	№ 276		кул.	В	1,5	1,5	0,2	0,2
277	№ 277		кул.	В	1,3	1,3	0,2	0,2
278	№ 278		вис.	ЮЗ	0,5	0,5	0,1	0,1
279	№ 279		вис.	ЮЗ	1,0	1,0	0,2	0,2
280	№ 280		вис.	3	0,5	0,5	0,1	0,1
281	№ 281		кул.	ЮЗ	1,5	1,5	0,2	0,2
282*	Большой Саукдара	Сауксай	сл. дол.	Ю, (ЮЗ, 3)	20,6	12,5	53,0	46,3
283	№ 283	пр. р. Сауксай	дол.	Ю	6,3	4,4	3,2	2,4
284	№ 284		вис.	ЮЗ	0,7	0,7	0,1	0,1
285	№ 285		кул.	СВ	1,2	1,2	0,2	0,2
286	№ 286		вис. дол.	ЮЗ	1,9	1,9	0,9	0,9
287	№ 287		вис. дол.	ЮЗ	2,1	2,1	1,0	1,0
288	№ 288		вис. дол.	3	2,8	2,8	1,6	1,6
289	№ 289		вис. кар.	3	1,3	1,3	0,4	0,4
290	№ 290		вис. дол.	3	2,2	2,2	0,9	0,9
291	№ 291		вис. дол.	ЮЗ, (3)	2,7	2,7	1,6	1,6
292	№ 292		дол.	(Ю, ЮЗ), 3	6,0	6,0	7,5	7,5
293	№ 293		кар.-вис.	ЮЗ	1,5	1,5	0,4	0,4
294	№ 294		вис. дол.	С3	3,0	3,0	2,1	2,1
295	№ 295		вис. дол.	С	1,3	1,3	0,7	0,7
296	№ 296		дол.	С3	3,8	3,8	2,4	2,4
297	№ 297		вис. дол.	С3	1,5	1,5	0,5	0,5
298	№ 298		вис.	С3	1,0	1,0	0,3	0,3
299	№ 299		вис. дол.	С3	1,5	1,5	0,7	0,7
300	№ 300		сл. дол.	С	4,4	4,4	4,6	4,6
301	№ 301		кар.-дол.	3, (C3)	2,3	2,3	1,2	1,2
302	№ 302		вис. дол.	С	4,1	4,1	1,5	1,5
303	№ 303		вис.	С3	0,8	0,8	0,2	0,2
304	№ 304		вис.	3	0,4	0,4	0,1	0,1
305	№ 305		вис. дол.	С3	3,3	3,3	2,5	2,5
306	№ 306		вис.	С3	0,9	0,9	0,6	0,6
307*	Северный Зулумарт		сл. дол.	СВ, (С)	11,6	11,6	29,1	29,1
308	№ 308		кул.	С3	0,8	0,8	0,2	0,2
309	№ 309		кул.	С3	1,8	1,8	0,5	0,5
310*	Зулумарт		дол.	СВ	5,2	5,2	5,1	5,1
311	№ 311		кул.	В	1,0	1,0	0,2	0,2
312	№ 312		кул.	В	2,9	2,9	0,6	0,6
313	№ 313		вис. дол.	В	2,9	2,9	1,3	1,3
314	№ 314		сл. дол.	В	7,2	7,2	11,1	11,1
315	№ 315		вис. дол.	ЮВ	2,6	2,6	0,9	0,9
316	№ 316		вис.	Ю	0,6	0,6	0,1	0,1
317	№ 317		прискл.	СВ	0,6	0,6	0,4	0,4
318	№ 318		кар.-дол.	В, (ЮВ)	1,8	1,8	0,8	0,8
319	№ 319	пр. р. Сауксай	вис.	СВ	0,5	0,5	0,2	0,2
320	№ 320	пр. р. Сауксай	кар.	С	0,5	0,5	0,2	0,2
321	№ 321	пр. р. Сауксай	кар.-дол.	СВ	2,1	1,3	1,1	0,8
322	№ 322	пр. р. Сауксай	кар.-дол.	СВ, (В)	2,6	2,6	2,6	2,6
323	№ 323	пр. р. Сауксай	кул.	С3	0,7	0,7	0,1	0,1
324	№ 324	пр. р. Сауксай	сл. дол.	(В), СВ	6,5	6,5	11,2	11,0
325	№ 325	пр. р. Сауксай	кул.	3	0,9	0,9	0,1	0,1
326	№ 326	пр. р. Сауксай	кул.	3	1,0	1,0	0,1	0,1
327	№ 327	пр. р. Сауксай	кар.	СВ	1,8	1,8	0,7	0,7
328	№ 328	пр. р. Сауксай	дол.	СВ, (В)	5,0	5,0	3,4	3,3
329	№ 329		вис.	СВ	0,9	0,9	0,2	0,2
330	№ 330		кар.-вис.	СВ	1,6	1,6	0,9	0,9

Высота, м			Фирновая линия		Площадь области аблации, км ²		Объем льда, км ³	Ссылки на последующие таблицы (иллюстрации)
низшей точки конца ледника	низшей точки открытой части ледника	высшей точки ледника	высота, м	способ определения и дата	общая	в том числе открытой части		
10	11	12	13	14	15	16	17	18
5400	5400	5900	5640	Кур.	0,1	0,1	0,0024	
5700	5700	5920	5840	Кур.	—	—	0,0009	
5000	5000	6000	5530	Кур.	—	—	0,0009	
5000	5000	5800	5460	Кур.	0,1	0,1	0,0024	
5200	5200	5600	5440	Кур.	—	—	0,0009	
4950	4950	5500	5240	Кур.	—	—	0,0009	
4730	4730	5800	5400	Кур.	0,4	0,4	0,0231	
5540	5540	5840	5720	Кур.	—	—	0,0009	
4120	4120	7100	5690	Кур.	11,4	10,5	3,0759	IV/20; V/11, 19, 21, 25, 26, 51; рис. 7, 8
4700	4700	5840	5400	Кур.	0,1	0,1	0,0024	
4700	4700	5820	5420	Кур.	0,1	0,1	0,0024	
4750	4750	5750	5370	Кур.	0,1	0,1	0,0024	
6600	6600	6850	6720	Кур.	—	—	0,0009	
5100	5100	5800	5420	Кур.	0,1	0,1	0,0024	
5900	5900	6200	6030	Кур.	—	—	0,0009	
5100	5100	6100	5640	Кур.	0,1	0,1	0,0024	
4240	4460	7120	5470	Кур.	25,5	18,8	10,4178	IV/20; V/11, 20, 21, 25, 26, 51; рис. 8—10, 38, 39
4610	4860	6270	5350	Кур.	1,7	0,9	0,1546	
5360	5360	5900	5620	Кур.	—	—	0,0009	
5000	5000	5700	5350	Кур.	0,1	0,1	0,0024	
5000	5000	6240	5870	Кур.	0,4	0,4	0,0231	
4900	4900	6200	5630	Кур.	0,5	0,5	0,0270	
4740	4740	5900	5220	Кур.	0,8	0,8	0,0546	
4800	4800	5600	5140	Кур.	0,2	0,2	0,0068	
4680	4680	5900	5130	Кур.	0,5	0,5	0,0231	
4780	4780	6140	5410	Кур.	0,8	0,8	0,0546	
4650	4650	5930	5150	Кур.	4,3	4,3	0,5546	
5050	5050	5930	5580	Кур.	0,2	0,2	0,0068	
4660	4660	5480	5050	Кур.	1,1	1,1	0,0822	
4760	4760	5230	4970	Кур.	0,4	0,4	0,0158	
4490	4490	5500	4980	Кур.	1,2	1,2	0,1004	
4820	4820	5480	5190	Кур.	0,2	0,2	0,0095	
4600	4600	5300	4990	Кур.	0,2	0,2	0,0044	
4700	4700	5460	5090	Кур.	0,4	0,4	0,0158	
4580	4580	5770	5010	Кур.	2,7	2,7	0,2664	IV/20; V/11, 25, 26
4590	4590	5440	5060	Кур.	0,5	0,5	0,0355	
4640	4640	5360	5000	Кур.	0,7	0,7	0,0496	
4800	4800	5300	5060	Кур.	0,1	0,1	0,0024	
5100	5100	5350	5210	Кур.	—	—	0,0009	
4490	4490	5710	5090	Кур.	1,2	1,2	0,1067	
5000	5000	5710	5400	Кур.	0,3	0,3	0,0125	
4380	4380	5830	5000	Кур.	16,0	16,0	4,2384	V/21, 51; рис. 10
5050	5050	5360	5240	Кур.	0,1	0,1	0,0024	
4740	4740	5900	5350	Кур.	0,2	0,2	0,0095	
4610	4610	5720	5130	Кур.	2,6	2,6	0,3110	рис. 10
5100	5100	5440	5310	Кур.	0,1	0,1	0,0024	
4880	4880	5820	5360	Кур.	0,3	0,3	0,0125	
4800	4800	5660	5200	Кур.	0,7	0,7	0,0400	
4630	4630	6030	5290	Кур.	5,0	5,0	0,9985	
4680	4680	5730	5230	Кур.	0,4	0,4	0,0231	
5200	5200	5560	5360	Кур.	—	—	0,0009	V/20
4600	4600	5100	4850	Кур.	0,2	0,2	0,0068	V/20
4690	4690	5200	4920	Кур.	0,4	0,4	0,0193	V/20
4900	4900	5400	5130	Кур.	0,1	0,1	0,0024	
4550	4550	4850	4720	Кур.	0,1	0,1	0,0024	IV/20; V/11, 25, 26
4540	4580	5200	4780	Кур.	0,6	0,3	0,0193	
4600	4600	5700	5040	Кур.	1,5	1,5	0,1132	
5100	5100	5700	5440	Кур.	—	—	0,0009	
4360	4360	6030	5120	Кур.	4,9	4,7	1,0120	IV/20; V/11, 25, 26
4900	4900	5550	5270	Кур.	—	—	0,0009	IV/20; V/11, 25, 26
4700	4700	5600	5200	Кур.	—	—	0,0009	IV/20; V/11, 25, 26
4600	4600	5600	5010	Кур.	0,4	0,4	0,0158	IV/20; V/11, 25, 26
4470	4470	5730	5070	Кур.	1,8	1,7	0,1693	IV/20; V/11, 25, 26
4500	4500	5000	4750	Кур.	0,1	0,1	0,0024	
4700	4700	5600	5150	Кур.	0,4	0,4	0,0231	

№ по схеме	Название	Название реки, вытекающей из ледника	Морфологический тип	Общая экспозиция	Наибольшая длина, км		Площадь, км²	
					всего ледника	в том числе открытой части	всего ледника	в том числе открытой части
1	2	3	4	5	6	7	8	9
331	№ 331	пр. р. Сауксай	вис.	C	0,8	0,8	0,3	0,3
332	№ 332	пр. р. Сауксай	кар.	CB	1,3	1,3	0,6	0,6
333	№ 333	пр. р. Сауксай	кар.-дол.	C	1,3	1,0	0,3	0,3
334	№ 334	пр. р. Сауксай	вис.	C3	0,5	0,5	0,1	0,1
335	№ 335	пр. р. Сауксай	сл. дол.	CB	4,3	4,3	3,8	3,8
336	№ 336	пр. р. Сауксай	кар.	CB	1,1	1,1	0,4	0,4
337	№ 337	пр. р. Сауксай	вис.	C	1,0	1,0	0,5	0,5
338	№ 338	пр. р. Сауксай	вис.	C3	0,8	0,8	0,2	0,2
339	№ 339	пр. р. Сауксай	вис. дол.	C	2,8	2,5	3,1	3,1
340	№ 340		вис.	CB	0,7	0,7	0,1	0,1
341	№ 341		дол.	B	2,2	2,2	1,2	1,2
342	№ 342	пр. р. Сауксай	дол.	C3	1,1	1,1	0,2	0,2
343	№ 343	пр. р. Сауксай	кар.-дол.	C3	1,1	1,1	0,4	0,4
91 ледник							236,5	227,0

Кроме того, в бассейне верховьев р. Сауксай выше устья р. Кузгунтеке имеется 29 ледников размерами менее 0,1 км²
Итого 120 ледников

Бассейны левых безымянных притоков р. Сауксай между устьями рек Кузгунтеке и Белеули (реки Сауксай, Муксу, Северо-восточный склон)

344	№ 344	пр. р. Сауксай	кар.-дол.	C3	1,2	1,2	0,5	0,5
345	№ 345	пр. р. Сауксай	вис.	C	0,5	0,5	0,4	0,4
2 ледника							0,9	0,9

Кроме того, в бассейнах левых безымянных притоков р. Сауксай между устьями рек Кузгунтеке и Белеули имеется 2 ледника
Итого 4 ледника

Бассейн р. Белеули (реки Сауксай, Муксу, Сурхоб, Вахш, Юго-западный склон хр. Саукдара, северо-восточный склон)

346	№ 346	пр. р. Белеули	кар.	3	1,9	1,9	2,3	2,3
347	№ 347	пр. р. Белеули	склон.	C3	1,7	1,7	1,1	1,1
348	№ 348	пр. р. Белеули	вис. дол.	ЮЗ	1,5	1,5	0,5	0,5
349	№ 349	пр. р. Белеули	кул.	ЮВ	1,1	1,1	0,2	0,2
350	№ 350	пр. р. Белеули	вис. дол.	Ю	1,0	1,0	0,2	0,2
351	№ 351	пр. р. Белеули	кул.	3	1,3	1,3	0,2	0,2
352	№ 352	пр. р. Белеули	вис.	3	1,2	1,2	0,5	0,5
353*	Белеули	Белеули	сл. дол.	C, (C3)	4,7	4,7	8,2	8,2
354	№ 354		вис. дол.	C3, (3)	2,6	2,6	1,4	1,4
355	№ 355		кул.	C3	0,9	0,9	0,2	0,2
356	№ 356		кул.	C3	1,0	1,0	0,3	0,3
357	№ 357		дол.	CB	2,5	2,5	0,8	0,8
358	№ 358	пр. р. Белеули	вис. дол.	CB	3,2	3,2	2,3	2,3
359	№ 359	пр. р. Белеули	вис. дол.	CB	2,7	2,7	1,5	1,5
360	№ 360	пр. р. Белеули	вис.	CB	1,5	1,5	0,4	0,4
361	№ 361	пр. р. Белеули	вис.	CB	1,8	1,8	0,5	0,5
362	№ 362	пр. р. Белеули	кул.	CB	1,0	1,0	0,1	0,1
363	№ 363	пр. р. Белеули	кул.	C	1,1	1,1	0,2	0,2
364	№ 364	пр. р. Белеули	дол.	C, (CB, C)	4,0	4,0	2,1	2,1
365	№ 365	пр. р. Белеули	склон.	C	0,7	0,7	0,3	0,3
366	№ 366	пр. р. Белеули	сл. дол.	CB	3,8	3,8	5,5	5,4
367	№ 367		кар.	B	1,2	1,2	0,4	0,4
368	№ 368		вис. дол.	B	2,0	2,0	0,6	0,6
369	№ 369	пр. р. Белеули	дол.	CB, (B)	3,3	3,3	1,8	1,8
370	№ 370		вис.	C	0,4	0,4	0,1	0,1
371	№ 361	пр. р. Белеули	склон.	C	0,6	0,6	0,3	0,3
372	№ 372	пр. р. Белеули	дол.	CB, (B)	3,1	3,1	2,0	2,0
373	№ 373		кар.	CB	1,0	1,0	0,4	0,4
374	№ 374		дол.	ЮВ	1,0	1,0	0,2	0,2
375	№ 375	пр. р. Белеули	асимм. дол.	CB	2,3	2,3	1,4	1,2
376	№ 376		вис.	C3	0,7	0,7	0,2	0,2
377	№ 377		вис.	C3	0,6	0,6	0,1	0,1
378	№ 378		вис.	CB	0,5	0,5	0,1	0,1
379	№ 379	пр. р. Белеули	прискл.	CB	1,0	1,0	0,7	0,7
380	№ 380	пр. р. Белеули	кул.	CB	0,9	0,9	0,1	0,1
381	№ 381	пр. р. Белеули	кул.	CB	1,0	1,0	0,2	0,2
382	№ 382	пр. р. Белеули	вис.	CB	0,5	0,5	0,1	0,1
383	№ 383	пр. р. Белеули	вис.	C3	0,5	0,5	0,2	0,2

Высота, м			Фирновая линия		Площадь области аблации, км ²		Объем льда, км ³	Ссылки на последующие таблицы (илюстрации) № таблиц и иллюстраций
низшей точки конца ледника	низшей точки открытой части ледника	высшей точки ледника	высота, м	способ определения и дата	общая	в том числе открытой части		
10	11	12	13	14	15	16	17	18
4400	4400	5120	4750	Кур.	0,1	0,1	0,0044	
4600	4600	5450	5030	Кур.	0,3	0,3	0,0125	
4080	4170	4620	4330	Кур.	0,2	0,2	0,0044	
5100	5100	5500	5300	Кур.	—	—	0,0009	
4470	4470	5700	4940	Кур.	2,0	2,0	0,2000	
4750	4750	5230	5050	Кур.	0,2	0,2	0,0068	
4500	4500	5200	4900	Кур.	0,2	0,2	0,0095	
4680	4680	5200	4960	Кур.	0,1	0,1	0,0024	
4300	4350	5600	4910	Кур.	1,6	1,6	0,1474	
4800	4800	5200	5050	Кур.	—	—	0,0009	
4560	4560	5300	4960	Кур.	0,6	0,6	0,0355	
4480	4480	5140	4780	Кур.	0,1	0,1	0,0024	
4400	4400	5100	4840	Кур.	0,2	0,2	0,0068	
					115,3	105,8	26,1251	

каждый, общей площадью 1,6 км²**Сурхоб, Вахш, Амударья, Аральское море)**

склон хр. Саукдара

4400	4400	5300	4930	Кур.	0,2	0,2	0,0095	
4400	4400	4920	4720	Кур.	0,2	0,2	0,0068	

размерами менее 0,1 км² каждый, общей площадью 0,1 км²**Амударья, Аральское море)**

хр. Белеули

4760	4760	5890	5300	Кур.	1,2	1,2	0,0942	
4540	4540	5440	4940	Кур.	0,6	0,6	0,0311	
4800	4800	5890	5430	Кур.	0,2	0,2	0,0095	
5240	5240	5800	5470	Кур.	0,1	0,1	0,0024	
5100	5100	5700	5400	Кур.	0,1	0,1	0,0024	
4800	4800	5660	5330	Кур.	0,1	0,1	0,0024	
4950	4950	5600	5340	Кур.	0,2	0,2	0,0095	
4440	4440	5800	4970	Кур.	3,6	3,6	0,6340	
4580	4580	5770	5100	Кур.	0,8	0,8	0,0447	
4590	4590	5200	4840	Кур.	0,1	0,1	0,0024	
4700	4700	5280	5030	Кур.	0,1	0,1	0,0044	
4600	4600	5450	5020	Кур.	0,4	0,4	0,0193	
4700	4700	5630	5200	Кур.	1,1	1,1	0,0942	
4600	4600	5510	5050	Кур.	0,7	0,7	0,0496	
4700	4700	5400	4980	Кур.	0,2	0,2	0,0068	
4620	4620	5510	5100	Кур.	0,3	0,3	0,0095	
4450	4450	5300	4780	Кур.	—	—	0,0009	
4400	4400	5200	4890	Кур.	0,1	0,1	0,0024	
4590	4590	5590	5050	Кур.	1,1	1,1	0,0822	
4640	4640	5050	4920	Кур.	0,1	0,1	0,0044	
4610	4610	5590	5060	Кур.	2,7	2,6	0,3483	
4850	4850	5320	5040	Кур.	0,3	0,3	0,0068	
4760	4760	5600	5110	Кур.	0,4	0,4	0,0125	
4520	4520	5560	4920	Кур.	0,7	0,7	0,0652	
4700	4700	5000	4890	Кур.	—	—	0,0009	
4400	4400	4920	4720	Кур.	0,2	0,2	0,0044	
4480	4480	5300	4890	Кур.	0,9	0,9	0,0764	
4600	4600	5200	4890	Кур.	0,2	0,2	0,0068	
5040	5040	5300	5150	Кур.	0,1	0,1	0,0024	
4280	4280	5100	4750	Кур.	0,6	0,4	0,0447	
4500	4500	5100	4850	Кур.	0,1	0,1	0,0024	
4500	4500	5100	4800	Кур.	—	—	0,0009	
5200	5200	5440	5330	Кур.	—	—	0,0009	
4250	4250	5050	4740	Кур.	0,3	0,3	0,0158	
4700	4700	5200	5000	Кур.	—	—	0,0009	
4600	4600	5400	5050	Кур.	0,1	0,1	0,0024	
4600	4600	5040	4870	Кур.	—	—	0,0009	
5040	5040	5400	5160	Кур.	0,1	0,1	0,0024	V/19, 21, 36

№ по схеме	Название	Название реки, вытекающей из ледника	Морфологический тип	Общая экспозиция	Наибольшая длина, км		Площадь, км ²	
					всего ледника	в том числе открытой части	всего ледника	в том числе открытой части
1	2	3	4	5	6	7	8	9
384	№ 384	пр. р. Белеули	сл. дол.	C, (C3)	2,5	2,5	1,4	1,4
385	№ 385	пр. р. Белеули	прискл.	CB	0,9	0,9	0,2	0,2
386	№ 386	пр. р. Белеули	асимм. дол.	CB	2,0	2,0	1,2	1,2
387	№ 387	пр. р. Белеули	асимм. дол.	(IOB), B, (CB)	4,3	4,3	2,5	2,5
388	№ 388		вис.	B	1,0	1,0	0,3	0,3
389	№ 389	пр. р. Белеули	прискл.	C3	0,8	0,8	0,1	0,1
390	№ 390	пр. р. Белеули	вис.	CB	0,8	0,8	0,2	0,2
391	№ 391	пр. р. Белеули	кар.-дол.	C, (CB)	1,5	1,5	0,4	0,4
392	№ 392	пр. р. Белеули	кар.-дол.	C, (CB)	2,0	2,0	0,7	0,7
393	№ 393	пр. р. Белеули	вис.	C	3,1	3,1	0,4	0,4
394	№ 394	пр. р. Белеули	прискл.	C	3,0	3,0	1,0	1,0
395	№ 395	пр. р. Белеули	дол.	B	3,3	3,3	2,6	2,6
396	№ 396	пр. р. Белеули	вис.	CB	0,4	0,4	0,1	0,1
397	№ 397	пр. р. Белеули	склон.	C	1,5	1,5	1,1	1,1
398	№ 398	пр. р. Белеули	дол.	C, (CB)	2,2	2,2	1,1	1,1
399	№ 399		вис.	CB	0,5	0,5	0,1	0,1
54 ледника							51,1	50,8

Кроме того, в бассейне р. Белеули имеется 6 ледников размерами менее 0,1 км² каждый, общей площадью 0,3 км²

Итого 60 ледников

51,4
Бассейн р. Айвырджигар (реки Сауксай, Муксу, Сурхоб, Вахш,
Северный склон)

400	№ 400	Айвырджигар	вис.	C3	1,0	1,0	0,4	0,4
401	№ 401	пр. р. Айвырджигар	вис.	C	0,5	0,5	0,1	0,1
2 ледника							0,5	0,5

Бассейн р. Кырчин (реки Сауксай, Муксу, Сурхоб, Вахш,
Северный склон)

402	№ 402	Кырчин	склон.	C	1,8	1,8	2,5	2,5
-----	-------	--------	--------	---	-----	-----	-----	-----

Бассейн левого безымянного притока р. Сауксай между
Северный склон

403	№ 403	пр. р. Сауксай	вис.	C	1,6	1,6	0,6	0,6
404	№ 404	пр. р. Сауксай	вис.	C	1,1	1,1	0,3	0,3
2 ледника							0,9	0,9

Бассейн р. Рангджилга (реки Сауксай, Муксу, Сурхоб, Вахш,
Северный склон)

405	№ 405	Рангджилга	кар.-дол.	C	2,3	2,3	1,7	1,7
-----	-------	------------	-----------	---	-----	-----	-----	-----

Бассейн р. Сультанат (реки Сауксай, Муксу, Сурхоб, Вахш,
Северный склон)

406	№ 406	Сультанат	вис.	CB	0,8	0,8	0,2	0,2
-----	-------	-----------	------	----	-----	-----	-----	-----

Бассейн р. Сасыкичке (реки Сауксай, Муксу, Сурхоб, Вахш,
Северный склон)

407	№ 407	Сасыкичке	вис.	C3	1,0	1,0	0,5	0,5
-----	-------	-----------	------	----	-----	-----	-----	-----

Бассейн р. Каинды (реки Сельдара, Муксу, Сурхоб, Вахш,
Юго-западный склон хр. Белеули,

408	№ 408	пр. р. Каинды	вис.	З	0,8	0,8	0,2	0,2
409	№ 409	Заразак	дол.	ЮВ	0,8	0,8	0,2	0,2
410	№ 410	пр. р. Каинды	дол.	ЮЗ	2,0	2,0	0,8	0,8
411	№ 411	пр. р. Каинды	вис.	ЮЗ	0,5	0,5	0,5	0,5
412	№ 412	пр. р. Каинды	вис.	ЮЗ	0,7	0,7	0,1	0,1
413	№ 413	пр. р. Каинды	склон.	C3	1,2	1,2	0,4	0,4
414	№ 414	пр. р. Каинды	вис. дол.	ЮВ	1,6	1,6	0,3	0,3
415	№ 415	пр. р. Каинды	вис.	ЮЗ	0,8	0,8	0,2	0,2
416*	Тура-курум	Каинды	сл. дол.	(ЮВ), Ю, (ЮЗ)	3,2	3,2	1,9	1,9

417*	№ 417	пр. р. Каинды	склон.	C3	1,5	1,5	1,2	1,2
418*	№ 418	пр. р. Каинды	кар.-дол.	C	1,7	1,7	1,2	1,2
419	№ 419	пр. р. Каинды	кул.	C	1,5	1,5	0,4	0,4
420	№ 420	пр. р. Каинды	вис.	C	0,7	0,7	0,5	0,5

Продолжение таблицы I

Высота, м			Фирновая линия		Площадь области аблации, км ²		Объем льда, км ³	Ссылки на последующие таблицы (иллюстрации) № таблиц и иллюстраций порядковые № сведений в таблицах
низшей точки конца ледника	низшей точки открытой части ледника	высшей точки ледника	высота, м	способ определения и дата	общая	в том числе открытой части		
10	11	12	13	14	15	16	17	18
4320	4320	5250	4740	Кур.	0,7	0,7	0,0447	
4400	4400	4900	4630	Кур.	0,1	0,1	0,0024	
4300	4300	5100	4760	Кур.	0,6	0,6	0,0355	
4060	4060	5330	4830	Кур.	1,1	1,1	0,1067	
4600	4600	5220	4970	Кур.	0,1	0,1	0,0044	
4500	4500	5100	4830	Кур.	—	—	0,0009	
4600	4600	5200	4940	Кур.	0,1	0,1	0,0024	
4240	4240	5100	4680	Кур.	0,2	0,2	0,0068	
4320	4320	5200	4820	Кур.	0,4	0,4	0,0158	
4200	4200	5280	4840	Кур.	0,2	0,2	0,0068	
4300	4300	5200	4670	Кур.	0,5	0,5	0,0270	
4420	4420	5380	4860	Кур.	1,3	1,3	0,1132	
4700	4700	4900	4800	Кур.	—	—	0,0009	
4100	4100	5000	4480	Кур.	0,6	0,6	0,0311	
4350	4350	5200	4760	Кур.	0,6	0,6	0,0311	
4650	4650	4940	4820	Кур.	—	—	0,0009	
					24,3	24,0	2,1319	V/19

Амударья, Аральское море)

склон хр. Белеули

4350	4350	5100	4760	Кур.	0,2	0,2	0,0068
4400	4400	4750	4610	Кур.	—	—	0,0009

Амударья, Аральское море)

хр. Белеули

4100	4100	5340	4740	Кур.	1,2	1,2	0,1067	V/19
------	------	------	------	------	-----	-----	--------	------

устьями рек Кырчин и Рангджилга (реки Сауксай, Муксу, Сурхоб, Вахш, Амударья, Аральское море)

склон хр. Белеули

4120	4120	5060	4670	Кур.	0,2	0,2	0,0125
4500	4500	5100	4880	Кур.	0,1	0,1	0,0044

Амударья, Аральское море)

склон хр. Белеули

4780	4780	6100	5280	Кур.	0,9	0,9	0,0598
------	------	------	------	------	-----	-----	--------

Амударья, Аральское море)

склон хр. Белеули

4250	4250	4920	4630	Кур.	0,1	/	0,0024
------	------	------	------	------	-----	---	--------

Амударья, Аральское море)

склон хр. Белеули

4440	4440	5000	4760	Кур.	0,2	0,2	0,0095
------	------	------	------	------	-----	-----	--------

Амударья, Аральское море)

северный склон хр. Каинды

4800	4800	5300	5050	Кур.	0,1	0,1	0,0024
4800	4800	5150	4960	Кур.	0,1	0,1	0,0024
4300	4300	5200	4860	Кур.	0,3	0,3	0,0193
5150	5150	5580	5340	Кур.	0,2	0,2	0,0095
5000	5000	5500	5280	Кур.	—	—	0,0009

4650	4650	5000	4800	Кур.	0,2	0,2	0,0068
4920	4920	5500	5210	Кур.	0,2	0,2	0,0044
5100	5100	5500	5300	Кур.	0,1	0,1	0,0024
4700	4700	5620	5140	Кур.	1,0	1,0	0,0707

4440	4440	5160	4790	Кур.	0,6	0,6	0,0355
4460	4460	5200	4850	Кур.	0,6	0,6	0,0355
4360	4360	5200	4760	Кур.	0,2	0,2	0,0068
4500	4500	5000	4790	Кур.	0,2	0,2	0,0095

IV/10; V/21, 40

IV/10; V/40

IV/10; V/19, 40

по схеме №	Название	Название реки, вытекающей из ледника	Морфологический тип	Общая экспозиция	Наибольшая длина, км		Площадь, км ²	
					всего ледника	в том числе открытой части	всего ледника	в том числе открытой части
1	2	3	4	5	6	7	8	9
421	№ 421	пр. р. Каинды	вис.	C3	0,7	0,7	0,2	0,2
422	№ 422	пр. р. Каинды	кар.-дол.	CB, (C)	2,5	2,5	1,2	1,2
423	№ 423	пр. р. Каинды	дол.	(B), CB	2,9	2,9	2,1	2,1
424	№ 424		вис.	C	0,5	0,5	0,2	0,2
425	№ 425	пр. р. Каинды	вис.	CB	0,5	0,5	0,2	0,2
426	№ 426	пр. р. Каинды	кар.	CB	1,1	1,1	0,3	0,3
427	№ 427	пр. р. Каинды	кул.	C3	0,8	0,8	0,2	0,2
428	№ 428	пр. р. Каинды	сл. дол.	(CB), C	2,0	2,0	2,4	2,4
429	№ 429	пр. р. Каинды	кул.	CB	1,0	1,0	0,2	0,2
430	№ 430	пр. р. Каинды	кул.	C3	0,8	0,8	0,1	0,1
431	№ 431	пр. р. Каинды	кул.	C3	0,9	0,9	0,1	0,1
432	№ 432	пр. р. Каинды	вис. дол.	C3	2,2	2,2	1,1	1,1
433	№ 433	пр. р. Каинды	дол.	C	2,6	2,6	1,0	1,0
434	№ 434	пр. р. Каинды	вис. дол.	CB	1,4	1,4	0,8	0,8
435	№ 435	пр. р. Каинды	кар.	CB	1,5	1,5	0,4	0,4
436	№ 436	пр. р. Курганкуль	вис.	C3	0,8	0,8	0,2	0,2
437	№ 437	пр. р. Курганкуль	кул.	C3	0,7	0,7	0,1	0,1
438	№ 438	пр. р. Курганкуль	кул.	C3	1,3	1,3	0,4	0,4
439	№ 439	Курганкуль	кар.-дол.	C3	1,9	1,9	0,6	0,6
440	№ 440	пр. р. Курганкуль	кул.	CB	1,5	1,5	0,7	0,7
441	№ 441	пр. р. Курганкуль	кул.	CB	1,8	1,8	0,5	0,5
442	№ 442	пр. р. Курганкуль	кул.	CB	1,3	1,3	0,4	0,4
443	№ 443	пр. р. Каинды	вис.	C	0,8	0,8	0,2	0,2
36 ледников							21,5	21,5

Кроме того, в бассейне р. Каинды имеется 28 ледников размерами менее 0,1 км² каждый, общей площадью 1,6 км²
Итого 64 ледника

Бассейн правого безымянного притока р. Сельдара между Северный склон

444	№ 444	пр. р. Сельдара	дол.	C3	3,3	3,3	1,5	1,5
-----	-------	-----------------	------	----	-----	-----	-----	-----

Кроме того, в бассейне правого безымянного притока р. Сельдара между устьями рек Каинды и Баляндкик имеется 2 ледника размерами менее 0,1 км² каждый, общей площадью 0,1 км²

Итого 3 ледника

1,6

Бассейн р. Каинды (южн.) (реки Баляндкик, Сельдара, Муксу, Южный склон)

445	№ 445	пр. р. Каинды (южн.)	вис.	C3, (3)	1,2	1,2	0,4	0,4
446	№ 446	пр. р. Каинды (южн.)	вис.	C3	0,7	0,7	0,2	0,2
447*	№ 447	Кумышджилга	сл. дол.	(ЮЗ), 3	6,0	6,0	5,8	5,8
448	№ 448	Кумышджилга	вис. дол.	ЮЗ	2,5	2,5	1,4	1,4
449	№ 449	пр. р. Кумышджилга	дол.	C3	2,8	2,8	2,0	2,0
450	№ 450	пр. р. Кумышджилга	вис. дол.	ЮЗ	3,0	3,0	0,6	0,6
451	№ 451	пр. р. Кумышджилга	кар.-дол.	C	1,3	1,3	0,4	0,4
452	№ 452	пр. р. Кумышджилга	кар.-дол.	C	1,3	1,3	0,6	0,6
453	№ 453	пр. р. Кумышджилга	кар.-дол.	C	1,3	1,3	0,6	0,6
454	№ 453	пр. р. Кумышджилга	вис.	C3	0,8	0,8	0,2	0,2
455	№ 455	пр. р. Кумышджилга	вис.	C	0,9	0,9	0,3	0,3
11 ледников							12,5	12,5

Кроме того, в бассейне р. Каинды (южн.) имеется 3 ледника размерами менее 0,1 км² каждый, общей площадью 0,2 км²

Итого 14 ледников

12,7

Бассейн р. Караджилга (зап.) (реки Баляндкик, Сельдара, Южный склон хр. Белеули,

456	№ 456	пр. р. Караджилга (зап.)	вис.	CB	0,5	0,5	0,2	0,2
457	№ 457	пр. р. Караджилга (зап.)	кар.	B	0,8	0,8	0,4	0,4
458	№ 458	пр. р. Караджилга (зап.)	дол.	ЮВ	1,8	1,8	0,7	0,7
459	№ 459	пр. р. Караджилга (зап.)	вис.	CB	0,8	0,8	0,2	0,2
460	№ 460	пр. р. Караджилга (зап.)	кар.-дол.	ЮВ	1,8	1,8	0,8	0,8
461	№ 461	пр. р. Караджилга (зап.)	дол.	ЮВ, (ЮЗ)	2,5	2,5	1,1	1,1
462	№ 462	пр. р. Караджилга (зап.)	дол.	(ЮВ), ЮЗ	3,7	3,7	2,2	2,2
463	№ 463	Караджилга (зап.)	вис.	C3	0,5	0,5	0,2	0,2
464	№ 464		дол.	ЮЗ	3,7	3,7	2,1	2,1
465	№ 465		кар.	Ю	0,4	0,4	0,2	0,2
466	№ 466		кар.-дол.	ЮЗ	1,3	1,3	0,6	0,6
467	№ 467	пр. р. Караджилга (зап.)	вис.	C3	0,5	0,5	0,2	0,2

Высота, м			Фирновая линия		Площадь области аблации, км ²		Ссылки на последующие таблицы (иллюстрации) № таблиц и иллюстраций	
низшей точки конца ледника	низшей точки открытой части ледника	высшей точки ледника	высота, м	способ определения и дата	общая	в том числе открытой части		
10	11	12	13	14	15	16	17	18
4660	4660	4900	4790	Кур.	0,1	0,1	0,0024	V/19
4480	4480	5140	4830	Кур.	0,6	0,6	0,0355	
4400	4440	5200	4780	Кур.	1,0	1,0	0,0822	
4900	4900	5300	5130	Кур.	0,1	0,1	0,0024	
4800	4800	5200	5020	Кур.	0,1	0,1	0,0024	
4700	4700	5200	4960	Кур.	0,2	0,2	0,0044	
4300	4300	4900	4640	Кур.	0,1	0,1	0,0024	
4200	4200	5250	4670	Кур.	1,2	1,2	0,1004	
4420	4420	5100	4800	Кур.	0,1	0,1	0,0024	
4600	4600	5080	4850	Кур.	—	—	0,0009	
4500	4500	5080	4820	Кур.	—	—	0,0009	
4250	4250	5100	4690	Кур.	0,6	0,6	0,0311	
4250	4250	5080	4590	Кур.	0,6	0,6	0,0270	
4160	4160	5050	4680	Кур.	0,4	0,4	0,0193	
4300	4300	5200	4880	Кур.	0,2	0,2	0,0068	
4500	4500	4800	4650	Кур.	0,1	0,1	0,0024	
4900	4900	5200	5050	Кур.	—	—	0,0009	
4530	4530	5200	4860	Кур.	0,2	0,2	0,0068	
4450	4450	5320	4980	Кур.	0,2	0,2	0,0125	
4100	4100	5000	4560	Кур.	0,3	0,3	0,0158	
3820	3820	5100	4470	Кур.	0,3	0,3	0,0095	
4100	4100	5200	4650	Кур.	0,2	0,2	0,0068	
4200	4200	4780	4530	Кур.	0,1	0,1	0,0024	
					10,5	10,5	0,5836	

устьями рек Каинды и Балындкык (реки Сельдара, Муксу, Сурхоб, Вахш, Амударья, Аральское море)

хр. Каинды

3900		3900		5200		4680		Кур.		0,7		0,7		0,0496		V/1; V/19, 23
------	--	------	--	------	--	------	--	------	--	-----	--	-----	--	--------	--	---------------

Сурхоб, Вахш, Амударья, Аральское море)

хр. Белеули

4900	4900	5500	5220	Кур.	0,2	0,2	0,0068	V/21
4940	4940	5260	5120	Кур.	0,1	0,1	0,0024	
4440	4440	5600	5000	Кур.	2,9	2,9	0,3771	
4750	4750	5500	5040	Кур.	0,8	0,8	0,0447	
4540	4540	5400	4930	Кур.	1,1	1,1	0,0764	
4760	4760	5400	5150	Кур.	0,3	0,3	0,0125	
4550	4550	5240	4910	Кур.	0,2	0,2	0,0068	
4400	4400	5140	4800	Кур.	0,3	0,3	0,0125	
4500	4500	5200	4890	Кур.	0,3	0,3	0,0125	
4600	4600	5200	4950	Кур.	0,1	0,1	0,0024	
4560	4560	5100	4870	Кур.	0,2	0,2	0,0044	
					6,5	6,5	0,5585	

Муксу, Сурхоб, Вахш, Амударья, Аральское море)

юго-западный склон хр. Зулумарт

4750	4750	5050	4870	Кур.	0,1	0,1	0,0024	V/21
4800	4800	5200	4960	Кур.	0,2	0,2	0,0068	
4750	4750	5300	5040	Кур.	0,3	0,3	0,0158	
4600	4600	5230	4990	Кур.	0,1	0,1	0,0024	
4730	4730	5350	5090	Кур.	0,3	0,3	0,0193	
4730	4730	5300	4990	Кур.	0,6	0,6	0,0311	
4710	4710	5400	4910	Кур.	1,3	1,3	0,0881	
4780	4780	5020	4900	Кур.	0,1	0,1	0,0024	
4610	4610	5720	5150	Кур.	1,0	1,0	0,0822	
5200	5200	5400	5290	Кур.	0,1	0,1	0,0024	
4700	4700	5200	4910	Кур.	0,3	0,3	0,0125	
4640	4640	5000	4820	Кур.	0,1	0,1	0,0024	

№ по схеме	Название	Название реки, вытекающей из ледника	Морфологический тип	Общая экспозиция	Наибольшая длина, км		Площадь, км ²	
					всего ледника	в том числе открытой части	всего ледника	в том числе открытой части
1	2	3	4	5	6	7	8	9
468	№ 468	пр. р. Караджилга (зап.)	вис.	C3	0,9	0,9	0,3	0,3
469	№ 469	пр. р. Караджилга (зап.)	дол.	ЮЗ	4,2	4,2	3,7	3,7
470	№ 470	пр. р. Караджилга (зап.)	дол.	ЮЗ, (C3)	4,1	4,1	2,8	2,8
471	№ 471		дол.	ЮЗ	3,5	3,5	1,7	1,7
472	№ 472	пр. р. Караджилга (зап.)	вис.	C	0,4	0,4	0,2	0,2
473	№ 473	пр. р. Караджилга (зап.)	кар-дол.	C3	2,3	2,3	2,0	2,0
474	№ 474	пр. р. Караджилга (зап.)	кар-дол.	C3	1,8	1,8	1,3	1,3
475	№ 475	пр. р. Караджилга (зап.)	вис.	C3	0,6	0,6	0,2	0,2
476	№ 476	пр. р. Караджилга (зап.)	вис.	C3	0,5	0,5	0,2	0,2
21 ледник							21,3	21,3

Кроме того, в бассейне р. Караджилга (зап.) имеется 4 ледника размерами менее 0,1 км² каждый, общей площадью 0,3 км²

Итого 25 ледников

21,6

Бассейн р. Зулумарт (реки Балындкик, Сельдар, Муксу, Юго-западный и западный склоны хр. Зулумарт, северо-

477	№ 477	пр. р. Зулумарт	кар.-вис.	ЮВ, (В)	1,4	1,4	0,6	0,6
478	№ 478	пр. р. Зулумарт	кар.-вис.	ЮВ, (Ю)	0,9	0,9	0,3	0,3
479	№ 479	пр. р. Зулумарт	дол.	3	2,4	2,4	0,9	0,9
480	№ 480	пр. р. Зулумарт	вис.	ЮВ	0,9	0,9	0,3	0,3
481	№ 481	пр. р. Зулумарт	вис.	ЮЗ	1,4	1,4	1,3	1,3
482	№ 482	пр. р. Зулумарт	вис.	C3	0,5	0,5	0,1	0,1
483	№ 483	пр. р. Зулумарт	вис.	C	0,3	0,3	0,1	0,1
484	№ 484	пр. р. Зулумарт	кул.	C	0,5	0,5	0,1	0,1
485	№ 485	пр. р. Зулумарт	кул.	C	0,8	0,8	0,2	0,2
486	№ 486	пр. р. Зулумарт	склон.	C3	0,9	0,9	0,4	0,4
487	№ 487	пр. р. Зулумарт	вис.	C3	0,5	0,5	0,2	0,2
488	№ 488	пр. р. Зулумарт	вис.	ЮЗ	0,5	0,5	0,1	0,1
489	№ 489	пр. р. Зулумарт	склон.	C3	0,8	0,8	0,8	0,8
490	№ 490	пр. р. Зулумарт	склон.	C3	0,9	0,9	0,8	0,8
491	№ 491	пр. р. Зулумарт	вис.	C	0,7	0,7	0,2	0,2
492	№ 492	пр. р. Зулумарт	вис.	C	0,3	0,3	0,1	0,1
493	№ 493	пр. р. Зулумарт	кар.-дол.	(C3, 3), ЮЗ	2,0	2,0	1,2	1,2
494	№ 494		кул.	C3	0,7	0,7	0,1	0,1
495	№ 495		склон.	C3	0,6	0,6	0,4	0,4
496	№ 496	пр. р. Зулумарт	вис.	B	0,8	0,8	0,2	0,2
497	№ 497	пр. р. Зулумарт	вис.	ЮЗ	0,9	0,9	0,2	0,2
498	№ 498	пр. р. Зулумарт	кул.	B	0,6	0,6	0,1	0,1
499	№ 499	пр. р. Зулумарт	вис.	C3	0,7	0,7	0,2	0,2
500	№ 500	пр. р. Зулумарт	вис.	C3	0,8	0,8	0,2	0,2
501	№ 501	пр. р. Зулумарт	кул.	3	0,5	0,5	0,1	0,1
502	№ 502	пр. р. Зулумарт	кар.-дол.	C3	1,9	1,9	1,3	1,3
503	№ 503	Зулумарт	сл. дол.	C	4,3	3,2	5,0	4,9
504	№ 504		кул.	C3	1,0	1,0	0,1	0,1
505	№ 505		кул.	C3	1,0	1,0	0,5	0,5
506	№ 506		дол.	B	1,3	1,3	1,3	1,3
507	№ 507		асимм. дол.	B	1,5	1,5	0,6	0,6
508	№ 508	пр. р. Зулумарт	кар.-дол.	B	1,5	1,5	1,0	1,0
509	№ 509	пр. р. Зулумарт	кар.-дол.	CB	1,8	1,8	0,9	0,9
510	№ 510	пр. р. Зулумарт	кул.	C3	0,6	0,6	0,1	0,1
511	№ 511	пр. р. Зулумарт	кул.	3	0,6	0,6	0,1	0,1
512	№ 512	пр. р. Зулумарт	дол.	C3	2,6	2,6	1,1	1,1
513	№ 513		кул.	3	0,7	0,7	0,2	0,2
514	№ 514	пр. р. Зулумарт	сл. дол.	(B), C	5,0	5,0	4,7	4,6
515	№ 515	пр. р. Зулумарт	кар.-дол.	CB	1,6	1,6	0,7	0,7
516	№ 516		кар.	ЮВ	0,7	0,7	0,2	0,2
517	№ 517		кар.-вис.	CB	0,8	0,8	0,2	0,2
518	№ 518	пр. р. Зулумарт	кул.	CB	0,7	0,7	0,1	0,1
519	№ 519	пр. р. Зулумарт	вис. дол.	C	1,0	1,0	0,3	0,3
520	№ 520	пр. р. Зулумарт	сл. дол.	C	3,8	3,8	3,1	3,1
521	№ 521		кул.	C3	0,8	0,8	0,2	0,2
522	№ 522	пр. р. Зулумарт	вис.	CB	0,5	0,5	0,3	0,3
523	№ 523	пр. р. Зулумарт	вис. дол.	C	1,7	1,7	0,7	0,7
524	№ 524	пр. р. Зулумарт	вис. дол.	CB	1,1	1,1	0,8	0,8
525	№ 525	пр. р. Зулумарт	вис. дол.	C3	1,9	1,9	1,2	1,2
526	№ 526	пр. р. Зулумарт	дол.	C	2,8	2,8	2,0	2,0
527	№ 527		склон.	3	0,5	0,5	0,3	0,3

Высота, м			Фирновая линия		Площадь области аблации, км ²		Ссылки на последующие таблицы (иллюстрации) № таблиц и иллюстраций	Ссылки на последующие таблицы (иллюстрации) № таблиц и иллюстраций
нижней точки конца ледника	нижней точки открытой части ледника	высшей точки ледника	высота, м	способ определения и дата	общая	в том числе открытой части		
10	11	12	13	14	15	16	17	18
4600	4600	5220	4950	Кур.	0,1	0,1	0,0044	
4550	4550	5700	5010	Кур.	2,0	2,0	0,1922	
4550	4550	5370	4970	Кур.	1,3	1,3	0,1265	
4800	4800	5320	5050	Кур.	0,8	0,8	0,0598	
4800	4800	5200	4980	Кур.	0,1	0,1	0,0024	
4500	4500	5320	4990	Кур.	1,0	1,0	0,0764	
4540	4540	5300	4740	Кур.	0,4	0,4	0,0400	
4540	4540	5000	4750	Кур.	0,1	0,1	0,0024	
4600	4600	5000	4820	Кур.	0,1	0,1	0,0024	
					10,4	10,4	0,7743	
Сурхоб, Вахш, Амударья, Аральское море)								
восточный склон его отрога								
4860	4860	5400	5200	Кур.	0,3	0,3	0,0125	
4840	4840	5250	5060	Кур.	0,2	0,2	0,0044	
4800	4800	5840	5280	Кур.	0,4	0,4	0,0231	
5250	5250	5640	5450	Кур.	0,1	0,1	0,0044	
4920	4920	5530	5280	Кур.	0,6	0,6	0,0400	
4900	4900	5080	4990	Кур.	—	—	0,0009	
4800	4800	5000	4910	Кур.	—	—	0,0009	
4820	4820	5100	4980	Кур.	—	—	0,0009	
4750	4750	5100	4940	Кур.	0,1	0,1	0,0024	
4700	4700	5150	4960	Кур.	0,2	0,2	0,0068	
4960	4960	5140	5050	Кур.	0,1	0,1	0,0024	
5140	5140	5340	5250	Кур.	—	—	0,0009	
4820	4820	5300	5090	Кур.	0,4	0,4	0,0193	
4670	4670	5220	5000	Кур.	0,3	0,3	0,0193	
4750	4750	5100	4940	Кур.	0,1	0,1	0,0024	
4800	4800	5000	4900	Кур.	—	—	0,0009	
4920	4920	5500	5190	Кур.	0,7	0,7	0,0355	
4900	4900	5300	5120	Кур.	—	—	0,0009	
4900	4900	5220	5070	Кур.	0,2	0,2	0,0068	
5000	5000	5400	5200	Кур.	0,1	0,1	0,0024	
5100	5100	5400	5250	Кур.	0,1	0,1	0,0024	
4960	4960	5280	5120	Кур.	—	—	0,0009	
4700	4700	5200	4960	Кур.	0,1	0,1	0,0024	
4640	4640	5100	4850	Кур.	0,1	0,1	0,0024	
4900	4900	5200	5060	Кур.	—	—	0,0009	
4600	4600	5250	5000	Кур.	0,7	0,7	0,0400	
4550	4550	5680	5090	Кур.	2,2	2,1	0,3019	
4900	4900	5400	5200	Кур.	—	—	0,0009	
4830	4830	5360	5170	Кур.	0,2	0,2	0,0095	
4600	4600	5600	5100	Кур.	0,6	0,6	0,0400	
4660	4660	5240	4940	Кур.	0,3	0,3	0,0125	
4600	4600	5460	5110	Кур.	0,5	0,5	0,0270	
4540	4540	5350	4960	Кур.	0,4	0,4	0,0231	
4900	4900	5280	5140	Кур.	—	—	0,0009	
5100	5100	5500	5320	Кур.	—	—	0,0009	
4500	4500	5680	5070	Кур.	0,6	0,6	0,0311	
4950	4950	5260	5170	Кур.	0,1	0,1	0,0024	
4430	4430	5680	4960	Кур.	2,5	2,4	0,2751	
4560	4560	5200	4870	Кур.	0,3	0,3	0,0158	
4670	4670	4820	4750	Кур.	0,1	0,1	0,0024	
4880	4880	5520	5190	Кур.	0,1	0,1	0,0024	
5000	5000	5300	5190	Кур.	—	—	0,0009	
4620	4620	5200	4930	Кур.	0,1	0,1	0,0044	
4570	4570	5700	5050	Кур.	1,7	1,7	0,1474	
4800	4800	5340	5110	Кур.	0,1	0,1	0,0024	
4600	4600	5000	4820	Кур.	0,1	0,1	0,0044	
4540	4540	5100	4850	Кур.	0,4	0,4	0,0158	
4630	4630	5260	5000	Кур.	0,4	0,4	0,0193	
4320	4320	5400	4910	Кур.	0,5	0,5	0,0355	
4580	4580	5700	5070	Кур.	1,0	1,0	0,0764	
4920	4920	5230	5080	Кур.	0,2	0,2	0,0044	

№ по схеме	Название	Название реки, вытекающей из ледника	Морфологический тип	Общая экспозиция	Наибольшая длина, км		Площадь, км ²	
					всего ледника	в том числе открытой части	всего ледника	в том числе открытой части
1	2	3	4	5	6	7	8	9
528	№ 528		кул.	B	0,7	0,7	0,2	0,2
529	№ 529		кул.	B	0,7	0,7	0,2	0,2
530	№ 530		кул.	B	0,5	0,5	0,1	0,1
531	№ 531	пр. р. Зулумарт	вис	C	0,8	0,8	0,2	0,2
532	№ 532	пр. р. Зулумарт	дол.	C	2,4	2,4	1,4	1,4
533	№ 533	пр. р. Зулумарт	кул.	C	1,0	1,0	0,2	0,2
534	№ 534	пр. р. Зулумарт	кул.	C	1,1	1,1	0,4	0,4
58 ледников							38,9	38,7

Кроме того, в бассейне р. Зулумарт имеется 14 ледников размерами менее 0,1 км² каждый, общей площадью 0,8 км²
39,7

Бассейн верховьев р. Балындкик (реки Сельдара, Юго-западный склон отрога хр. Зулумарт,

535	№ 535	пр. р. Балындкик	вис.	3	1,0	1,0	0,2	0,2
536	№ 536	пр. р. Балындкик	кар.-дол.	3	1,5	1,5	0,6	0,6
537	№ 537	пр. р. Балындкик	склон.	C3	1,5	1,5	1,0	1,0
538	№ 538	Балындкик	сл. дол.	C	3,1	3,1	3,8	3,8
539	№ 539		вис.	Ю3	0,7	0,7	0,4	0,4
540	№ 540		кар.	B	1,0	1,0	0,3	0,3
541	№ 541	пр. р. Балындкик	кар.-дол.	CB	1,7	1,7	0,7	0,7
542	№ 542	пр. р. Балындкик	склон,	CB	0,5	0,5	0,4	0,4
543	№ 543	пр. р. Балындкик	дол.	C3	2,3	2,3	1,6	1,6
544	№ 544	пр. р. Балындкик	сл. дол.	C	2,5	2,5	1,5	1,5
545	№ 545		кар.	CB	0,5	0,5	0,2	0,2
546	№ 546		кар.-вис.	B	0,8	0,8	0,3	0,3
547	№ 547	пр. р. Балындкик	кар.-дол.	CB, (B)	0,9	0,9	0,3	0,3
548	№ 548	пр. р. Балындкик	кул.	CB	0,7	0,7	0,1	0,1
549	№ 549	пр. р. Балындкик	склон.	CB	1,5	1,5	0,9	0,9
550	№ 550	пр. р. Балындкик	кар.-дол.	C3	1,2	1,2	0,4	0,4
551	№ 551	пр. р. Балындкик	дол.	(3), C	3,2	3,2	1,9	1,9
552	№ 552	пр. р. Балындкик	кар.	C	0,5	0,5	0,1	0,1
553	№ 553	пр. р. Балындкик	кар.-вис.	CB	1,0	1,0	0,3	0,3
554	№ 554	пр. р. Балындкик	вис.	CB	0,5	0,5	0,1	0,1
555	№ 555	пр. р. Янгидаван	кул.	C3	0,8	0,8	0,2	0,2
556	№ 556	пр. р. Янгидаван	кар.	C3	0,7	0,7	0,2	0,2
557	№ 557	пр. р. Янгидаван	кар.-дол.	3	1,1	1,1	0,5	0,5
558*	№ 558	Янгидаван	дол.	(ЮВ, B), CB	4,0	3,8	2,2	2,1
559	№ 559		кар.	3	0,5	0,5	0,3	0,3
560	№ 560	Янгидаван	дол.	(CB), B	3,6	3,6	2,4	2,4
561	№ 561	пр. р. Янгидаван	вис. дол.	B	1,4	1,4	0,4	0,4
562	№ 562	пр. р. Янгидаван	сл. дол.	CB, (B)	4,5	4,5	4,5	4,5
563	№ 563	пр. р. Балындкик	дол.	(B), CB	4,8	4,8	3,1	3,1
564	№ 564	пр. р. Балындкик	склон.	ЮВ	1,6	1,6	1,0	1,0
565	№ 565	пр. р. Балындкик	кар.-дол.	CB	2,1	2,1	1,0	1,0
566	№ 566	пр. р. Чакыджилга	склон.	C3	0,9	0,9	0,5	0,5
567*	Чакыджилга	Чакыджилга	дол.	CB	7,0	7,0	7,4	6,7
568	№ 568		кул.	B	0,7	0,7	0,1	0,1
569	№ 569		кул.	CB	0,7	0,7	0,1	0,1
570	№ 570		кул.	B	1,1	1,1	0,4	0,4
571	№ 571		кул.	ЮВ	0,8	0,8	0,2	0,2
572	№ 572	пр. р. Чакыджилга	вис. дол.	B	1,4	1,4	1,4	1,4
573	№ 573	пр. р. Чакыджилга	вис. дол.	B	1,8	1,8	0,6	0,6
574	№ 574	пр. р. Балындкик	кар.-дол.	CB	1,7	1,7	0,6	0,6
575	№ 575	пр. р. Балындкик	вис. дол.	CB	3,0	3,0	1,4	1,4
576	№ 576	пр. р. Балындкик	кар.-дол.	CB	1,3	1,3	0,4	0,4
577*	Ничкеджилга	Ничкеджилга	сл. дол.	C, (CB)	9,0	9,0	14,3	13,7
578	№ 578		дол.	C, (C3)	3,9	3,9	1,5	1,5
579	№ 579		сл. дол.	(C), CB	3,4	3,4	2,8	2,8
580	№ 580		кар.	B	1,0	1,0	0,4	0,4
581	№ 581		кул.	ЮВ	0,7	0,7	0,2	0,2
582	№ 582	пр. р. Ничкеджилга	дол.	CB	3,8	3,8	2,7	2,7
583	№ 583	пр. р. Ничкеджилга	склон.	CB	1,0	1,0	0,2	0,2
584	№ 584	пр. р. Балындкик	вис.	CB	0,7	0,7	0,2	0,2
50 ледников							66,3	64,9

Кроме того, в бассейне верховьев р. Балындкик имеется 21 ледник размерами менее 0,1 км² каждый, общей площадью 1,4 км²
Итого 71 ледник

67,7

Высота, м			Фирновая линия		Площадь области аблации, км ²		Ссылки на последующие таблицы (илюстрации) № таблиц и иллюстраций	
низшей точки конца ледника	низшей точки открытой части ледника	высшей точки ледника	высота, м	способ определения и дата	общая	в том числе открытой части		
10	11	12	13	14	15	16	17	18
5040	5040	5500	5210	Кур.	0,1	0,1	0,0024	
4950	4950	5400	5140	Кур.	0,1	0,1	0,0024	
5000	5000	5200	5100	Кур.	—	—	0,0009	
4700	4700	5100	4950	Кур.	0,1	0,1	0,0024	
4600	4600	5500	5010	Кур.	0,7	0,7	0,0447	
4600	4600	5100	4880	Кур.	0,1	0,1	0,0024	
4680	4680	5200	4970	Кур.	0,2	0,2	0,0068	
					19,5	19,3	1,3549	
								18

Муксу, Сурхоб, Вахш, Амударья, Аральское море)

северный склон хр. Северный Танымас

4800	4800	5300	5060	Кур.	0,1	0,1	0,0024	
4950	4950	5600	5310	Кур.	0,3	0,3	0,0125	
4800	4800	5310	5100	Кур.	0,5	0,5	0,0270	
4700	4700	5320	4960	Кур.	2,1	2,1	0,2000	
5100	5100	5380	5240	Кур.	0,2	0,2	0,0068	
5080	5080	5440	5260	Кур.	0,1	0,1	0,0044	
4620	4620	5430	5060	Кур.	0,3	0,3	0,0158	
4900	4900	5220	5070	Кур.	0,2	0,2	0,0068	
4760	4760	5350	5040	Кур.	0,8	0,8	0,0546	
4720	4720	5320	4980	Кур.	0,8	0,8	0,0496	
4860	4860	5040	4950	Кур.	0,1	0,1	0,0024	
4920	4920	5450	5200	Кур.	0,1	0,1	0,0044	
4720	4720	4940	4830	Кур.	0,1	0,1	0,0044	
4900	4900	5300	5140	Кур.	—	—	0,0009	
4440	4440	5300	4880	Кур.	0,4	0,4	0,0231	
5000	5000	5300	5180	Кур.	0,2	0,2	0,0068	
4730	4730	5400	4960	Кур.	1,0	1,0	0,0707	
4640	4640	5000	4870	Кур.	—	—	0,0009	
4620	4620	5200	4900	Кур.	0,2	0,2	0,0044	
5100	5100	5400	5270	Кур.	—	—	0,0009	
5000	5000	5400	5160	Кур.	0,1	0,1	0,0024	
4940	4940	5300	5120	Кур.	0,1	0,1	0,0024	
4800	4800	5500	5220	Кур.	0,2	0,2	0,0095	
4580	4590	5540	5020	Кур.	1,2	1,1	0,0881	IV/10; V/19, 40
4970	4970	5200	5070	Кур.	0,2	0,2	0,0044	
4600	4600	5540	5050	Кур.	1,2	1,2	0,1004	
4900	4900	5300	5060	Кур.	0,2	0,2	0,0068	
4640	4640	5340	4970	Кур.	2,0	2,0	0,2577	
4610	4610	5500	5000	Кур.	1,5	1,5	0,1474	
5000	5000	5650	5430	Кур.	0,5	0,5	0,0270	
4520	4520	5460	4980	Кур.	0,5	0,5	0,0270	
4900	4900	5560	5230	Кур.	0,2	0,2	0,0095	
4480	4480	5520	4980	Кур.	3,2	2,5	0,5435	IV/10; V/19, 40
5200	5200	5600	5410	Кур.	—	—	0,0009	
5000	5000	5400	5250	Кур.	—	—	0,0009	
4810	4810	5500	5110	Кур.	0,2	0,2	0,0068	
4960	4960	5280	5090	Кур.	0,1	0,1	0,0024	
4700	4700	5750	5210	Кур.	0,7	0,7	0,0447	
4860	4860	5750	5360	Кур.	0,3	0,3	0,0125	
4420	4420	5250	4880	Кур.	0,3	0,3	0,0125	
4420	4420	5560	4980	Кур.	0,7	0,7	0,0447	
4600	4600	5220	4910	Кур.	0,2	0,2	0,0068	
4440	4440	5520	5070	Кур.	5,4	4,8	1,4601	IV/10; V/19, 40
4560	4560	5700	5060	Кур.	0,8	0,8	0,0496	
4620	4620	5400	5000	Кур.	1,5	1,5	0,1265	
5060	5060	5480	5260	Кур.	0,2	0,2	0,0068	
4820	4820	5300	5060	Кур.	0,1	0,1	0,0024	
4530	4530	5580	4980	Кур.	1,4	1,4	0,1198	
4920	4920	5300	5160	Кур.	0,1	0,1	0,0024	
4650	4650	5030	4900	Кур.	0,1	0,1	0,0024	
					30,7	29,3	3,6271	

№ по схеме	Название	Название реки, вытекающей из ледника	Морфологический тип	Общая экспозиция	Наибольшая длина, км		Площадь, км ²	
					всего ледника	в том числе открытой части	всего ледника	в том числе открытой части
1	2	3	4				8	9
585	№ 585	пр. р. Ичкелесай	кар.-вис.	C3	0,9	0,9	0,3	0,3
586	№ 586	пр. р. Ичкелесай	дол.	C	3,3	3,3	1,1	1,1
587	№ 587		кул.	C3	0,9	0,9	0,3	0,3
588*	Ичкеле- сай	Ичкелесай	сл. дол.	C	7,2	6,8	11,3	10,3
589	№ 589		вис.	C3	0,8	0,8	0,2	0,2
590	№ 590	пр. р. Джайлляукумсай	вис.	C3	0,4	0,4	0,1	0,1
591	№ 591	пр. р. Джайлляукумсай	кар.-дол.	C	2,0	2,0	1,0	1,0
592*	Джайлля- укумсай	Джайлляукумсай	сл. дол.	CB	7,6	7,6	17,2	17,2
593	№ 593	Джайлляукумсай	сл. дол.	C3	5,8	4,0	7,0	6,8
594	№ 594		кар.	B	0,8	0,8	0,2	0,2
595	№ 595	пр. р. Джайлляукумсай	кар.-вис.	B	1,5	1,5	0,4	0,4
596*	Сев. Джайлляукумсай	пр. р. Джайлляукумсай	сл. дол.	B	1,8	1,8	10,6	10,6
597	№ 597	пр. р. Джайлляукумсай	кар.-дол.	B	0,8	0,8	0,9	0,9
598	№ 598	пр. р. Джайлляукумсай	вис.	B	0,7	0,7	0,2	0,2
599*	№ 599	пр. р. Дусакасай	дол.	(B), CB	6,4	6,4	5,0	5,0
600*	№ 600	пр. р. Дусакасай	дол.	(B), CB	5,4	5,4	3,6	3,6
601*	Дусакасай	Дусакасай	дол.	(CB), B	5,8	5,8	6,2	6,2
602	№ 602	пр. р. Джайлляукумсай	вис. кар.	CB	0,8	0,8	0,2	0,2
603	№ 603	пр. р. Джайлляукумсай	вис. кар.	CB, (B)	1,1	1,1	0,4	0,4
604	№ 604	пр. р. Джайлляукумсай	вис. кар.	CB, (B)	1,1	1,1	0,4	0,4
605	№ 605	пр. р. Джайлляукумсай	кар.-дол.	(C, CB), B	2,8	2,8	1,4	1,4
606	№ 606	пр. р. Джайлляукумсай	кар.-дол.	B	1,8	1,8	0,7	0,7
22 ледника							68,7	67,5

Кроме того в бассейне р. Джайлляукумсай имеется 11 ледников размерами меньше 0,1 км² каждый, общей площадью 0,6 км².

Итого 33 ледника

69,3

Бассейны левых притоков р. Балындкик между устьями рек Джайлляукумсай и Кызкурган (реки Биляндкик, Северо-восточный склон хр. Северный Танымас, восточный склон

607*	Нанкальды	Нанкальды	дол.	CB	5,2	5,2	4,4	4,4
608	№ 608	пр. р. Балындкик	кар.-дол.	C	1,4	1,4	0,6	0,6
609	№ 609	пр. р. Балындкик	вис.	CB	0,7	0,7	0,2	0,2
610	№ 610	пр. р. Балындкик	вис. дол.	CB	2,8	2,0	0,7	0,6
611	№ 611		вис.	CB	0,8	0,8	0,3	0,3
612	№ 612	пр. р. Балындкик	вис. дол.	C	2,2	2,2	0,9	0,9
613	№ 613	пр. р. Балындкик	вис. дол.	CB	1,5	1,5	0,4	0,4
614	№ 614	Тешмыджилга	вис. дол.	C	1,9	1,9	1,0	1,0
615	№ 615	пр. р. Карайкашан	кар.-дол.	C3	1,8	1,8	0,8	0,8
616	№ 616	пр. р. Карайкашан	кул.	3	1,1	1,1	0,4	0,4
617	№ 617	пр. р. Карайкашан	дол.	C3	2,2	2,2	1,1	1,1
618	№ 618		кар.-вис.	C3	1,4	1,4	0,6	0,6
619*	Южн. Карайкашан	Карайкашан	сл. дол.	CB, (C)	8,4	8,4	11,4	11,1
620	№ 620		кар.-дол.	C3	1,7	1,7	0,7	0,7
621	№ 621		кар.-вис.	C3	1,0	1,0	0,3	0,3
622	№ 622	пр. р. Карайкашан	вис. дол.	CB	2,0	2,0	0,5	0,5
623*	№ 623	пр. р. Карайкашан	сл. дол.	CB	5,3	5,3	4,5	4,5
624	№ 624	пр. р. Карайкашан	вис.	CB	0,8	0,8	0,2	0,2
625	№ 625	пр. р. Карайкашан	вис.	CB	0,5	0,5	0,1	0,1
626	№ 626	пр. р. Карайкашан	сл. дол.	(B), CB	5,6	5,3	8,0	7,9
627	№ 627		кул.	Ю	0,8	0,8	0,2	0,2
628	№ 628		вис.	ЮВ	0,4	0,4	0,1	0,1
629	№ 629		вис. дол.	B, (ЮВ)	2,2	2,2	0,8	0,8
630	№ 630	пр. р. Карайкашан	кул.	ЮВ	1,3	1,3	0,2	0,2
631	№ 631	Джалдиаксай	дол.	C	2,4	2,4	1,0	1,0
632	№ 632	пр. р. Чечкеарал	кул.	C3	0,9	0,9	0,2	0,2
633	№ 633	пр. р. Чечкеарал	кул.	C3	1,1	1,1	0,3	0,3
634*	№ 634	Чечкеарал	дол.	CB	4,8	4,8	3,6	3,6
635	№ 635		вис. кар.	C3, (C)	1,3	1,3	0,4	0,4
636	№ 636		дол.	B	2,5	2,5	2,1	2,1
637	№ 637	пр. р. Чечкеарал	кул.	CB	1,0	1,0	0,2	0,2
638	№ 638	Текеарал	кар.-дол.	C	2,3	2,3	1,2	1,2

Высота, м			Фирновая линия		Площадь области аблации, км ²		Объем льда, км ³	Ссылки на последующие таблицы (иллюстрации) № таблиц и иллюстраций порядковые № сведений в таблицах
нижней точки ледника	нижней точки открытой части ледника	высшей точки ледника	высота, м	способ определения и дата	общая	в том числе открытой части		
10	11	12	13	14	15	16	17	18

Муксу, Сурхоб, Вахш, Амударья, Аральское море)

хр. Балындклик

4560	4560	5060	4870	Кур.	0,1	0,1	0,0044	
4420	4410	5340	4960	Кур.	0,5	0,5	0,0311	
4620	4620	5140	4930	Кур.	0,1	0,1	0,0044	
4680	4690	5520	5030	Кур.	6,0	5,0	1,0256	
5050	5050	5500	5300	Кур.	0,1	0,1	0,0024	
4600	4600	5000	4830	Кур.	—	—	0,0009	
4500	4500	5300	4920	Кур.	0,5	0,5	0,0270	
4300	4300	5560	4890	Кур.	9,1	9,1	1,9260	IV/10; V/19, 40
4460	4480	5600	4860	Кур.	3,7	3,5	0,5000	
4780	4780	5160	5010	Кур.	0,1	0,1	0,0024	
4640	4640	5200	4950	Кур.	0,2	0,2	0,0068	
4440	4440	5600	4970	Кур.	5,2	5,2	0,9318	
4600	4600	5340	4960	Кур.	0,5	0,5	0,0231	
4700	4700	5300	5040	Кур.	0,1	0,1	0,0024	
4510	4510	5500	5000	Кур.	2,3	2,3	0,3019	IV/10; V/19, 40
4600	4600	5770	5070	Кур.	1,9	1,9	0,1844	IV/10; V/40
4600	4600	5770	5040	Кур.	3,2	3,2	0,4168	IV/10; V/19, 40
4660	4660	5100	4900	Кур.	0,1	0,1	0,0024	
4670	4670	5120	4930	Кур.	0,2	0,2	0,0068	
4800	4800	5160	5010	Кур.	0,2	0,2	0,0068	
4820	4820	5240	5060	Кур.	0,6	0,6	0,0447	
4840	4840	5400	5110	Кур.	0,4	0,4	0,0158	
					35,1	33,9	5,4659	

Сельдара, Муксу, Сурхоб, Вахш, Амударья, Аральское море)

склон хр. Балындклик

4400	4400	5550	4920	Кур.	2,2	2,2	0,2492	
4600	4600	5060	4840	Кур.	0,3	0,3	0,0125	
4900	4900	5200	5060	Кур.	0,1	0,1	0,0024	
4500	4640	5100	4830	Кур.	0,4	0,3	0,0158	
5000	5000	5650	5280	Кур.	0,2	0,2	0,0044	
4470	4470	5200	4810	Кур.	0,5	0,5	0,0231	
4620	4620	5280	5020	Кур.	0,2	0,2	0,0068	
4300	4300	5300	4830	Кур.	0,4	0,4	0,0270	
4850	4850	5600	5160	Кур.	0,4	0,4	0,0193	
4930	4930	5750	5410	Кур.	0,2	0,2	0,0068	
4520	4520	5500	5080	Кур.	0,5	0,5	0,0311	
4720	4720	5680	5180	Кур.	0,3	0,3	0,0125	
4460	4460	5700	4970	Кур.	5,5	5,2	1,0393	
4700	4700	5360	5040	Кур.	0,4	0,4	0,0158	
4840	4840	5300	5140	Кур.	0,1	0,1	0,0044	
4740	4740	5100	4950	Кур.	0,2	0,2	0,0095	
4560	4560	5550	5010	Кур.	2,3	2,3	0,2577	
4620	4620	5100	4870	Кур.	0,1	0,1	0,0024	
4740	4740	5100	4930	Кур.	—	—	0,0009	
4540	4600	5720	5130	Кур.	4,1	4,0	0,6109	
5100	5100	5580	5320	Кур.	0,1	0,1	0,0024	
5020	5020	5200	5120	Кур.	—	—	0,0009	
4800	4800	5700	5190	Кур.	0,4	0,4	0,0193	
4600	4600	5500	5040	Кур.	0,1	0,1	0,0024	
4640	4640	5570	4980	Кур.	0,5	0,5	0,0270	
4900	4900	5570	5230	Кур.	0,1	0,1	0,0024	
4700	4700	5470	5080	Кур.	0,2	0,2	0,0044	
4400	4400	5720	5070	Кур.	1,9	1,9	0,1844	IV/10; V/19, 40
4780	4780	5480	5200	Кур.	0,2	0,2	0,0068	
4830	4830	5520	5180	Кур.	1,0	1,0	0,0822	
4200	4200	4770	4520	Кур.	0,1	0,1	0,0024	
4340	4340	5540	4820	Кур.	0,6	0,6	0,0355	

№ по схеме	Название	Название реки, вытекающей из ледника	Морфологический тип	Общая экспозиция	Наибольшая длина, км		Площадь, км ²	
					всего ледника	в том числе открытой части	всего ледника	в том числе открытой части
1	2	3	4	5	6	7	8	9
639	№ 639	Сандал	кар.-дол. вис.	C CB	3,8 0,8	3,8 0,8	2,8 0,4	2,8 0,4
640	№ 640	пр. р. Сандал					50,6	50,1
34	ледника							

Кроме того, в бассейнах левых притоков р. Баляндклик между устьями рек Джайллякумсай и Кызкурган имеется
Итого 45 ледников

Бассейн р. Кызкурган (реки Баляндклик, Сельдара, Муксу, Западный склон хр. Баляндклик, северный склон хр. Северный

641	№ 641	пр. р. Кызкурган	вис.	C3	0,8	0,8	0,2	0,2
642	№ 642	пр. р. Кызкурган	вис.	3	1,0	1,0	0,5	0,5
643	№ 643	пр. р. Кызкурган	вис.	3	0,4	0,4	0,1	0,1
644	№ 644	пр. р. Кызкурган	дол.	(ЮЗ, 3), C3	4,3	4,3	2,7	2,7
645	№ 645		вис. дол.	ЮЗ	1,4	1,4	0,5	0,5
646	№ 646	пр. р. Кызкурган	вис.	3	0,6	0,6	0,2	0,2
647	№ 647	пр. р. Кызкурган	дол.	C3	6,0	6,0	4,6	4,6
648	№ 648	пр. р. Кызкурган	дол.	(ЮЗ, 3), C3	5,3	5,3	4,2	4,2
649*	Сев. Кыз- курган	Кызкурган	сл. дол.	CB, (C)	10,5	10,5	22,9	22,9
650	№ 650		дол.	C3, (3)	4,6	4,6	3,2	3,2
651	№ 651		сл. дол.	C, (C3)	10,7	10,7	21,7	21,7
652	№ 652		вис. дол.	C3	1,7	1,7	0,5	0,5
653	№ 653		кар.	ЮВ	1,0	1,0	0,4	0,4
654	№ 654		кул.	C	0,9	0,9	0,2	0,2
655	№ 655		вис.	ЮЗ	0,5	0,5	0,1	0,1
656	№ 656		вис.	ЮВ	0,4	0,4	0,1	0,1
657	№ 657	пр. р. Кызкурган	дол.	B, (CB)	8,0	8,0	12,0	12,0
658	№ 658		вис.	CB	0,5	0,5	0,1	0,1
659	№ 659	пр. р. Кызкурган	дол.	CB	5,3	5,3	5,2	5,2
660*	№ 660	пр. р. Кызкурган	кул.	C	1,0	1,0	0,3	0,3
661*	№ 661	пр. р. Кызкурган	дол.	CB	6,2	6,2	7,1	7,1
662	№ 662	пр. р. Кызкурган	дол.	CB	3,2	3,2	1,6	1,6
663	№ 663	пр. р. Кызкурган	сл. дол.	CB	3,8	3,8	2,3	2,3
664	№ 664	пр. р. Кызкурган	кар.-дол.	B, (CB)	2,0	2,0	0,6	0,6
665	№ 665	пр. р. Кызкурган	вис.	C3	0,5	0,5	0,1	0,1
666	№ 666	пр. р. Кызкурган	сл. дол.	CB	5,0	5,0	4,5	4,5
667	№ 667		кул.	C3	0,6	0,6	0,1	0,1
668	№ 668		кул.	C3	0,5	0,5	0,1	0,1
669	№ 669		кар.-вис.	B	1,2	1,2	0,4	0,4
670	№ 670	пр. р. Кызкурган	дол.	(C), CB	4,5	4,5	2,2	2,2
671	№ 671	пр. р. Кызкурган	кул.	CB	1,5	1,5	0,3	0,3
672	№ 672	пр. р. Кызкурган	кул.	CB	0,7	0,7	0,2	0,2
673	№ 673	пр. р. Кызкурган	вис. дол.	C	1,5	1,5	0,4	0,4
674	№ 674	пр. р. Кызкурган	кар.-дол.	C	2,0	2,0	3,3	3,3
675	№ 675		кар.-дол.	CB	0,7	0,7	1,0	1,0
676	№ 676	пр. р. Кызкурган	вис.	CB	3,6	3,6	0,2	0,2
36	ледников						104,1	104,1

Кроме того, в бассейне р. Кызкурган имеется 2 ледника размерами менее 0,1 км² каждый, общей площадью 0,1 км².
Итого 38 ледников

104,2

Бассейны левых безымянных притоков р. Сельдара между устьями рек Малого Танымаса и Сауксай (реки Сельдара, Северный склон

677	№ 677	пр. р. Муксу	вис.	CB	0,5	0,5	0,1	0,1
678	№ 678	пр. р. Муксу	вис.	CB	0,7	0,7	0,2	0,2
679	№ 679	пр. р. Муксу	вис.	B	0,7	0,7	0,1	0,1
680*	№ 680	пр. р. Муксу	вис.	CB	1,0	1,0	0,4	0,4
681	№ 681	пр. р. Муксу	вис.	CB	0,7	0,7	0,2	0,2
682	№ 682	пр. р. Муксу	вис.	CB	0,5	0,5	0,1	0,1
6	ледников						1,1	1,1

Кроме того, в бассейнах левых безымянных притоков р. Сельдара между устьями рек Малого Танымаса и Сауксай
Итого 7 ледников.

1,2

Высота, м			Фирновая линия		Площадь области аблации, км ²		Объем льда, км ³	Ссылки на последующие таблицы (илюстрации) № таблиц и иллюстраций
нижней точки конца ледника	нижней точки открытой части ледника	высшей точки ледника	высота, м	способ определения и дата	общая	в том числе открытой части		
10	11	12	13	14	15	16	17	18
3980	3980	5430	4830	Кур.	1,3	1,3	0,1265	
4300	4300	4900	4640	Кур.	0,2	0,2	0,0068	
					25,1	24,6	2,8552	

11 ледников размерами менее 0,1 км² каждый, общей площадью 0,5 км².

Сурхоб, Вахш, Амударья, Аральское море)

Танымас, восточный склон хр. Кызкурган.

5000	5000	5300	5180	Кур.	0,1	0,1	0,0024	
4920	4920	5500	5180	Кур.	0,3	0,3	0,0095	
4950	4950	5180	5050	Кур.	—	—	0,0009	
4360	4360	5700	5000	Кур.	1,5	1,5	0,1198	
4750	4750	5420	5070	Кур.	0,2	0,2	0,0095	
4840	4840	5240	5060	Кур.	0,1	0,1	0,0024	
4400	4400	5600	5070	Кур.	2,2	2,2	0,2664	
4270	4270	5440	4930	Кур.	2,1	2,1	0,2324	
4300	4300	5700	4920	Кур.	12,2	12,2	2,9588	V/19
4540	4540	5440	5070	Кур.	1,4	1,4	0,1546	
4450	4450	5500	4950	Кур.	10,4	10,4	2,7293	V/19
4740	4740	5480	5170	Кур.	0,2	0,2	0,0095	
4900	4900	5300	5110	Кур.	0,2	0,2	0,0068	
4500	4500	4900	4720	Кур.	0,1	0,1	0,0024	
5100	5100	5400	5230	Кур.	—	—	0,0009	
4900	4900	5150	5050	Кур.	—	—	0,0009	
4220	4220	5730	4890	Кур.	6,3	6,3	1,1224	
4900	4900	5250	5090	Кур.	—	—	0,0009	
4480	4480	5450	4940	Кур.	2,6	2,6	0,3202	
4400	4400	5100	4770	Кур.	0,1	0,1	0,0044	
4340	4340	5710	5000	Кур.	3,7	3,7	0,5108	
4780	4780	5520	5030	Кур.	0,9	0,9	0,0546	
4460	4460	5450	4900	Кур.	1,3	1,3	0,0942	
4440	4440	5400	4890	Кур.	0,3	0,3	0,0125	
4750	4750	5000	4880	Кур.	—	—	0,0009	
4360	4360	5570	4850	Кур.	2,2	2,2	0,2577	
4620	4620	5100	4910	Кур.	—	—	0,0009	
5200	5200	5600	5430	Кур.	—	—	0,0009	
4950	4950	5520	5250	Кур.	0,2	0,2	0,0068	
4360	4360	5800	5020	Кур.	1,2	1,2	0,0881	
4300	4300	5000	4670	Кур.	0,2	0,2	0,0044	
4500	4500	5000	4780	Кур.	0,1	0,1	0,0024	
4400	4400	5300	4950	Кур.	0,2	0,2	0,0068	
4240	4240	5480	4780	Кур.	1,9	1,9	0,1619	
4430	4430	5300	4830	Кур.	0,5	0,5	0,0270	
4620	4620	5000	4850	Кур.	0,1	0,1	0,0024	
					52,8	52,8	9,1867	

Муксу, Сурхоб, Вахш, Амударья, Аральское море)

хр. Академии Наук

4750	4750	5100	4960	Кур.	—	—	0,0009	
4750	4750	5350	5000	Кур.	0,1	0,1	0,0024	
5000	5000	5600	5280	Кур.	—	—	0,0009	
4700	4700	5500	5160	Кур.	0,2	0,2	0,0068	V/11, 20, 21, 24
4750	4750	5200	4940	Кур.	0,1	0,1	0,0024	V/20, 21
4900	4900	5200	5080	Кур.	—	—	0,0009	
					0,4	0,4	0,0143	

имеется 1 ледник площадью 0,06 км².

№ по схеме	Название	Название реки, вытекающей из ледника	Морфологический тип	Общая экспозиция	Наибольшая длина, км		Площадь, км ²	
					всего ледника	в том числе открытой части	всего ледника	в том числе открытой части
1	2	3	4	5	6	7	8	9
Бассейн левого безымянного притока р. Муксу выше устья Северный склон								
683*	Музджилга	пр. р. Муксу	дол.	C	3,8	2,2	2,1	1,6
684	№ 684		вис.	C3	0,6	0,6	0,1	0,1
685	№ 685		склон.	C	2,3	2,3	3,1	3,1
686	№ 686		вис.	CB	1,3	1,3	0,5	0,5
4 ледника								
Кроме того, в бассейне левого безымянного притока р. Муксу выше устья р. Джилкы-Чигаргу имеется 1 ледник пло-								
Итого 5 ледников								
Бассейн р. Джилкы-Чигаргу (реки Муксу, Сурхоб, Вахш, Северный склон)								
687	№ 687	Джилкы-Чигаргу	кул.	CB	1,2	1,2	0,2	0,2
Бассейны левых безымянных притоков р. Муксу между Северный склон								
688	№ 688	пр. р. Муксу	кул.	C3	0,6	0,6	0,1	0,1
689	№ 689	пр. р. Муксу	кар.-дол.	C3	1,5	1,5	0,7	0,7
2 ледника								
Бассейн р. Борбаш (реки Муксу, Сурхоб, Вахш, Северный склон)								
690*	Борбаш	Борбаш	сл. дол.	(CB), C	2,8	1,6	1,4	1,0
691	№ 691		склон.	CB	0,5	0,5	1,0	1,0
692	№ 692		кар.	CB	0,5	0,5	0,6	0,6
693	№ 693		кар.	ЮВ	0,8	0,8	0,2	0,2
4 ледника								
Бассейн р. Кичиалай (реки Муксу, Сурхоб, Вахш, Северный склон)								
694	№ 694	Кичиалай	кар.	CB	0,7	0,7	0,2	0,2
695	№ 695		вис.	CB	0,8	0,8	0,4	0,4
696	№ 696	пр. р. Кичиалай	кар.	CB	0,8	0,8	0,4	0,4
3 ледника								
Бассейн р. Аюджилга (реки Муксу, Сурхоб, Вахш, Западный склон хр. Академии Наук, северо-восточный)								
697	№ 697	пр. р. Аюджилга	кул.	ЮЗ	0,9	0,9	0,1	0,1
698	№ 698	пр. р. Аюджилга	кул.	C3	0,8	0,8	0,2	0,2
699	№ 699	пр. р. Аюджилга	кул.	C3	1,2	1,2	0,3	0,3
700	№ 700	пр. р. Аюджилга	кул.	C3	1,0	1,0	0,2	0,2
701	№ 701	пр. р. Аюджилга	кул.	C3	1,2	1,2	0,3	0,3
702*	Аюд- жилга	Аюд- жилга	дол.	C	5,5	5,5	6,9	6,9
703	№ 703		кар.-дол.	(C3), 3	3,0	3,0	2,5	2,5
704	№ 704		вис.	CB	0,6	0,6	0,1	0,1
705	№ 705	пр. р. Аюджилга	кар.	CB	1,8	1,8	1,6	1,6
706	№ 706		кул.	CB	1,1	1,1	0,2	0,2
707	№ 707		кул.	CB	0,9	0,9	0,2	0,2
708	№ 708	пр. р. Аюджилга	кар.-вис.	CB	0,8	0,8	0,3	0,3
709	№ 709	пр. р. Аюджилга	кар.-дол.	(Ю), В	1,2	1,2	0,7	0,7
13 ледников								
Кроме того, в бассейне р. Аюджилга имеется 4 ледника размерами мснее 0,1 км ² каждый, общей площадью 0,2 км ² .								
Итого 17 ледников.								
Бассейн р. Карасель (реки Муксу, Сурхоб, Вахш, Северо-восточный склон северо-западного отрога)								
710*	Мушке- това (Кара- сель)	Карасель	сл. дол.	(CB), C	14,0	7,6	17,1	13,4

Высота, м			Фирновая линия		Площадь области аблации, км ²		Объем льда, км ³		Ссылки на последующие таблицы (илюстрации)	
низшей точки ледника	низшей точки открытой части ледника	высшей точки ледника	высота, м	способ определения и дата	общая	в том числе открытой части			№ таблиц и иллюстраций	
10	11	12	13	14	15	16	17	18	порядковые № сведений в таблицах	

р. Джилкы-Чигаргу (реки Муксу, Сурхоб, Вахш, Амударья, Аральское море)

хр. Академии Наук

2880	3180	4450	3650	Кур.	0,9	0,4	0,0822	IV/1, 2, 7, 12, 17, 18, 28
								V/11—13, 16, 19—23, 24, 30, 37, 38
4800	4800	5300	5070	Кур.	—	—	0,0009	
4200	4200	6200	5340	Кур.	1,5	1,5	0,1474	

4550 4550 5500 5090 Кур. 0,2 0,2 0,2400

щадью 0,04 км².

Амударья, Аральское море)

хр. Академии Наук

4100	4100	4850	4590	Кур.	0,1	0,1	0,0024	
------	------	------	------	------	-----	-----	--------	--

устьями рек Джилкы-Чигаргу и Борбаш (реки Муксу, Сурхоб, Вахш, Амударья, Аральское море)

хр. Академии Наук

4400	4400	4800	4640	Кур.	—	—	0,0009	
3900	3900	5250	4700	Кур.	0,3	0,3	0,0158	IV/22

Амударья, Аральское море)

хр. Академии Наук

3730	3880	4900	4110	Кур.	0,8	0,4	0,0477	IV/12; V/6, 11, 13,
5100	5100	5800	5450	Кур.	0,5	0,5	0,0270	
4460	4460	4800	4630	Кур.	0,3	0,3	0,0125	
4480	4480	4700	4550	Кур.	0,1	0,1	0,0024	

Амударья, Аральское море)

хр. Академии Наук

4200	4200	4400	4310	Кур.	0,1	0,1	0,0024	
4480	4480	5180	4800	Кур.	0,2	0,2	0,0068	
4200	4200	4900	4520	Кур.	0,2	0,2	0,0068	

Амударья, Аральское море)

склон его северо-западного отрога

4800	4800	5450	5170	Кур.	—	—	0,0009	
4650	4650	5200	4980	Кур.	0,1	0,1	0,0024	
4700	4700	5300	5040	Кур.	0,1	0,1	0,0044	
4600	4600	5200	4930	Кур.	0,1	0,1	0,0024	
4580	4580	5500	5080	Кур.	0,1	0,1	0,0044	
4370	4370	6650	5100	Кур.	4,1	4,1	0,4894	IV/7, 12, 22; V/6, 11—13, 19—21, 33; рис. 40
4560	4560	6000	5140	Кур.	1,4	1,4	0,1067	рис. 40
6100	6100	6400	6260	Кур.	—	—	0,0009	
4420	4420	5000	4610	Кур.	1,0	1,0	0,0546	V/11, 33
4800	4800	5600	5300	Кур.	0,1	0,1	0,0024	
4900	4900	5800	5410	Кур.	0,1	0,1	0,0024	
4400	4400	5100	4700	Кур.	0,1	0,1	0,0044	
4550	4550	5500	5180	Кур.	0,3	0,3	0,0158	

рис. 40

Амударья, Аральское море)

хр. Академии Наук

2870	3680	7100	4660	Кур.	9,4	5,7	1,9092	IV/7, 12, 14, 17, 18, 22, 27, 28;
								V/6, 11—22, 29, 30, 33, 41, 48, 57; рис. 41—43

№ по схеме	Название	Название реки, вытекающей из ледника	Морфологический тип	Общая экспозиция	Наибольшая длина, км		Площадь, км ²	
					всего ледника	в том числе открытой части	всего ледника	в том числе открытой части
1	2	3	4	5	6	7	8	9
711*	№ 711		кул.	B	1,2	1,2	0,2	0,2
712*	№ 712		склон.	C	3,0	3,0	2,7	2,7
713*	№ 713		склон.	C	1,8	1,8	1,2	1,2
714	№ 714		вис.	CB	0,9	0,9	0,5	0,5
5 ледников							21,7	18,0
Бассейны левых безымянных притоков р. Муксу между Северо-восточный склон северо-западного								
715*	Гармо	пр. р. Муксу	дол.	(CB), C	5,3	4,3	3,8	3,3
716	№ 716		кул.	3	0,7	0,7	0,1	0,1
717	№ 717		вис.	C	0,9	0,9	1,2	1,2
718	№ 718		вис.	B	0,5	0,5	0,1	0,1
719	№ 719		кар.-вис.	B	1,2	1,2	0,3	0,3
720	№ 720		кар.	B	1,0	1,0	0,3	0,3
721*	Хышъет	пр. р. Муксу	дол.	(3), C3	3,7	3,7	1,8	1,8
722	№ 722		вис.	ЮЗ	0,5	0,5	0,2	0,2
723	№ 723		вис.	3	0,5	0,5	0,1	0,1
9 ледников							7,9	7,4

Кроме того, в бассейнах левых безымянных притоков р. Муксу между устьями рек Карасель и Фортамбек имеется 1
Итого 10 ледников

**Бассейн р. Фортамбек (реки Муксу, Сурхоб,
Юго-западный склон северо-западного отрога и западный**

724*	Фортам- бек	Фортамбек	сл. дол.	(B), C, (C3)	27,2	23,1	36,4	30,9
725	№ 725		дол.	(C3), 3	4,7	4,7	3,7	3,7
726	№ 726		кар.-дол.	(C3), 3	1,2	1,2	0,4	0,4
727	№ 727		вис.	Ю3	0,8	0,8	0,4	0,4
728*	Солда- това		вис. дол.	(3), Ю3	3,8	3,8	2,6	2,6
729	№ 729		кар.-дол.	(3), Ю3	1,7	1,7	0,8	0,8
730*	Вальтера		сл. дол.	(C3, 3), C3	12,3	12,3	20,1	19,6
731*	Москвина		сл. дол.	(C3), 3	9,2	9,0	16,4	16,2
732	№ 732		кул.	Ю	2,0	2,0	0,7	0,7
733	№ 733		вис. дол.	Ю	1,9	1,9	0,9	0,9
734	№ 734		кар.-вис.	CB	1,2	1,2	0,4	0,4
735	№ 735		вис.	CB	0,6	0,6	0,2	0,2
736	№ 736		кул.	C3	1,0	1,0	0,2	0,2
737*	Памир- ское фир- новое плато		вис. дол.	3	8,3	8,3	20,9	20,9
738	№ 738		вис. дол.	Ю	1,8	1,8	0,4	0,4
739	№ 739		вис.	Ю3	0,4	0,4	0,1	0,1
740	№ 740		вис.	C	0,8	0,8	0,6	0,6
741	№ 741		кар.	ЮВ	1,2	1,2	0,4	0,4
742	№ 742		вис.	C	0,5	0,5	0,4	0,4
743	№ 743		вис.	CB	1,3	1,3	0,5	0,5
744	№ 744		сл. дол.	CB	4,8	4,8	4,3	4,3

Продолжение таблицы I

Высота, м			Фирновая линия		Площадь области аблации, км ²		Объем льда, км ³	Ссылки на последующие таблицы (илюстрации) № таблиц и иллюстраций
низшей точки конца ледника	низшей точки открытой части ледника	высшей точки ледника	высота, м	способ определения и дата	общая	в том числе открытой части		
10	11	12	13	14	15	16	17	18
4600	4600	5320	4980	Кур.	0,1	0,1	0,0024	
4700	4700	7000	5790	Кур.	1,4	1,4	0,1198	
5300	5300	6900	6090	Кур.	0,6	0,6	0,0355	
5000	5000	5900	5390	Кур.	0,2	0,2	0,0095	
					11,7	8,0	2,0764	
Устьями рек Карасель и Фортамбек (реки Муксу, Сурхоб, Вахш, Амударья, Аральское море)								
отрога хр. Академии Наук.								
3400	3630	5250	4240	Кур.	2,1	1,6	0,2000	IV/7, 22; V/6, 11, 12, 19—21, 33
3950	3950	4400	4220	Кур.	—	—	0,0009	
4500	4500	5250	4920	Кур.	0,5	0,5	0,0355	
4700	4700	5000	4880	Кур.	—	—	0,0009	
4100	4100	5100	4680	Кур.	0,2	0,2	0,0044	
4150	4150	4700	4440	Кур.	0,1	0,1	0,0044	
3740	3740	5200	4420	Кур.	1,0	1,0	0,0652	IV/7, 22; V/6, 11, 12, 19—21, 33
4700	4700	5000	4880	Кур.	0,1	0,1	0,0024	
4700	4700	5000	4860	Кур.	—	—	0,0009	V/11
					4,0	3,5	0,3146	

ледник площадью 0,05 км².

Вахш, Амударья, Аральское море)

склон хр. Академии Наук, северный склон хр. Петра Первого

2850	3260	5350	4170	Кур.	17,2	11,7	5,9295	IV/22, 23; V/6, 11, 19—22, 25, 26, 29, 33, 48; рис. 13, 15, 46, 48 IV/22; V/6, 11, 33
3720	3720	6350	5050	Кур.	2,0	2,0	0,1922	
4900	4900	6100	5620	Кур.	0,2	0,2	0,0068	
5800	5800	6080	5940	Кур.	0,2	0,2	0,0068	
4100	4100	6400	5240	Кур.	1,3	1,3	0,1132	IV/22; V/6
4700	4700	6000	5540	Кур.	0,3	0,3	0,0193	IV/22, 23; V/6, 11, 25, 26, 33, 48; рис. 4, 44—46
3900	3900	6840	5080	Кур.	12,9	12,4	2,4331	IV/22, 23; V/6, 11, 25, 26, 33, 48; рис. 44, 47
4250	4300	6600	5360	Кур.	7,7	7,5	1,7932	V/48, 49; рис. 4, 13, 14
5400	5400	6800	6030	Кур.	0,4	0,4	0,0158	
5000	5000	6050	5520	Кур.	0,4	0,4	0,0231	
4220	4220	4700	4470	Кур.	0,2	0,2	0,0068	
4670	4670	5100	4820	Кур.	0,1	0,1	0,0024	
4600	4600	5100	4870	Кур.	0,1	0,1	0,0024	
4700	4700	7300	5870	Кур.	13,2	13,2	2,5798	
4600	4600	5500	5160	Кур.	0,2	0,2	0,0068	V/11, 33
4800	4800	5100	4970	Кур.	—	—	0,0009	
4500	4500	5100	4760	Кур.	0,3	0,3	0,0125	
4500	4500	4960	4760	Кур.	0,2	0,2	0,0068	
4600	4600	5000	4750	Кур.	0,2	0,2	0,0068	
4200	4200	5150	4690	Кур.	0,2	0,2	0,0095	
3600	3600	5800	4800	Кур.	2,2	2,2	0,2408	IV/22; V/6, 11, 33

№ по схеме	Название	Название реки, вытекающей из ледника	Морфологический типа	Общая экспозиция	Наибольшая длина, км		Площадь, км ²	
					всего ледника	в том числе открытой части	всего ледника	в том числе открытой части
1	2	3	4	5	6	7	8	9
745	№ 745		вис.	ЮВ	0,5	0,5	0,2	0,2
746	№ 746		кар.	В	0,8	0,8	0,3	0,3
747	№ 747		кар.	СВ	0,9	0,9	0,3	0,3
748	№ 748		кул.	С	0,7	0,7	0,1	0,1
749	№ 749		вис.	СЗ	0,3	0,3	0,1	0,1
750	№ 750		вис.	СЗ	1,3	1,3	1,0	1,0
751*	Шапак		сл. дол.	(В), СВ	8,0	5,5	13,7	12,9
752	№ 752		кул.	СЗ	0,9	0,9	0,2	0,2
753	№ 753		кар.	ЮВ	1,0	1,0	0,3	0,3
754	№ 754		кул.	ЮВ	0,6	0,6	0,1	0,1
755	№ 755		кар.	СВ	0,8	0,8	0,2	0,2
756	№ 756		кар.	СВ	1,1	1,1	0,4	0,4
757	№ 757		кар.	В	0,7	0,7	0,2	0,2
758	№ 758		вис. дол.	В	1,9	1,9	0,4	0,4
759	№ 759		кар.	СВ	0,7	0,7	0,2	0,2
760	№ 760		дол.	СВ	1,4	1,4	0,3	0,3
761	№ 761	пр. р. Фортамбек	вис.	СВ	0,7	0,7	0,1	0,1
38 ледников							128,9	121,9

Кроме того, в бассейне р. Фортамбек имеется 3 ледника размерами менее 0,1 км² каждый, общей площадью 0,1 км²
Итого 41 ледник 129,0

Бассейны левых безымянных притоков р. Муксу между устьями рек Северный склон хр.

762	№ 762	пр. р. Муксу	кар.	С	1,2	1,2	0,9	0,9
763*	Хадырша	пр. р. Муксу	дол.	С	6,3	6,3	5,6	5,6
764	№ 764		кар.	СВ	0,8	0,8	0,3	0,3
765*	Тамаша		сл. дол.	СВ	2,3	2,3	1,2	1,2
766	№ 766		кар.	СВ	0,5	0,5	0,1	0,1
767	№ 767	пр. р. Муксу	кар.	СВ	0,7	0,7	0,3	0,3
768	№ 768	пр. р. Муксу	кар.	СВ	1,5	1,5	0,6	0,6
769	№ 769	пр. р. Муксу	кар.	СВ	1,0	1,0	0,4	0,4
8 ледников							9,4	9,4

Кроме того, в бассейнах левых безымянных притоков р. Муксу между устьями рек Фортамбек и Сугран имеется 1 ледник 9,5
Итого 9 ледников

Бассейн р. Сугран (реки Муксу, Юго-западный склон хр. Курай-Шапак, северный

770	№ 770	пр. р. Сугран	кар.	ЮЗ	1,0	1,0	0,3	0,3
771	№ 771	пр. р. Сугран	кар.	ЮЗ	1,4	1,4	0,6	0,6
772	Бырс	пр. р. Сугран	дол.	СЗ	11,8	5,0	9,9	7,2
773*	№ 773		вис. дол.	З	2,3	2,3	0,7	0,7
774	№ 774		вис.	С	0,7	0,7	0,3	0,3
775*	Гульчат	пр. р. Сугран	сл. дол.	СЗ	2,4	1,4	1,7	1,0
776*	Шини-Бини	пр. р. Сугран	сл. дол.	(З), СЗ	10,3	10,3	16,4	16,4
777	№ 777		вис. дол.	З	1,0	1,0	0,3	0,3
778	№ 778		вис. дол.	Ю	0,8	0,8	0,2	0,2
779	№ 779		вис. дол.	ЮЗ	1,1	1,1	0,2	0,2
780	№ 780		кул.	ЮЗ	0,9	0,9	0,2	0,2
781	№ 781		склон.	ЮВ	1,6	1,6	1,2	1,2
782	№ 782		вис.	С	0,8	0,8	0,2	0,2
783*	Сугран	Сугран	сл. дол.	(З), СЗ, (С)	22,0	16,5	47,1	43,1

Продолжение таблицы I

Высота, м			Фирновая линия		Площадь области аблации, км ²		Объем льда, км ³	Ссылки на последующие таблицы (иллюстрации) № таблиц и иллюстраций порядковые № сведений в таблицах
найменее открытой части ледника	найменее открытой части ледника	высшей точки ледника	высота, м	способ определения и дата	общая	в том числе открытой части		
10	11	12	13	14	15	16	17	18
4900	4900	5300	5120	Кур.	0,1	0,1	0,0024	
4600	4600	5300	4940	Кур.	0,1	0,1	0,0044	
4400	4400	5000	4760	Кур.	0,1	0,1	0,0044	
4500	4500	4900	4710	Кур.	—	—	0,0009	
4700	4700	5000	4860	Кур.	—	—	0,0009	
3900	3900	4500	4270	Кур.	0,5	0,5	0,0270	
3580	4140	6050	4840	Кур.	6,6	5,8	1,3691	
4800	4800	5300	5030	Кур.	0,1	0,1	0,0024	
4800	4800	5350	5120	Кур.	0,1	0,1	0,0044	
4900	4900	5350	5170	Кур.	—	—	0,0009	
3950	3950	4300	4160	Кур.	0,1	0,1	0,0024	
3840	3840	4500	4220	Кур.	0,2	0,2	0,0068	
3920	3920	4080	3990	Кур.	0,1	0,1	0,0024	
3500	3500	4000	3740	Кур.	0,2	0,2	0,0068	
3950	3950	4300	4130	Кур.	0,1	0,1	0,0024	
4000	4000	4700	4410	Кур.	0,1	0,1	0,0044	
4000	4000	4250	4130	Кур.	—	—	0,0009	
					54,7	47,7	14,8514	

Фортамбек и Сугран (реки Муксу, Сурхоб, Вахш, Амударья, Аральское море)

Курай-Шапак

4200	4200	4800	4560	Кур.	0,5	0,5	0,0231	
3140	3140	4550	3940	Кур.	2,6	2,6	0,3578	
4180	4180	4550	4350	Кур.	0,1	0,1	0,0044	IV/22; V/6
3600	3600	4700	4160	Кур.	0,6	0,6	0,0355	IV/22; V/6, 19, 33
4400	4400	4700	4570	Кур.	—	—	0,0009	IV/22; V/6, 19
3600	3600	4100	3880	Кур.	0,1	0,1	0,0044	IV/5, 22; V/6, 11, 20, 21, 28, 29
3440	3440	4300	3870	Кур.	0,3	0,3	0,0125	IV/5, 22; V/6, 11, 20, 21, 28, 29
3480	3480	4050	3780	Кур.	0,2	0,2	0,0068	IV/5, 22; V/6, 11, 20, 21, 28, 29
					4,4	4,4	0,4454	

площадью 0,08 км²

Сурхоб, Вахш, Амударья, Аральское море)

склон хр. Петра Первого, восточный склон хр. Ташлык

4300	4300	4900	4570	Кур.	0,2	0,2	0,0044	
4600	4600	5700	5230	Кур.	0,3	0,3	0,0125	
2820	3070	5660	4440	Кур.	4,5	1,8	0,8410	IV/5, 21—23, 26; V/1, 6, 11, 25, 26, 28, 29, 33, 48
3940	3940	5400	4800	Кур.	0,3	0,3	0,0158	IV/22; V/6, 11, 19, 29, 33
4000	4000	4400	4180	Кур.	0,2	0,2	0,0044	
3600	3600	4600	4090	Кур.	0,9	0,2	0,0598	IV/21
3700	3700	6300	4920	Кур.	7,8	7,8	1,7932	IV/21—23, 25, 26; V/1, 6, 11, 19, 25, 26, 33, 35, 48
4300	4300	4800	4570	Кур.	0,1	0,1	0,0044	
4800	4800	5300	5040	Кур.	0,1	0,1	0,0024	
4700	4700	5300	4960	Кур.	0,1	0,1	0,0024	
5000	5000	5400	5230	Кур.	0,1	0,1	0,0024	
5050	5050	5660	5330	Кур.	0,6	0,6	0,0355	
3900	3900	4400	4130	Кур.	0,1	0,1	0,0024	
3280	3720	6720	4780	Кур.	24,3	20,3	8,7276	IV/5, 13, 21—23, 25, 26; V/1, 6, 11, 19—22, 25, 26, 28, 29, 33, 35, 47, 48, 58

№ по схеме	Название	Название реки, вытекающей из ледника	Морфологический тип	Общая экспозиция	Наибольшая длина, км		Площадь, км ²	
					всего ледника	в том числе открытой части	всего ледника	в том числе открытой части
1	2	3	4	5	6	7	8	9
784	№ 784		вис.	C3	0,5	0,5	0,1	0,1
785	№ 785		вис.	C3	0,4	0,4	0,1	0,1
786	№ 786		вис.	3	0,4	0,4	0,1	0,1
787	№ 787		вис. дол.	ЮЗ	2,4	2,4	1,0	1,0
788	№ 788		вис. кар.	ЮЗ	1,0	1,0	0,3	0,3
789	№ 789		вис.	ЮВ	1,2	1,2	0,4	0,4
790	№ 790		вис.	ЮВ	0,4	0,4	0,1	0,1
791	№ 791		вис.	СВ	0,8	0,8	0,1	0,1
792	№ 792		вис.	С	0,7	0,7	0,2	0,2
793	№ 793		вис.	С	0,8	0,8	0,1	0,1
794	№ 794	пр. р. Сугран	кар.-дол.	СВ	2,7	2,7	1,8	1,8
795*	Гандо	пр. р. Сугран	сл. дол.	(ЮВ), В, (СВ)	6,0	6,0	5,1	4,9
796	№ 796		вис.	СВ	0,5	0,5	0,1	0,1
797	№ 797		кар.-дол.	ЮВ	1,4	1,4	0,3	0,3
798	№ 798		вис.	В	1,0	1,0	0,4	0,4
799	№ 799	пр. р. Сугран	дол.	(СВ), В	4,1	4,1	2,3	2,3
800	№ 800		вис.	СВ	0,8	0,8	0,3	0,3
801	№ 801		вис.	С	1,1	1,1	0,5	0,5
802	№ 802	пр. р. Сугран	вис.	СВ	1,2	1,2	0,8	0,8
803	№ 803	пр. р. Сугран	кар.-вис.	В	1,2	1,2	0,6	0,6
34 ледника							94,0	86,4

Кроме того, в бассейне р. Сугран имеется 3 ледника размерами менее 0,1 км² каждый, общей площадью 0,2 км².
Итого 37 ледников

Бассейн р. Ирган (реки Муксу, Сурхоб, Вахш, Восточный склон)

804*	Ирган	Ирган	кар.-дол.	C	0,8	0,8	0,3	0,3
------	-------	-------	-----------	---	-----	-----	-----	-----

Бассейн р. Ташлык (реки Муксу, Сурхоб, Вахш, Северный склон)

805*	Ташлык	Ташлык	кар.-дол.	(C), C3	2,7	2,7	1,0	0,8
806*	№ 806	пр. р. Ташлык	кар.-дол.	C	1,2	1,2	0,3	0,3

Кроме того, в бассейне р. Ташлык имеется 1 ледник площадью 0,07 км².
Итого 3 ледника

Бассейн р. Шагазы (реки Муксу, Сурхоб, Вахш, Восточный склон хр. Шагазы, северный склон)

807*	Шагазы	Шагазы	сл. дол.	СВ	7,9	7,9	6,2	5,3
808	№ 808		вис. дол.	C3	1,6	1,6	0,4	0,4
809	№ 809		вис. кар.	C	1,5	1,5	0,6	0,6
810	№ 810		вис.	СВ	0,5	0,5	0,1	0,1
811	№ 811		вис.	СВ	1,0	1,0	0,5	0,5
812	№ 812		кар. дол.	СВ	1,5	1,5	0,4	0,4

6 ледников

813*	№ 813	Ошанинсу	C3	вис.	0,3	0,3	0,2	0,2
Бассейн левого безымянного притока р. Муксу между устьями Северный склон								

814*	№ 814	пр. р. Муксу	кар.-дол.	C	2,3	2,3	0,3	0,3
815*	Борак	пр. р. Муксу	кар.-дол.	(СВ)	1,3	1,3	0,9	0,9

3 ледника

Высота, м			Фирновая линия		Площадь области аблации, км ²		Объем льда, км ³	Ссылки на последующие таблицы (иллюстрации) № таблиц и иллюстраций порядковые № сведений в таблицах
низшей точки ледника	нижней точки открытой части ледника	высшей точки ледника	высота, м	способ определения и дата	общая	в том числе открытой части		
10	11	12	13	14	15	16	17	18
4200	4200	4500	4370	Кур.	—	—	0,0009	
4600	4600	4900	4770	Кур.	—	—	0,0009	
4760	4760	4850	4800	Кур.	—	—	0,0009	
4400	4400	5500	4870	Кур.	0,5	0,5	0,0270	
4700	4700	5100	4920	Кур.	0,1	0,1	0,0044	
4850	4850	5600	5330	Кур.	0,2	0,2	0,0068	
5200	5200	5500	5370	Кур.	—	—	0,0009	
4600	4600	5200	4960	Кур.	—	—	0,0009	
4300	4300	4900	4660	Кур.	0,1	0,1	0,0024	
4700	4700	5300	5060	Кур.	—	—	0,0009	
3520	3520	4650	4190	Кур.	0,8	0,8	0,0652	
3460	3460	5050	4310	Кур.	2,5	2,3	0,3110	IV/21, 22; V/6, 19, 33, 48
4500	4500	4900	4680	Кур.	—	—	0,0009	
4140	4140	4650	4440	Кур.	0,2	0,2	0,0044	
4200	4200	4620	4440	Кур.	0,2	0,2	0,0068	
3680	3680	5050	4400	Кур.	1,2	1,2	0,0942	V/33
4100	4100	4600	4380	Кур.	0,1	0,1	0,0044	
4100	4100	4800	4560	Кур.	0,2	0,2	0,0095	
4000	4000	4840	4410	Кур.	0,4	0,4	0,0193	IV/22; V/6, 33
4050	4050	4750	4510	Кур.	0,3	0,3	0,0125	IV/22, V/6
					46,4	38,8	12,0824	

Амударья, Аральское море)

хр. Ташлык

3500	3500	4100	3850	Кур.	0,1	0,1	0,0044	IV/5, 7, 13, 22; V/6, 11, 12, 19—21, 28, 29, 33, 58
------	------	------	------	------	-----	-----	--------	---

Амударья, Аральское море)

хр. Ташлык

3630	3630	4550	4160	Кур.	0,5	0,3	0,0270	IV/5, 13, 22; V/6, 11, 19—21, 28, 29, 33, 48, 58
3500	3500	4040	3760	Кур.	0,1 0,6	0,1 0,4	0,0044 0,0314	IV/5, 22; V/6, 11, 28, 29, 33

Амударья, Аральское море)

хр. Петра Первого

2980	3950	2980	5500	Кур.	3,4	2,5	0,4168	IV/4, 6, 13; V/6, 11, 19—21, 27, 29, 33, 48, 55, 58
3700	3700	4800	4230	Кур.	0,2	0,2	0,0068	
3880	3880	5050	4530	Кур.	0,3	0,3	0,0125	
4900	4900	5100	4970	Кур.	—	—	0,0009	
4550	4550	5000	4770	Кур.	0,2	0,2	0,0095	
4120	4120	4820	4490	Кур.	0,2	0,2	0,0068	
					4,3	3,4	0,4533	

Амударья, Аральское море)

хр. Петра Первого

3820	3820	4120	4000	Кур.	0,1	0,1	0,0024	V/11, 19—21, 58
------	------	------	------	------	-----	-----	--------	-----------------

рек Ошанинсу и Кызылсу (реки Муксу, Сурхоб, Вахш, Амударья, Аральское море)
хр. Петра Первого

3660	3660	4250	3940	Кур.	0,2	0,2	0,0044	V/11, 19—21, 58
3580	3580	4600	4120	Кур.	0,5 0,7	0,5 0,7	0,0231 0,0275	IV/4, 6, 13; V/11, 19—21, 27, 29, 55, 58

№ по схеме	Название	Название реки, вытекающей из ледника	Морфологический тип	Общая экспозиция	Наибольшая длина, км		Площадь, км ²	
					всего ледника	в том числе открытой части	всего ледника	в том числе открытой части
1	2	3	4	5	6	7	8	9

**Бассейн р. Кызылсу (реки Муксу, Сурхоб, Вахш,
Северный и северо-западный**

816*	Ошанина (Музга- зы)	Обихундук	сл. дол.	C	10,7	10,7	15,6	14,5
817	№ 817		вис. дол.	C	1,9	1,9	1,3	1,3
818*	№ 818		вис.	CB	0,8	0,8	0,6	0,6
819	№ 819		кар.-дол.	B	2,2	2,2	0,9	0,9
820	№ 820		кар.-дол.	B	2,0	2,0	0,9	0,9
821*	Кошкуль	пр. р. Кызылсу	дол.	C3	4,5	4,5	3,1	3,1
822	№ 822		вис.	ЮЗ	0,4	0,4	0,1	0,1
823	№ 823		вис.	ЮЗ	0,3	0,3	0,1	0,1
824	№ 824		вис.	C	0,9	0,9	0,3	0,3
825*	Кызылсу	Kызылсу	дол.	C3	9,0	5,9	8,2	6,4
826	№ 826		кар.-вис.	C3	1,4	1,4	0,6	0,6
827	№ 827		кар.-вис.	3	1,3	1,3	0,6	0,6
828	№ 828		вис.	CB	0,8	0,8	0,2	0,2
829	№ 829		вис.	B	1,0	1,0	0,4	0,4
14 ледников							32,9	30,0

Всего по району оледенения (без системы ледника Федченко) имеется 904 ледника общей площадью 1270,8 км², в том общем объемом льда 103,923 км³ и 175 ледников размерами менее 0,1 км² каждый, общей площадью 9,8 км².

Всего в бассейне р. Муксу имеется 1004 ледника общей площадью 2094,9 км², в том числе 829 ледников размерами 248,285 км³, и 175 ледников размерами менее 0,1 км² каждый, общей площадью 9,8 км².

Высота, м			Фирновая линия		Площадь области аблации, км ²		Объем льда, км ³	Ссылки на последующие таблицы (иллюстрации) № таблиц и иллюстраций
низшей точки ледника	низшей точки открытой части ледника	высшей точки ледника	высота, м	способ определения и дата	общая	в том числе открытой части		
10	11	12	13	14	15	16	17	18

Амударья, Аральское море)
склоны хр. Петра Первого

3280	3280	5340	4130	Кур.	8,9	7,8	1,6636	IV/4, 6, 13, 16, 28; V/11, 19—21, 27, 29, 30, 34, 48, 55, 58
4700	4700	5700	5120	Кур.	0,7	0,7	0,0400	
4340	4340	4950	4660	Кур.	0,3	0,3	0,0125	
4000	4000	4600	4360	Кур.	0,4	0,4	0,0231	
3800	3800	4900	4370	Кур.	0,4	0,4	0,0231	
3450	3450	4540	3810	Кур.	1,9	1,9	0,1474	IV/4, 6, 8, 13, 16, 28; V/11, 19—21, 27, 29, 30, 34, 48, 55, 58
3840	3840	4050	3950	Кур.	—	—	0,0009	
3950	3950	4120	4050	Кур.	—	—	0,0009	
3930	3930	4400	4140	Кур.	0,2	0,2	0,0044	
3340	3720	5300	4280	Кур.	3,7	1,9	0,6340	IV/4, 8, 9, 13, 16, 28; V/11, 19—21, 27, 29, 30, 34, 48, 55, 56, 58
4300	4300	5000	4650	Кур.	0,3	0,3	0,0125	
4200	4200	4800	4530	Кур.	0,2	0,2	0,0125	
3900	3900	4300	4100	Кур.	0,1	0,1	0,0024	
3950	3950	4340	4190	Кур.	0,2	0,2	0,0068	
					17,3	14,4	2,5841	

числе 729 ледников размерами 0,1 км² и более каждый, общей площадью 1261,0 км² (из них 48,9 км² покрыто мореной) и 0,1 км² и более каждый, общей площадью 2085,1 км² (из них 125,2 км² покрыто мореной) и общим объемом льда

Пояснения к таблице I

№ ледника по схеме	Название	№ гра-фы	Пояснение	№ ледника по схеме	Название	№ гра-фы	Пояснение
1	2	4		1	2	4	
144	Кызылсу		Образуется слиянием двух сложных долинных ледников. Язык ледника Кызылсу, выползая в долину одноименной реки, заполняет ее днище на 3-километровом участке. Река Кызылсу протекает, вероятно, в ледником тоннеле под языком	588, 596, 607, 619	Ичкелесай, Сев. Джайляукум-сай, Нанкальды, Южн. Карайкашан Южн. Карайкашан, № 623	2	Название ледникам даны топографами-геодезистами в 1946 и 1947 гг.
187, 188, 207, 233, 353	№ 187, 188, Чакманташ, Кузгун, Белеу-ли	2	Ледники открыты Д. В. Никитиным в 1916 г.	619, 623			В левой мульде фирновой области ледника Южн. Карайкашан происходит частичный перехват потока льда из правой мульды фирновой области ледника № 623
207, 233, 244, 257, 265, 274, 282, 307, 310	Чакманташ, Кузгун, Красина, Вали, Дзержинского, Малый Саукдара, Большой Саукдара, Северный Зулумарт, Зулумарт	2	Ледники впервые посещены Советско-германской памирской экспедицией 1928 г. и ТПЭ 1929 г. Последнюю возглавлял Н. В. Крыленко, который дал названия ледникам в честь выдающихся деятелей советского государства Ф. Э. Дзержинского и Л. Б. Красина. Остальным ледникам присвоены названия рек, из них вытекающих	649	Сев. Кызкурган	2	Название леднику дано в 1928 г. участниками Советско-германской памирской экспедиции. В то время нижняя граница ледника была на высоте 4100 м, ледники № 650—659 были притоками ледника Сев. Кызкургана
257	Вали	8, 9, 15, 16	Имеет срединную морену в виде вала, прослеживающегося ниже ледника на дне долины. Это свидетельствует о самостоятельном существовании двух сливающихся потоков	660, 661	№ 660, 661		На ограниченном участке происходит переток льда из ледника № 661 в ледник № 660
261	№ 261		Ниже языка в долине имеется участок погребенного мертвого льда, оторванный от основного тела ледника, его площадь 0,2 км ²	690, 702	Борбаш, Аюджилга	2	Ледники открыты в 1878 г. В. Ф. Ошаниным. В каталоге ледников Средней Азии Н. Л. Корженевского они имеют названия Шильбе (№ 680) и Сандаль (№ 683)
274	Малый Саукдара		Имеет участок мертвого открытого от морен льда, отчелившегося от языка на крутой скальной перемычке. Площадь участка 0,6 км ²	710	Мушкетова (Карасель)	2, 10	Ледники открыты Н. Л. Корженевским в 1904 г.
282	Большой Саукдара		Имеет участок мертвого льда площадью 2,0 км ² на конце языка. Граница между живым и мертвым льдом определена по геоморфологическим признакам	711—713	№ 711—713		Ледник открыт Н. Л. Корженевским в 1904 г. В 1924 г., по Корженевскому, отметка нижней точки конца ледника была равна 2719 м. В 1932 г. А. В. Москвин, Ю. В. Вальтер и П. А. Траубе выполнили съемку ледника, по которой конец языка находился на высоте 2881 м
416—418, 558, 567, 577, 592, 599—601, 634	Туракурум, № 417, 418, 558, Чакыджилга, Ничкеджилга, Джайляукумсай, № 599, 600, Дусакасай, № 634	2	Ледники открыты Н. В. Поггенполем в 1907 г. Названия ледникам присвоены в 1946—1947 гг. топографами-геодезистами.	715, 721	Гармо, Хышъет	3, 10	Отчелившиеся верхние части левого притока ледника Мушкетова (Карасель) (№ 710)
447	Рогова (Кумышджилга)	2	Название леднику дано в честь гляциолога Ф. Ф. Рогова, участника ТПЭ 1929 г., погибшего при переправе через р. Муксу. Местное название ледника Кумышджилга	724	Фортамбек		Ледники открыты Н. Л. Корженевским в 1904 г. Река Гармо имеет второе название — Ганджурек, а р. Хышъет — Акташ. В 1932 г. высота конца ледника Гармо была равна 3581 м.
							О наличии ледника в уроцище Фортамбек впервые сообщил в 1899 г. В. И. Липский. Затем ледник был обследован участниками ТКЭ А. В. Москвиным, Ю. В. Вальтером, П. А. Траубе и А. А. Солдатовым в 1932 г.

Пояснения к таблице I

№ ледника по схеме	Название	№ графы	Пояснение		№ ледника по схеме	Название	№ графы	Пояснение
728	Солдатова	2	Название дано в 1932 г. в честь участника ТКЭ коллектора А. А. Солдатова					Первого. Всем притокам ледника Сугран и отдельным его частям были даны названия. Самому крупному правому притоку, спускающемуся с южного склона водораздела ледников Шини-Бини и Сугран, дано имя Радионова, топографа экспедиции В. Ф. Ошанина. Правый приток ледника Радионова назван ледником Наблюдений. Верхние части основного ствола названы ледниками Северный и Москвич. Левые притоки сверху вниз получили названия ледники Переальный и Вилка. Высота нижней границы ледника определена в 2970 м. Перечисленные притоки и составные части ледника Сугран в настоящем каталоге не выделяются
730, 731	Москвина, Вальтера	2	Впервые ледник был посещен в 1932 г. А. В. Москвина, Ю. В. Вальтером и П. А. Траубе. Их именами были названы ледники. Ледником Траубе назван левый короткий приток ледника Вальтера, который в настоящем каталоге как самостоятельный не выделяется					
737	Памирское фирновое плато	2, 4	Является отчленившимся правым притоком ледника Фортамбек. Отнесен к висячemu долинному типу. Расход массы осуществляется обвалами на ледник Фортамбек					
751	Курай-Шапак	2	Ледник открыт и назван в 1932 г. участника ТКЭ	804	Ирган	2	Ледник открыт В. И. Липским в 1899 г. В 1932 г. конец ледника имел отметку 2790 м	
763, 765	Хадырша, Тамаша	2, 10	Ледники открыты в 1899 г. В. И. Липским. В 1932 г. они имели общий язык, который за-канчивался на высоте 2746 м. Участники ТКЭ правую ветвь назвали ледником Савотак, левую — ледник Тамаша. Полностью ледник назывался Хадырша	805, 806	Ташлык, № 806	2	Ледники открыты В. И. Липским в 1899 г. в бассейне р. Кашмук. Под этим названием ледник включен в каталог ледников Н. Л. Корженевского. В 1932 г. ледники имели общий язык, за-канчивающийся на высоте 3564 м	
773	Бырс	2, 10	Ледник открыл В. И. Липский в 1899 г. и дал название по одноименной реке, вытекающей из ледника. В 1932 г. высота конца языка составила 3073 м	807	Шагазы	2, 10	Ледник открыт и назван В. И. Липским в 1897 г. Нижняя граница ледника находилась на высоте 2807 м. В 1904 г. Л. С. Эдельштейн определил нижнюю границу языка равной 2831 м, а по данным ТКЭ 1932 г. она равнялась 2767 м	
775, 776, 795	Гульчат, Шини-Бини, Гандо		Ледники открыты в 1913 г. немецко-австрийской экспедицией					
783	Сугран	2, 10	Ледник открыт в 1899 г. В. И. Липским, который дал ему название по одноименной реке. В 1913 г. на леднике работала немецко-австрийская экспедиция под руководством В. Риккмер-Риккмерса, которая дала леднику имя Брюкнера. В 1932 г. ледник обследован экспедицией ТКЭ. В 1939 г. средняя часть ледника обследована московскими альпинистами под руководством профессора В. В. Немыцкого. В 1947 г. в бассейне ледника Сугран работала группа альпинистов под руководством Е. Абалакова. Геоморфолог Е. В. Тимашев дал описание района и северного склона хр. Петра	813—815	№ 813—815	2, 3	В 1897 г. ледник № 815 был открыт В. И. Липским, который назвал его Борак по названию уро-чища. Река, вытекающая из ледника, имела местное название Обишайн. В 1913 г. участники немецко-австрийской экспедиции дали леднику название Ошанина, под которым он вошел в каталог ледников Н. Л. Корженевского, а р. Обишайн переделана в Ошанину. В настоящее время ледник Борак распался на три ледника — № 813—815.	
				816	Ошанина (Музгазы)	2	Ледник открыт, описан и назван В. И. Липским в 1897 г. в честь исследо-	

Пояснения к таблице 1

№ ледника по схеме	Название	№ графы	Пояснение	№ ледника по схеме	Название	№ графы	Пояснение
1	2	3	4	1	2	3	4
818	№ 818		вателя Средней Азии В. Ф. Ошанина. В каталоге ледников Н. Л. Корженевского ледник имеет название Сельды, а на современных картах — Музгазы				чищу, в котором он расположен. В работах Л. С. Эдельштейна он известен как Бури-Курмас, а в каталоге ледников Н. Л. Корженевского — Товарбек
821	Кошкуль	2	Отчленившаяся часть ледника Ошанина (Музгазы) (№ 816)	825	Кызылсу	2	Ледник открыт и описан В. И. Липским в 1897 г. Название дано по одноименной реке, вытекающей из него. В 1904 г. Л. С. Эдельштейн назвал его Боуральмас
			Ледник открыт В. И. Липским в 1897 г. и получил название по уро-				

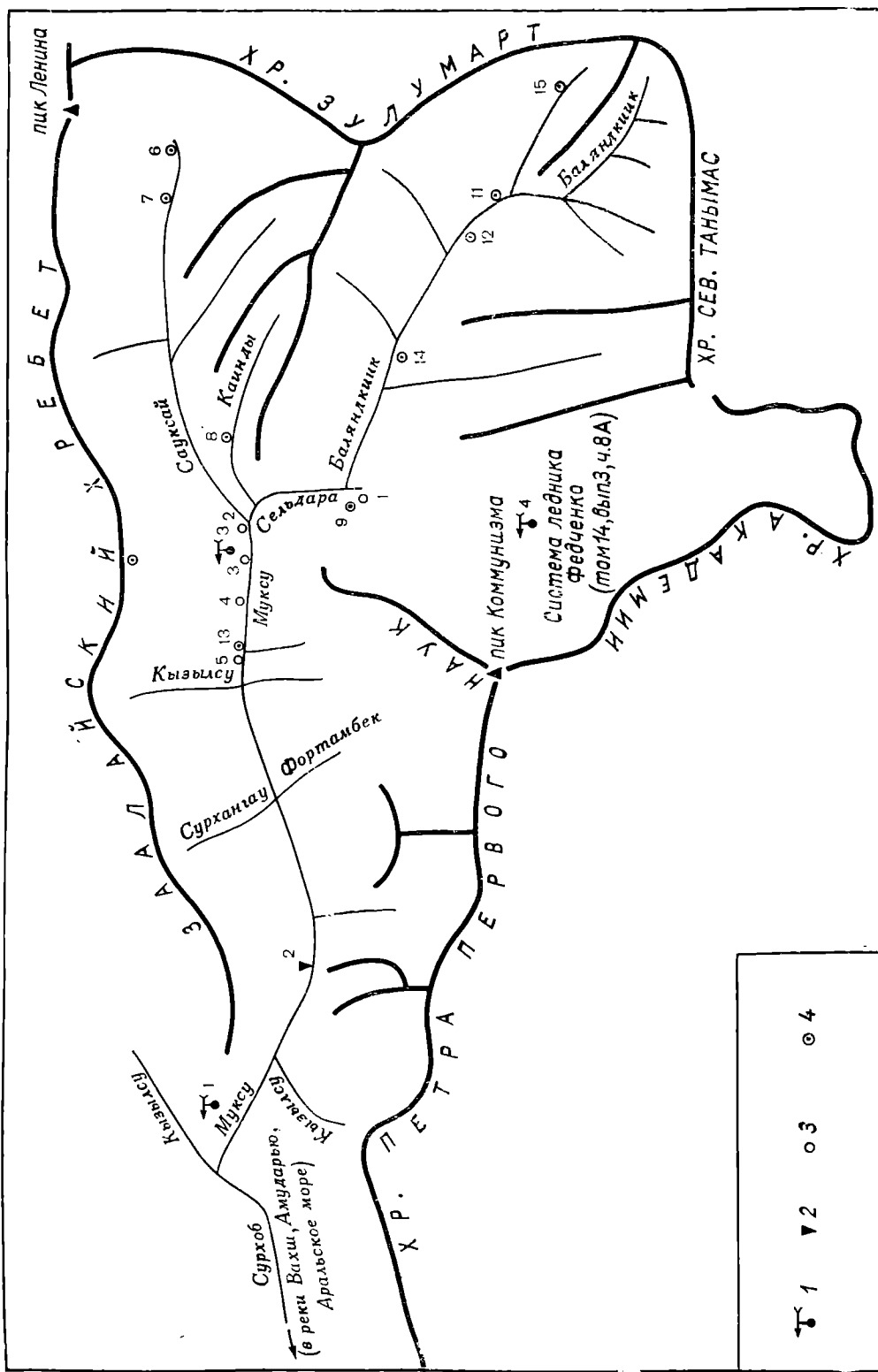


Рис. 32. Схема расположения метеорологических станций и гидрологических постов, осадкометров и снегомерных пунктов в районе ледников.
1 — метеорологическая станция, 2 — гидрологический пост, 3 — снегомерный пост, 4 — суммарный осадкометр.

СПИСОК ГИДРОМЕТЕОРОЛОГИЧЕСКИХ СТАНЦИЙ И ПОСТОВ В РАЙОНЕ ЛЕДНИКОВ

н/п №	Название реки, в бассейне которой расположена станция	Название станции или поста	В чём ведение находится	Площадь бассейна реки, км ²	Площадь бассейна реки, м ²	Уровень воды	Сток воды	Сток наносов	Химический состав воды	Основные метеорологические	осадки	высота снега	Период наблюдений, годы	
													1	2
1	Кызылсу	мст Ляхш	УГМС ТаджССР	2000	—	1961—1976	1961—1976	1961—1976	1961—1976	1961—1976	1961—1976	1961—1976	Продолжительность солнечного сияния: 1961—1976	
2	Муксуз	гп Кышлак Давсеар	* УГМС КиргССР	6550	1961—1976	1961—1976	1961—1976	—	—	1932—1976	1932—1976	1932—1976	Температура воды: 1961—1976	
3	Муксуз	мст Алтыназар	УГМС ТаджССР	2780	—	—	—	—	—	—	—	—	Продолжительность солнечного сияния: 1934—1949, 1951—1976; актинометрия: 1957—1976	
4	Сельдара	мст Ледник Фед.-Ченкө	УГМС ТаджССР	4170	—	—	—	—	—	1933—1976	1933—1976	1933—1976	Продолжительность солнечного сияния: 1934—1949, 1951—1976	

ТАБЛИЦА III

СПИСОК СУММАРНЫХ ОСАДКОМЕРОВ И СНЕГОМЕРНЫХ ПУНКТОВ В РАЙОНЕ ЛЕДНИКОВ

№ п/п	Название бассейна и номер осадкомера или снегопункта	Местоположение	Абсолютная высота, м	Экспозиция склона	Период наблюдений, годы
					1
2	3	4	5	6	
1	Муксу, сп 1	В долине р. Муксу, у языка ледника Федченко	2880	гориз.	1939—1949
2	Муксу, сп 2	В долине р. Муксу, в 6 км выше гмс Алтын- мазар	2770	гориз.	1936—1949
3	Муксу, сп 3	В долине р. Муксу, у гмс Алтынмазар в устье р. Терсагар	2760	гориз.	1936—1949
4	Муксу, сп 4	В долине р. Муксу, в 6 км ниже гмс Алтын- мазар, возле развалин кишлака Таджи	2700	гориз.	1936—1949
5	Муксу, сп 5	В долине р. Муксу, в кишлаке Дорадек	2600	гориз.	1936—1949
6	Сауксай (бассейн р. Муксу), ос 78	В верховьях р. Сауксай, ниже языка ледника Большой Саукдара	4150	C	1950—1976
7	Сауксай (бассейн р. Муксу), ос 98	В верховьях р. Сауксай, в 1,2 км выше устья р. Вали	3820	гориз.	1959—1976
8	Кайнды (бассейн р. Муксу), ос 59	В урочище Суякмазар	3600	гориз.	1961—1976
9	Сельдарда (бассейн р. Мук- су), ос 77	У языка ледника Федченко, около устья р. Ма- лый Танымас	3090	гориз.	1934—1976
10	Терсагарсу (бассейн р. Мук- су), ос 60	На пер. Терсагар	3580	гориз.	1961—1976
11	Балындкик (бассейн р. Мук- су), ос 93	На правом берегу р. Балындкик, в 1,5 км ни- же устья р. Зулумарт	3780	Ю	1966—1976
12	Балындкик (бассейн р. Мук- су), ос 94	На левом берегу р. Балындкик, у устья при- тока р. Ничкеджилга	4100	C	1966—1976
13	Муксу, ос 95	На правом берегу р. Муксу в устье р. Аюджи- лга	2620	Ю	1966—1976
14	Балындкик (бассейн р. Мук- су), ос 96	В долине р. Балындкик, в 4 км выше устья	3140	гориз.	1966—1976
15	Зулумарт (бассейн р. Балын- дкик), ос 105	В верховьях р. Зулумарт, в устье первого ле- вого притока	4220	гориз.	1968—1976

ТАБЛИЦА IV
ЭКСПЕДИЦИОННЫЕ И СТАЦИОНАРНЫЕ ИССЛЕДОВАНИЯ ЛЕДНИКОВ

№ п/п	Номер ледника по схеме	Время проведения работ	Характеристика (состав) provеденных исследований	Организация, производившая работы	№ источника по табл. V
					6
1	2	3	4	5	
1	444, 683	1876	Первые сведения о бассейне р. Муксу. Инструментальная съемка места слияния рек Сауксай, Каинды и Сельдара.	Генеральный штаб (Жилин)	19
2	679, 683	1878	Открытие хр. Петра Первого, долины Баяндкика и ледника Федченко.	Туркестанское отделение Московского общества любителей естествознания, антропологии и этнографии (В. Ф. Ошанин)	37, 38
3	Район оледенения в целом	1883	Топографическая съемка маршрута по бассейну р. Баяндкик	Генеральный штаб (Путятка)	19
4	807, 815, 816, 821, 825	1897	Открытие и описание ледников северного склона хр. Петра Первого	РГО (В. И. Липский)	27, 29
5	763, 767—769, 772, 783, 804—806	1899	Продолжение исследований 1897 г. Открытие и описание ледников	»	28, 29
6	807, 815, 816, 821	1904	Геологические исследования на северном склоне хр. Петра Первого. Осмотрены ледники, открытые в 1897, 1899 гг. В. И. Липским. У концов ледников установлены метки для наблюдения за их колебаниями.	Туркестанский отдел РГО (Л. С. Эдельштейн)	55
7	683, 702, 710, 715, 721, 763, 804	1904	Рекогносцировочное обследование ледников северного склона хр. Петра Первого. Открыты ледники в верхнем течении р. Муксу	Туркестанский отдел РГО (Н. Л. Корженевский)	12, 13, 19
8	821, 825	1905	Установлены метки у концов ледников Кызылсу и Кошкуль	Туркестанский отдел РГО (Н. Л. Корженевский)	56
9	825	1906	Наблюдения за колебанием ледника Кызылсу от установленной в 1905 г. метки	Туркестанский отдел РГО (Л. С. Эдельштейн)	56
10	416—418, 558, 567, 577, 592, 599—601, 634	1907	Съемка перевалов Кокуйбель, Тахтакорум и Каинды. Первые сведения о ледниках в верховьях рек Каинды и Баяндкик	РГО (Н. В. Поггенполь)	40
11	Бассейн р. Баяндкик	1908	Глазомерная съемка бассейна р. Баяндкик	Генеральный штаб	19
12	683, 690, 702, 710	1910	Обследование ледников Мушкетова (Карасель) и Борбаш. Установлены метки у концов ледников Музджиляга и Мушкетова (Карасель)	Туркестанский отдел РГО (Н. Л. Корженевский)	13, 19
13	783, 804, 805, 807, 815, 816, 821, 825	1913	Описание ледников и форм древнего оледенения северного склона хребта при геологическом обследовании. Выполнена фотограмметрическая съемка долины р. Муксу до устья р. Сугран	Немецко - австрийский альпийский клуб (Р. Клебельсберг)	58
14	710	1914	Наблюдения за положением конца ледника Мушкетова (Карасель). Отмечено наступление ледников Алтынмазарского массива	Туркестанский отдел РГО (Н. Л. Корженевский)	14, 19
15	Бассейн р. Сауксай	1914	Описание форм древнего оледенения при геологических исследованиях	РГО (Д. И. Мушкетов)	19
16	816, 821, 825	1915	Описание форм древнего оледенения при геологическом исследовании северного склона хр. Петра Первого	РГО (Д. В. Наливкин)	34
17	683, 710	1924	Наблюдения за колебаниями концов ледников от меток. Изучение древнего оледенения и буссолычная съемка долины р. Муксу от ледника Федченко до ледника Мушкетова (Карасель)	Туркестанский отдел РГО (Н. Л. Корженевский)	16, 17, 19
18	683, 710	1926	Наблюдения за концами ледников от меток	То же	18, 19
19	Оледенение района Е	1928	Комплексное изучение природы Памира. Проведены гидрометеорологические, гляциологические, геологические, геомагнитные, геоботанические и другие исследования высокогорной области. Исследован бассейн ледника Федченко и смежные с ним области. Произведена фототеодолитная съемка бассейна р. Муксу	Советско - германская памирская экспедиция АН СССР и Германского общества содействия развитию науки	59
20	207, 209, 233—246, 257, 265, 274, 282, 300, 321, 324—328	1929	Топографическая съемка для уточнения карты бассейна р. Сауксай	АН СССР, Таджикско-Памирская экспедиция	11, 25, 26
21	772, 775, 776, 783, 795	1931	Фототеодолитная съемка северного склона хр. Петра Первого. Снята долина р. Сугран от устья до пер. Пешего, описаны ледники Бырс, Гульчат, Шини-Бини, Сугран и Гандо	АН СССР, Таджикско-Памирская экспедиция	25, 26

Продолжение табл. IV

№ п/п	Номер ледника по схеме	Время проведения работ	Характеристика (состав) проводенных исследований	Организация, производившая работы	№ источника по табл. V
					1
2	3	4	5	6	
22	689, 702, 710, 715, 721, 724, 725, 728, 730, 731, 744, 751, 763—769, 772, 773, 776, 783, 795, 802— 807	1932	Топографическая съемка речных долин, описание долин и ледников	АН СССР, Комитет по проводению 2-го МПГ, Таджикская комплексная экспедиция	6, 25, 26, 39, 41
23	724, 730, 731, 751, 763, 772, 776, 783	1933	Более детальное изучение ледников, в ос- новном их верхних частей. Топографическая съемка пройденных участков	АН СССР, Комитет по проводению 2-го МПГ, Таджикская комплексная экспедиция	25, 26
24	265	1936	Покорение пика Дзержинского. Уточнена карта верховьев ледника Дзержинского	Альпиниада САВО	5, 11
25	776, 783	1939	Группа московских альпинистов обследова- ла и впервые прошла весь ледник Шини- Бини. Составлена схема ледника Шини- Бини и частично ледника Сугран	ДСО «Наука»	1, 35
26	772, 776, 783	1947	Изучение орографии восточной части хр. Петра Первого. Впервые пройден весь ледник Сугран. Сос- тавлена схема ледника, выполнено описание	Всесоюзный комитет по делам физической куль- туры и спорта при СМ СССР, под руководством А. А. Летавета	1, 47
27	710	1958	Изучение древнего оледенения бассейна р. Муксу	АН УзССР, Институт математики и механики	57
28	683, 710, 816, 821, 825	1964	Наблюдения за колебаниями ледников от меток Л. С. Эдельштейна (ледники Кош- куль и Кызылсу), Н. Л. Корженевского (ледник Мушкетова). ТПЭ 1933 г. (ледник Муздилга)	Кафедра геологии и па- леонтологии ТаджГУ им. В. И. Ленина	30

ТАБЛИЦА V

СПИСОК РАБОТ, СОДЕРЖАЩИХ СВЕДЕНИЯ О ЛЕДНИКАХ

№ п/п	Номер ледника по схеме	Авторы и наименования работ	Место издания работы	Краткая аннотация
		3		
1	2	3	4	5
1	772, 776, 783	Абала́ков Е. М. На северо-западном Памире	В кн.: Побежденные вершины. Ежегодник советского альпинизма. Год 1948. М., Географгиз, 1948	Результаты экспедиции 1947 г. Описаны верховья ледника Сурган, приведена схема орографии и оледенения бассейнов рек Сурган и Фортамбек
2	Район оледенения в целом	Агаханянц О. Е., Синьковская А. С. Библиография Памира	Душанбе, «Дониш», 1968, вып. I	Указатель литературы о Памире с 1920 по 1964 г.
3	Район оледенения в целом	Агаханянц О. Е., Синьковская А. С. Библиография Памира	Душанбе, «Дониш», 1972	Указатель литературы о Памире с 1835 по 1919 г.
4	Район оледенения в целом	Атлас Таджикской ССР	Душанбе—Москва, ГУГК при СМ СССР, 1968	Комплексный атлас содержит многокрасочные карты природных условий и ресурсов, в том числе современного и древнего оледенения, распределения населения, народного хозяйства и прочего на территории Таджикской ССР
5	265	Белецкий Е. А. Восхождение на пик Дзергинского	В кн.: К вершинам Советской земли. М., Географгиз, 1949	Описаны верховья ледника Дзергинского при восхождении на одноименный пик в 1936 г.
6	690, 702, 710, 715, 721, 724, 725, 728, 730, 731, 744, 751, 763—769, 772, 773, 776, 783, 795, 802—807	Вальтер Ю. В., Москвин А. В. Северо-восточные склоны хребта Петра Великого	В кн.: Таджикская комплексная экспедиция 1932 г. Л., Госхимтехиздат, 1933	Итоги экспедиции. Приведено подробное описание ледников, приложена схема оледенения
7	Район оледенения в целом	Гвоздецкий Н. А. Памир. Сто книг о нашей Родине	М., Просвещение, 1968	История исследования и описание природы Памира, проведено физико-географическое районирование
8	Район оледенения в целом	Горбунов Н. П., Щербаков Д. И. Памирская высокогорная советско-германская экспедиция 1928 г.	«Памирская экспедиция 1928 г.» 1930, вып. 1	Результаты экспедиции. Впервые обследованы и нанесены на топографическую основу бассейны рек Сауксай, Баляндиккик и Сельдары
9	Район оледенения в целом	Дроздов О. А., Кароль Б. П., Мосолова Г. И. Особенности метеорологического режима горных ледников Средней Азии в летний период (район Памиро-Алая)	В кн.: Успехи Советской гляциологии. Материалы 3-го Всесоюзного гляциол. симпозиума. Фрунзе. «Илим», 1968.	Краткая характеристика метеорологических условий (температура и влажность воздуха, облачность и т. д.) на ледниках различных размеров и ориентации, при различном характере подстилающей поверхности
10	Оледенение района в целом	Забиров Р. Д. Оледенение Памира	М., Географгиз, 1955	Описано современное и древнее оледенение бассейна р. Муксу, приложен каталог ледников
11	207, 209, 233—246, 257, 265, 274, 282, 300, 321, 324—328, 680, 683, 690 702, 705, 710, 715, 721, 723—725, 730, 731, 738, 744, 751, 763, 767—769, 772, 773, 776, 783, 804—807, 813—816, 821, 825 683, 702, 710, 715, 721, 763, 804	Затуловский Д. М. Среди снегов и скал	М., Географгиз, 1957	Описаны альпинистские экспедиции в высокогорные районы Памира, приведен очерк географического исследования Памира
12	683, 690, 702, 710	Корженевский Н. Л. По реке Муксу	«Ежегодник Русского горного общества», 1905, т. 5	Описано путешествие в бассейн р. Муксу в 1904 г. Открыт ледник Мушкетова (Карасель)
13	683, 690, 702, 710	Корженевский Н. Л. В горах Петра Великого. Поездка к ледникам Федченко (Сельдара) и Мушкетова (Карасель)	«Труды Общества землемерения при СПб университете», 1914, т. 3	Итоги экспедиций 1904 и 1910 гг.
14	710	Корженевский Н. Л. Ледники Федченко (Сельдара) и Мушкетова (Карасель) в мае 1914 г.	«Военная мысль», 1921, кн. 1	Итоги экспедиции 1914 г.
15	710	Корженевский Н. Л. Некоторые данные о состоянии ледников Федченко (Сельдара) и Мушкетова (Карасель) в 1914 г.	«Изв. Туркестанского отдела РГО», Ташкент, 1922, т. 15, вып. 1	Описание поверхности ледников Мушкетова и Федченко, приведены данные об изменении положения их концов за период с 1910 по 1914 гг.
16	683, 710	Корженевский Н. Л. Предварительный отчет об осмотре ледников в верхо-	«Изв. Туркестанского отдела РГО». Ташкент, 1924, т. 17	Итоги экспедиции 1924 г.

№ п/п	Номер ледника по схеме	Авторы и наименования работ	Место издания работы	Краткая аннотация
				5
1	2	3	4	
17	683, 710	вьях реки Муксу летом 1924 г. Корженевский Н. Л. Результаты осмотра ледников в верховьях р. Муксу летом 1924 г.	«Вестник ирригации», 1924, № 9	Итоги экспедиций 1924 г.
18	710	Корженевский Н. Л. Краткий отчет о поездке на Памир летом 1926 г.	«Изв. Туркестанского отдела РГО», 1927, т. 18	Итоги экспедиции 1926 г.
19	183—185, 207, 274, 353, 398, 402, 418, 422, 423, 428, 433, 444, 558, 567, 577, 592, 599, 601, 634, 649, 651, 683, 690, 702, 710, 715, 721, 724, 763, 765, 766, 773, 776, 783, 795, 804, 805, 807, 813—816, 821, 825	Корженевский Н. Л. Муксу и ее ледники	«Труды гидрометеорологического отдела Средазмета», 1927, т. 1 вып. 1	Оргидрографический очерк бассейна р. Муксу. Описано оледенение и приложена схема расположения ледников
20	198, 207, 233, 282, 316—318, 680, 681, 683, 690, 702, 710, 715, 721, 724, 763, 767—769, 783, 804, 805, 807, 813—816, 821, 825	Корженевский Н. Л. Каталог ледников Средней Азии	Ташкент, Средазмет, 1930	Сводные данные об оледенении Средней Азии, включая бассейн р. Муксу
21	182, 183, 186, 198, 207, 233, 238, 244, 255, 257, 265, 274, 282, 307, 316—318, 353, 416, 447, 466, 402, 470, 471, 487—492, 503, 514, 520, 526—532, 534, 537, 562, 567, 577, 578, 588, 593—595, 599—601, 607, 608, 610—614, 619, 626, 631, 634, 649, 651, 657, 661, 680, 683, 690, 702, 710, 715, 721, 724, 730, 731, 763, 767—769, 772, 783, 804, 805, 807, 813—816, 821, 825	Корженевский Н. Л. Каталог ледников Средней Азии	Ташкент, 1936	Сведения об известных к 1936 г. ледниках бассейна р. Муксу
22	710, 724, 783	Корженевский Н. Л. Природа Средней Азии	Ташкент, Изд. САГУ, 1960	Описываются наиболее значительные ледники северного склона хр. Петра Первого — Сугран, Мушкетова и Фортамбек
23	444, 683	Костенко Л. Ф. Экспедиция в Алайские горы	«Русский инвалид», 1876, № 239	Топографическая съемка места слияния рек Сауксай, Каинды и Сельдарда
24	680, 683	Косиненко Н. И. По тропам, скалам и ледникам Алая, Памира и Дарваза	«Изв. РГО», 1915, т. 51, вып. 3	Описание путешествия по ледникам верховьев р. Муксу
25	207, 209, 233—246, 257, 265, 274, 282, 300, 321, 324—328, 724, 730, 731, 751, 763, 772, 776, 783	Крыленко Н. В. Пять лет по Памиру	В кн.: Пять лет по Памиру. М.-Л., Изд-во АН СССР, 1935	Итоги памирских экспедиций 1928—1933 гг.
26	207, 209, 233—246, 257, 265, 274, 282, 300, 321, 324—328, 724, 730, 731, 751, 763, 772, 776, 783	Крыленко Н. В. По неисследованному Памиру	М., ОГИЗ, 1960	Описание путешествий по Памиру в 1928—1933 гг., во время которых открыты ледники в бассейне р. Сауксай и на северном склоне хр. Петра Первого
27	807, 815, 816, 821, 825	Липский В. И. Хребет Петра Великого и его ледники	«Изв. ИРГО», 1898, т. 34, вып. 3	Итоги экспедиции 1897 г. Приводится описание нижнего течения р. Муксу и впервые открытых ледников
28	763, 767—769, 772, 804—806	Липский В. И. Ледниковые области Арзынга, Мазара и Мука	«Изв. ИРГО», 1899, т. 35, вып. 6	Итоги экспедиции 1899 г. Приведено описание ледников
29	710, 724, 763, 767—769, 772, 773, 783, 804—807, 815, 816, 821, 825	Липский В. И. Горная Бухара	СПб, 1902, ч. 2, 1905, ч. 3	Результаты путешествий в Среднюю Азию, в том числе и в бассейн р. Муксу в 1897 и 1899 гг. Описаны ледники
30	683, 710, 816, 821, 825	Лоскутов В. В., Ко-	В кн.: Новые данные по	Сведения о колебании ледников се-

№ п/п	Номер ледника по схеме	Авторы и наименование работ	Место издания работы	Краткая аннотация
				1 2 3 4 5
31	Район оледенения целом	шелеев Б. Л. К вопросу о режиме некоторых лед- ников бассейна р. Муксу (Северный Памир) Марков К. К. История рельефа и оледенения Па- мира	геологии Таджикистана, Душанбе, Изд. ТаджГУ, 1973	верного склона хребта Петра Первого
32	Район оледенения целом	Марков К. К. Геомор- фологический очерк Се- верного Памира и Вахии Москвина А. В. Геоло- гический очерк северо- восточных склонов хребта Петра Первого	В кн.: Пять лет по Пами- ру. М.-Л., Изд. АН СССР, 1935 «Памир, Северный Памир и ледник Федченко», 1936, вып. 1 «Труды ТКЭ», 1936, вып. 43	Дается история развития рельефа Памира и описывается характер оледенения бассейна р. Муксу Описывается геоморфология долин и оледенение бассейнов рек Каинды, Балындклик и Муксу Описаны геологическое строение и орография северного склона хр. Петра Первого, дается описание оледенения, приложена схема расположения ледников, приведена высота снеговой границы на склонах различной экспозиции
33	690, 702, 705, 710, 715, 721, 724, 725, 730, 731, 738, 744, 751, 763, 765, 772, 773, 776, 783, 795, 799, 802, 804—807	Наливкин Д. В. Пред- варительный отчет о по- ездке летом 1915 г. в Горную Бухару и на За- падный Памир Немыцкий В. В. В гор- ах Тянь-Шаня и Памира	«Изв. РГО», 1916, т. 52, вып. 3	Описано геологическое строение и древнее оледенение северного склона хр. Петра Первого, отмечено наличие двух стадий древнего оледенения Описана экспедиция ДСО «Наука» в 1939 г. на ледники Шини-Бини и Сурган
34	816, 821, 825	Никитин Д. В. Золото- рудное месторождение на Памире	«Материалы по общей и прикладной геологии», 1926, вып. 9, 10	Краткое упоминание о ледниках бассейна р. Сауксай
35	776, 783	Ошанин В. Ф. На вер- ховьях Муксу	«Изв. ИРГО», 1880, т. 16, вып. 1	Результаты экспедиции 1878 г. по долинам рек Муксу, Балындклик, Каинды и Сельдара. Открыт лед- ник Федченко Описание экспедиции 1878 г.
36	187, 188, 207, 233, 353	Ошанин В. Ф. Караге- гин и Дараваз Памир, Северный Памир и ледник Федченко. Вып. 1	«Изв. ИРГО», 1881, т. 17, вып. 1 Л., Изд. ТПЭ, 1936	Предварительные результаты раб- бот, проведенных в бассейне р. Му- ксу по программе 2-го МПГ в 1932 и 1933 гг. Приложена схема оледе- нения северного Памира Описание путешествия 1907 г. и ледников в истоках рек Каинды и Балындклик
37	679, 683	Поггенполь Н. В. К истокам Муксу через гор- ные области Западного Памира Попов В. И. Памирский гляциологический отряд	«Изв. РГО», 1908, т. 44, вып. 1—7	Итоги ТКЭ 1932 г. Перечень произ- веденных наблюдений в бассейне р. Муксу по метеорологии, актино- метрии, геоморфологии, гляциоло- гии. Материалы наблюдений поме- щены в книге «Памир, Северный Памир и ледник Федченко», вып. 1 (см. № 39)
38	679, 683			Итоги ТПЭ 1932 г. История изуче- ния Памира
39	Район оледенения целом			
40	416—418, 558, 567, 577, 592, 599—601, 634			
41	710			
42	Район оледенения целом	Попов В. И. Изучение климата, вод и ледников Памира	«Ледниковая обсервато- рия на Памире», 1935, вып. 25	Обобщены данные о режиме рек, озер и других водных объектов с практическими рекомендациями по расчетам элементов водного режи- ма как при наличии, так и при от- сутствии или недостаточности дан- ных наблюдений
43	Район оледенения целом	Ресурсы поверхностных вод СССР. Т. 14. Средняя Азия. Часть 3. Бассейн р. Аму-Дарьи	Л., Гидрометеоиздат, 1971	Анализ метеорологических наблю- дений за 1933—1947 гг.
44	Район оледенения целом	Семенова О. А. Кли- мат области вечных сне- гов по данным обсервато- рии «Ледник Федченко» Суслов В. Ф. Каталог ледников СССР. Т. 14. Вып. 3. Часть 8А. Система ледника Федченко	«Труды ТГО», 1948, вып. 1	
45	1—100		Л., Гидрометеоиздат, 1968	Краткая характеристика географи- ческого положения, морфологии и режима ледников, климатических ус- ловий существования ледников сис- темы ледника Федченко. Сведения об экспедиционных исследованиях, схема расположения ледников, би- блиография

№ п/п	Номер ледника по схеме	Авторы и наименования работ	Место издания работы	Краткая аннотация	
				1	2
46	Район оледенения в целом	Таджикская Советская Социалистическая Республика	Душанбе, Изд. ТаджССР, 1974	AH	В энциклопедическом однотомнике обобщены сведения о географическом положении, границах, физико-географическом районировании и т. д. В разделе «Природа» дается краткий очерк изучения и исследования, описаны рельеф, геологическое строение, полезные ископаемые, климат, воды, почвы, растительный и животный мир, природные богатства и охрана природы
47	783	Тимашев Е. В. Маршрутные геоморфологические наблюдения в верховьях ледника Сугран летом 1947 г.	«Изв. ВГО», 1949, т. 81, вып. 4		Описано строение рельефа бассейна ледника Сугран
48	710, 724, 730, 731, 737, 751, 763, 772, 776, 783, 795, 805, 807, 816, 821, 825	Тимашев Е. В. Хребет Петра Первого	В кн.: Победденные вершины. Ежегодник советского альпинизма. Год 1953, М., Географгиз, 1954		Описано геоморфологическое строение хребта Петра Первого. История исследования
49	737	Тимашев Е. В. Памирское фирновое плато	В кн.: Победденные вершины. Ежегодник советского альпинизма. Год 1953. М., Географгиз, 1954		История открытия и общее описание Памирского фирнового плато
50	Оледенение северного склона хребта Петра Первого	Чедия О. К., Васильев В. А. О характере и возрасте древнего оледенения северных склонов хребта Петра Первого	«Труды ТаджГУ», 1969, т. 28, вып. 1		Рассматриваются вопросы древнего оледенения
51	233, 265, 274, 282, 307	Шабалкин М. Хребет Зулумарт (краткий геологический очерк)	«Труды Таджикско-Памирской экспедиции 1935 г.» 1937		Геологическое строение бассейнов рек Сауксай, Каинды и Балынджик
52	Район оледенения в целом	Шульц В. Л. Реки Средней Азии	Л., Гидрометеоиздат, 1965		В первой части книги рассматриваются основные закономерности процессов стока и распределение его характеристик по территории горной области Средней Азии. Во второй части дается характеристика водного режима наиболее крупных рек
53	Район оледенения в целом	Щеглова О. П. Питание рек Средней Азии	Ташкент, Изд. СамГУ, 1960		Источники питания рек Средней Азии. Классификация рек по типу питания
54	Район оледенения в целом	Щербаков Д. И. Организация и научные итоги Памирских экспедиций 1928—1933 гг.	В кн.: Пять лет по Памиру. М.—Л., Изд. АН СССР, 1935		Физико-географическое описание Памира. Научные итоги экспедиций
55	807, 815, 816, 821, 825	Эдельштейн Л. С. Несколько замечаний о ледниках хребта Петра Великого	«Изв. ИРГО», 1906, т. 42, вып. 1		Описание ледников северного склона хр. Петра Первого и месток, установленных у их концов
56	825	Эдельштейн Л. С. Заметка о состоянии ледников Боур-альмас и Товарбек в августе 1906 г.	«Изв. ИРГО», 1906, т. 42, вып. 4		Данные о колебании ледника Кызылсу за 1905—1906 гг.
57	710	Юрьев А. А. О результатах изучения древнеледниковых отложений в долине р. Мужсу (Северо-Западный Памир)	В кн.: Гляциологическая экспедиция на ледник Федченко. Ташкент, Изд. АН УзССР, 1960,		Описаны признаки двух периодов оледенения бассейна р. Мужсу
58	783, 804, 805, 807, 813—816, 821, 825	Klebel'sberg. Beiträge zur Geologie Westturkestan's (К геологии Западного Туркестана)	Innsbruk, 1922		Материалы по геологическому строению северного склона хр. Петра Первого. Описания ледников.
59	Оледенение района в целом	Finstergälder R. Geodätische, topographische und glaziologische Ergebnisse (Геодезические, топографические и гляциологические данные)	Wissenschaftlichen Ergebnisse der Alai-Pamir Expedition 1928. 1932, T. 1. Bd. 1		Описание результатов совместных исследований Памира советско-германской экспедицией. Получена топографическая карта бассейна р. Мужсу

ДОПОЛНИТЕЛЬНЫЕ МАТЕРИАЛЫ

Таблица 18

Среднее многолетнее количество осадков по суммарным осадкомерам в бассейне р. Муксу

№ осадкомера	Абсолютная высота, м	Количество осадков, мм	Период наблюдений, годы	№ осадкомера	Абсолютная высота, м	Количество осадков, мм	Период наблюдений, годы
95	2620	128	1966—1972	59	3600	325	1961—1972
77	3090	176	1934—1972	98	3820	182	1959—1972
96	3140	166	1966—1972	78	4150	323	1950—1972
97	3280	216	1966—1972	79	4300	732	1957—1972
60	3580	279	1961—1972				

Таблица 19

Повторяемость ясного (0—2 балла), полуясного (3—7 баллов) и пасмурного (8—10 баллов) состояния неба по общей и нижней облачности, %

Облачность, баллы	I	II	III	IV	V	VI	VII	VIII	IX	X	XI	XII
Ляхш, 1961—1965 гг.												
Общая												
0—2	27	23	22	17	32	43	58	63	71	46	36	28
3—7	10	8	13	21	18	27	22	22	17	16	15	12
8—10	63	69	65	62	50	30	20	15	12	38	49	60
Нижняя												
0—2	61	51	53	41	49	52	60	68	79	61	64	56
3—7	13	17	16	25	25	30	26	23	14	22	15	14
8—10	26	32	31	34	26	18	14	9	7	17	21	30
Алтынмазар, 1936—1965 гг.												
Общая												
0—2	26	22	20	24	28	40	48	58	65	51	36	28
3—7	9	8	10	12	14	22	25	22	17	15	12	10
8—10	65	70	70	64	58	38	27	20	18	34	52	62
Нижняя												
0—2	62	57	56	60	52	49	56	64	72	69	62	59
3—7	15	17	18	18	26	31	28	23	18	17	19	14
8—10	23	26	26	22	22	20	16	13	10	14	19	27
Ледник Федченко, 1936—1965 гг.												
Общая												
0—2	20	15	16	18	24	32	46	55	61	42	28	23
3—7	8	6	8	11	17	25	27	25	15	14	10	9
8—10	72	79	76	71	59	43	27	20	24	44	62	68
Нижняя												
0—2	44	36	39	42	41	40	51	60	67	55	47	44
3—7	14	16	16	19	25	30	28	25	18	15	11	12
8—10	42	48	45	39	34	30	21	15	15	30	42	44

Таблица 20

Средняя месячная и годовая упругость водяного пара, относительная влажность и недостаток насыщения

Характеристика	I	II	III	IV	V	VI	VII	VIII	IX	X	XI	XII	Год
Ляхш, 1961—1966 гг.													
Упругость водяного пара, мб	2,1	2,8	4,0	6,4	7,6	8,1	8,7	7,8	5,5	4,7	3,7	2,5	5,3
Относительная влажность, %	68	73	69	66	56	48	42	38	36	46	60	66	56
Недостаток насыщения, мб	1,0	1,0	2,3	4,1	7,6	10,9	15,8	15,9	12,9	7,2	2,8	1,3	6,9
Алтынмазар, 1936—1964 гг.													
Упругость водяного пара, мб	1,7	2,0	2,8	3,8	4,9	5,7	6,4	5,7	4,2	3,2	2,4	2,0	3,7
Относительная влажность, %	58	60	58	50	45	43	38	35	34	40	48	57	47
Недостаток насыщения, мб	1,2	1,4	2,2	4,5	7,2	9,0	12,4	12,7	10,2	5,9	2,8	1,5	5,9
Ледник Федченко, 1936—1960 гг.													
Упругость водяного пара, мб	1,1	1,3	1,7	2,2	3,1	3,6	4,1	3,8	2,8	2,1	1,6	1,2	2,4
Относительная влажность, %	66	68	71	66	62	54	50	47	56	65	66	61	61
Недостаток насыщения, мб	0,6	0,6	0,7	1,2	1,8	2,4	3,9	4,3	3,5	1,9	0,9	0,6	1,9

Таблица 21

Основные сведения о ледниках размером менее 0,1 км²

№ п/п	Вблизи какого ледника распо- ложен (№ лед- ника по табл. 1)	Название реки, вытекающей из ледника	Морфологи- ческий тип	Общая экспозиция	Наибольшая длина, км	Площадь, км ²	Высота, м							
							нижней точки конца ледника	высшей точки ледника						
Бассейн р. Сурхангау (реки Муксу, Сурхоб, Вахш, Амударья, Аральское море)														
Южный склон Заалайского хребта														
1	№ 123		вис.	C3	0,3	0,05	4900	5150						
2	№ 124		вис.	ЮЗ	0,5	0,08	4600	4820						
3	№ 124	пр. р. Сурхангау	вис.	C3	0,3	0,06	4800	5000						
3 ледника														
0,19 (0,2)														
Бассейны правых безымянных притоков р. Муксу между устьями рек Сурхангау и Сатсу (реки Муксу, Сурхоб, Вахш, Амударья, Аральское море)														
Южный склон Заалайского хребта														
4	№ 130		вис.	ЮВ	0,5	0,04	4700	5000						
5	№ 130		вис.	Ю	0,5	0,05	4700	5000						
2 ледника														
0,09 (0,1)														
Бассейн р. Кзылсу (реки Муксу, Сурхоб, Вахш, Амударья, Аральское море)														
Южный склон Заалайского хребта														
6	№ 145		вис.	C3	0,5	0,09	4500	5000						
7	№ 144		кул.	CB	0,4	0,03	4800	5100						
8	№ 149		вис.	CB	0,4	0,04	4700	5100						
9	№ 150	пр. р. Кзылсу	кул.	CB	0,3	0,03	4600	4800						
4 ледника														
0,19 (0,2)														
Бассейн р. Дорадек (реки Муксу, Сурхоб, Вахш, Амударья, Аральское море)														
Южный склон Заалайского хребта														
10	№ 163	пр. р. Дорадек	кул.	CB	0,5	0,05	4700	5000						
11	№ 163		кул.	CB	0,5	0,06	4760	5100						
12	№ 163		кул.	CB	0,4	0,04	4900	5200						
3 ледника														
0,15 (0,2)														
Бассейн р. Сасыктеке (реки Сауксай, Муксу, Сурхоб, Вахш, Амударья, Аральское море)														
Южный склон Заалайского хребта														
13	№ 190	пр. р. Сасыктеке	вис.	ЮЗ	0,4	0,06	4720	5000						
(0,1)														
Бассейн р. Камансу (реки Сауксай, Муксу, Сурхоб, Вахш, Амударья, Аральское море)														
Южный склон Заалайского хребта														
14	№ 202	пр. р. Камансу	вис.	C3	0,3	0,06	4700	4900						
(0,1)														
Бассейн р. Чакманташ (реки Сауксай, Муксу, Сурхоб, Вахш, Амударья, Аральское море)														
Южный склон Заалайского хребта														
15	№ 203	пр. р. Чакманташ	вис.	CB	0,3	0,06	4820	4940						
16	№ 204		вис.	CB	0,2	0,03	5220	5360						
17	№ 217		вис.	CB	0,2	0,03	4700	4900						
18	№ 217		вис.	CB	0,2	0,02	4700	4840						
19	№ 223	пр. р. Чакманташ	вис.	Z	0,2	0,03	5000	5200						
20	№ 223	пр. р. Чакманташ	вис.	C3	0,3	0,05	4600	4800						
6 ледников														
0,22 (0,2)														
Бассейн р. Кузгунтеке (реки Сауксай, Муксу, Сурхоб, Вахш, Амударья, Аральское море)														
Южный склон Заалайского хребта														
21	№ 227		вис.	ЮЗ	0,5	0,05	5250	5600						
22	№ 248		вис.	C	0,3	0,05	4700	5000						
23	№ 248		вис.	C	0,2	0,02	4600	4800						
24	№ 249	пр. р. Кузгунтеке	вис.	C3	0,4	0,06	4700	4900						
25	№ 250	пр. р. Кузгунтеке	вис.	C	0,2	0,06	4700	4900						
26	№ 250	пр. р. Кузгунтеке	вис.	C3	0,3	0,02	4700	4900						
27	№ 252	пр. р. Кузгунтеке	вис.	C3	0,3	0,03	4800	5000						
7 ледников														
0,29 (0,3)														

№ п/п	Вблизи какого ледника распо- ложен (№ лед- нико по табл. I)	Название реки, вытекающей из ледника	Морфологи- ческий тип	Общая экспозиция	Наибольшая длина, км	Площадь, км ²	Высота, м	
							нижней точки конца ледника	высшей точки ледника

Бассейн верховьев р. Сауксай выше устья р. Кузгунтеке (реки Сауксай, Муксу, Сурхоб, Вахш, Амударья, Аральское море)

Южный склон Заалайского хребта, западный склон хр. Зулумарт, северный склон хр. Белеули, восточный склон хр. Саукдара

28	№ 260		вис.	C3	0,3	0,04	5140	5320
29	№ 264		вис.	C3	0,4	0,06	5050	5300
30	№ 268		вис.	ЮЗ	0,4	0,05	5700	6100
31	№ 269		вис.	ЮЗ	0,4	0,04	5700	5900
32	№ 275		вис.	Ю	0,4	0,05	5700	5900
33	№ 281		вис.	C3	0,5	0,07	4880	5100
34	№ 284		вис.	ЮЗ	0,6	0,07	5600	6000
35	№ 285		вис.	ЮВ	0,6	0,08	5400	5700
36	№ 285		вис.	ЮВ	0,6	0,05	5500	5920
37	№ 287		вис.	ЮЗ	0,7	0,08	5400	5650
38	№ 293		кул.	ЮЗ	0,5	0,03	5350	5600
39	№ 295		вис.	С	0,6	0,07	5000	5090
40	№ 301		вис.	ЮЗ	0,6	0,05	5200	5400
41	№ 300		вис.	C3	0,4	0,05	5200	5400
42	№ 302		вис.	C3	0,4	0,04	4980	5100
43	№ 316		вис.	ЮВ	0,3	0,05	5100	5300
44	№ 320	пр. р. Сауксай	вис.	C	0,3	0,02	5000	5200
45	№ 322	пр. р. Сауксай	вис.	C	0,3	0,03	4650	4850
46	№ 322	пр. р. Сауксай	вис.	C	0,4	0,05	4600	4900
47	№ 322	пр. р. Сауксай	вис.	C	0,7	0,08	4550	4900
48	№ 322	пр. р. Сауксай	вис.	CB	0,3	0,03	4700	4900
49	№ 323	пр. р. Сауксай	вис.	C3	0,4	0,06	4900	5200
50	№ 323	пр. р. Сауксай	вис.	C3	0,5	0,07	5050	5300
51	№ 323	пр. р. Сауксай	вис.	C3	0,5	0,08	5050	5300
52	№ 323	пр. р. Сауксай	вис.	C3	0,3	0,04	5200	5300
53	№ 324		вис.	Ю	0,5	0,05	5600	5740
54	№ 324		вис.	ЮВ	0,6	0,07	5200	5500
55	№ 337		вис.	C	0,5	0,08	4600	4800
56	№ 342		кул.	CB	0,6	0,07	4900	5100

29 ледников

1,61 (1,6)

Бассейны левых безымянных притоков р. Сауксай между устьями рек Кузгунтеке и Белеули (реки Сауксай, Муксу, Сурхоб, Вахш, Амударья, Аральское море)

Северо-восточный склон хр. Саукдара

57	№ 344	пр. р. Сауксай	вис.	C3	0,7	0,09	4550	4900
58	№ 345	пр. р. Сауксай	вис.	C	0,3	0,04	4600	4800

2 ледника

0,13 (0,1)

Бассейн р. Белеули (реки Сауксай, Муксу, Сурхоб, Вахш, Амударья, Аральское море)

Северо-восточный склон хр. Белеули

59	№ 364		вис.	3	0,2	0,03	5400	5600
60	№ 364		вис.	3	0,4	0,05	5100	5400
61	№ 364		кул.	CB	0,5	0,07	4800	5200
62	№ 364		кул.	CB	0,5	0,05	4800	5200
63	№ 379	пр. р. Белеули	вис.	C	0,5	0,07	4400	4850
64	№ 379	пр. р. Белеули	вис.	C	0,5	0,07	4400	4900

6 ледников

0,34 (0,3)

Бассейн р. Каинды (реки Сельдара, Муксу, Сурхоб, Вахш, Амударья, Аральское море)

Юго-западный склон хр. Белеули, северный склон хр. Каинды

65	№ 408	пр. р. Каинды	вис.	ЮВ	0,5	0,08	5200	5400
66	№ 410	пр. р. Каинды	вис.	C3	0,3	0,05	4200	4500
67	№ 419	пр. р. Каинды	вис.	C	0,3	0,03	4600	4800
68	№ 419	пр. р. Каинды	вис.	C	0,2	0,02	4700	4900
69	№ 420	пр. р. Каинды	вис.	C	0,3	0,03	4700	5000
70	№ 420	пр. р. Каинды	вис.	C	0,3	0,03	4700	5000
71	№ 420	пр. р. Каинды	вис.	CB	0,5	0,04	4600	4900
72	№ 420	пр. р. Каинды	вис.	CB	0,4	0,04	4500	4800
73	№ 420	пр. р. Каинды	вис.	CB	0,4	0,05	4450	4700
74	№ 421	пр. р. Каинды	вис.	C3	0,4	0,04	4750	5000
75	№ 425	пр. р. Каинды	вис.	CB	0,4	0,05	5000	5250
76	№ 426	пр. р. Каинды	вис.	CB	0,4	0,06	4540	4840
77	№ 426	пр. р. Каинды	вис.	CB	0,3	0,05	4700	4900
78	№ 426	пр. р. Каинды	кар.	C	0,5	0,05	4250	4450

№ п/п.	Вблизи какого ледника распо- ложен (№ лед- ника по табл. I)	Название реки, вытекающей из ледника	Морфологи- ческий тип	Общая экспозиция	Наибольшая длина, км	Площадь, км ²	Высота, м	
							нижней точки конца ледника	высшей точки ледника
79	№ 435	пр. р. Каинды	вис.	СВ	0,6	0,09	4540	4900
80	№ 435	пр. р. Каинды	вис.	СВ	0,3	0,07	4800	5000
81	№ 435	пр. р. Каинды	кар.	СВ	0,3	0,08	4600	4850
82	№ 435	пр. р. Каинды	кул.	СВ	0,6	0,07	4650	5000
83	№ 435	пр. р. Каинды	вис.	С	0,4	0,09	4700	4800
84	№ 435	пр. р. Каинды	кар.	С	0,7	0,08	3880	4150
85	№ 435	пр. р. Каинды	вис.	С	0,5	0,09	4600	4900
86	№ 435	пр. р. Каинды	кар.	С	0,4	0,05	4080	4300
87	№ 435	пр. р. Каинды	вис.	С	0,7	0,08	4200	4500
88	№ 436	пр. р. Курганкуль	вис.	С3	0,4	0,04	4700	4900
89	№ 439		вис.	СВ	0,4	0,09	4500	4740
90	№ 439		вис.	СВ	0,7	0,08	4700	4900
91	№ 442	пр. р. Курганкуль	вис.	С3	0,5	0,03	4880	5060
92	№ 442	пр. р. Курганкуль	вис.	С3	0,3	0,03	4700	4940

28 ледников

1,59 (1,6)

Бассейн правого безымянного притока р. Сельдара между устьями рек Каинды и Балындкик (реки Сельдара, Муксу, Сурхоб, Вахш, Амударья, Аральское море)

Северный склон хр. Каинды

93	№ 444		вис.	С	0,4	0,07	4750	5000
94	№ 444		вис.	С	0,6	0,07	4700	4950

2 ледника

0,14 (0,1)

Бассейн р. Каинды (южн.) (реки Балындкик, Сельдара, Муксу, Сурхоб, Вахш, Амударья, Аральское море)

Южный склон хр. Белеули

95	№ 445		вис.	З	0,4	0,07	5100	5300
96	№ 455	пр. р. Кумышджилга	вис.	С	0,4	0,06	4580	4800
97	№ 455	пр. р. Кумышджилга	вис.	С	0,3	0,05	4600	4800

3 ледника

0,18 (0,2)

Бассейн р. Караджилга (зап.) (реки Балындкик, Сельдара, Муксу, Сурхоб, Вахш, Амударья, Аральское море)

Южный склон хр. Белеули, юго-западный склон хр. Зулумарт

98	№ 459	пр. р. Караджилга (зап.)	вис.	СВ	0,4	0,07	4800	5200
99	№ 459	пр. р. Караджилга (зап.)	вис.	СВ	0,4	0,07	4800	5100
100	№ 460	пр. р. Караджилга	кар.	ЮВ	0,5	0,08	4730	4840
101	№ 473		кул.	ЮЗ	0,5	0,06	5000	5300

4 ледника

0,28 (0,3)

Бассейн р. Зулумарт (реки Балындкик, Сельдара, Муксу, Сурхоб, Вахш, Амударья, Аральское море)

Юго-западный и западный склоны хр. Зулумарт, северо-восточный склон его отрога

102	№ 476	пр. р. Зулумарт	вис.	С3	0,5	0,04	4900	5200
103	№ 479	пр. р. Зулумарт	кул.	С3	0,4	0,03	5160	5400
104	№ 479	пр. р. Зулумарт	кул.	С3	0,3	0,03	5000	5300
105	№ 480	пр. р. Зулумарт	кул.	З	0,6	0,08	5000	5300
106	№ 480	пр. р. Зулумарт	кул.	З	0,5	0,05	4960	5200
107	№ 493		вис.	ЮВ	0,6	0,07	5200	5400
108	№ 493		кул.	С3	0,5	0,07	5200	5420
109	№ 509	пр. р. Зулумарт	вис.	С3	0,6	0,07	4800	5100
110	№ 520		кул.	З	0,5	0,07	5000	5330
111	№ 525	пр. р. Зулумарт	вис.	С3	0,4	0,06	4750	5000
112	№ 534	пр. р. Зулумарт	вис.	С	0,6	0,09	4700	4900
113	№ 534	пр. р. Зулумарт	вис.	С	0,4	0,05	4700	4900
114	№ 534	пр. р. Зулумарт	вис.	С	0,6	0,06	4700	4960
115	№ 534	пр. р. Зулумарт	вис.	С	0,5	0,06	4700	4960

14 ледников

0,83 (0,8)

Бассейн верховьев р. Балындкик (реки Сельдара, Муксу, Сурхоб, Вахш, Амударья, Аральское море)

Юго-западный склон отрога хр. Зулумарт, северный склон хр. Северный Танымас

116	№ 535	пр. р. Балындкик	вис.	С3	0,6	0,09	4920	5200
117	№ 536	пр. р. Балындкик	вис.	ЮВ	0,6	0,09	5240	5480
118	№ 536	пр. р. Балындкик	вис.	С3	0,4	0,06	4920	5140

№ п/п	Вблизи какого ледника распо- ложен (№ лед- ника по табл. 1)	Название реки, вытекающей из ледника	Морфологи- ческий тип	Общая экспозиция	Наибольшая длина, км	Площадь, км ²	Высота, м	
							низшей точки конца ледника	высшей точки ледника
119	№ 536	пр. р. Балындкик	вис.	C3	0,3	0,06	4900	5100
120	№ 536	пр. р. Балындкик	вис.	Ю	0,4	0,05	5400	5680
121	№ 542	пр. р. Балындкик	кул.	СВ	0,7	0,06	4880	5200
122	№ 557	пр. р. Янгидаван	вис.	3	0,8	0,08	5130	5500
123	№ 558	пр. р. Янгидаван	вис.	C	0,5	0,04	4800	5000
124	№ 558	пр. р. Янгидаван	вис.	C3	0,5	0,08	4900	5030
125	№ 567		кул.	C3	0,8	0,08	4900	5500
126	№ 567		кул.	C3	0,4	0,07	5100	5400
127	№ 576	пр. р. Ничкеджилга	вис.	C	0,4	0,08	4900	5140
128	№ 578	пр. р. Ничкеджилга	вис.	C3	0,6	0,08	4900	5200
129	№ 578	пр. р. Ничкеджилга	вис.	3	0,6	0,08	5000	5400
130	№ 578	пр. р. Ничкеджилга	вис.	C3	0,3	0,03	4900	5100
131	№ 578	пр. р. Ничкеджилга	вис.	3	0,3	0,06	5200	5500
132	№ 577		вис.	3	0,3	0,05	5200	5500
133	№ 581		вис.	ЮВ	0,4	0,05	4750	4900
134	№ 583	пр. р. Ничкеджилга	вис.	B	0,3	0,05	5200	5400
135	№ 583	пр. р. Ничкеджилга	вис.	B	0,5	0,08	5000	5300
136	№ 584	пр. р. Ничкеджилга	вис.	B	0,4	0,07	5000	5220

21 ледник

1,39 (1,4)

Бассейн р. Джайляукумсай (реки Балындкик, Сельдара, Муксу, Сурхоб, Вахш, Амударья, Аральское море)

Северный склон хр. Северный Танымас, восточный склон хр. Балындкик

137	№ 585	пр. р. Ичкелесай	вис.	C3	0,4	0,06	4950	5200
138	№ 586	пр. р. Ичкелесай	кул.	C3	0,8	0,09	4900	5250
139	№ 586	пр. р. Ичкелесай	кул.	C3	0,4	0,05	5200	5440
140	№ 589		кул.	C3	0,7	0,09	4900	5200
141	№ 590	пр. р. Джайляукумсай	вис.	C	0,4	0,04	4600	4800
142	№ 591	пр. р. Джайляукумсай	вис.	C3	0,5	0,06	4720	5000
143	№ 591	пр. р. Джайляукумсай	кул.	C3	0,6	0,09	4800	5200
144	№ 591	пр. р. Джайляукумсай	вис.	C3	0,3	0,03	4800	5000
145	№ 591	пр. р. Джайляукумсай	вис.	C3	0,4	0,07	5100	5400
146	№ 595	пр. р. Джайляукумсай	кул.	B	0,3	0,04	4750	5000
147	№ 598	пр. р. Джайляукумсай	вис.	B	0,2	0,02	5150	5250

11 ледников

0,64 (0,6)

Бассейны левых притоков р. Балындкик между устьями рек Джайляукумсай и Кызкурган (реки Балындкик, Сельдара, Муксу, Сурхоб, Вахш, Амударья, Аральское море)

Северо-восточный склон хр. Балындкик

148	№ 607		вис.	ЮВ	0,6	0,08	5000	5300
149	№ 614	пр. р. Балындкик	вис.	СВ	0,6	0,09	4500	4800
150	№ 614	пр. р. Карайкашан	вис.	C3	0,4	0,05	4800	5050
151	№ 614	пр. р. Карайкашан	вис.	C3	0,3	0,04	4800	4950
152	№ 614	пр. р. Карайкашан	вис.	C3	0,2	0,02	4950	5050
153	№ 617		вис.	C	0,2	0,04	4700	4900
154	№ 617	пр. р. Карайкашан	вис.	C	0,3	0,03	4800	5000
155	№ 623		вис.	ЮВ	0,4	0,03	4900	5100
156	№ 625	пр. р. Карайкашан	вис.	C3	0,4	0,04	4800	5100
157	№ 625	пр. р. Карайкашан	вис.	C3	0,3	0,04	4850	5100
158	№ 629	пр. р. Карайкашан	вис.	B	0,5	0,06	4800	5000

11 ледников

0,52 (0,5)

Бассейн р. Кызкурган (реки Балындкик, Сельдара, Муксу, Сурхоб, Вахш, Амударья, Аральское море)

Западный склон хр. Балындкик, северный склон хр. Северный Танымас, восточный склон хр. Кызкурган

159	№ 665	пр. р. Кызкурган	кул.	C3	0,5	0,05	4400	4700
160	№ 665	пр. р. Кызкурган	вис.	C3	0,3	0,07	4500	4750
2 ледника								0,12 (0,1)

Бассейны левых безымянных притоков р. Сельдара между устьями рек Малого Танымаса и Джилкы-Чигаргу (реки Сельдара, Муксу, Сурхоб, Вахш, Амударья, Аральское море)

Северный склон хребта Академии Наук

161	№ 679	пр. р. Сельдара	вис.	СВ	0,5	0,06	5050	5400
162	№ 684		вис.	C3	0,4	0,04	4900	5200
2 ледника								0,10 (0,1)

№ п/п	Вблизи какого ледника расположены (№ лед- ника по табл. I)	Название реки, вытекающей из ледника	Морфологи- ческий тип	Общая экспозиция	Наибольшая длина, км	Площадь, км ²	Высота, м							
							нижней точки конца ледника	высшей точки ледника						
Бассейн р. Аюджилга (реки Муксу, Сурхоб, Вахш, Амударья, Аральское море)														
Западный склон хр. Академии Наук, восточный склон его северо-западного отрога														
163	№ 698	пр. р. Аюджилга	вис.	3	0,4	0,04	4850	5100						
164	№ 709	пр. р. Аюджилга	вис.	C	0,4	0,05	4500	4800						
165	№ 709	пр. р. Аюджилга	вис.	СВ	0,4	0,05	4400	4700						
166	№ 709	пр. р. Аюджилга	вис.	СВ	0,4	0,04	4650	4900						
4 ледника						0,18 (0,2)								
Бассейны левых безымянных притоков р. Муксу между устьями рек Карасель и Фортамбек (реки Муксу, Сурхоб, Вахш, Амударья, Аральское море)														
Северо-восточный склон отрога хр. Академии Наук														
167	№ 716	пр. р. Муксу	вис.	3	0,3	0,05	3700	3900						
(—)														
Бассейн р. Фортамбек (реки Муксу, Сурхоб, Вахш, Амударья, Аральское море)														
Северный склон хр. Петра Первого														
168	№ 736		вис.	3	0,3	0,04	4800	5000						
169	№ 745		вис.	ЮВ	0,3	0,05	4650	4840						
170	№ 752		вис.	СЗ	0,4	0,05	5000	5300						
3 ледника						0,14 (0,1)								
Бассейны левых безымянных притоков р. Муксу между устьями рек Фортамбек и Сугран (реки Муксу, Сурхоб, Вахш, Амударья, Аральское море)														
Северный склон хр. Курай-Шалак														
171	№ 769	пр. р. Муксу	вис.	ЮВ	0,4	0,08	3740	3940						
(0,1)														
Бассейн р. Сугран (реки Муксу, Сурхоб, Вахш, Амударья, Аральское море)														
Северный склон хр. Петра Первого														
172	№ 790		вис.	СВ	0,4	0,03	5000	5300						
173	№ 793		вис.	СЗ	0,4	0,05	4700	5000						
174	№ 793		вис.	C	0,5	0,07	4400	4800						
3 ледника						0,15 (0,2)								
Бассейн р. Ташлык (реки Муксу, Сурхоб, Вахш, Амударья, Аральское море)														
Северный склон хр. Ташлык														
175	№ 806		вис.	СВ	0,3	0,07	4200	4400						
(0,1)														

Всего в бассейне р. Муксу имеется 175 ледников размером менее 0,1 км² каждый, общей площадью 9,8 км²

Приложения: 1. Графа 3 не заполнена у ледников, жидкий сток с которых происходит под нижележащие ледники.
2. В скобках в графе 7 приведена общая площадь ледников, округленная до десятых долей км².

Таблица 22

Распределение ледников по величине их площади (в числителе — количество ледников, в знаменателе — площадь, км²)

Бассейн реки	Размеры ледников, км ²										Всего
	0,1—0,5	0,6—1,0	1,1—1,5	1,6—2,0	2,1—3,0	3,1—5,0	5,1—10,0	10,1—20,0	20,1—59,0	>50,0	
Ширвоза	5 1,1	2 1,4	—	—	—	2 8,4	—	—	—	—	9 10,9
Сурхангау	9 2,3	2 1,7	1 1,2	1 1,8	1 2,3	1 4,0	2 15,5	1 11,0	—	—	18 39,8
Правые безымянные притоки р. Муксу между устьями рек Сурхангау и Сатсу	3 1,1	—	—	1 1,6	—	—	—	—	—	—	4 2,7
Сатсу	5 0,8	—	—	—	1 2,9	—	—	—	—	—	6 3,7
Правые безымянные притоки р. Муксу между устьями рек Сатсу и Кызылсу	1 0,4	1 0,6	1 1,5	—	—	—	—	—	—	—	3 2,5
Кызылсу	7 2,4	5 4,0	3 3,3	2 3,7	2 5,4	—	2 11,2	—	22,5	—	52,5 8
Дорадек	3 0,5	1 1,0	3 3,9	1 2,0	—	—	—	—	—	—	7,4 3
Хытсу	1 0,3	2 1,7	—	—	—	—	—	—	—	—	2,0 3
Джилнак-Чахарнак	2 1,0	1 0,6	—	—	—	—	—	—	—	—	1,6 1
Кызыл-Токай	1 0,3	—	—	—	—	—	—	—	—	—	0,3 2
Терсагарсу	—	1 0,6	—	—	1 2,7	—	—	—	—	—	3,3 1
Терек	—	1 0,8	—	—	—	—	—	—	—	—	0,8 10
Сасыктеке	4 1,4	3 2,4	—	—	3 6,9	—	—	—	—	—	10,7 12
Камансу	8 1,5	2 1,5	1 1,4	—	—	—	1 5,3	—	—	—	9,7 21
Чакманташ	9 2,1	5 3,0	1 1,2	2 3,6	1 2,1	1 3,2	1 6,5	1 14,3	—	—	36,0
Правый безымянный приток р. Сауксай между устьями рек Чакманташ и Кузгунтеке	1 0,4	—	—	—	—	—	—	—	—	—	1 0,4
Кузгунтеке	12 3,0	5 3,8	3 3,7	3 5,6	2 4,8	1 4,9	—	1 14,0	1 25,0	—	28 64,8
Бассейн верховьев р. Сауксай выше устья р. Кузгунтеке	50 10,4	13 10,2	6 7,4	2 3,2	5 12,0	6 21,9	2 12,6	4 53,2	2 52,6	1 53,0	91 236,5
Бассейны левых безымянных притоков р. Сауксай между устьями рек Кузгунтеке и Белеули	2 0,9	—	—	—	—	—	—	—	—	—	2 0,9
Белеули	32 7,8	5 3,8	8 10,2	2 3,8	5 11,8	—	2 13,7	—	—	—	54 51,1
Айвырджигар	2 0,5	—	—	—	—	—	—	—	—	—	2 0,5
Кырчин	—	—	—	—	1 2,5	—	—	—	—	—	2,5 2
Левый безымянный приток р. Сауксай между устьями рек Кырчин и Рангджилга	1 0,3	1 0,6	—	—	—	—	—	—	—	—	0,9
Рангджилга	—	—	—	1 1,7	—	—	—	—	—	—	1 1,7
Султанат	1 0,2	—	—	—	—	—	—	—	—	—	1 0,2
Сасыкичке	1 0,5	—	—	—	—	—	—	—	—	—	1 0,5
Каинды	24 6,2	5 3,9	4 4,7	1 1,9	2 4,5	—	—	—	—	—	36 21,5

Бассейн реки	Размеры ледников, км ²										Всего
	0,1—0,5	0,6—1,0	1,1—1,5	1,6—2,0	2,1—3,0	3,1—5,0	5,1—10,0	10,1—20,0	20,1—50,0	>50,0	
Правый безымянный приток р. Сельдара между устьями рек Каинды и Балындкык	—	—	1,5	—	—	—	—	—	—	—	1,5
Каинды (южн.)	5 1,5	3 1,8	1 1,4	1 2,0	—	—	—	1 5,8	—	—	11 12,5
Караджилга (зап.)	10 2,3	3 2,1	2 2,4	2 3,7	3 7,1	1 3,7	—	—	—	—	21 21,3
Зулумарт	37 7,5	10 7,8	7 8,8	1 2,0	—	12,8 3	—	—	—	—	58 38,9
Верховья р. Балындкык	27 7,4	8 6,4	4 5,8	2 3,5	4 10,1	3 11,4	1 7,4	1 14,3	—	—	50 66,3
Джайляукумсай	10 2,7	3 2,6	2 2,5	—	—	8,6 2	13,2 2	39,1 3	—	—	22 68,7
Левые притоки р. Балындкык между устьями рек Джайляукумсай и Кызыурган	16 4,4	9 7,1	2 2,3	—	2 4,9	3 12,5	1 8,0	1 11,4	—	—	34 50,6
Кызыурган	20 5,0	2 1,6	—	1 1,6	3 7,2	5 19,8	2 12,3	1 12,0	2 44,6	—	36 104,1
Левые безымянные притоки р. Сельдара между устьями рек Малого Танымаса и Сауксай	6 1,1	—	—	—	—	—	—	—	—	—	6 1,1
Левый безымянный приток р. Муксу выше устья р. Джилкы-Чигаргу	2 0,6	—	—	—	1 2,1	1 3,1	—	—	—	—	4 5,8
Джилкы-Чигаргу	1 0,2	—	—	—	—	—	—	—	—	—	1 0,2
Левые безымянные притоки р. Муксу между устьями рек Джилкы-Чигаргу и Борбаш	1 0,1	1 0,7	—	—	—	—	—	—	—	—	2 0,8
Борбаш	1 0,2	1 0,6	2 2,4	—	—	—	—	—	—	—	4 3,2
Кичиалай	3 1,0	—	—	—	—	—	—	—	—	—	3 1,0
Аюджилга	9 1,9	1 0,7	—	1 1,6	1 2,5	—	1 6,9	—	—	—	13 13,6
Карасель	2 0,7	—	1 1,2	—	1 2,7	—	—	1 17,1	—	—	5 21,7
Левые безымянные притоки р. Муксу между устьями рек Карасель и Фортамбек	6 1,1	—	1 1,2	1 1,8	—	1 3,8	—	—	—	—	9 7,9
Фортамбек	25 6,8	5 4,0	—	—	1 2,6	2 8,0	—	2 30,1	3 77,4	—	38 128,9
Левые безымянные притоки р. Муксу между устьями рек Фортамбек и Сугран	4 1,1	2 1,5	1 1,2	—	—	—	1 5,6	—	—	—	8 9,4
Сугран	21 4,8	5 3,7	1 1,2	2 3,5	1 2,3	—	2 15,0	1 16,4	1 47,1	—	34 94,0
Ирган	1 0,3	—	—	—	—	—	—	—	—	—	1 0,3
Ташлык	1 0,3	1 1,0	—	—	—	—	—	—	—	—	2 1,3
Шагазы	4 1,4	1 0,6	—	—	—	—	1 6,2	—	—	—	6 8,2
Ошанинсу	1 0,2	—	—	—	—	—	—	—	—	—	1 0,2
Левый безымянный приток р. Муксу между устьями рек Ошанинсу и Кызылсу	1 0,3	1 0,9	—	—	—	—	—	—	—	—	2 1,2
Кызылсу	5 1,1	5 3,6	1 1,3	—	—	1 3,1	1 8,2	1 15,6	—	—	14 32,9
Итого	403 99,7	116 88,3	57 71,7	27 48,6	41 99,4	33 29,2	23 153,4	18 248,5	10 129,2	1 53,0	729 1261,0

Таблица 23

Распределение ледников по морфологическим типам (в числителе — число ледников, в знаменателе — площадь, км²)

Бассейн реки	Морфологический тип												Всего
	сложный долинный	долинный	асимметричный долинный	висячий долинный	карово-долинный	каровый	висячий каровый	карово-висячий	висячий	кулувор	прискалонный	склоно-вый	
Ширвоза	1 4,3	1 4,1	—	2 1,1	1 0,6	2 0,3	—	—	1 0,1	1 0,4	—	—	9 10,9
Сурхангау	3 23,8	2 7,5	—	—	2 0,5	4 1,2	—	—	1,1 0,6	—	—	2 4,1	18 39,8
Правые безымянные притоки р. Муксу между устьями рек Сурхангау и Сатсу	—	1 1,6	—	—	—	—	—	—	2 0,6	—	—	—	4 2,7
Сатсу	1 2,9	—	—	—	—	—	—	—	5 0,8	—	—	—	6 3,7
Правые безымянные притоки р. Муксу между устьями рек Сатсу и Кызылсу	—	1 1,5	—	—	1 0,6	—	—	—	1 0,4	—	—	—	3 2,5
Кызылсу	2 28,3	5 13,3	—	2 1,4	4 3,6	2 1,7	—	—	2 1,9	—	1 0,1	—	22 52,5
Дорадек	—	1 2,0	—	1 1,1	3 3,8	—	—	—	0,5 1	—	—	—	8 7,4
Хытсу	—	1 0,7	—	1 1,0	—	—	—	—	0,3 1	—	—	—	3 2,0
Джилнак-Чахарнак	—	2 1,1	—	—	—	—	—	—	0,5 1	—	—	—	3 1,6
Кызыл-Токай	—	—	—	—	—	—	—	—	0,3 0,3	—	—	—	1 0,3
Терсагарсу	—	1 2,7	—	—	—	—	—	—	—	—	—	1 0,6	2 3,3
Тerek	—	1 0,8	—	1 2,3	—	—	—	—	—	—	—	—	1 0,8
Сасыктеке	—	—	—	—	3 5,4	—	—	4 2,3	2 0,7	—	—	—	10 10,7
Камансу	1 5,3	—	—	—	1 1,4	5 1,4	—	1 0,3	1 0,7	—	—	—	12 9,7
Чакманташ	2 20,8	3 6,4	—	3 4,3	1 0,6	1 0,4	—	—	10 10	—	—	—	21 36,0
Правый безымянный приток р. Сауксай между устьями рек Чакманташ и Кузгунтеке	—	—	—	—	1 0,4	—	—	—	—	—	—	—	1 0,4
Кузгунтеке	2 29,9	4 19,0	—	10 12,2	1 0,2	—	—	—	10 3,3	—	—	—	28 64,8
Верховья р. Сауксай выше устья р. Кузгунтеке	9 167,2	9 24,3	—	15 23,1	6 6,4	4 1,9	0,4	2 1,3	29 8,3	—	15 3,2	—	91 236,5
Левые безымянные притоки р. Сауксай между устьями рек Кузгунтеке и Белеули	—	—	—	—	1 0,5	—	—	—	1 0,4	—	—	—	2 0,9
Белеули	3 15,1	7 10,6	3 5,1	6 6,5	2 1,1	3 3,1	—	—	14 3,3	8 2	4 1,5	2,0	54 51,1
Айвырджигар	—	—	—	—	—	—	—	—	0,5	—	—	—	2 0,5
Кырчин	—	—	—	—	—	—	—	—	—	—	—	1 2,5	1 2,5
Левый безымянный приток р. Сауксай между устьями рек Кырчин и Рангджилга	—	—	—	—	—	—	—	—	2 0,9	—	—	—	2 0,9
Рангджилга	—	—	—	—	—	1,7	—	—	—	—	—	—	1 1,7
Султанат	—	—	—	—	—	—	—	—	1 0,2	—	—	—	1 0,2
Сасыктике	—	—	—	—	—	—	—	—	1 0,5	—	—	—	1 0,5
Каннды	2 4,3	4 4,1	—	3 2,2	3 3,0	2 0,7	—	—	10 2,5	10 3,1	—	—	36 21,5

Бассейн реки	Морфологический тип											Всего	
	сложный долинный	долинный	асимметричный долинный	висячий долинный	карово-долинный	каропый	висячий каропый	карово-висячий	висячий	кулуаров	прислоновый	склоновый	
Правый безымянный приток р. Сельдара между устьями рек Каинды и Балындкык	—	1 1,5	—	—	—	—	—	—	—	—	—	—	1 1,5
Каинды (южн.)	1 5,8	1 2,0	—	2 2,0	3 1,6	—	—	—	4 1,1	—	—	—	11 12,5
Караджилга (зап.)	—	7 14,3	—	—	4 4,7	2 0,6	—	—	8 1,7	—	—	—	21 21,3
Зулумарт	3 12,8	5 6,7	1 0,6	4 3,0	5 5,1	1 0,2	—	3 1,1	13 3,5	18 3,2	5 2,7	58 38,9	
Верховья р. Балындкык	5 26,9	8 22,8	—	4 3,8	8 4,5	6 1,5	—	2 0,6	4 0,9	7 1,3	6 4,0	50 66,3	
Джайллякумсай	4 46,1	4 15,9	—	—	4 4,0	1 0,2	3 1,0	2 0,7	3 0,5	1 0,3	—	—	22 68,7
Левые безымянные притоки р. Балындкык между устьями рек Джайллякумсай и Кызкурган	3 23,9	5 12,2	—	6 4,3	5 6,1	—	1 0,4	2 0,9	6 1,3	6 1,5	—	—	34 50,6
Кызкурган	4 51,4	9 42,8	—	3 1,4	3 4,9	1 0,4	—	1 0,4	9 1,6	6 1,2	—	—	36 104,1
Левые безымянные притоки р. Сельдара между устьями рек Малого Танымаса и Сауксай	—	—	—	—	—	—	—	—	6 1,1	—	—	—	6 1,1
Левый безымянный приток р. Муксу выше устья р. Джилкы-Чигаргу	—	1 2,1	—	—	—	—	—	—	2 0,6	—	—	—	1 3,1
Джилкы-Чигаргу	—	—	—	—	—	—	—	—	—	1 0,2	—	—	1 0,2
Левые безымянные притоки р. Муксу между устьями рек Джилкы-Чигаргу и Борбаш	—	—	—	—	1 0,7	—	—	—	—	1 0,1	—	—	2 0,8
Борбаш	1 1,4	—	—	—	—	2 0,8	—	—	—	—	—	—	1 1,0
Кичиалай	—	—	—	—	—	2 0,6	—	—	1 0,4	—	—	—	1 1,0
Аюджилга	—	1 6,9	—	—	2 3,2	1 1,6	—	1 0,3	1 0,1	7 1,5	—	—	13 13,6
Карасель	1 17,1	—	—	—	—	—	—	—	1 0,5	1 0,2	—	—	5 3,9
Левые безымянные притоки р. Муксу между устьями рек Карасель и Фортамбек	—	2 5,6	—	—	1 0,3	—	—	1 0,3	4 1,6	1 0,1	—	—	9 7,9
Фортамбек	5 90,9	2 4,0	—	5 25,2	2 1,2	8 2,3	—	1 0,4	10 3,6	5 1,3	—	—	38 128,9
Левые безымянные притоки р. Муксу между устьями рек Фортамбек и Сугран	1 1,2	1 5,6	—	—	6 2,6	—	—	—	—	—	—	—	8 9,4
Сугран	4 70,3	2 12,2	—	5 2,4	2 2,1	2 0,9	1 0,3	1 0,6	15 3,8	1 0,2	—	—	34 94,0
Ирган	—	—	—	—	1 0,3	—	—	—	—	—	—	—	0,3
Ташлык	—	—	—	—	2 1,3	—	—	—	—	—	—	—	2 1,3
Шагазы	1 6,2	—	—	1 0,4	1 0,4	—	1 0,6	—	2 0,6	—	—	—	6 8,2
Ошанинсу	—	—	—	—	—	—	—	—	1 0,2	—	—	—	1 0,2

Продолжение табл. 23

Бассейн реки	Морфологический тип											Всего	
	сложный долинный	долинный	асимметричный долинный	висячий долинный	карово-долинный	каровый	висячий каровый	карово-висячий	висячий	кууларов	прислопольный		
Левый безымянный приток р. Муксу между устьями рек Ошанинсу и Кызылсу	—	—	—	—	2 1,2	—	—	—	—	—	—	2 1,2	
Кызылсу	1 15,6	2 11,3	—	1 1,3	2 1,8	—	—	2 1,2	6 1,7	—	—	14 32,9	
Итого	60 671,5	94 265,6	5 8,0	74 96,7	78 74,6	57 23,1	8 3,0	25 13,0	205 55,8	92 19,8	6 3,0	25 26,9	729 1261,0

Таблица 24

Распределение ледников по экспозициям (в числителе — количество ледников, в знаменателе — площадь, км²)

Бассейн реки	С	СВ	В	ЮВ	Ю	ЮЗ	З	СЗ	Всего
Ширвоза	—	—	<u>1</u> 0,3	<u>2</u> 1,2	<u>2</u> 8,4	<u>1</u> 0,6	<u>3</u> 0,4	—	<u>9</u> 10,9
Сурхангау	—	<u>5</u> 1,6	<u>4</u> 4,7	<u>2</u> 11,9	—	<u>4</u> 20,0	<u>2</u> 0,4	<u>1</u> 1,2	<u>18</u> 39,8
Правые безымянные притоки р. Муксу между устьями рек Сурхангау и Сатсу	—	—	<u>1</u> 0,3	<u>1</u> 1,6	<u>2</u> 0,8	—	—	—	<u>4</u> 2,7
Сатсу	—	—	<u>1</u> 0,1	<u>4</u> 3,4	<u>1</u> 0,2	—	—	—	<u>6</u> 3,7
Правые безымянные притоки р. Муксу между устьями рек Сатсу и Кызылсу	—	—	<u>1</u> 0,4	<u>2</u> 2,1	—	—	—	—	<u>3</u> 2,5
Кызылсу	<u>1</u> 0,2	<u>5</u> 4,3	<u>2</u> 24,2	<u>4</u> 7,3	<u>2</u> 1,4	<u>2</u> 4,9	<u>3</u> 8,4	<u>3</u> 1,8	<u>22</u> 52,5
Дорадек	—	—	—	<u>2</u> 2,1	<u>2</u> 1,3	<u>3</u> 2,6	<u>1</u> 1,4	—	<u>8</u> 7,4
Хытсу	—	—	—	<u>1</u> 0,3	<u>1</u> 0,7	<u>1</u> 1,0	—	—	<u>3</u> 2,0
Джилнак-Чахарнак	—	—	—	—	<u>2</u> 1,1	<u>1</u> 0,5	—	—	<u>3</u> 1,6
Кызыл-Токай	—	—	—	—	<u>1</u> 0,3	—	—	—	<u>1</u> 0,3
Терсагарсу	—	<u>1</u> 0,6	<u>1</u> 2,7	—	—	—	—	—	<u>2</u> 3,3
Тerek	—	—	—	—	<u>1</u> 0,8	—	—	—	<u>1</u> 0,8
Сасыктеке	<u>1</u> 0,3	<u>2</u> 3,3	<u>1</u> 2,1	<u>2</u> 0,8	—	—	<u>2</u> 0,9	<u>2</u> 3,3	<u>10</u> 10,7
Камансу	—	<u>5</u> 2,6	<u>2</u> 0,5	—	<u>2</u> 5,4	—	<u>3</u> 1,2	—	<u>12</u> 9,7
Чакманташ	<u>1</u> 6,5	<u>1</u> 0,6	<u>1</u> 0,3	<u>5</u> 4,5	<u>2</u> 14,9	<u>4</u> 2,9	<u>4</u> 5,7	<u>3</u> 0,6	<u>21</u> 36,0
Правый безымянный приток р. Сауксай между устьями рек Чакманташ и Кузгунтеке	—	—	—	<u>1</u> 0,4	—	—	—	—	<u>1</u> 0,4
Кузгунтеке	<u>1</u> 0,2	<u>3</u> 1,1	<u>1</u> 0,8	<u>4</u> 4,7	<u>5</u> 26,5	<u>7</u> 12,0	<u>3</u> 14,7	<u>4</u> 4,8	<u>28</u> 64,8
Верховья р. Сауксай выше устья р. Кузгунтеке	<u>8</u> 11,2	<u>18</u> 60,2	<u>9</u> 15,8	<u>4</u> 3,7	<u>5</u> 98,8	<u>16</u> 21,9	<u>10</u> 12,5	<u>21</u> 12,4	<u>91</u> 236,5
Левые безымянные притоки р. Сауксай между устьями рек Кузгунтеке и Белеули	<u>1</u> 0,4	—	—	—	—	—	—	<u>1</u> 0,5	<u>2</u> 0,9
Белеули	<u>13</u> 17,3	<u>21</u> 19,7	<u>5</u> 6,4	<u>2</u> 0,4	<u>1</u> 0,2	<u>1</u> 0,5	<u>3</u> 3,0	<u>8</u> 3,6	<u>54</u> 51,1
Айвырджигар	<u>1</u> 0,1	—	—	—	—	—	—	<u>1</u> 0,4	<u>2</u> 0,5
Кырчин	<u>1</u> 2,5	—	—	—	—	—	—	—	<u>1</u> 2,5
Левый безымянный приток р. Сауксай между устьями рек Кырчин и Рангджилга	<u>2</u> 0,9	—	—	—	—	—	—	—	<u>2</u> 0,9
Рангджилга	<u>1</u> 1,7	—	—	—	—	—	—	—	<u>1</u> 1,7
Сультанат	—	<u>1</u> 0,2	—	—	—	—	—	—	<u>1</u> 0,2
Сасыкичке	—	—	—	—	—	—	—	<u>1</u> 0,5	<u>1</u> 0,5
Кайнды	<u>7</u> 5,9	<u>10</u> 6,8	—	<u>2</u> 0,5	<u>1</u> 1,9	<u>4</u> 1,6	<u>1</u> 0,2	<u>11</u> 4,6	<u>36</u> 21,5
Правый безымянный приток р. Сельдара между устьями рек Кайнды и Бияндик	—	—	—	—	—	—	—	<u>1</u> 1,5	<u>1</u> 1,5
Кайнды (южн.)	<u>4</u> 1,9	—	—	—	—	<u>2</u> 2,0	<u>1</u> 5,8	<u>4</u> 2,8	<u>11</u> 12,5
Караджилга (зап.)	<u>1</u> 0,2	<u>2</u> 0,4	<u>1</u> 0,4	<u>3</u> 2,6	<u>1</u> 0,2	<u>6</u> 13,1	—	<u>7</u> 4,4	<u>21</u> 21,3

Бассейн реки	С	СВ	В	ЮВ	Ю	ЮЗ	З	СЗ	Всего
Зулумарт	15 18,7	6 3,0	8 3,7	4 1,4	—	4 2,8	5 1,6	16 7,7	58 38,9
Верховья р. Балындкий	6 23,1	21 27,5	9 8,4	3 1,4	—	1 0,4	4 1,6	6 3,9	50 66,3
Джайлякумсай	3 13,4	6 26,8	8 20,6	—	—	—	—	5 7,9	22 68,7
Левые притоки р. Балындкий между устьями рек Джайлякумсай и Кызкурган	6 7,5	13 34,8	2 2,9	2 0,3	1 0,2	—	1 0,4	9 4,5	34 50,6
Кызурган	5 25,9	12 47,6	3 13,0	2 0,5	—	2 0,6	3 0,8	9 15,7	36 104,1
Левые безымянные притоки р. Сельдара между устьями рек Малого Танымаса и Сауксай	— —	5 1,0	1 0,1	—	—	—	—	— —	6 1,1
Левый безымянный приток р. Муксу выше устья р. Джилкы-Чигаргу	2 5,2	1 0,5	—	—	—	—	—	1 0,1	4 5,8
Джилкы-Чигаргу	— —	1 0,2	—	—	—	—	—	— —	0,2 0,8
Левые безымянные притоки р. Муксу между устьями рек Джилкы-Чигаргу и Борбаш	— —	— —	— —	— —	— —	— —	— —	2 0,8	2 0,8
Борбаш	1 1,4	2 1,6	— —	1 0,2	—	— —	— —	— —	4 3,2
Кичиалай	— —	3 1,0	— —	— —	— —	— —	— —	— —	3 1,0
Аюджилга	1 6,9	5 2,4	1 0,7	— —	— —	1 0,1	1 2,5	4 1,0	13 13,6
Карасель	3 21,0	1 0,5	1 0,2	— —	— —	— —	— —	— —	5 21,7
Левые безымянные притоки р. Муксу между устьями рек Карасель и Фортамбек	2 5,0	— —	3 0,7	— —	— —	1 0,2	2 0,2	1 1,8	9 7,9
Фортамбек	4 37,5	11 20,6	3 0,9	4 1,0	3 2,0	4 3,9	4 41,4	5 21,6	38 128,9
Левые безымянные притоки р. Муксу между устьями рек Фортамбек и Сугран	2 6,5	6 2,9	— —	— —	— —	— —	— —	— —	8 9,4
Сугран	5 1,3	5 3,1	4 8,4	4 2,0	1 0,2	6 2,6	3 1,1	6 75,3	34 94,0
Ирган	1 0,3	— —	— —	— —	— —	— —	— —	— —	1 0,3
Ташлык	1 0,3	— —	— —	— —	— —	— —	— —	1 1,0	2 6
Шагазы	1 0,6	4 7,2	— —	— —	— —	— —	— —	1 0,4	8,2 1
Ошанинсу	— —	— —	— —	— —	— —	— —	— —	— —	0,2 0,2
Левый безымянный приток р. Муксу между устьями рек Ошанинсу и Кызылсу	2 1,2	— —	— —	— —	— —	— —	— —	— —	2 1,2
Кызылсу	3 17,2	2 0,8	3 2,2	— —	— —	2 0,2	1 0,6	3 11,9	14 32,9
Итого	106 242,3	178 282,9	77 120,8	61 54,3	36 165,3	73 94,4	60 104,8	138 196,2	729 1261,0

Экстремальные и средние высотные характеристики ледников по бассейнам рек, м

Бассейн реки	Высота низшей точки ледника			Высота верхней точки ледника			Высота фирновой линии		
	минимальная	средняя	максимальная	минимальная	средняя	максимальная	минимальная	средняя	максимальная
Ширвоза	3650	3960	4700	4250	5300	5440	3920	4740	5050
Сурхангау	3600	3950	4780	4200	5330	5640	4070	4770	5040
Правые безымянные притоки р. Муксу между устьями рек Сурхангау и Сатсу	3480	3870	5150	4500	4910	5540	4200	4400	5310
Сатсу	4000	4300	5500	5270	5370	5850	4630	4840	5740
Правые безымянные притоки р. Муксу между устьями рек Сатсу и Кызылсу	3650	4050	5000	5100	5170	5500	4440	4630	5210
Кызылсу	3200	3800	4900	4800	5530	5830	4360	4770	5250
Дорадек	4330	4460	5250	5140	5350	5540	4720	4870	5360
Хытсу	4460	4710	5100	5100	5290	5400	4700	4940	5210
Джилнак-Чахарнак	4740	4760	4780	4900	5030	5200	4840	4890	4990
Кызыл-Токай	4900	4900	4900	5240	5240	5240	5100	5100	5100
Терсагарсу	4350	4360	4400	4900	5370	5480	4680	4790	4820
Тerek	4500	4500	4500	5200	5200	5200	4840	4840	4840
Сасыктеке	4100	4300	4600	4950	5190	5330	4580	4700	4850
Камансу	4140	4350	4900	4800	5470	5680	4520	4880	5010
Чакманташ	4000	4230	5500	4700	5700	5910	4410	4940	5690
Правый безымянный приток р. Муксу между устьями рек Чакманташ и Кузгунтеке	4850	4850	4850	5300	5300	5300	5090	5090	5090
Кузгунтеке	3980	4310	5900	4840	6000	6710	4690	5100	6100
Верховья р. Сауксай выше устья р. Кузгунтеке	4000	4380	6600	4620	6350	7120	4330	5310	6720
Левые безымянные притоки р. Сауксай между устьями рек Кузгунтеке и Белеули	4400	4400	4400	4920	5130	5300	4720	4840	4930
Белеули	4060	4480	5240	4900	5480	5890	4480	4960	5470
Айырдженгар	4350	4360	4400	4750	5030	5100	4610	4730	4760
Кырчин	4100	4100	4100	5340	5340	5340	4740	4740	4740
Безымянный приток р. Сауксай между устьями рек Кырчин и Рангджилга	4120	4250	4500	5060	5070	5100	4670	4740	4880
Рангджилга	4780	4780	4780	6100	6100	6100	5280	5280	5280
Сультанат	4250	4250	4250	4920	4920	4920	4630	4630	4630
Сасыкличе	4440	4400	4440	5000	5000	5000	4760	4760	4760
Каинды	3820	4420	5150	4780	5210	5620	4470	4820	5340
Правый безымянный приток р. Сельдара между устьями рек Каинды и Балындик	3900	3900	3900	5200	5200	5200	4680	4680	4680
Каинды (южн.)	4400	4470	4940	5100	5470	5600	4800	4990	5220
Караджилга (зап.)	4500	4630	5200	5000	5420	5720	4740	4960	5290
Зулумарт	4320	4640	5250	4820	5490	5840	4750	5050	5320
Верховья р. Балындкик	4420	4590	5200	4940	5460	5750	4830	5040	5430
Джайлякумсай	4300	4500	5050	5000	5560	5750	4830	4960	5300
Левые притоки р. Балындкик между устьями рек Джайлякумсай и Кызкурган	3980	4500	5100	4770	5570	5770	4520	4920	5320
Кызкурган	4220	4370	5200	4900	5580	5800	4670	4940	5430
Левые безымянные притоки р. Сельдары между устьями рек Малого Танымаса и Сауксай	4700	4770	5000	5100	5360	5600	4940	5080	5280
Левый безымянный приток р. Муксу выше устья р. Джилкы-Чигаргу	2880	3760	4800	4450	5490	6200	3650	4700	5340
Джилкы-Чигаргу	4100	4100	4100	4850	4850	4850	4590	4590	4590
Левые безымянные притоки р. Муксу между устьями рек Джилкы-Чигаргу и Борбаш	3900	3960	4400	4800	5190	5250	4640	4690	4700
Борбаш	3730	4340	5100	4700	5150	5800	4110	4650	5450
Кициалай	4200	4310	4480	4400	4910	5180	4310	4590	4800
Аюджилга	4370	4470	6100	5000	6110	6400	4610	5060	6250
Карасель	2870	3300	5300	5320	7030	7100	4660	4900	6090
Левые безымянные притоки р. Муксу между устьями рек Карасель и Фортамбек	3400	3770	4700	4400	5190	5250	4220	4440	4920
Фортамбек	2850	3890	5800	4000	6190	7300	3740	4940	6030
Левые безымянные притоки р. Муксу между устьями рек Фортамбек и Сугран	3140	3400	4400	4050	4540	4800	3780	4030	4570
Сугран	2820	3450	5200	4400	6160	6720	4130	4710	5370

Бассейн реки	Высота низшей точки ледника			Высота верхней точки ледника			Высота фирновой линии		
	мини- мальная	средняя	макси- мальная	мини- мальная	средняя	макси- мальная	мини- мальная	средняя	макси- мальная
Ирган	3500	3500	3500	4100	4100	4100	3850	3850	3850
Ташлык	3500	3600	3630	4040	4430	4550	3760	4070	4160
Шагазы	2980	3260	4900	4800	5370	5500	3950	4090	4970
Ошанинсу	3820	3820	3820	4120	4120	4120	4000	4000	4000
Левый безымянный приток р. Муксу между устьями рек Ошанинсу и Кы- зылсу	3580	3600	3660	4250	4510	4600	3940	4080	4120
Кызылсу	3280	3480	4700	4050	5180	5700	3810	4220	5120
По району в целом	2820	4190	6600	4000	5810	7300	3650	4950	6720

Таблица 26

**Распределение площади ледников
по высоте в частных речных бассейнах, км²**

Распределение площади ледников по высоте в частных

Бассейн реки	Высотная									
	2820—3000	3000—3200	3200—3400	3400—3600	3600—3800	3800—4000	4000—4200	4200—4400	4400—4600	4600—4800
Ширвоза					0,15	0,30	0,43	0,81	1,83	2,25
Сурхангау					0,22	1,03	1,69	3,44	5,25	7,79
Правые безымянные прито- ки р. Муксу между устьями рек Сурхангау и Сатсу				0,08	0,18	0,25	0,42	0,52	0,38	0,29
Сатсу							0,24	0,45	0,51	0,78
Правые безымянные прито- ки р. Муксу между устья- ми рек Сатсу и Кызылсу					0,06	0,13	0,26	0,27	0,38	0,47
Кызылсу										
Дорадек										
Хытсу										
Джилнак-Чахарнак										
Кызыл-Токай										
Терсагарсу								0,03	0,74	1,10
Терек									0,08	0,20
Сасыктеке								0,22	1,04	2,10
Камансу								0,05	0,58	0,98
Чакманташ								2,26	2,91	2,81
Правый безымянный приток р. Сауксай между устья- ми рек Чакманташ и Куз- гунтеке										
Кузгунтеке										
Верховья р. Сауксай выше устья р. Кузгунтеке								0,09	1,88	2,89
Левые безымянные притоки р. Сауксай между устья- ми рек Кузгунтеке и Бе- леули									4,96	6,41
Белеули										
Айвырджигар										
Кырчин										
Левый безымянный приток р. Сауксай между устья- ми рек Кырчин и Рангд- жилга										
Рангджилга										
Сультанат										
Сасыкчице										
Кайнды										
Правый безымянный приток р. Сельдара между устья- ми рек Кайнды и Балянд- кик										
Кайнды (южн.)										
Караджилга (зап.)										
Зулумарт										
Верховья р. Баляндкик										
Джайлякумсай										
Левые притоки р. Балянд- кик между устьями рек Джайлякумсай и Кыз- курган										
Кызкурган										
Левые безымянные притоки р. Сельдара между усть- ями рек Малого Танымса- и Сауксай										
Левый безымянный приток р. Муксу выше устья р. Джилкы-Чигаргу	0,10	0,47	0,15	0,13	0,20	0,36	0,37	0,26	0,16	0,30
Джилкы-Чигаргу										
Левые безымянные притоки р. Муксу между устьями рек Джилкы-Чигаргу и Борбаш										
Борбаш										
Кичиалый										
Аюджилга										
Карасель	0,14	0,47	0,73	1,39	0,83	1,08	1,90	1,54	1,01	1,08

Таблица 26

речных бассейнах, км²

зоны, м												Всего, км ²	
4800—5000	5000—5200	5200—5400	5400—5600	5600—5800	5800—6000	6000—6200	6200—6400	6400—6600	6600—6800	6800—7000	7000—7200	7200—7400	
2,30 9,77 0,38	1,67 6,71 0,10	1,11 3,06 0,13	0,05 1,00 0,07	0,04									10,9 40,0 2,8
0,58	0,26	0,10	0,42	0,36									3,7
0,41	0,32	0,16	0,04										2,5
10,53 1,89 0,69 1,20 0,04 0,77 0,37 0,37 2,86 2,74 5,69	8,67 1,58 0,50 0,22 0,22 0,33 0,15 0,15 1,04 2,08 7,65	5,66 0,76 0,29	2,36 0,20	0,80	0,06								52,7 7,6 2,0 1,6 0,3 3,3 0,8 10,8 9,8 36,2
0,11 10,07 35,96	0,21 11,25 37,97	0,08 10,25 32,08	7,33 28,01	5,25 21,06	2,27 14,96	1,17 12,46	0,64 7,30	0,41 4,65	0,23 2,76	1,18	0,46		0,4 65,1 238,1
0,35	0,17	0,03											1,0
12,96 0,14 0,48 0,34	10,14 0,02 0,53 0,10	7,99 0,18	3,63	0,59	0,04								51,4 0,5 2,5 0,9
0,12 0,06 0,21 6,53 0,28	0,25 3,80 0,23	0,32 1,29	0,31 0,62	0,32 0,05	0,29	0,08							1,7 0,2 0,5 23,1 1,6
4,00 6,95 10,78 17,70 24,12	3,81 6,33 13,02 24,75 20,24	1,77 2,83 8,10 12,68 8,45	0,33 0,73 2,05 2,67 1,74	0,16 0,19 0,50 0,11	0,03								12,7 21,6 39,7 67,7 69,3
13,71	14,73	8,14	3,15	0,64									51,1
29,70 0,33	24,51 0,48	15,67 0,27	3,98 0,06	0,51									104,2 1,2
0,50	0,72	0,64	0,48	0,53	0,35	0,08							5,8
0,02 0,20	0,07	0,01											0,2 0,8
0,01 0,10 2,21 1,10	0,04 0,06 2,04 1,31	0,34 0,96 1,55 1,49	0,48 1,64	0,19 1,34	0,41 1,18	0,30 0,99	0,36 0,77	0,24 0,72	0,02 0,61	0,31	0,07		3,2 1,0 13,8 21,7

Бассейн реки	Высотная									
	2820—3000	3000—3200	3200—3400	3400—3600	3600—3800	3800—4000	4000—4200	4200—4400	4400—4600	4600—4800
Левые безымянные притоки р. Муксу между устьями рек Карасель и Фортамбек				0,15	0,39	0,79	1,26	1,28	1,04	0,91
Фортамбек	0,28	1,18	1,24	1,76	3,03	7,13	9,78	9,22	9,54	14,46
Левые безымянные притоки р. Муксу между устьями рек Фортамбек и Сугран	0,16	0,16	0,57	0,60	1,28	1,73	1,49	1,71	1,49	0,47
Сугран										
Ирган	0,16	0,40	1,17	1,74	3,67	3,93	6,80	11,88	10,61	12,77
Ташлык				0,01	0,12	0,12	0,05			
Шагазы				0,03	0,24	0,25	0,34	0,32	0,22	
Ошанинсу	0,07	1,43	1,33	0,19	0,26	0,34	0,45	0,46	0,66	1,06
Левый безымянный приток р. Муксу между устьями рек Ошанинсу и Кызылсу				0,02	0,21	0,29	0,25	0,22	0,21	
Кызылсу			0,39	2,44	5,59	4,92	3,66	3,35	3,97	3,83
Итого	0,75	4,11	6,17	9,56	18,12	24,70	37,26	59,06	97,93	175,26

Таблица 26 (окончание)

Зона, м												Всего, км ²	
4800—5000	5000—5200	5200—5400	5400—5600	5600—5800	5800—6000	6000—6200	6200—6400	6400—6600	6600—6800	6800—7000	7000—7200	7200—7400	
1,31	0,71	0,06											7,9
13,02	9,60	8,44	7,94	14,73	8,53	4,33	1,91	1,31	0,86	0,56	0,11	0,04	129,0 9,5
11,99	8,75	7,71	5,25	2,95	2,30	1,49	0,44	0,12	0,07				94,2 0,3 1,4 8,2 0,2 1,2
1,09	0,47	0,31	0,08										
2,50	1,60	0,52	0,10	0,03									32,9
249,17	229,41	150,08	79,68	51,97	30,52	20,90	11,42	7,45	4,55	2,05	0,64	0,04	1270,8

Таблица 27

Сводные сведения об оледенении частных бассейнов

Бассейн реки	Количество ледниковых размерами		Площадь ледников (км^2) размерами		Площадь области аблации, км^2		Объем льда, км^3
	$<0,1 \text{ км}^2$	$\geq 0,1 \text{ км}^2$	$<0,1 \text{ км}^2$	$\geq 0,1 \text{ км}^2$	общая	в том числе открытой части	
Ширвоза	—	9	—	10,9	5,5	5,5	0,5122
Сурхангау	3	18	0,2	39,8	17,9	17,2	2,6450
Правые безымянные притоки р. Муксу между устьями рек Сурхангау и Сатсу	2	4	0,1	2,7	1,1	0,9	0,0729
Сатсу	—	6	—	3,7	1,6	1,6	0,1423
Правые безымянные притоки р. Муксу между устьями рек Сатсу и Кызылсу	—	3	—	2,5	1,3	0,7	0,0689
Кызылсу	4	22	0,2	52,5	23,2	18,7	4,2046
Дорадек	3	8	0,2	7,4	3,7	3,4	0,2296
Хытсу	—	3	—	2,0	1,0	1,0	0,0476
Джилнак-Чахарнак	—	3	—	1,6	0,8	0,6	0,0315
Кызыл-Токай	—	1	—	0,3	0,2	0,2	0,0044
Терсагарсу	—	2	—	3,3	1,8	1,6	0,1323
Терек	—	1	—	0,8	0,4	0,3	0,0193
Сасыктеке	1	10	0,1	10,7	5,3	5,3	0,3643
Камансу	1	12	0,1	9,7	4,7	4,6	0,4288
Чакманташ	6	21	0,2	36,0	16,3	15,4	2,4044
Правый безымянный приток р. Сауксай между устьями рек Чакманташ и Кузгунтеке	—	1	—	0,4	0,2	0,2	0,0068
Кузгунтеке	7	28	0,3	64,8	30,3	26,0	5,7357
Верховья р. Сауксай выше устья р. Кузгунтеке	29	91	1,6	236,5	115,3	105,8	26,1251
Бассейны левых безымянных притоков между устьями рек Кузгунтеке и Белеули	2	2	0,1	0,9	0,4	0,4	0,0163
Белеули	6	54	0,3	51,1	24,3	24,0	2,1319
Айвырджигар	—	2	—	0,5	0,2	0,2	0,0076
Кырчин	—	1	—	2,5	1,2	1,2	0,1067
Левый безымянный приток р. Сауксай между устьями рек Кырчин и Рангдилга	—	2	—	0,9	0,3	0,3	0,0169
Раджилга	—	1	—	1,7	0,9	0,9	0,0598
Султанат	—	1	—	0,2	0,1	0,1	0,0024
Сасыкичке	—	1	—	0,5	0,2	0,2	0,0095
Каинды	28	36	1,6	21,5	10,5	10,5	0,5836
Правый безымянный приток р. Сельдара между устьями рек Каинды и Балындкик	2	1	0,1	1,5	0,7	0,7	0,0496
Каинды (южн.)	3	11	0,2	12,5	6,5	6,5	0,5585
Караджилга (зап.)	4	21	0,3	21,3	10,4	10,4	0,7743
Зулумарт	14	58	0,8	38,9	19,5	19,3	1,3549
Верховья р. Балындкик	21	50	1,4	66,3	30,7	29,3	3,6271
Джайлякумсай	11	22	0,6	68,7	35,1	33,9	5,4659
Левые безымянные притоки р. Балындкик между устьями рек Джайлякумсай и Кыз-курган	11	34	0,5	50,6	25,1	24,6	2,8552
Кызкурган	2	36	0,1	104,1	52,8	52,8	9,1867
Левые безымянные притоки р. Сельдара между устьями рек Малого Танымаса и Сауксай	1	6	0,1	1,1	0,4	0,4	0,0143
Левый безымянный приток р. Муксу выше устья р. Джил-кы-Чигаргу	1	4	—	5,8	2,6	2,1	0,2400
Джилкы-Чигаргу	—	1	—	0,2	0,1	0,1	0,0024
Левые безымянные притоки р. Муксу между устьями рек Джилкы-Чигаргу и Борбаш	—	2	—	0,8	0,3	0,3	0,0167
Борбаш	—	4	—	3,2	1,7	1,3	0,0866
Кичиалай	—	3	—	1,0	0,5	0,5	0,0160
Аюджилга	4	13	0,2	13,6	7,5	7,5	0,6911
Карасель	—	5	—	21,7	11,7	8,0	2,0764
Левые безымянные притоки р. Муксу между устьями рек Карасель и Фортамбек	1	9	—	7,9	4,0	3,5	0,3146
Фортамбек	3	38	0,1	128,9	54,7	47,7	14,8514

Таблица 27 (продолжение)

Бассейн реки	Количество ледников размерами		Площадь ледников (км^2) размерами		Площадь области аблации, км^2		Объем льда, км^3
	$<0,1 \text{ км}^2$	$\geq 0,1 \text{ км}^2$	$<0,1 \text{ км}^2$	$\geq 0,1 \text{ км}^2$	общая	в том числе открытой части	
Левые безымянные притоки р. Муксу между устьями рек Фортамбек и Сурган	1	8	0,1	9,4	4,4	4,4	0,4454
Сурган	3	34	0,2	94,0	46,4	38,8	12,0824
Ирган	—	1	—	0,3	0,1	0,1	0,0044
Ташлык	1	2	0,1	1,3	0,6	0,4	0,0314
Шагазы	—	6	—	8,2	4,3	3,4	0,4533
Ошанинсу	—	1	—	0,2	0,1	0,1	0,0024
Левый безымянный приток р. Муксу между устьями рек Ошанинсу и Кызылсу	—	2	—	1,2	0,7	0,7	0,0275
Кызылсу	—	14	—	32,9	17,3	14,4	2,5841
Итого	175	729	9,8	1261,0	606,9	558,0	103,9230

Таблица 28

Колебания ледников Мушкетова (Карасель) и Музджилга

Период наблюдений, годы	Величина колебаний, м «—» отступление, «+» наступление	Исполнитель съемок	Период наблюдений, годы	Величина колебаний, м «—» отступление, «+» наступление	Исполнитель съемок
Ледник Мушкетова (Карасель) (№ 710)					
1914—1926	—100	Н. Л. Корженевский	1969—1970	+15	В. В. Бухвостов, А. М. Величко
1926—1930	—171	В. И. Попов	1970—1971	+20	Л. Н. Соколов, А. М. Величко
1930—1932	—225	В. Е. Гордиенко, К. М. Громов	1971—1972	+20	А. А. Яблоков, Л. Н. Ульченко
1932—1964	—1140	В. В. Лоскутов, Б. Л. Кошелев	1972—1973	+20	В. В. Бухвостов, Л. Н. Ульченко
1967—1969	+40	В. В. Бухвостов, Л. Н. Ульченко, В. С. Одинцов, Н. Д. Цымбалюк, А. А. Яблоков	Ледник Музджилга (№ 683)		В. В. Лоскутов, Б. Л. Кошелев
			1933—1964	—50	



Рис. 33. Язык ледника № 116 в бассейне р. Сурхангау. Фото Л. В. Десинова.



Рис. 34. Ледники бассейна р. Сурхангау. Фото В. А. Рудакова и Л. В. Десинова.



Рис. 35. Ледники бассейна р. Чакманташ (№ 218 и 219). Фото Л. В. Десинова.

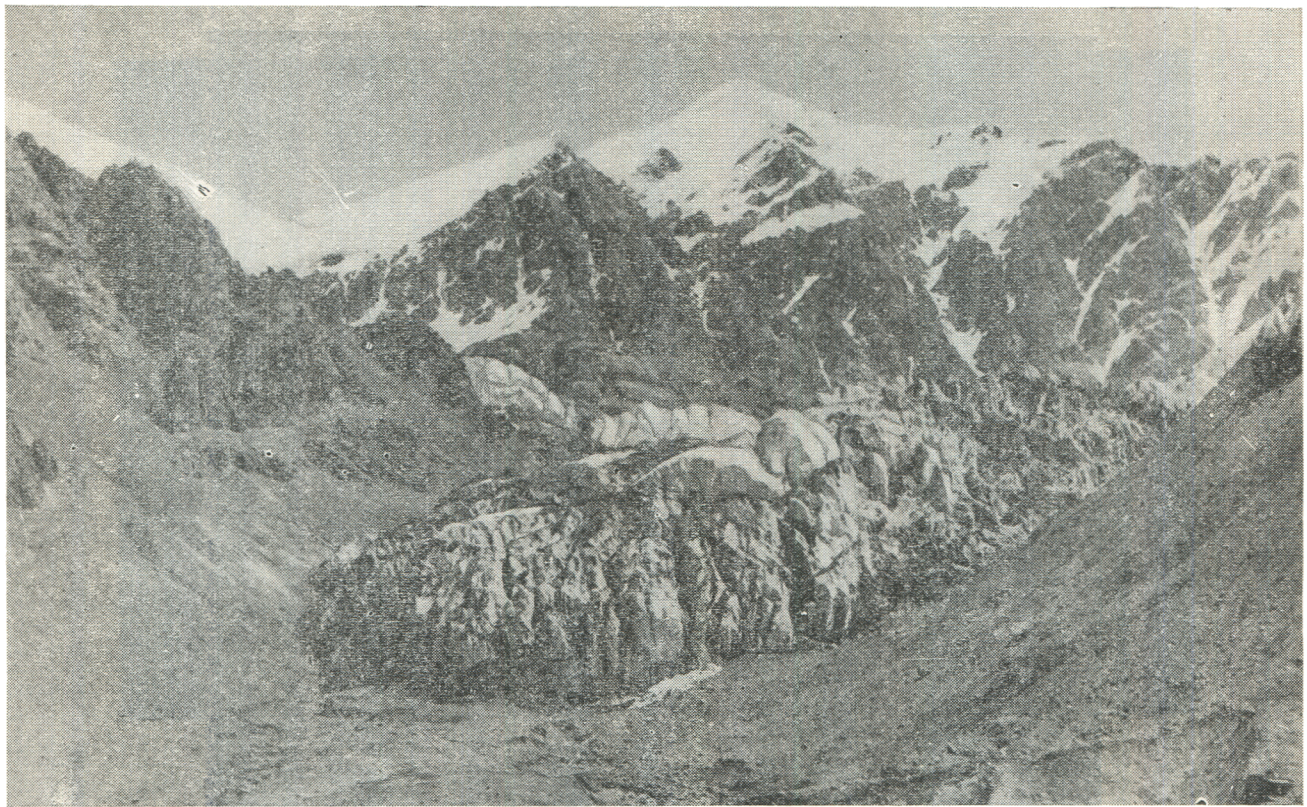


Рис. 36. Поверхность ледника № 219 в бассейне р. Чакманташ. Фото Л. В. Десинова.



Рис. 37. Поверхность ледника Дзержинского (№ 265). Фото Л. В. Десинова.



Рис. 38. Трещины и ледниковый стол на поверхности ледника Большой Саукдара (№ 282). Фото Л. В. Десинова.



Рис. 39. Левый рандклюфт ледника Большой Саукдара (№ 282). Фото В. И. Рацека.

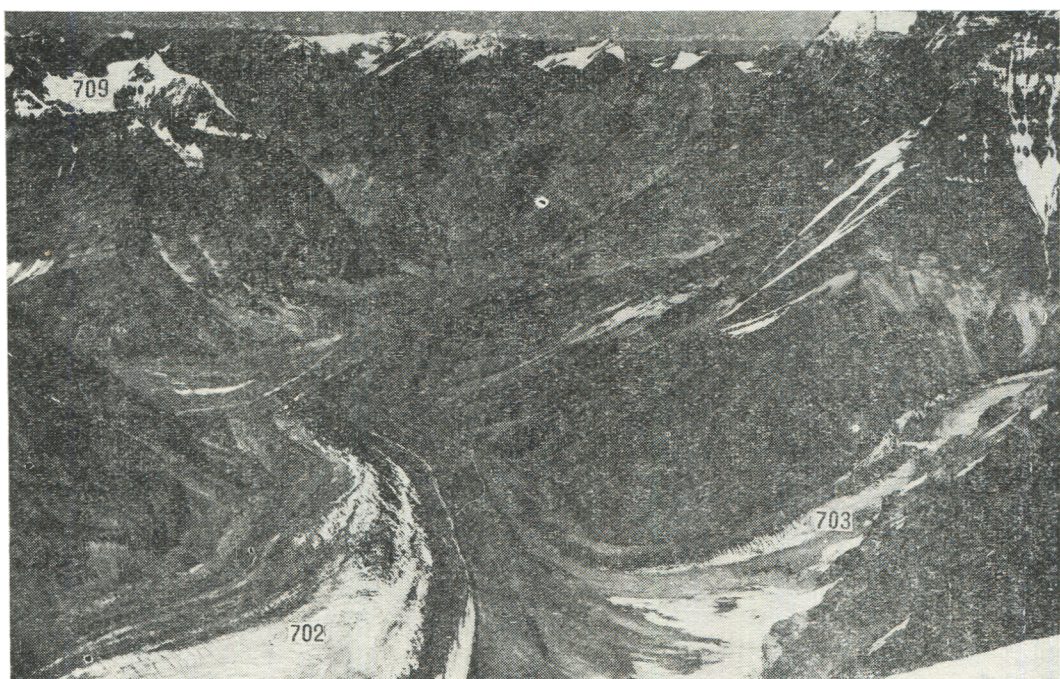


Рис. 40. Средняя и нижняя части ледника Аюджилга (№ 702).
Фото В. А. Рудакова и Л. В. Десинова.



Рис. 41. Истоки ледника Мушкетова (Карасель) (№ 710). Фото Г. В. Калинина.

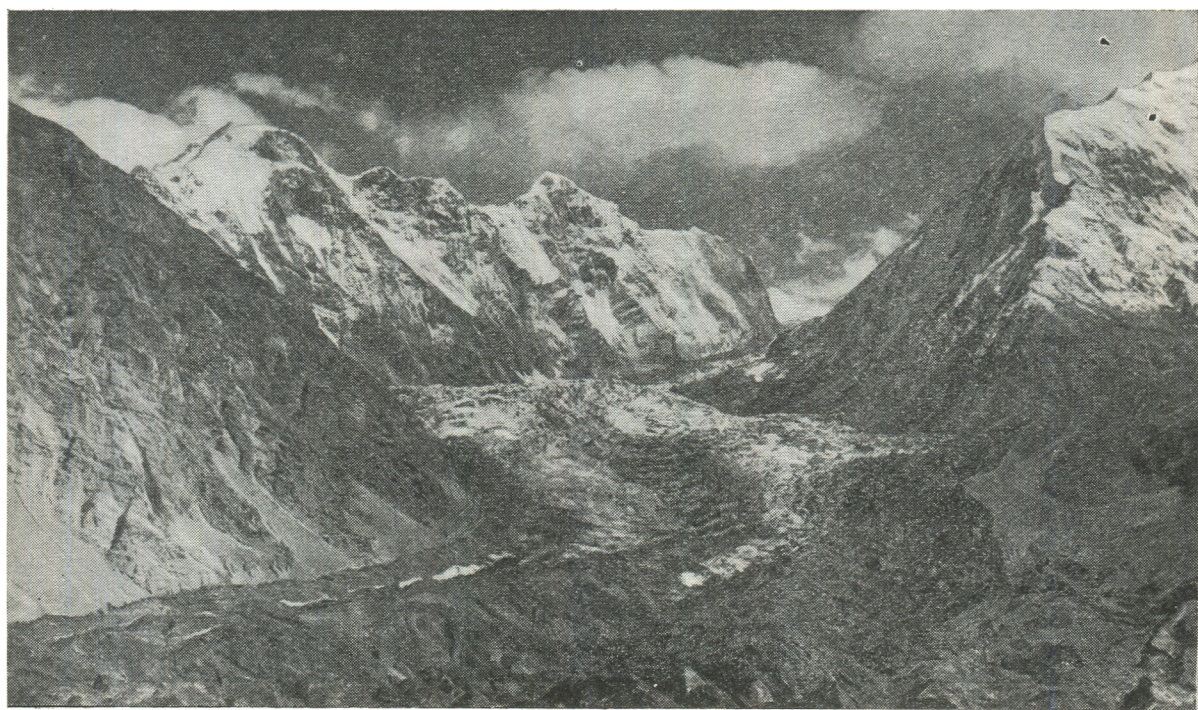


Рис. 42. Кинематическая волна на леднике Мушкетова (Карасель) (№ 710). Фото Г. В. Калинина.



Рис. 43 Среднее течение ледника Мушкетова (Карасель) (№ 710).
Вид вниз по долине. Фото Г. В. Калинина.

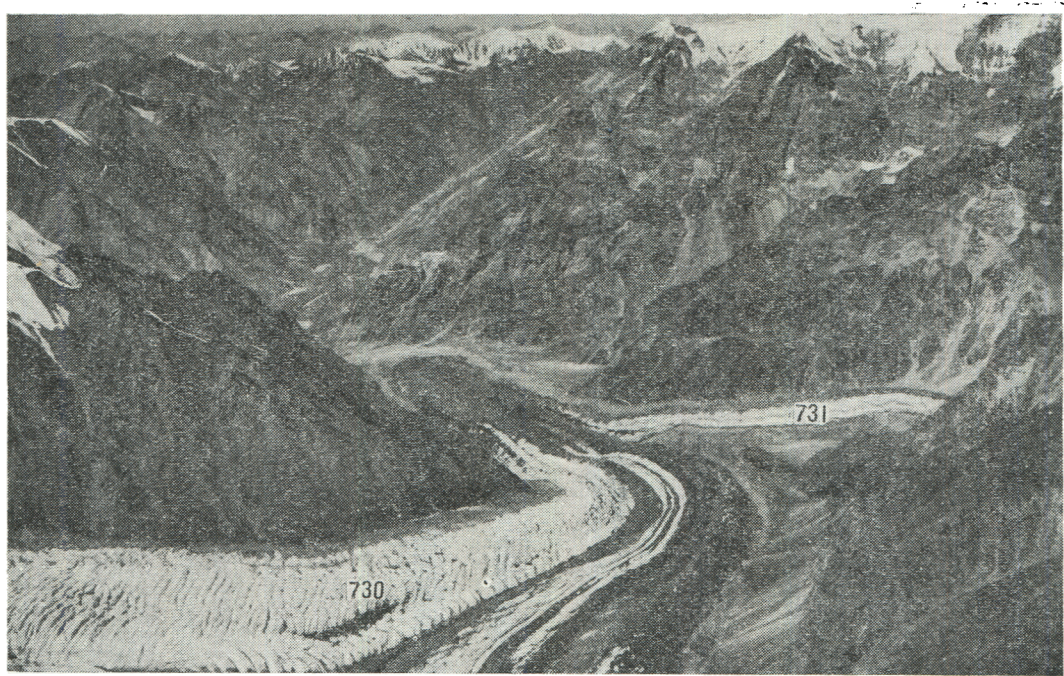


Рис. 44. Языки ледников Вальтера (№ 730) и Москвина (№ 731). Внизу долина р. Фортамбек.
Фото В. А. Рудакова и Л. В. Десинова.



Рис. 45. Слияние ледников Вальтера (№ 730) и Москвина. Фото Г. В. Калинина.

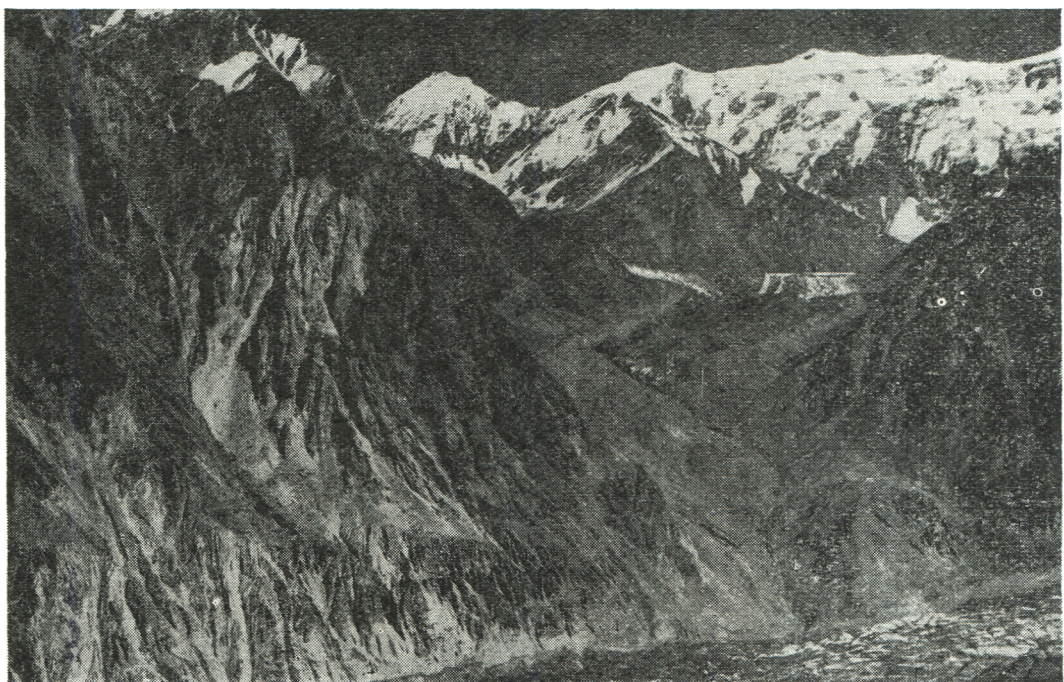


Рис. 46. Конец ледника Вальтера (№ 730). На переднем плане поверхность ледника Фортамбек (№ 724). Фото В. А. Рудакова и Л. В. Десинова.



Рис. 47. Верховья ледника Москвина (№ 731). *Фото Г. В. Калинина.*



Рис. 48. Средняя часть ледника Фортамбек (№ 724). *Фото Г. В. Калинина.*

СОДЕРЖАНИЕ

Предисловие	3
Деление Каталога ледников СССР на тома, выпуски и части	7
Список томов, выпусков и частей Каталога ледников СССР	9
Список принятых сокращений	10
Краткая характеристика географического положения, климатических условий, морфологии и режима ледников	11
Схемы расположения ледников	29
 Основные таблицы Каталога ледников	
Таблица I. Основные сведения о ледниках	46
Пояснения к таблице I	80
Таблица II. Список гидрометеорологических станций и постов в районе ледников	84
Таблица III. Список суммарных осадкомеров и снегомерных пунктов в районе ледников	85
Таблица IV. Экспедиционные и стационарные исследования ледников	86
Таблица V. Список работ, содержащих сведения о ледниках	88
Дополнительные материалы	93

Каталог ледников СССР, т. 14, вып. 3, ч. 8.

Редактор И. С. Якорь.
Техн. редактор Т. В. Павлова
Корректор Л. А. Сандлер

Сдано в набор 19.10.78. Подписано в печать 7.06.79. М-13097.
Формат 60×90^{1/8}. Бум. тип. № 1. Лит. гарн. Печать высокая.
Печ. л. 16. Уч.-изд. л. 18,62. Тираж 325 экз. Индекс ГЛ-240.
Заказ 297. Цена 1 р. 20 к. Заказное.

Гидрометеонзат, 199053. Ленинград, 2-я линия, 23.
Типография издательства «Волгоградская правда»,
г. Волгоград. Привокзальная площадь. Дом печати.